



PRELIMINAR

Las primeras campañas oceanográficas en la Ría de Vigo fueron realizadas por Odón de Buén en 1919 a bordo del 'Hernán Cortés'. Aunque hay constancia de observaciones realizadas de manera dispersa durante la primera mitad del siglo, no es hasta la década de los 60 cuando tiene lugar un cambio importante en la concepción de la Ría: los estudios dejaron de ser meramente descriptivos y, bajo una perspectiva analítica, se investigaron los aspectos dinámicos y su relación con procesos químicos y biológicos. F. Saiz, M. López-Benito, E. Anadón, B. Andreu, R. Margalef y F. Fraga fueron los primeros en estudiar el intercambio de agua entre la Ría y la plataforma, la importancia de los aportes fluviales y de las mareas, o el efecto del viento. A finales de la década de los 60 destacan de manera especial los trabajos del ecólogo Ramón Margalef, que llevo a cabo importantes estudios de ecología del fitoplancton y que desarrolló en la Ría de Vigo buena parte de su teoría ecológica, y los del químico Fernando Fraga referentes al estudio de procesos físico-químicos en las Rías y en la plataforma continental.

En un principio, se consideraba la marea como el principal agente responsable de los intercambios de agua. Fue a mediados de los 70 cuando se puso de manifiesto la importancia de la circulación estuárica y del afloramiento costero. El trabajo de L. Otto en la Ría de Arousa (1975) supuso otro importante avance. Este autor fue el primero en cuantificar los intercambios entre la plataforma y la Ría; los métodos que él utilizó han sido aplicados desde entonces, y se han constituido en una herramienta clave para la comprensión de algunos de los procesos químicos y biológicos que tienen lugar en las Rías.

En 1987, auspiciado por el profesor F. Fraga, el grupo de Oceanología del Instituto de Investigaciones Mariñas (I. I. M.) estableció una estación de muestreo en la Ría de Vigo, con objeto de seguir la evolución de una serie de variables de interés oceanográfico. La base de datos procedente de este programa de muestreo, por sus características (periodicidad de muestreo, variables que se consideran, calidad de los datos...), permitirá ahondar en el conocimiento del ecosistema Ría de Vigo.



INTRODUCCION

Las Rías gallegas, en particular las Rías Baixas (Muros, Arousa, Pontevedra y Vigo), se encuentran entre los ecosistemas marinos de mayor productividad biológica. Esto es así por dos motivos: (1) la propia naturaleza de las Rías, sistemas estuáricos con características geomorfológicas e hidrodinámicas propias, que (2) se encuentran muy influenciadas por las condiciones oceanográficas en la plataforma continental adyacente, en especial, por el fenómeno oceanográfico conocido como afloramiento costero.

Las Rías son económicamente importantes, además de por su elevado potencial de producción biológica, por el atractivo que ofrecen, tanto para el asentamiento de importantes núcleos de población, como para el establecimiento de centros de actividad económica, lo que las hace especialmente vulnerables al deterioro medioambiental. Evitar este deterioro, el cual lleva aparejado el declive económico de la zona que se desarrolla a sus

expensas, pasa necesariamente por el reconocimiento social de la importancia que el ecosistema ría-plataforma tiene en el mantenimiento de dichas actividades y por el seguimiento y control de las variables físicas, químicas y biológicas, indicadores de su estado de salud medioambiental.

El presente informe consta de tres partes: en la primera (I), se explican las características generales del comportamiento dinámico de las rías, así como la influencia del afloramiento costero del Noroeste (NO) de la Península Ibérica; en la segunda (II), se describen, tanto las variables hidrográficas indicadoras de las condiciones medioambientales, como su variación estacional en la Ría de Vigo; por último (III), se proporciona una parte de la base de datos, procedente del programa de seguimiento de las condiciones hidrográficas en la Ría de Vigo, que el Instituto de Investigacións Mariñas viene realizando desde Febrero de 1987 con una periodicidad de 3-4 días.



CARACTERÍSTICAS GENERALES DEL COMPORTAMIENTO DINÁMICO DE LAS RÍAS

Las Rías Gallegas son valles fluviales hundidos, relativamente profundos, que se comportan dinámicamente como estuarios positivos parcialmente mezclados (1), y que están sometidas a la influencia del sistema de afloramiento del NO de la Península Ibérica (2). En los siguientes apartados trataremos de aclarar los diferentes conceptos que se apuntan en esta definición.

LAS RÍAS COMO ESTUARIOS (1)

Origen de las Rías y su clasificación atendiendo a criterios geológicos

En 1886 von Richthofen, tomando como ejemplo las Rías gallegas, definió una ría como una entrada de mar desproporcionadamente larga en relación al tamaño del río que desemboca en ella; la Ría de Vigo, por ejemplo, mide tanto como el río Oitabén, unos 32 Km. La costa en rías, se forma por la penetración del mar en la costa a consecuencia de la inmersión de la parte litoral de una cuenca fluvial de laderas más o menos abruptas. Las Rías Gallegas son, por lo tanto, estuarios que se formaron por el hundimiento de valles fluviales. En el pasado geológico reciente, durante la última glaciación (hace unos 18.000 años), el nivel del mar se encontraba unos 100 m. por debajo del nivel

actual. Durante el periodo post-glacial, a medida que la cubierta helada se fundía, el nivel del mar se elevaba a razón de 1 m. cada siglo, inundando los valles que habían sido horadados por los ríos; hace unos 5.000 años, el mar alcanzó el nivel actual. Durante este periodo, que se conoce como trasgresión Flandriense, se formaron la mayoría de los estuarios que existen en la actualidad, entre ellos las Rías.

Además de las variaciones del nivel del mar, en la formación de las Rías Gallegas también han intervenido, con diferente nivel de importancia, tanto la erosión como los movimientos de la corteza terrestre. La forma actual de la Ría de Vigo, por ejemplo, se debe, además de a las variaciones del nivel del mar, a los movimientos de la corteza terrestre, los cuales han desempeñado un papel más destacado que los procesos de erosión; es por esta razón por la que se clasifica, junto con las rías de Pontevedra y Muros, dentro del subgrupo de rías tectónicas.

Las características morfológicas, y en especial la profundidad de la cuenca que configura la Ría, les confieren buena parte de sus peculiaridades. En los estuarios 'típicos' que se formaron a partir de la inmersión de un valle fluvial (podemos tomar como ejemplo el estuario del río Miño), es raro que en la conexión con mar abierto, o boca del estuario, se alcancen más de 10 m. de profundidad; sin embargo, en la boca



de la mayoría de Las Rías se alcanzan profundidades del orden de 40 m. Además, también a diferencia de los estuarios 'típicos', las Rías presentan la sección transversal en forma de 'V', aumentando en anchura y profundidad desde la desembocadura del río, o cabecera de la Ría, a la boca. Estas dos características, profundidad en la boca y sección en 'V', explican muchas de sus particularidades. La marcada influencia del agua oceánica en la Ría es una de las más importantes: la conexión que se establece a través de la boca, permite que los volúmenes de agua, y por lo tanto de materiales en disolución o en suspensión, intercambiados entre el sistema oceánico y las rías sean considerables.

La Ría de Vigo es la más meridional de las Rías Baixas (localizada entre 42°09' y 42°21' de latitud N, 8°36' y 8°54' de longitud O). Presenta forma de cuña en planta, abriéndose desde el estrecho de Rande hacia el mar abierto (22 Km.), desde los 0.6 Km. de ancho en el estrecho hasta los casi 6 Km. en la boca. Desde el estrecho de Rande hasta la cabecera de la Ría (desembocadura del Verdugo-Oitabén) se articula una pequeña cuenca o cubeta en dirección norte-sur, la ensenada de San Simón, con dimensiones máximas de 10 Km. de largo y 4 Km. de ancho.

Al igual que otras rías, la Ría de Vigo presenta en su boca una serie de islas, las Islas Cíes. Entre las Islas y la tierra firme se forman los canales, o bocanas, Norte y Sur, con unas profundidades máximas respectivas de 27 y 48 m. La isla Norte y la del Faro se encuentran unidas por un cordón playero, dando lugar a la formación de un lago de agua salada. Entre la isla del Faro y la Isla de San Martín hay un pequeño canal, Freu de Porta, de unos 5 m. de profundidad media. Tanto las márgenes norte y sur de la ría presentan pequeñas bahías locales o ensenadas. Mientras que la ensenada de San Simón presenta características propias de un estuario, es decir, una marcada influencia del río y de las mareas, a partir de Rande las características son más propias de una bahía costera, y esta zona se encuentra, por lo tanto, bajo la influencia de las condiciones oceanográficas en la plataforma continental adyacente. Por esta razón, la parte externa y media de la Ría se pueden considerar como una extensión de la plataforma continental.

CLASIFICACIÓN ATENDIENDO A CRITERIOS DINÁMICOS: LA CIRCULACIÓN ESTUÁRICA. EL COMPORTAMIENTO HIDRODINÁMICO DE LA RÍA DE VIGO.

Desde un punto de vista oceanográfico, el término estuario tiene un significado más amplio con el que convencionalmente se designa la región de la desembocadura de un río sometida a la influencia de la marea. De hecho, el término estuario deriva de la palabra latina *aestus*, que significa marea, y más concretamente del adjetivo *aestuarium*, que significa mareal. La definición mayormente aceptada es la propuesta por Camerón y Pritchard (1963), quienes definieron un estuario como un cuerpo de agua costera semi-encerrado comunicado libremente con mar abierto, a través de la boca del estuario, dentro del cual el agua de mar se encuentra apreciablemente diluida con agua dulce procedente del drenaje continental, mayormente procedente de un río que desemboca en la cabecera del estuario. Esta definición es válida cuando nuestro interés se limita al estudio de estuarios positivos, es decir, aquellos en los que los aportes de agua dulce al estuario exceden las pérdidas por evaporación. En esta situación, las salinidades en el interior del estuario son menores que en el mar abierto. En la Ría de Vigo, el agua dulce procede en su mayor parte del río Verdugo-Oitabén localizado en la cabecera y la conexión con el océano se establece a través de dos bocanas relativamente profundas.

El agua dulce procedente del río, por su menor densidad, fluye en superficie mezclándose con el agua salada de la Ría a medida que avanza hacia la boca. Tiene lugar, por lo tanto, un transporte de agua salada por superficie hacia mar abierto. Este transporte viene compensado por la entrada de agua oceánica por el fondo, hacia la cabecera de la Ría, la cual se va mezclando con el agua superficial que sale. Los flujos superficial de salida e inferior de entrada se encuentran dinámicamente asociados, de tal forma que un incremento del caudal de agua dulce desalojado en la Ría tiende a reducir la salinidad del agua en su interior y también tiende a incrementar el flujo de entrada de agua de mar para compensar la pérdida de sal y mantener el volumen de agua dentro del estuario. Este modelo de circulación en dos capas, una superficial de salida y otra inferior de entrada, se conoce como circulación estuárica (Fig. 1).

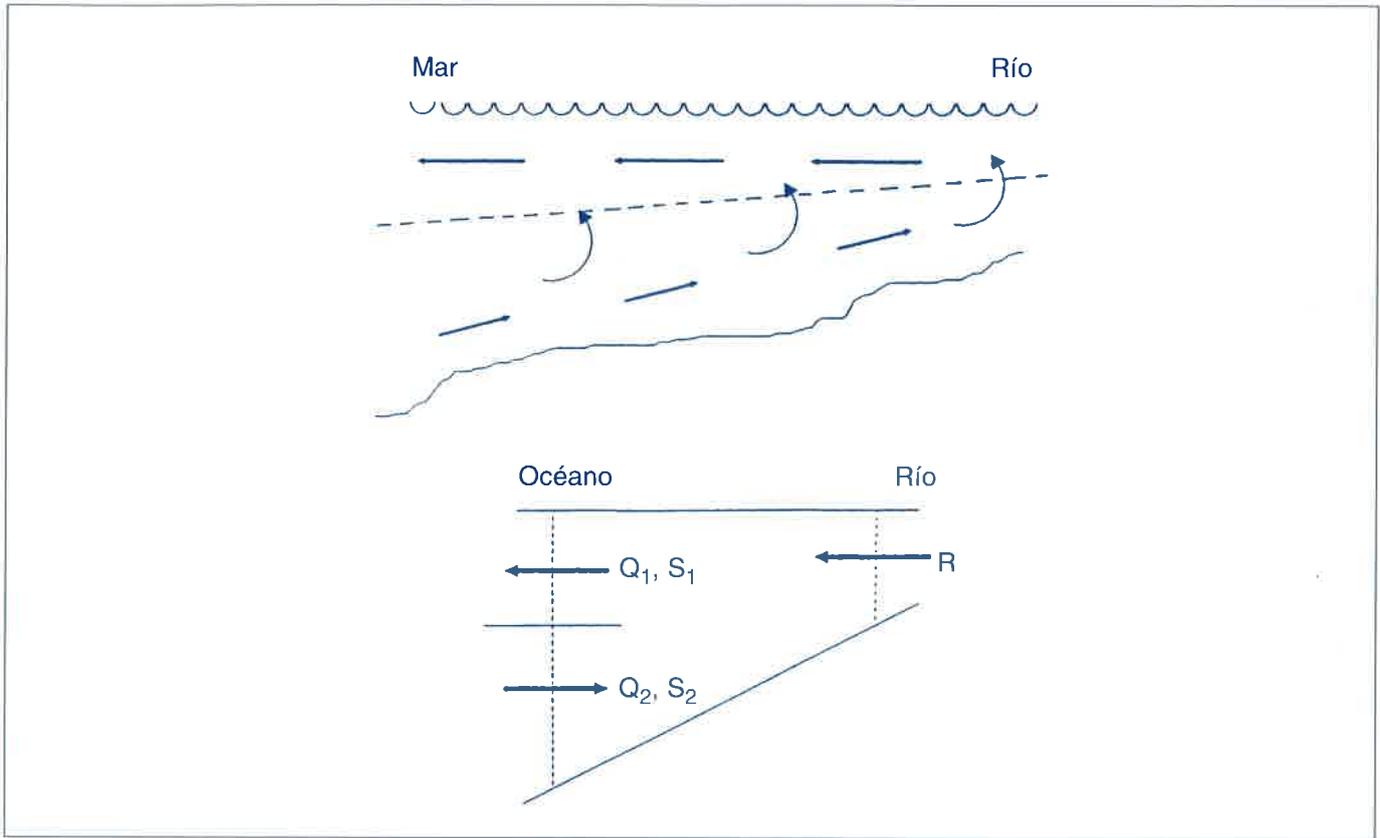


Fig. 1 Representación esquemática de la circulación estuárica positiva e intercambios que tienen lugar en un estuario parcialmente mezclado. R, caudal del río; Q_1 , caudal saliente de la ría por superficie; Q_2 , caudal entrante por el fondo; S_1 y S_2 , salinidades del agua saliente y entrante (ecuación 3, p. 9)

Las clasificaciones basadas en criterios hidrológicos permiten establecer el comportamiento dinámico del estuario; la interacción entre el agua dulce y la salada, o entre cuerpos de agua de diferente densidad, da lugar a los procesos físicos de circulación y mezcla que determinan mayormente los movimientos del agua. Ya que en los estuarios las diferencias de densidad se encuentran generalmente asociadas a diferencias de salinidad, es la distribución de esta propiedad el criterio que se utiliza para clasificarlos bajo una perspectiva dinámica.

La Ría de Vigo se comporta, en la mayoría de las ocasiones, como un estuario parcialmente mezclado: la salinidad se incrementa de la cabecera a la boca, dando lugar a un gradiente longitudinal de salinidad y, en cualquier posición, la columna de agua presenta dos capas bien definidas, una superior menos salina que la inferior, lo que da lugar a un gradiente vertical de salinidad (Fig. 2). Además se establece también un gradiente transversal (Fig. 3): el agua de la margen norte (la margen derecha mirando

hacia la boca) es menos salada que la de la margen sur. La diferencia de salinidad entre las márgenes de la Ría se produce a consecuencia del efecto de Coriolis sobre las corrientes. El efecto de Coriolis se debe a la acción de una fuerza aparente, resultante de la rotación de la tierra sobre su eje, que provoca que las masas fluidas del planeta, de agua o de aire, se desvíen hacia la derecha en el hemisferio norte y hacia la izquierda en el hemisferio sur. Por esta razón, la capa superficial que se dirige hacia la boca de la Ría muestra una tendencia a acumularse en la margen norte. El efecto de Coriolis es también clave, como se explicará más adelante, para comprender la influencia del agua oceánica en las Rías.

El modelo de circulación estuárica, cuando se aplica a estuarios parcialmente mezclados, permite hacer un cálculo aproximado de los volúmenes intercambiados entre la ría y el océano. En base a la ley física de conservación de masa, expresada como conservación del volumen y como conservación de sal, se tiene:

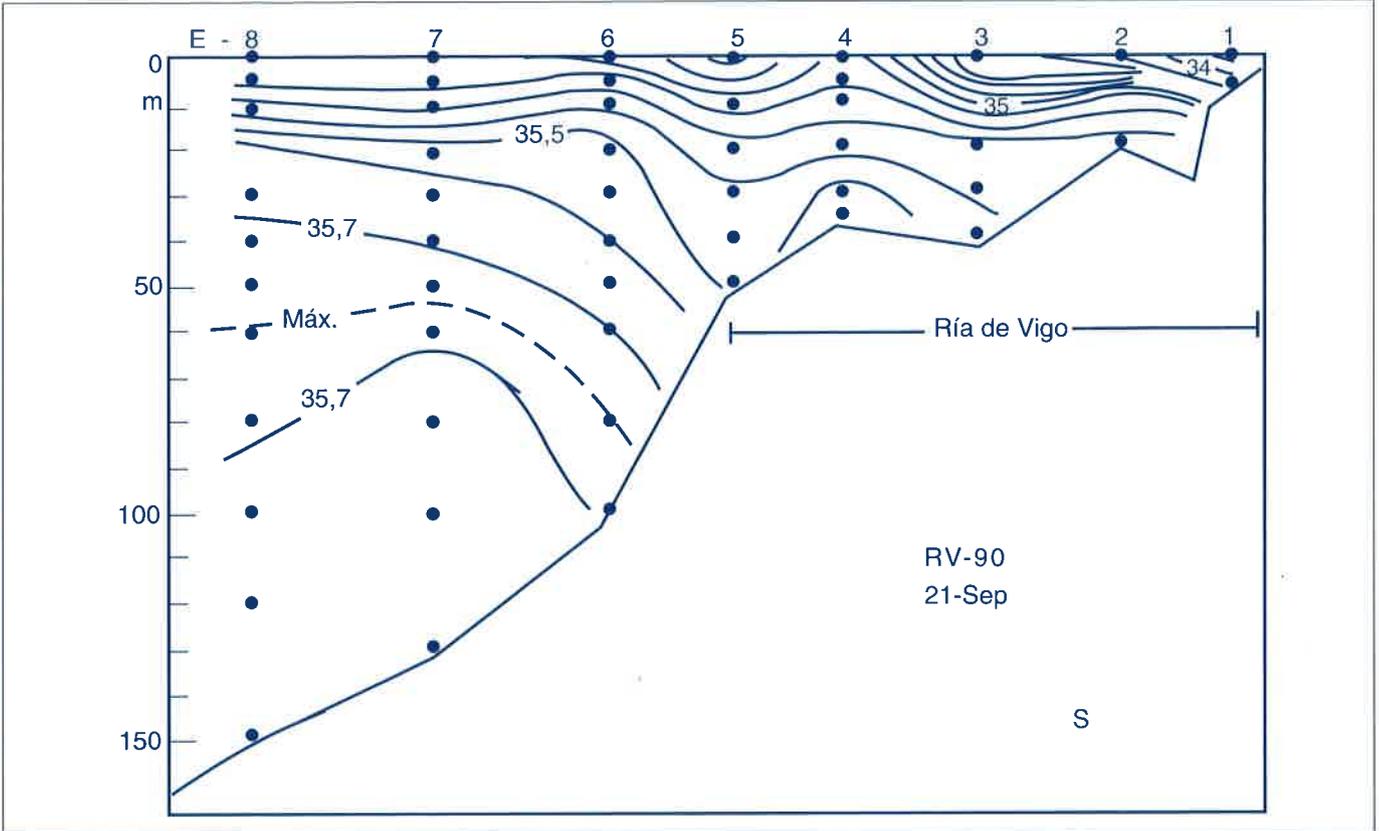


Fig. 2 Mapa de isohalinas en el que se aprecia la distribución de salinidad en la vertical (gradiente vertical) y a lo largo del eje de la Ría (gradiente longitudinal).



Fig. 3 Mapa de isohalinas en el que se aprecia la distribución transversal (gradiente transversal) y a lo largo del eje de la Ría (gradiente longitudinal). Como se puede apreciar, debido al efecto de Coriolis sobre las corrientes, las salinidades son menores en la margen norte de la Ría.



1.- Por la ley de conservación del volumen, el caudal total de agua que entra en la ría tiene que ser igual al que sale:

$$Q_s = Q_i + Q_r \quad (1)$$

donde Q_s es el caudal de agua que sale por la capa superficial, resultado de la mezcla entre el agua dulce aportada por el río y el agua oceánica que penetra por el fondo; Q_i es el caudal de agua oceánica que penetra por el fondo de la ría y Q_r es el caudal de agua dulce aportado por el río.

2.- Por el principio de conservación de sal, la cantidad de sal que entra tiene que ser igual a la que sale:

$$Q_s S_s = Q_i S_i + Q_r S_r \quad (2)$$

donde S_s es la salinidad media de la capa superficial; S_i es la salinidad del agua oceánica que penetra por el fondo y S_r es la salinidad del agua del río.

Resolviendo el sistema de ecuaciones (1) y (2), considerando que la salinidad del río es cero, $S_r = 0$, y conocidos el caudal del río (volumen aportado por unidad de tiempo) y las salinidades

medias de la capa de superficie y la de fondo, se tiene que el volumen de agua intercambiado con el océano por unidad de tiempo es:

$$Q_i = Q_r S_s / (S_i - S_s) \quad (3)$$

A partir de la ecuación (3), podemos obtener un valor aproximado de los volúmenes medios intercambiados en un día entre la Ría y la plataforma. Considerando que el caudal medio aportado por el río Oitabén (Q_r) es de $14 \text{ m}^3/\text{s}$ (algo más de un millón de metros cúbicos, o mil millones de litros, al día) y que las salinidades medias de la capa superficial (S_s), y la del agua oceánica que penetra por el fondo (S_i) son, respectivamente, $35,4 \text{ ‰}$ y $35,7 \text{ ‰}$, el caudal de agua intercambiado (Q_i) es de aproximadamente $143.106 \text{ m}^3/\text{día}$ (143 mil millones de litros al día). Considerando el volumen total de agua contenida en la Ría de Vigo (unos 3000 millones de m^3), se deduce que el tiempo necesario para renovar completamente dicho volumen, o lo que es lo mismo, el tiempo de residencia, sería de unos 21 días para las condiciones que se consideraron. El tiempo de residencia es una variable importante a la hora de valorar, por ejemplo, las consecuencias de un vertido en la Ría (Fig. 4).

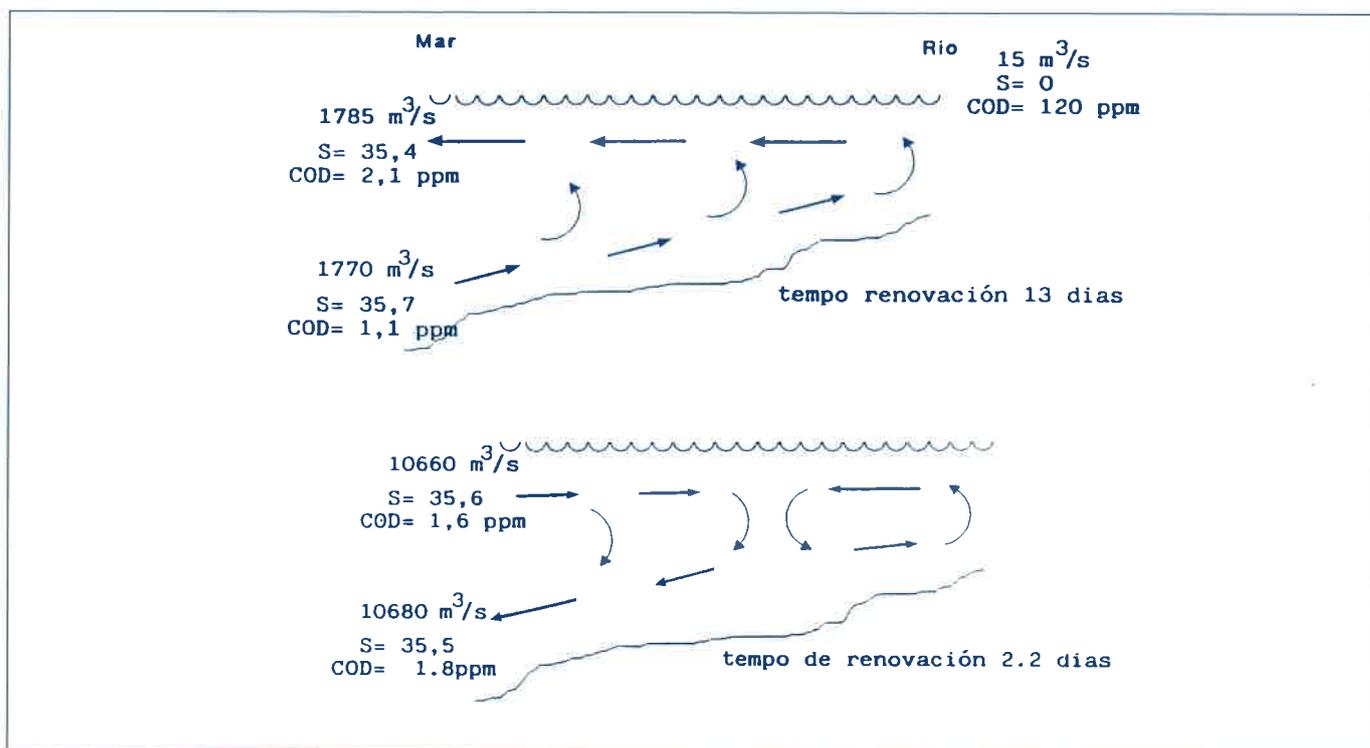


Fig. 4 Representación esquemática de la circulación estuárica en dos capas, positiva (superior) e inversa (inferior). Los cálculos del tiempo de residencia están realizados para un volumen de $2.000 \cdot 10^6 \text{ m}^3$. S, salinidad; COD, carbono orgánico disuelto.



Otras variables que condicionan el comportamiento dinámico de la Ría son las mareas y el viento local.

A diferencia del Mediterráneo, las Rías Gallegas están afectadas por la marea. La amplitud media de la marea, es decir, la diferencia entre el nivel del mar en marea alta y baja, es de unos 3 m. en la Ría de Vigo. Al contrario de lo que podría pensarse, la marea tiene, de forma directa, poca relevancia en el intercambio de agua entre la Ría y la plataforma: mientras que el desplazamiento total del agua se debe fundamentalmente a la circulación estuárica, la marea, diariamente, produce un desplazamiento de dos ciclos de ida y vuelta con desplazamiento neto del agua prácticamente nulo (Fig. 5). No obstante, la marea sí influye indirectamente, ya que condiciona la circulación estuárica: como agente mezclador, disminuye la diferencia de salinidad entre la capa superficial y la capa del fondo (el denominador de la ecuación 3), incrementando por lo tanto el volumen intercambiado entre la Ría y la plataforma.

Por otra parte, el viento en la Ría (efecto local del viento), condicionado por la orografía sopla preferentemente según el eje longitudinal, y tiene un efecto directo sobre la circulación: los procedentes del este tienden a aumentar la velocidad de salida de la capa superficial, y por lo tanto incrementan el intercambio de agua entre la Ría y la plataforma; al contrario, los vientos del oeste ralentizan la circulación estuárica disminuyendo de esta manera dicho intercambio. El viento local también ejerce un efecto indirecto al actuar como agente mezclador.

EL AFLORAMIENTO COSTERO DEL NOROESTE (NO) DE LA PENÍNSULA IBÉRICA (2)

La conexión entre la plataforma y la Ría. Efecto del viento en plataforma (efecto no local del viento): el afloramiento costero.

Cuando el viento sopla sobre la superficie del mar, ésta tiende a desplazarse, al principio, en la

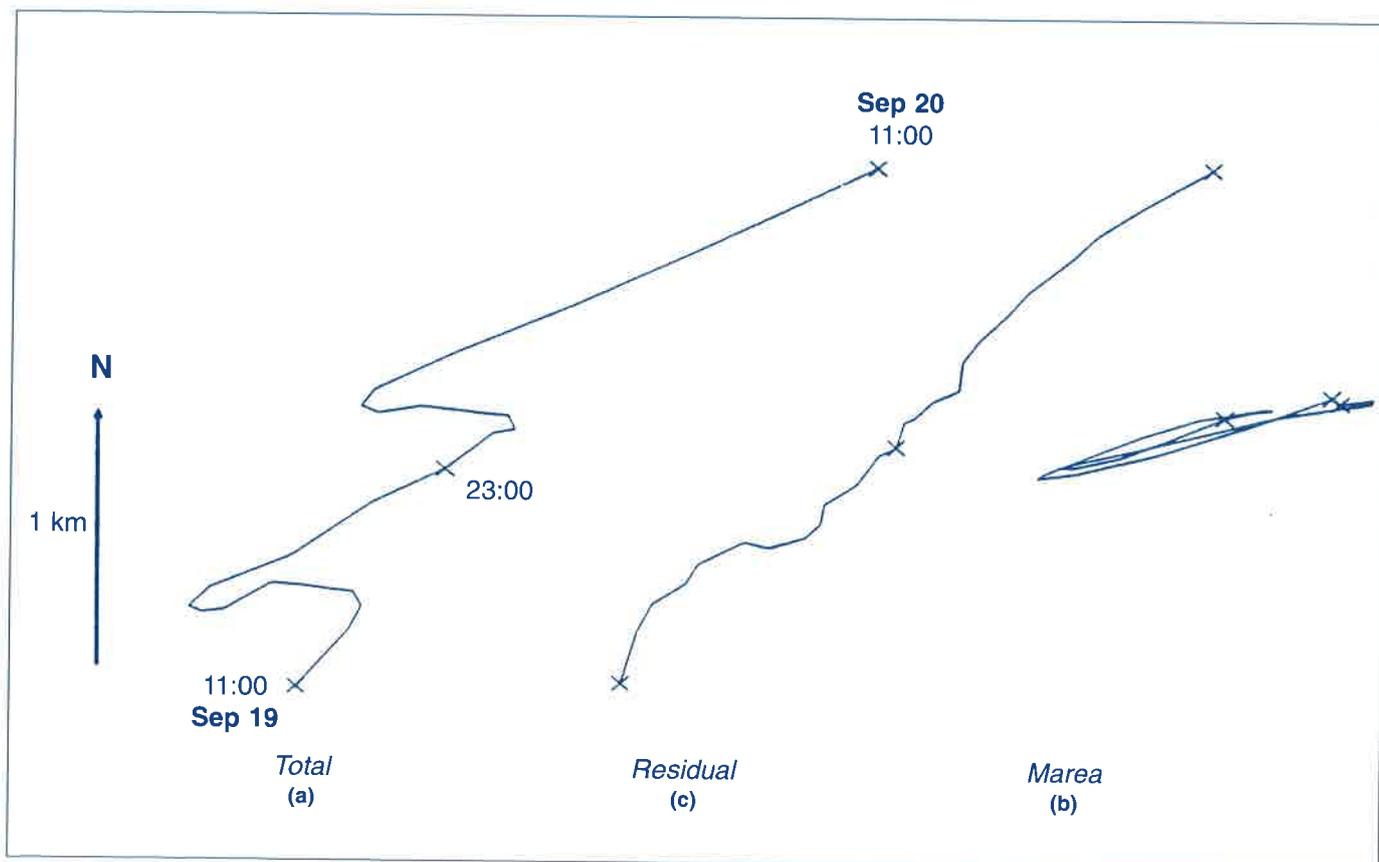


Fig. 5 Trayectoria descrita durante 24 horas por el agua situada a 10 m. de profundidad en el canal principal de la Ría de Vigo. La trayectoria neta (a) es el resultado de la componente residual —circulación estuárica residual— (b), y de la componente de marea (c).



misma dirección que el viento. En el hemisferio norte, debido al efecto de Coriolis, la corriente se desvía hacia la derecha. Después de un cierto tiempo, el transporte neto de la capa de agua superficial será, por lo tanto, hacia la derecha con respecto a la dirección del viento. Cuando el viento sopla paralelo a la costa, y ésta queda a la izquierda con respecto a la dirección del viento, el transporte de la capa superficial de agua es hacia mar abierto; al alejarse de la costa, genera un 'vacío' que induce el ascenso (afloramiento) de aguas subsuperficiales más frías y con mayor contenido en sales nutrientes.

Este proceso se conoce como afloramiento costero (Fig.6). Por el contrario con vientos de componente sur, la capa superficial se apila contra la costa, produciéndose el hundimiento de la capa superficial. El afloramiento de agua subsuperficial oceánica rica en sales nutrientes, incrementa la concentración de éstas en la capa superficial, iluminada, del mar. En la superficie es donde tiene lugar el desarrollo del fitoplancton, punto de partida de las cadenas alimentarias en el mar. Este proceso de fertilización es responsable en gran medida de la riqueza biológica de las Rías.

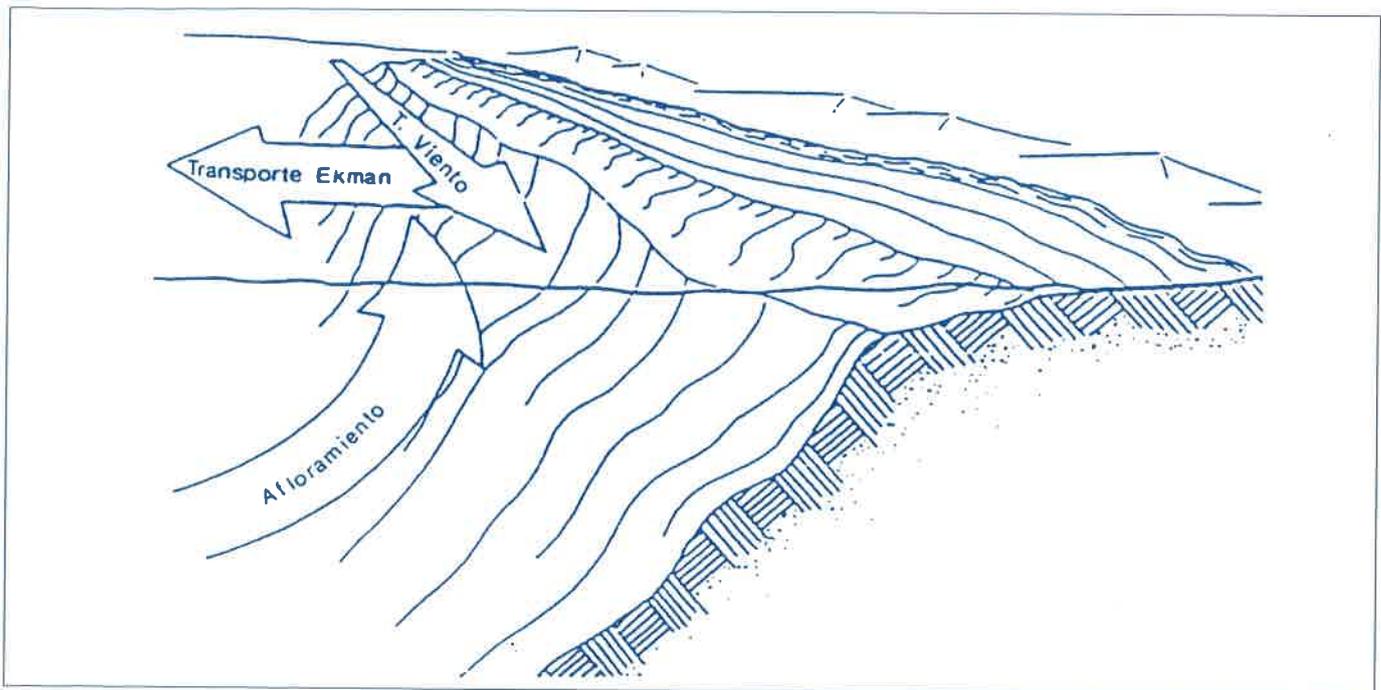


Fig. 6 Representación esquemática del afloramiento costero.

En la costa de Galicia, el régimen de vientos sigue un patrón estacional: los vientos procedentes del norte predominan de Abril a Octubre, alcanzando su máxima intensidad durante los meses de verano. La acción combinada del viento del norte sobre la plataforma y el efecto de Coriolis, en virtud del mecanismo expuesto anteriormente, provoca el ascenso de aguas subsuperficiales (por debajo de los 60 m. de profundidad), que se caracterizan por su temperatura más fría y por su contenido más elevado en sales nutrientes (nitrato, fosfato y silicato) (Fig. 7). Además, el agua subsuperficial que penetra en la ría se enriquece todavía más en nutrientes al 'ponerse en contacto', en su trayectoria hacia el interior de la ría, con el

lecho de la plataforma continental y el fondo de la propia ría. El afloramiento, por otra parte, tiene un efecto directo sobre la circulación estuárica ya que fuerza la entrada de agua subsuperficial por el fondo de la ría, incrementando la circulación estuárica y también, por ello, el intercambio entre la ría y la plataforma. El afloramiento costero del NO de la península ibérica influye, por lo tanto, de dos maneras en la ría. Por una parte la fertiliza al introducir en ella agua oceánica subsuperficial rica en nutrientes; por otro lado, al aumentar la circulación e incrementar el intercambio de agua entre la ría y la plataforma, disminuye el tiempo de residencia del agua en la ría, ejerciendo, de esta manera, un efecto de 'lavado'.



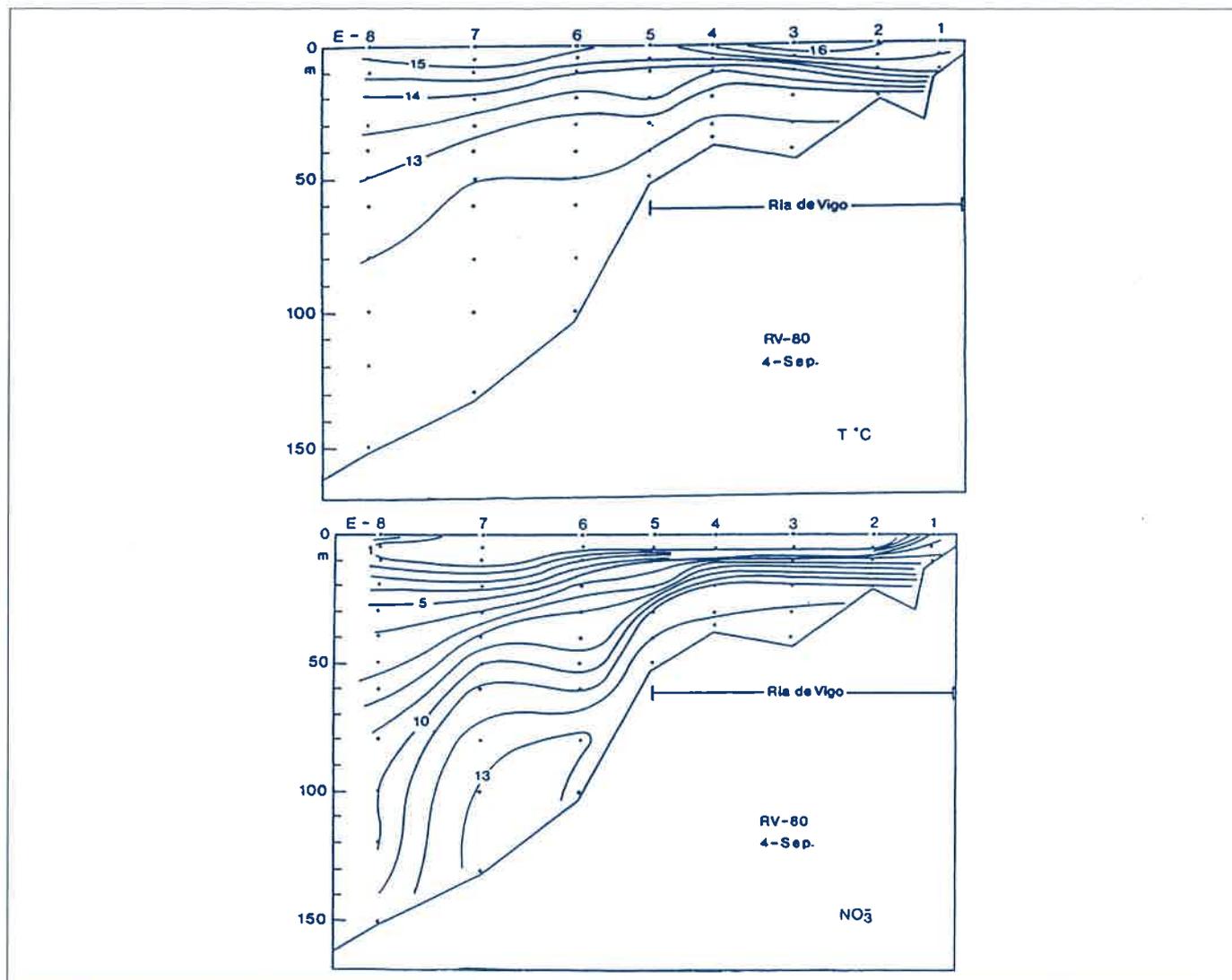


Fig. 7 Efecto del afloramiento costero en el interior de la Ría de Vigo, apreciable por el ascenso de las isotermas y de las isopletas de nitrato.

Cuando los vientos son del sur, el desplazamiento hacia la derecha del cuerpo de agua superficial apila ésta contra la costa. Tiene lugar, entonces, la entrada de agua oceánica, generalmente empobrecida en nutrientes, por la superficie hacia el interior de las rías. Además, esta entrada superficial de agua oceánica se opone a la circulación; en esta situación, dependiendo de la fuerza del viento, se producirá una ralentización de la circulación o, en determinadas situaciones, su inversión, es decir, la entrada en la ría de agua oceánica por la superficie, y la salida por el fondo de agua procedente del interior de la ría. Con vientos moderados, la ralentización de la circulación disminuye el intercambio entre la plataforma y la ría y aumenta, consecuentemente, el tiempo de residencia. Si el viento del sur es intenso, se intensificará la mezcla

en la ría entre la capa superior y la inferior; bajo estas condiciones, la diferencia entre la salinidad inferior y superior disminuye, lo que lleva consigo (ecuación 3) un aumento de los volúmenes de agua intercambiados entre la plataforma y la ría y una disminución del tiempo de residencia.

Como se ha puesto de manifiesto, tanto las condiciones hidrográficas como las meteorológicas, influyen notablemente en el comportamiento dinámico de la Ría, el cual a su vez condiciona la producción biológica así como la dispersión (o dilución) de los vertidos, sean o no contaminantes. Por lo tanto, el conocimiento de las variables hidrográficas y meteorológicas, así como su interrelación, es clave con vistas a una gestión racional del ecosistema Ría de Vigo.



II

DESCRIPCIÓN Y EVOLUCIÓN ANUAL MEDIA DE LAS VARIABLES

SE describen a continuación las variables meteorológicas e hidrográficas que constituyen la base de datos que se expone en la parte III (1). Así mismo se establece la variación media anual -ciclo estacional- de dichas variables (2).

DESCRIPCIÓN DE LAS VARIABLES (1)

VARIABLES METEOROLÓGICAS

Las variables meteorológicas originales han sido suministradas por el Centro Costero de Vigo del Instituto Español de Oceanografía (I. E. O.) y por la estación meteorológica en Peinador del Instituto Nacional de Meteorología (I. N. M.). En el Instituto de Investigaciones Mariñas (I. I. M) se procedió a la depuración y tratamiento de las variables meteorológicas. En la base de datos (parte III), se proporciona el valor medio entre el día de muestreo hidrográfico y los dos días anteriores al mismo de las siguientes variables meteorológicas: componente transversal a la costa del transporte de Ekman ($-q_x$), componente paralela a la costa del transporte de Ekman (q_y), escorrentía para la superficie de cuenca hidrográfica comprendida hasta el lugar en el que se sitúa la estación de muestreo hidrográfico (Q_r) y radiación solar incidente (Q_s).

Componentes del transporte de Ekman ($-q_x$, q_y)

Se conoce como capa de Ekman, la capa superficial del mar susceptible al efecto de fricción ejercido por el viento. La profundidad que alcanza la capa de Ekman, o lo que es lo mismo, la profundidad a la que el efecto del viento deja de ser apreciable, varía según la latitud y la fuerza del viento. Generalmente no es superior a 75 m. en nuestra latitud para un viento moderado. El volumen de agua superficial transportado por efecto del viento se conoce como transporte de Ekman, y se expresa como el volumen de agua transportado por unidad de tiempo referido a un Km. de ancho de una sección transversal a la dirección del transporte, es decir, ($m^3/s/Km$). El transporte de Ekman es calculado por el Centro Costero de Vigo del I. E. O. utilizando el viento geostrofico que se infiere a partir de los mapas de presión atmosférica (Bakun, 1973) suministrados diariamente por el I. N. M. En el grupo de Oceanología hemos creído oportuno descomponer el transporte de acuerdo con la dirección E-O (componente $-q_x$) y con la dirección N-S (componente q_y).

Para interpretar los valores de las componentes del transporte de Ekman hemos de tener en cuenta el efecto de Coriolis, que en el hemisferio norte desvía las corrientes hacia la derecha. La componente $-q_x$ del transporte, es decir el transporte en la dirección E-O, se debe a los



vientos en la dirección N-S. La combinación de viento procedente del norte y el efecto de Coriolis supone un transporte hacia el oeste de la capa de Ekman, o lo que es lo mismo, un transporte de la capa de Ekman hacia mar abierto, el cual favorece, como se explicó en la parte I, el afloramiento de agua subsuperficial. Como hemos convenido que el transporte hacia el oeste se correspondía con la parte positiva del eje x, valores positivos de la componente -qx se corresponden con situaciones de afloramiento. Inversamente, con vientos del sur, se produce un transporte de la capa de Ekman hacia el este (parte negativa del eje x), o lo que es lo mismo, hacia la costa. Por lo tanto, valores negativos de la componente -qx suponen un apilamiento de agua superficial contra la costa debido a la combinación de vientos del sur y al efecto de Coriolis.

La componente qy hace referencia al transporte en la dirección N-S, debida a vientos en la dirección E-O. Un transporte de la capa de Ekman hacia el norte, parte positiva del eje N-S, se debe a vientos procedentes del este, dando como resultado, por convenio, que la componente qy tome valores positivos. Al contrario, vientos procedentes del oeste, debido al efecto de Coriolis, supondrán un desplazamiento de la capa de Ekman hacia el sur, y el valor de la componente qy tomará valores negativos.

Escorrentía en la cuenca hidrográfica (Qr)

La escorrentía en la cuenca hidrográfica hasta la estación fija (~480 Km²) se estimó utilizando los valores de precipitación registrados en la estación meteorológica que el I. N. M. dispone en el aeropuerto de Peinador, de acuerdo con la ecuación propuesta por Ríos et al. (1992). La ecuación para el cálculo de escorrentía en la Ría, tiene en cuenta: la precipitación recogida en una estación meteorológica próxima, y representativa, durante los 365 días previos a aquél para el que se quiere calcular el volumen de agua vertido, y, el coeficiente de retención de la cuenca hidrográfica, el cual es función de sus características edáficas. Se expresa en volumen vertido por unidad de tiempo (m³/s).

Radiación solar incidente (Qs)

Se calculó utilizando la fórmula de Mosby (Dietrich et al., 1980), que tiene en cuenta la nubosidad, en octavos de cielo cubierto, y la altura solar media en 24 horas, y que se calcula a partir de la duración del día y de la altura solar máxima (Rosón, 1992). Los valores se expresaron en cal/cm²/día.

VARIABLES HIDROGRÁFICAS

Las variables hidrográficas se obtiene con una periodicidad de 3-4 días en la estación fija -est. E3- (Fig. de la carátula), localizada en la zona media de la Ría de Vigo (42°14,5' N, 8°45,8' O), entre Pta. Borneira y Cabo de Mar, con 44 m. de profundidad en la mayor bajamar.

Las muestras de agua se recogen con botellas oceanográficas *Niskin* de PVC, de 5 l. de capacidad. Las variables que se exponen a continuación, una muestra de la base de datos de la estación fija, son: transparencia del agua (Secchi), salinidad (S), temperatura (t), pH₁₅, concentración de oxígeno [O₂] concentración de sales nutrientes, esto es, nitrato (NO₃⁻), nitrito (NO₂⁻), amonio (NH₄⁺), fosfato (HPO₄²⁻) y silicato (Si(OH)₄), y clorofila-a (Cl-a). Se dan los valores obtenidos para la muestra de superficie (~1 m.) y la de fondo (~40 m.)

Transparencia del agua (Secchi)

Se midió con un disco de Secchi blanco de 30 cm. de diámetro. La profundidad de visión está definida como la profundidad a la que el disco de Secchi desaparece de nuestra vista a medida que lo hacemos descender dentro de la columna de agua.

Salinidad (S)

La salinidad se determina a partir de la conductividad con un salinómetro de inducción Beckman calibrado con 'Agua Normal'. La salinidad se calcula utilizando la ecuación (6) propuesta por la UNESCO (1981), y se expresa en partes por mil (‰).



Temperatura (t)

Cada una de las botellas hidrográficas que se utilizan para la recogida de muestras están provistas con 3 termómetros de inversión Watanabe: dos protegidos y uno no protegido para el control de profundidad. La corrección de temperaturas se calcula con la ecuación no simplificada según Anderson (1974). Los datos se refieren a la temperatura en el lugar de muestreo para una profundidad determinada, y se expresan en grados centígrados (°C).

pH (pH₁₅)

Se midió con un pH-metro Metrohm E-150 con electrodo de vidrio, utilizando como referencia uno de Ag-ClAg calibrado con tampón 7.413 NBS. La temperatura en el momento de la medida se determina con un termómetro graduado en décimas con objeto de efectuar la corrección de temperatura (Pérez, 1985).

Oxígeno ([O₂])

Se determinó mediante el método de Winkler. La valoración del iodo con tiosulfato se realizó mediante el titulador automático Metrohm E-425, E-473, con electrodo de Pt.

Sales nutrientes

La concentración de sales nutrientes en disolución se expresa en $\mu\text{mol/Kg}$ de agua de mar, y su determinación se lleva a cabo en el laboratorio mediante un autoanalizador *Technicon AAI* de acuerdo con los protocolos de análisis propios de oceanografía. Se determinó: amonio, nitrito, nitrato, fosfato y silicato.

Amonio (NH₄⁺)

Se determina por colorimetría de acuerdo con la técnica descrita por Grasshoff y Johannsen

(1972) en la que el ion amonio forma azul de indofenol en presencia de hipoclorito y fenol.

Nitrito (NO₂⁻)

Se determinan colorimétricamente por diazotación de sulfanilamida y copulación con naftil-etilen-diamina, según la técnica de Strickland y Parson (1968) modificada por Mouriño y Fraga (1985).

Nitrato (NO₃⁻)

Se determinan siguiendo el método de reducción a nitritos en columna de Cd-Cu según la modificación de Mouriño y Fraga (1985).

Fosfato (HPO₄²⁻)

Para su determinación se siguió el método colorimétrico de Murphy y Riley (1962) descrito por Grasshoff et al. (1983), según el cual el fosfato al reaccionar con el molibdato forma un complejo de color azul cuando se reduce en presencia del ácido ascórbico.

Silicato (Si(OH)₄)

Se sigue también el método expuesto en Grasshoff et al. (1983), según el cual el silicato y el molibdato reaccionan para formar ácido β -silicomolibdico. La adición de ácido oxálico elimina el exceso de molibdato y la influencia del fosfato. Finalmente, se añade ácido ascórbico que al reducir el ácido β -silicomolibdico rinde azul de indofenol, el cual puede medirse colorimétricamente.

Clorofila-a (Cl-a)

Se mide a partir de lecturas de fluorescencia 'in vivo' sobre muestras de agua de mar tratadas con diurón, un inhibidor de la fotosíntesis (Falkowski y Kiefer, 1985). Las lecturas de fluo-

rescencia se llevan a cabo mediante un fluorímetro *Turner Desings*, previamente calibrado a partir de un extracto obtenido de un cultivo mono-específico de *Phaeodactylum tricornutum* (Jeffrey y Humphrey, 1975).

DESCRIPCIÓN DE LA VARIACIÓN ANUAL (2)

El ciclo anual describe la evolución media de la variable durante un año. Al tratar con series temporales de variables ecológicas, es habitual que el ciclo anual suponga una parte importante de la variabilidad total observada.

A partir de los datos expuestos en la sección III del informe, y por medio de un sistema de filtrado al que se sometió cada una de las series temporales, se obtuvo un ciclo anual de promedios quincenales para cada variable. El ciclo anual resultante se expone en forma gráfica en esta parte del informe, con breves comentarios explicativos.

VARIABLES METEOROLÓGICAS

Los ciclos anuales de las variables meteorológicas consideradas muestran un importante grado de acoplamiento, el cual viene determinado a su vez por el componente estacional que exhiben la posiciones relativas de los grandes centros de presión atmosférica que controlan las condiciones meteorológicas generales en el Atlántico Norte: el centro de altas presiones de la Azores y el de bajas presiones de Groenlandia (Blanton *et al.*, 1987). Otro factor importante que incide en el grado de acoplamiento observado es el desarrollo, también estacional, de bajas presiones térmicas relativas sobre la península Ibérica (Fraga, 1991).

Sin embargo, los componentes estacionales difieren en el grado de regularidad que muestran de un año para otro. Así, por ejemplo, mientras que el ciclo anual de radiación incidente muestra un patrón muy regular, la regularidad es menor para el ciclo anual de escorrentía y para el de las componentes del transporte de Ekman (o, lo que es lo mismo, para el régimen de vientos).

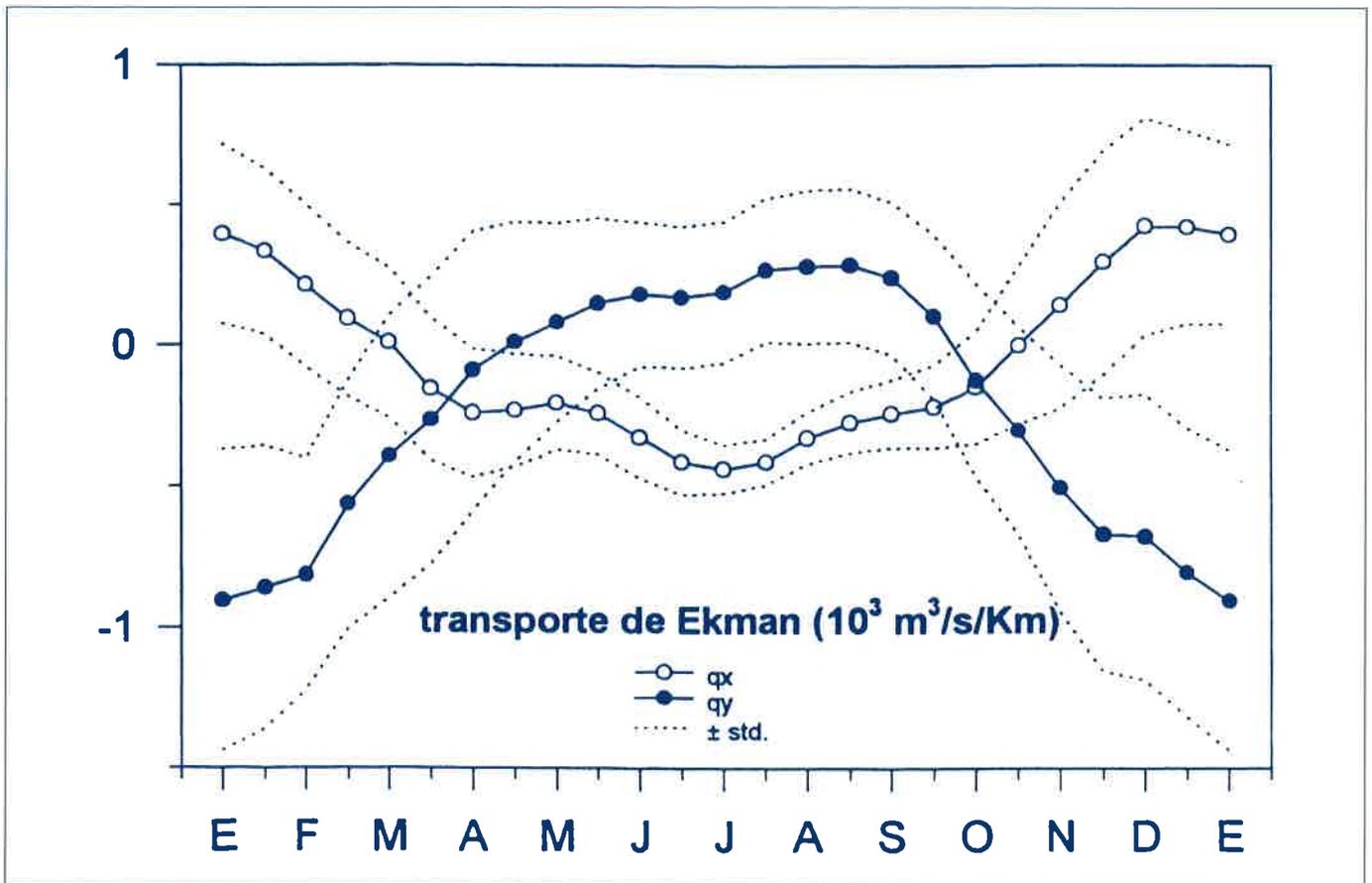


Fig. 8 Ciclo anual para las componentes del transporte de Ekman, std, desviación estandard.



Componentes del transporte de Ekman (q_x, q_y) (Fig. 8)

(Nota: con objeto de facilitar la representación de las componentes del transporte de Ekman, no se ha cambiado el signo de la componente transversal).

La componente del transporte transversal a la costa, q_x , oscila entre -500 y 500 $m^3/s/Km$, observándose dos periodos contrastados durante el año. De Noviembre a Febrero, los valores positivos de q_x indican que, en promedio, el transporte de la capa de Ekman es hacia la costa. Los valores extremos se producen en Diciembre y Enero. El resto del año, la situación es opuesta: valores negativos de la componente indican un transporte de la capa de Ekman hacia mar abierto, lo cual promueve el afloramiento de agua subsuperficial. El afloramiento es más notorio durante los meses de verano.

El transporte paralelo a la costa, q_y , presenta un rango de variación mayor: de -1000 a 250 $m^3/s/Km$. Los valores negativos indican transporte de la capa de Ekman hacia el sur, lo que se corresponde con vientos del oeste. Esta situación es predominante durante la mayor parte del año, de Mayo a Octubre.

A partir de la evolución media anual de las componentes del transporte de Ekman se infiere el régimen anual de vientos. Tres situaciones predomi-

nan a lo largo del año: (1) de Octubre a Febrero, con vientos del S-SO; (2) de Marzo a Abril, con vientos del O-NO y (3) de Mayo a Septiembre con vientos del N-NE y N-NO, siendo esta última situación la más favorable para el afloramiento de agua subsuperficial oceánica en la Ría.

Escorrentía en la cuenca hidrográfica (Q_r) (Fig. 9)

El ciclo anual de escorrentía, es propio de una cuenca hidrográfica pequeña (~ 589 Km^2), a escasa altura sobre el nivel del mar (~ 200 m. de media), y bajo la influencia de un régimen de lluvia de tipo mediterráneo marítimo, con elevadas precipitaciones de otoño a primavera y valor medio anual en torno a 2.500 $mm/año$. De Octubre a Enero, con predominio de vientos del sur, se tiene un valor medio de escorrentía en la Ría de 30 m^3/s . El promedio más elevado, 35 m^3/s , se registra en Noviembre. De Febrero en adelante el promedio quincenal decrece, registrándose los promedios mínimos anuales durante el verano, 5 a 10 m^3/s .

Radiación incidente (Q_s) (Fig. 9)

El ciclo anual de radiación incidente se corresponde con el de latitudes medias: los promedios máximos y mínimos se registran, respectivamente, durante el solsticio de verano e invierno, con valores en torno a 650 y 200 $cal/cm^2/día$.

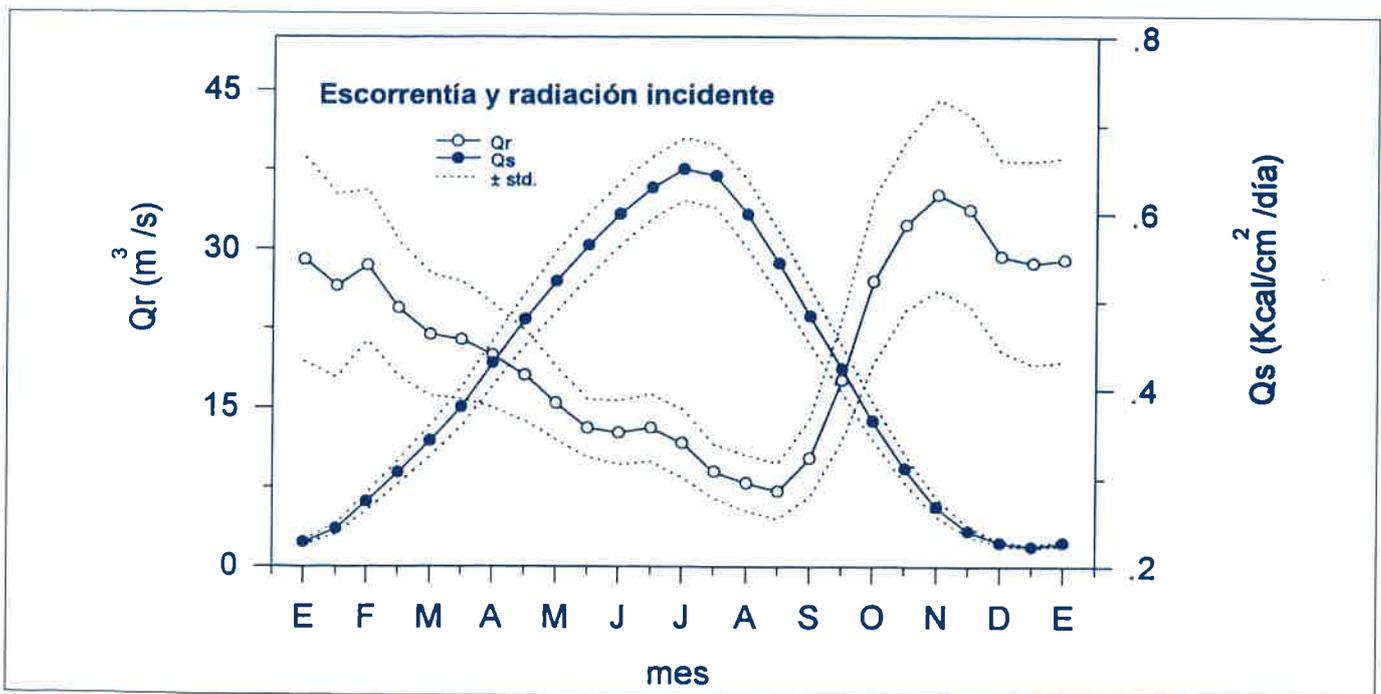


Fig. 9 Ciclo anual de escorrentía en la cuenca hidrográfica hasta la estación fija y de radiación incidente.

VARIABLES HIDROGRÁFICAS

Salinidad (S) (Fig. 10)

El ciclo anual para la salinidad de superficie (~1 m.) y de fondo (~40 m.) es muy similar, si bien el de superficie presenta un rango de variación más acusado. Los promedios más bajos se obtienen de Noviembre a Abril, con valores de salinidad de 33,30 ‰ en superficie y de 35,45 ‰ en fondo. De Junio a Septiembre se obtienen los mayores pro-

medios, 35,00 ‰ en superficie y 35,65 ‰ en fondo; el promedio más alto, en el mes de Agosto, es de 35,65 ‰ en superficie y de 35,73 ‰ en fondo. La regularidad de ambos ciclos anuales es relativamente baja, ya que la evolución anual de esta variable está controlada por la escorrentía y los episodios de mezcla inducidos, fundamentalmente, por el régimen de vientos.

La diferencia de la salinidad entre la superficie y el fondo es máxima a partir de Noviembre, momento en el que la escorrentía en la Ría es más intensa.

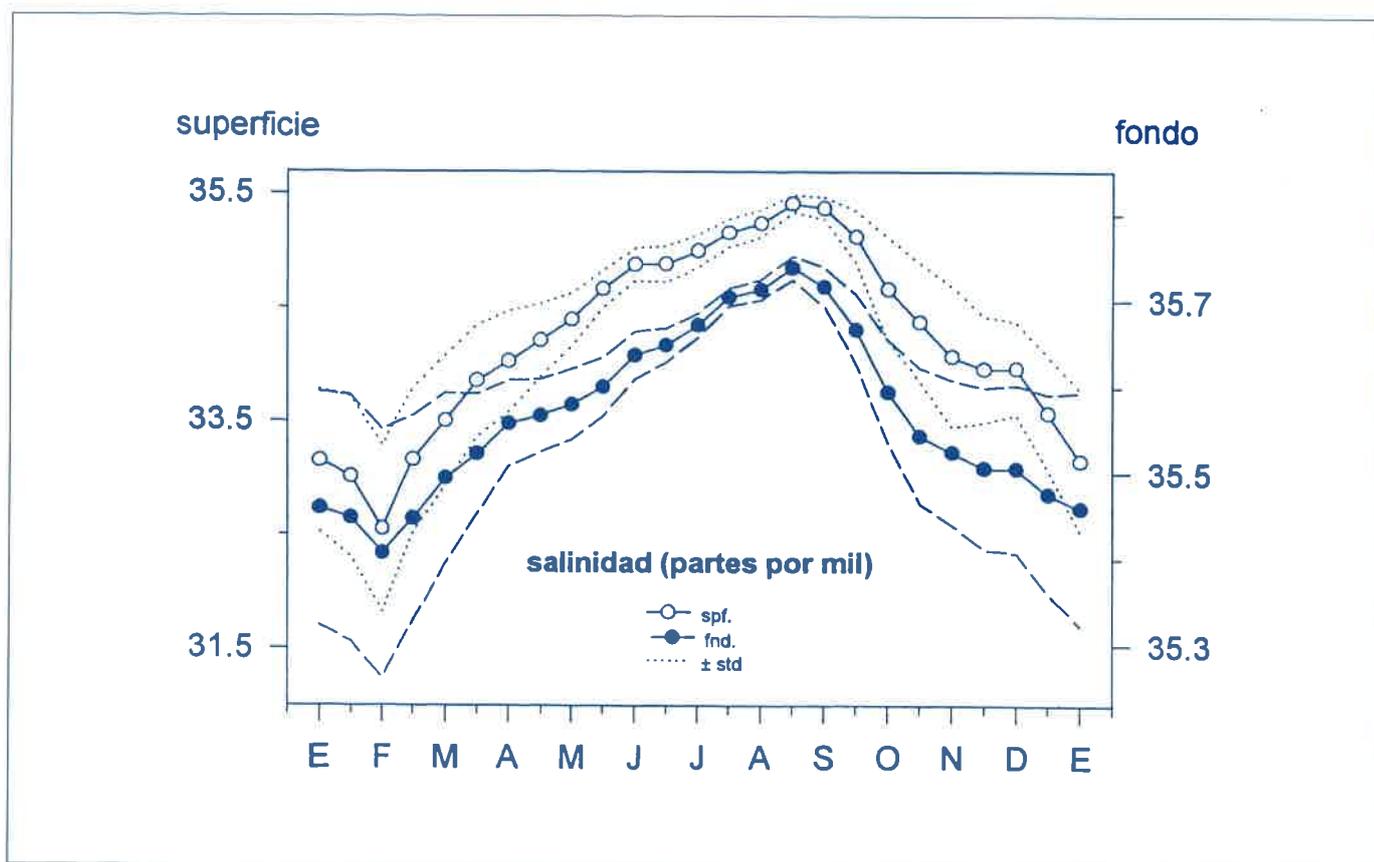


Fig. 10 Ciclo anual de salinidad en la estación fija de la Ría de Vigo, para los niveles de superficie (~1m.) y fondo (~40 m.).

Temperatura (t) (Fig. 11)

Como ocurría con la salinidad, el rango de variación anual de temperatura en superficie es más acusado que en fondo, pero a diferencia de lo que ocurría con aquella variable, los ciclos anuales de temperatura en superficie y fondo son diferentes.

Para la temperatura superficial, los promedios mensuales oscilan entre los 13°C para los

meses de Enero a Mayo, a los 18°C que se obtienen para los meses de Julio y Agosto.

El ciclo anual de temperatura a 40 m. presenta una oscilación media de sólo 2°C. Los promedios más bajos se obtienen para los meses de Mayo a Agosto, en torno a 13°C, periodo en el que, a consecuencia del afloramiento, la entrada en la Ría de agua subsuperficial oceánica, con temperatura en torno a los 12°C, es más intensa. El prome-

dió más alto se obtiene para el mes de Noviembre, unos 15°C, cuando el afloramiento costero remite y pasan a ser dominantes los vientos del sur.

Con respecto a la regularidad, la evolución anual de temperatura exhibe un patrón relativamente regular, si bien la regularidad es más clara para la temperatura superficial, controlada fundamentalmente por la radiación incidente, que para la temperatura de fondo, marcadamente influenciada por el régimen de vientos que condiciona el afloramiento y los procesos de mezcla.

Es necesario resaltar dos características importantes, apreciables cuando se observa la evolución conjunta de la temperatura para los dos niveles de profundidad considerados. Por una parte, durante los meses de invierno se produce una situación de inversión térmica: en promedio, la temperatura superficial es menor que la de fondo. Por otra parte, durante el verano, la diferencia de temperatura entre el fondo y la superficie es máxima: en promedio, la diferencia es de unos 5 C.

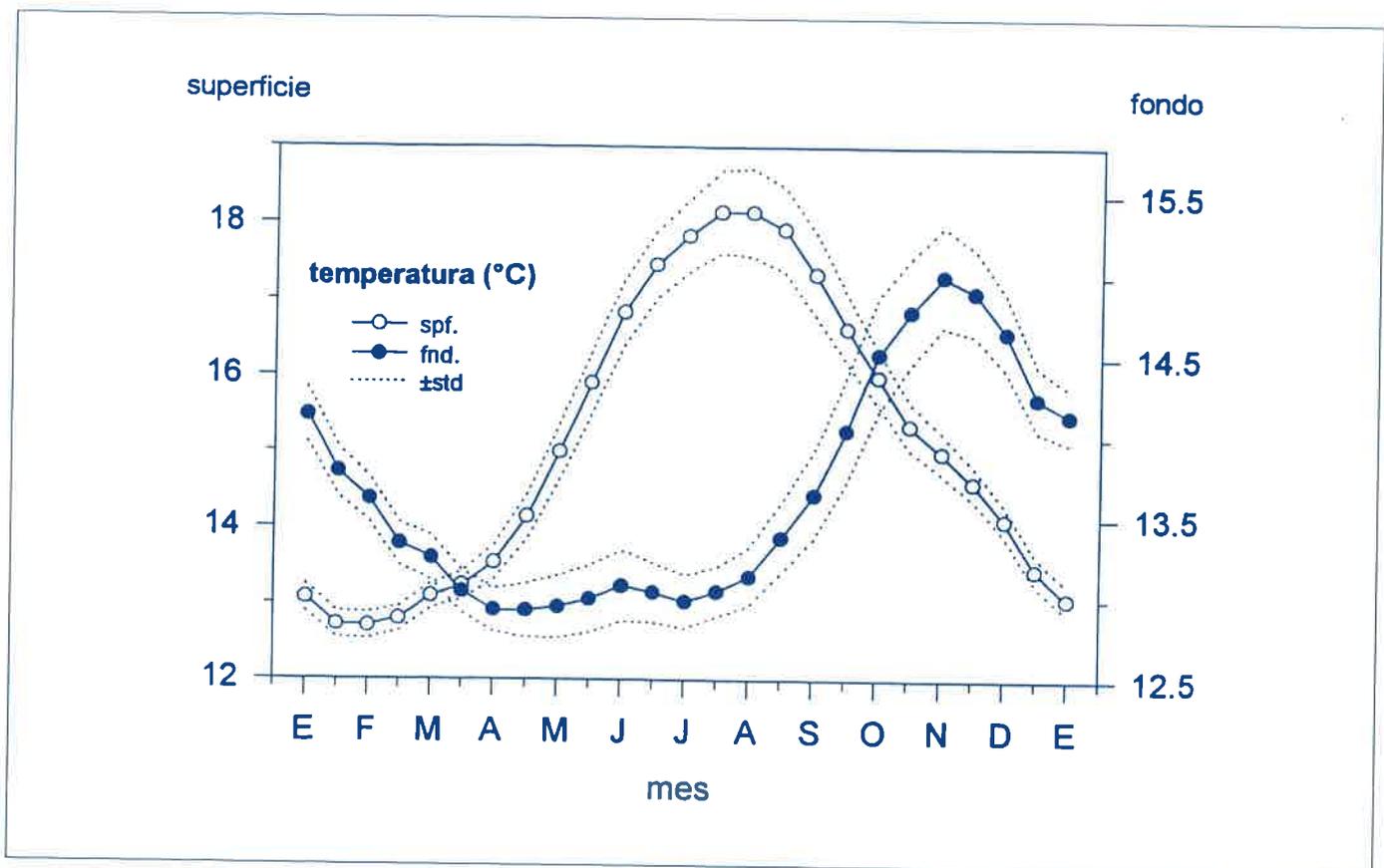


Fig. 11 Ciclo anual de temperatura en la estación fija de la Ría de Vigo, para los niveles de superficie (~1m.) y fondo (~40m.)

Densidad (σ_t)

Aunque no se ha representado, el ciclo anual de densidad se puede inferir a partir de los correspondientes para la temperatura y la salinidad. Además, el aspecto importante de la densidad no es tanto el valor que se tiene en cada uno de los niveles como la diferencia de densidad entre ambos niveles, o lo que es lo mismo, el grado de estratificación de la columna de agua.

A lo largo del año, en lo que a la estratificación de la columna se refiere, se tienen en promedio dos situaciones marcadamente diferentes. Durante el verano, la estratificación de la columna se debe a la diferencia de temperatura entre la superficie y el fondo, y se habla entonces de estratificación térmica. Durante los meses de otoño e invierno, la diferencia de densidad entre la superficie y el fondo se debe, fundamentalmente, a la diferencia de salinidad entre ambos niveles, y nos



referimos a esta situación como de estratificación halina. En la primavera, ni las diferencias por salinidad ni por temperatura son muy acusadas, por lo que durante este periodo la columna de agua exhibe un perfil más o menos homogéneo en lo que a la distribución de las propiedades termohalinas (temperatura y salinidad) se refiere. En esta situación predominará la mezcla.

Sales nutrientes

Los ciclos anuales de sales nutrientes representan el balance neto entre aquellos procesos que introducen los nutrientes en el sistema y los que tienden a retirarlos de la disolución. Los nutrientes son aportados a la Ría de Vigo, fundamentalmente, con el agua de escorrentía y de los efluentes urbanos e industriales, y por el agua oceánica subsuperficial que entra en la Ría en virtud del afloramiento costero. Los primeros procesos, afectan sobre todo a la capa superficial, mientras que la capa inferior de agua es más sensible al aporte de nutrientes debido al afloramiento. Por otra parte, el proceso fundamental que tiende a retirarlos de la disolución, y que, por lo tanto, disminuye su concentración en el medio, es la toma de sales nutrientes por el fitoplancton; un proceso básico asociado con la fotosíntesis (formación de compuestos orgánicos a partir de precursores inorgánicos -sales nutrientes- con el concurso de la luz), y por lo tanto, con el crecimiento y desarrollo de estos organismos, que tiene lugar en la capa superficial.

Además de estos procesos, cuantitativamente los más importantes, acontecen otros, también relevantes, que condicionan la concentración de sales nutrientes en el medio. Entre ellos podemos destacar el proceso de remineralización. La remineralización es un proceso biológico (mediado por organismos) mediante el cual la materia orgánica se descompone, lo que supone el retorno de las sales nutrientes al medio. Es, por lo tanto, el proceso contrario a la fotosíntesis. Ambos procesos se pueden resumir en la siguiente ecuación estequiométrica, con la reacción de fotosíntesis hacia la derecha y la de remineralización hacia la izquierda, donde la fórmula entre corchetes representa la composición media del fitoplancton:



La remineralización de la materia orgánica es un proceso que tiene lugar tanto en la columna de agua como en el sedimento de la Ría y de la plataforma continental. Ya se hizo referencia al hecho de que el agua subsuperficial oceánica que aflora en la Ría se enriquece en nutrientes en su camino a través de la plataforma. Este enriquecimiento es una consecuencia de la remineralización de la materia orgánica en el lecho de la plataforma continental. La remineralización, que tiene lugar durante todo el año, cobra en determinadas épocas una mayor relevancia. Así, por ejemplo, a principios de otoño, la descomposición y remineralización de las algas superiores (macrófitos) en algunas zonas del interior de la Ría supone una fuente adicional de sales nutrientes.

El ciclo anual de sales nutrientes en superficie

Las sales nutrientes muestran en superficie un ciclo anual de similares características. Los procesos básicos que controlan la evolución anual media observada son: el aporte de nutrientes vía escorrentía y su consumo por el fitoplancton. A rasgos generales, los promedios más altos se registran de otoño a invierno, estaciones en las que la escorrentía es más importante, y los más bajos durante la primavera y verano, coincidiendo con una disminución considerable de la escorrentía y durante el periodo de mayor actividad del fitoplancton.

Los contrastes que se pueden apreciar entre los ciclos anuales, se relacionan con procesos de remineralización, caso de la sucesión de máximos observada para las diferentes formas de nitrógeno inorgánico disuelto (amonio→nitrito→nitrato), y/o con diferencias en las relaciones de incorporación al sistema y consumo por el fitoplancton de unos nutrientes con respecto a otros, como ocurre con el fosfato.

El ciclo de sales nutrientes en el fondo (40 m.)

La concentración de nutrientes en la capa de fondo, donde el consumo por el fitoplancton



es muy bajo debido a la escasez de luz, depende, fundamentalmente, del aporte de nutrientes. Estos aportes están básicamente controlados por: la entrada de agua subsuperficial oceánica en la Ría a consecuencia del afloramiento y la mezcla entre la superficie y el fondo. La concentración media en el fondo alcanza sus valores más altos durante la época del año en la que el afloramiento es más notable, a partir de primavera y durante los meses de verano. El resto del año, la concentración de nutrientes en el fondo es inferior a la registrada en superficie, y dependiente de la mezcla entre la capa superior y la inferior.

Como ocurría en superficie, a estos procesos, cuantitativamente los más importantes, se superponen otros que configuran las diferencias observadas entre los ciclos anuales; entre ellos podemos resaltar dos: los procesos de remineralización de la materia orgánica, y las diferentes velocidades a las que éstos tienen lugar para los distintos nutrientes, así como procesos de inmovilización-liberación a nivel del sedimento.

Amonio (NH_4^+) (Fig 12)

La concentración media de amonio en superficie varía a lo largo del año entre $4 \mu\text{mol/Kg}$ registrados en Noviembre, y $0,5 \mu\text{mol/Kg}$ durante los meses de verano. Al diferencia de lo que ocurre para el nitrato a finales de verano, la concentración media quincenal superficial de amonio nunca cae a cero.

En el fondo, el ciclo anual presenta un patrón bimodal. Los promedios más bajos se obtienen para los meses de invierno y principios de la primavera, con valores próximos a $1,5 \mu\text{mol/Kg}$. Se registra un máximo para el promedio de Junio, y otro hacia Octubre, ambos en torno a $3 \mu\text{mol/Kg}$. Este patrón anual bimodal del amonio a 40 m. muestra semejanza con el de la concentración de clorofila-a en superficie (Fig. 17). El amonio es el primer compuesto de nitrógeno en ser liberado de la materia orgánica en descomposición. Los picos de amonio se registran con cierto retraso respecto a los de concentración de clorofila en superficie. La sedimentación, en el interior de la Ría, del fitoplancton muerto, y su ulterior descomposición con la consiguiente liberación de amonio, es un mecanismo posible para explicar las relaciones observadas entre ambos ciclos anuales.

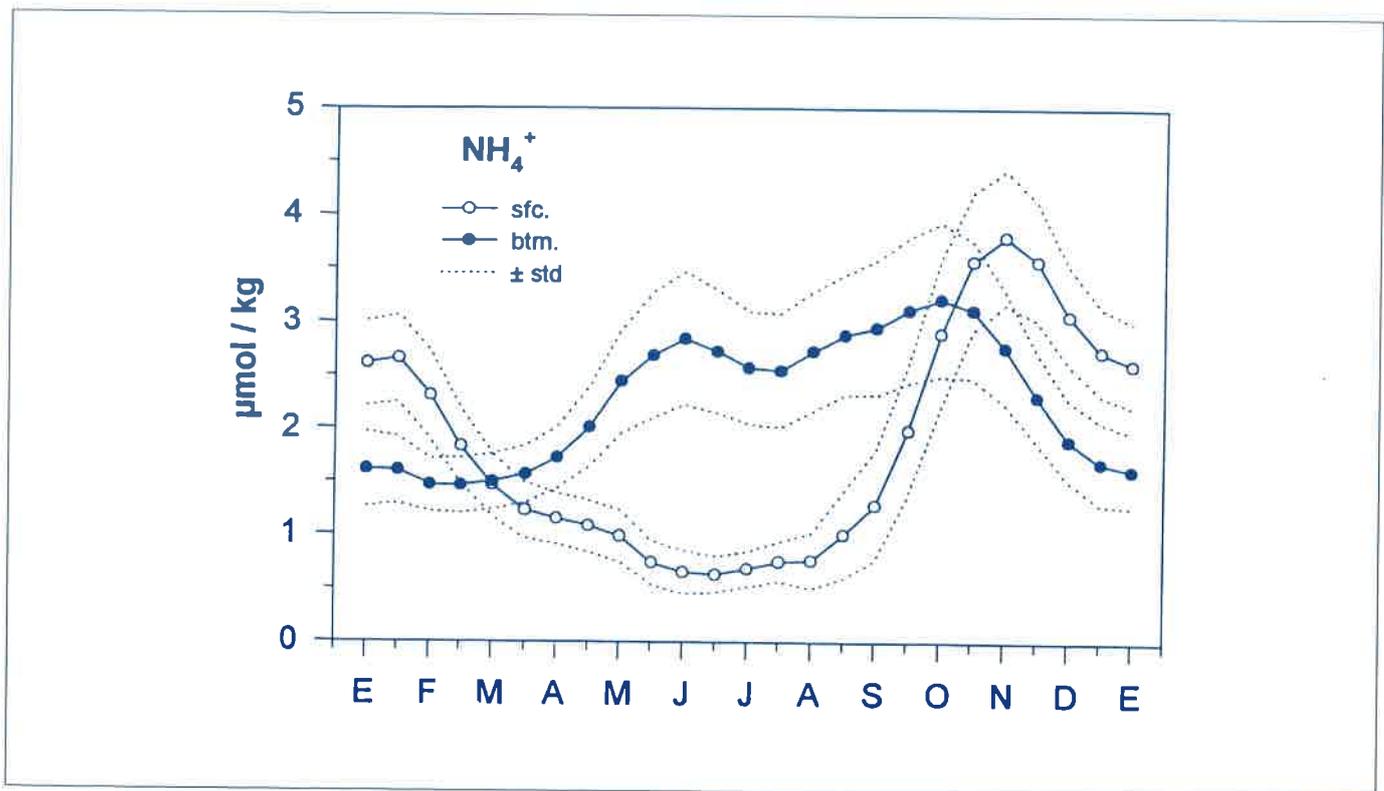


Fig. 12 Ciclo anual de amonio en la estación fija de la Ría de Vigo, para los niveles de superficie (~1m.) y fondo (~40m.).

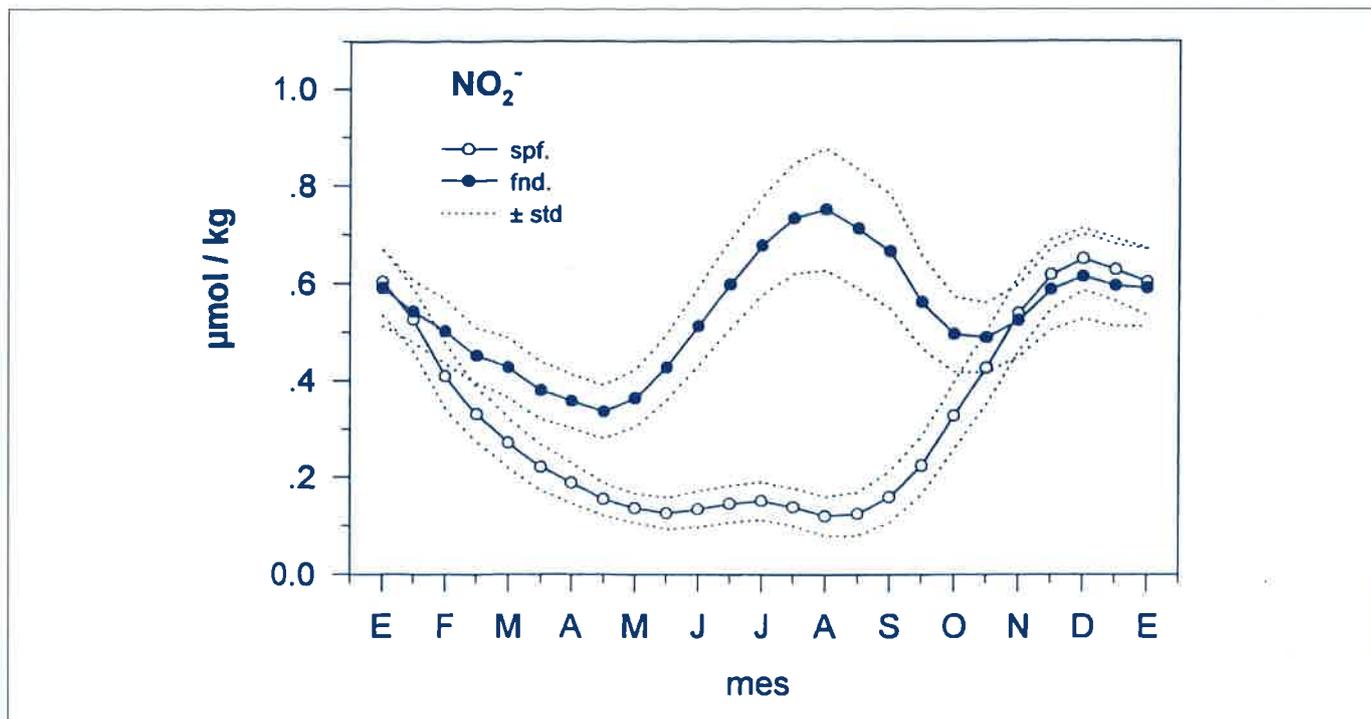


Fig. 13 Ciclo anual de nitrito en la estación fija de la Ría de Vigo, para los niveles de superficie (~1m.) y fondo (~40m.).

Nitrito (NO_2^-) (Fig. 13)

Los promedios quincenales de nitrito en superficie son máximos durante el invierno, ~0,6 $\mu\text{mol/Kg}$, y mínimos, por debajo de 0,2 $\mu\text{mol/Kg}$, durante los meses de primavera y verano.

A 40 m. el nitrito presenta el valor medio máximo centrado en Agosto, coincidiendo con el mínimo estival de clorofila-a (Fig. 17). La concentración media decrece durante el otoño, y repunta de nuevo a finales de año, momento a partir del cual desciende para alcanzar en Mayo el promedio mínimo, por debajo de 0,3 $\mu\text{mol/Kg}$.

Nitrato (NO_3^-) (Fig. 14)

El rango de variación anual de la concentración media de nitrato en superficie es de unos 7 $\mu\text{mol/Kg}$. Los promedios más altos se registran durante el invierno, coincidiendo con los mayores promedios de escorrentía y los mínimos de actividad del fitoplancton. A partir del comienzo de la primavera, cuando la actividad del fitoplancton comienza a ser importante

y la escorrentía decrece, tiene lugar un acusado descenso de la concentración media; durante el verano la concentración alcanza niveles próximos a cero.

La concentración de nitrato a 40 m. presenta una evolución anual media que contrasta marcadamente con la de superficie. De Noviembre a finales de Mayo la concentración media se mantiene en los valores medios más bajos, menores que los que se registran en superficie, en torno a 4 $\mu\text{mol/Kg}$. A partir de Mayo, la concentración media se incrementa a una tasa quincenal de aproximadamente 1 $\mu\text{mol/Kg}$. Los promedios más altos se registran durante los meses de verano, periodo de máxima intensidad de afloramiento (-qx ~500 $\text{m}^3/\text{s/Km}$); el ciclo anual presenta el máximo en Septiembre, mes con un promedio de afloramiento todavía importante (-qx promedio de Septiembre, 300 $\text{m}^3/\text{s/Km}$) y cuando es más notable la influencia de la remineralización de los compuestos de nitrógeno, y la remoción del fondo por la actividad marisquera.

Al comparar los ciclos anuales para las diferentes formas de nitrógeno inorgánico disuelto, merece la pena destacar la secuenciación de los

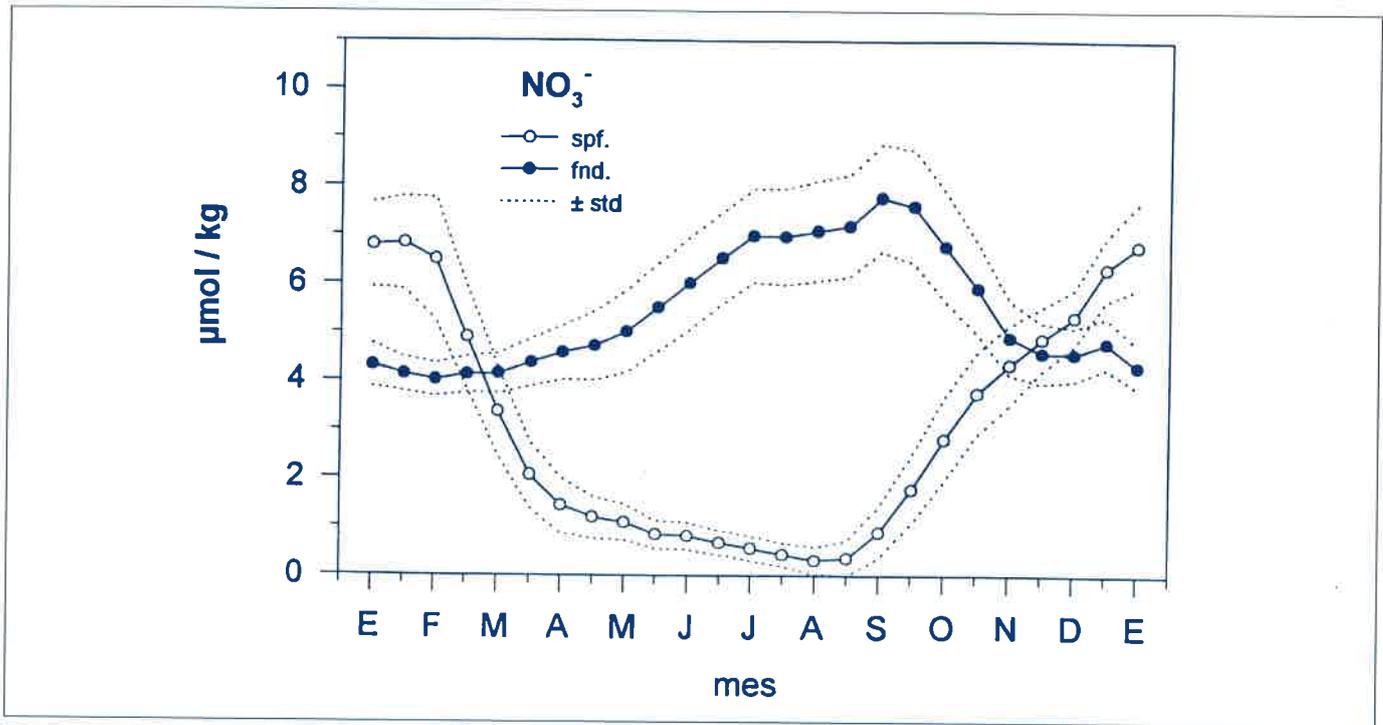


Fig. 14 Ciclo anual de nitrato en la estación fija de la Ría de Vigo, para los niveles de superficie (~1m.) y fondo (~40m.).

máximos de amonio, nitrito y nitrato. Esta sucesión de máximos, que se aprecia mejor en los ciclos anuales de superficie, se relaciona con la secuencia de remineralización: el primer com-

puesto de nitrógeno que se libera en el proceso de remineralización de la materia orgánica es el amonio, seguido del nitrito y , por último del nitrato.

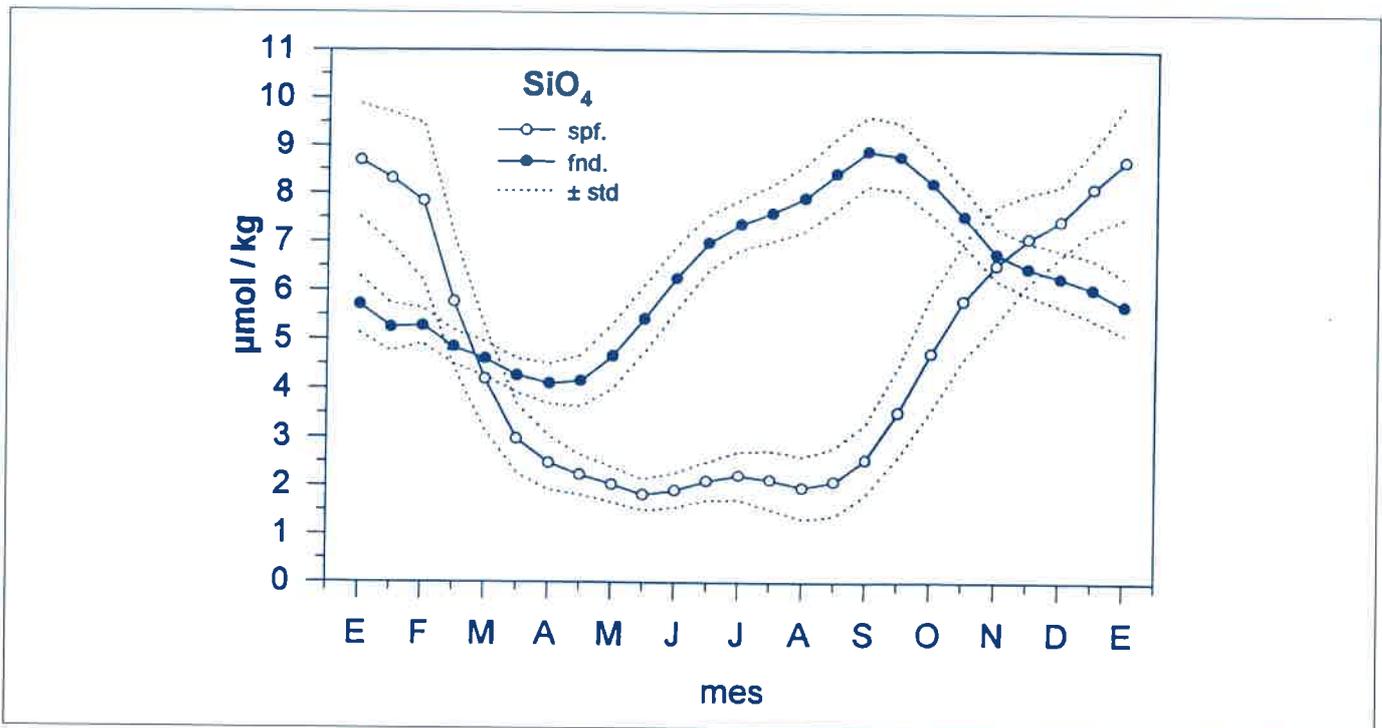


Fig. 15 Ciclo anual de silicato en la estación fija de la Ría de Vigo, para los niveles de superficie (~1m.) y fondo (~40m.).

Silicato (Si(OH)_4) (Fig. 15)

En superficie, el ciclo anual de silicato es muy similar al de nitrato, si bien las concentraciones media más bajas, durante primavera y verano, se sitúan en torno a $2 \mu\text{mol/Kg}$. Los promedios más altos se registran durante los meses de invierno, entre $7-9 \mu\text{mol/Kg}$. Los procesos básicos que determinan la evolución del silicato en superficie son los mismos que los descritos para el nitrato.

A 40 m. la evolución media de la concentración de silicato sigue también un patrón muy similar a la observada para el nitrato. El rango de variación es de unos $4 \mu\text{mol/Kg}$, con los valores medios más altos durante el verano, y los más bajos entre el comienzo del invierno y finales de primavera.

Fosfato (HPO_4^{2-}) (Fig. 16)

El rango de variación para el ciclo anual medio de fosfato en superficie es de unos $0,4 \mu\text{mol/Kg}$. El promedio más bajo se registra en el mes de Mayo, en torno a $0,3 \mu\text{mol/Kg}$; a partir de este mes, a diferencia de los otros nutrientes en superficie, la concentración media se incrementa alcanzando en Noviembre su valor máximo, unos $0,7 \mu\text{mol/Kg}$. La diferencia observada para el fosfato en relación a los otros nutrientes se debe a varios factores. Por una parte, la remineralización del fosfato tiene lugar a mayor velocidad que para el resto de los nutrientes y son los compuestos de nitrógeno, no el fosfato, las sales nutrientes que, en general, limitan la biomasa de fitoplancton (concentración de clorofila-a) en la Ría. Además, mientras que tanto los compuestos de nitrógeno como el silicato son aportados a la

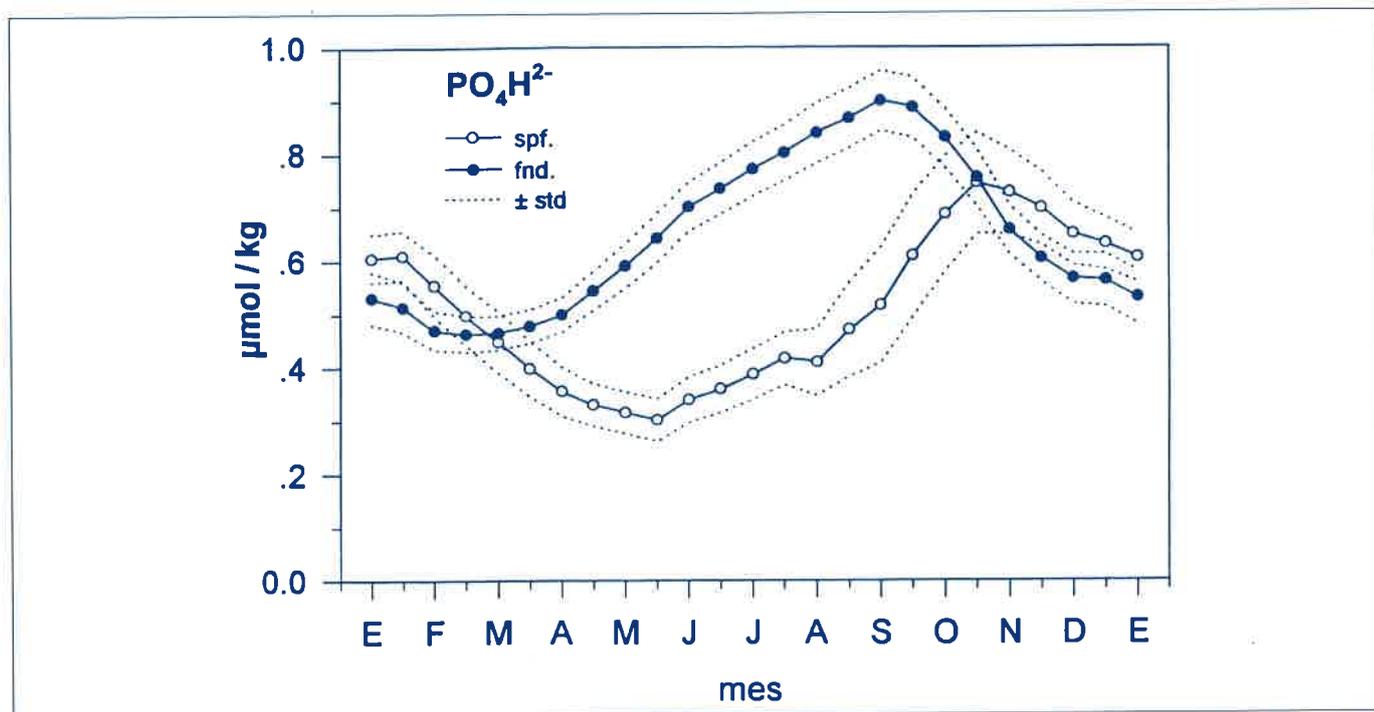


Fig. 16 Ciclo anual de fosfato en la estación fija de la Ría de Vigo, para los niveles de superficie (~1m.) y fondo (~40m.).

capa superficial, fundamentalmente, con el agua de escorrentía, la cual decrece considerablemente durante la época estival, una parte considerable de fosfato proviene de los vertidos urbanos, los cuales no sólo permanecen constantes a lo largo del año, sino que incluso se incrementan durante esta época del año.

A 40 m., el ciclo anual es similar al de nitrato o silicato. Los promedios máximos se registran en Septiembre, unos $0,8 \mu\text{mol/Kg}$. Los mínimos, en torno a $0,5 \mu\text{mol/Kg}$, se registran en invierno y primavera.

Los ciclos a 40 m. para el silicato y el fos-

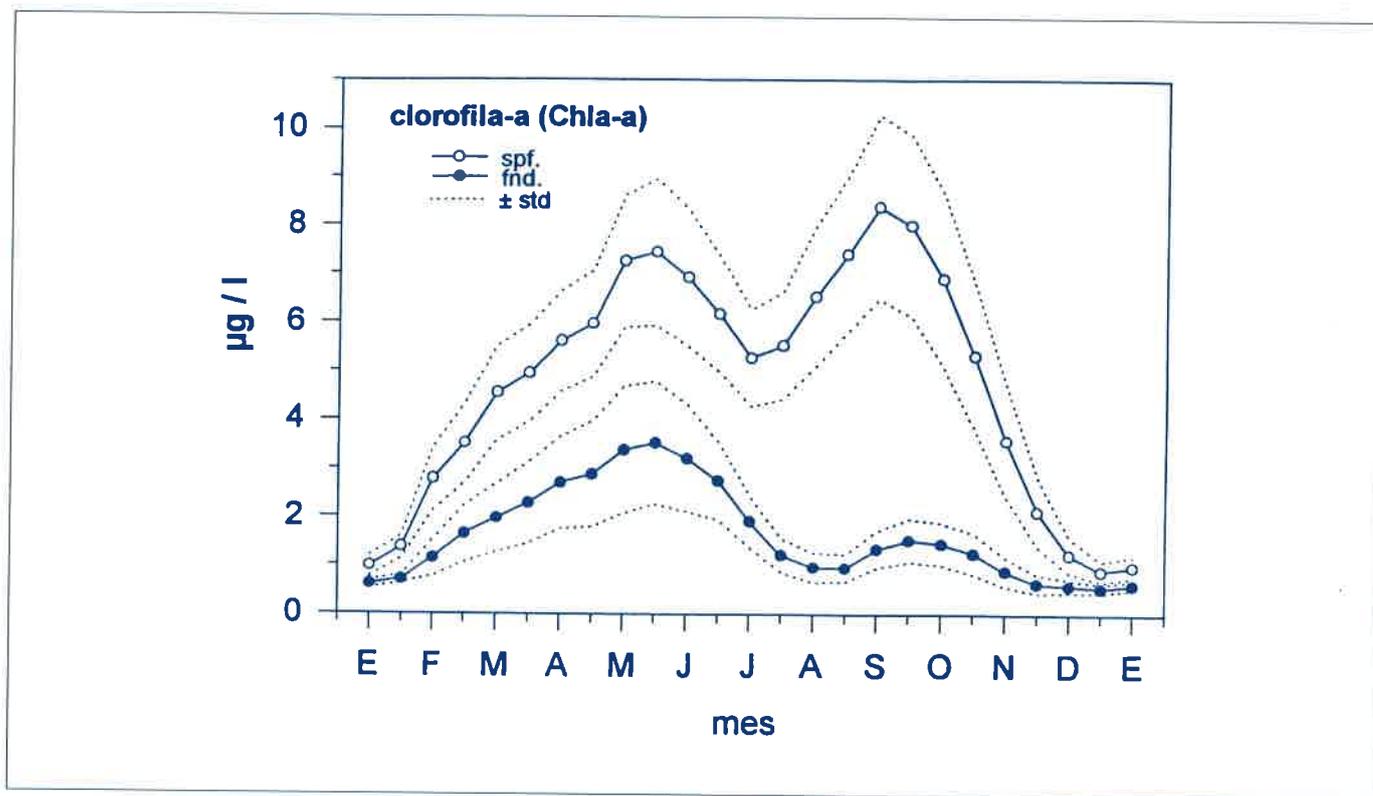


Fig. 17 Ciclo anual de clorofila-a en la estación fija de la Ría de Vigo, para los niveles de superficie (~1m.) y fondo (~40m.).

fato muestran un comportamiento más regular de un año para otro que los descritos para las diferentes formas de nitrógeno inorgánico disuelto.

Clorofila-a (Cl-a) (Fig. 17)

La concentración de clorofila-a es una estimación de la biomasa del fitoplancton. En superficie, el ciclo anual presenta un patrón bimodal. El primer máximo se registra en plena primavera, con valores promedio en Mayo de unos 8 µg/l. Durante el verano se registra un mínimo estival, promedios en torno a 5 µg/l, al que sigue, en otoño, un segundo máximo, de menor duración pero en el que se registran valores promedio más altos, en torno a 9 µmol/Kg. Las proliferaciones (o 'bloom') de primavera se aso-

cia con el desarrollo, preferentemente, de poblaciones de diatomeas, mientras que en las proliferaciones de fitoplancton de otoño predominan las poblaciones de dinoflagelados, que en ocasiones dan lugar al desarrollo de episodios de marea roja.

A 40 m. se obtienen concentraciones de unos 3 µg/l, en primavera, y de 1 µg/l en otoño. El resto del año, la concentración es prácticamente cero.

La concentración media de clorofila en los dos niveles, se relaciona con el grado de estratificación, o de mezcla, de la columna de agua: en primavera, la estratificación es menos acusada que en otoño, por lo que los valores de clorofila-a a 40 m. son relativamente elevados.



REFERENCIAS

- Andersson, L. 1974. Correction of reversing thermometers and related depth calculations in Baltic Water. *Meddelande fran Havsfiskelaboratoriet. Lysekil* nº 166.
- Bakun, A. 1973. Coastal upwelling indices, west coast of North America, 1946-71. *NOAA Technical Reports NMFS-671*, 103pp.
- Blanton, J. O., Tenore, K. R., Castillejo, F. F., Atkinson, L. P., Schwing, F. B. y Lavín, A. 1987. The relationship of upwelling to mussel production in the rias on the Western Coast of Spain. *Journal of Marine Research*, 45, 497-511.
- Dietrich, G., Kalle, K., Krauss, W. y Siedler, G. 1980. *General Oceanography. An Introduction*. 2nd Edition. J. Willey & Sons (Eds.), 626 pp.
- Falkowsky, P., y Kiefer, D. A. 1985. Chlorophyll-a fluorescence in phytoplankton: relationships to photosynthesis and biomass. *Journal of Plankton Research*, 7, 715-731.
- Fofonoff, N. P. y Millard, R. C. Algorithms of computation of fundamental properties of seawater. *Unesco Technical Papers in Marine Science* nº 44.
- Grasshoff, K. y Johannsen, H. 1972. A new sensitive and direct method for the automatic determination of ammonia in sea water. *J. Cons. Int. Explor. Mer.*, 34:516-521.
- Grasshoff, K., Ehrhardt, M. y Kremling, K. 1983. *Methods of seawater analysis*. 2nd edition. 401pp.
- Jeffrey, S. W. y Humphrey, G. F. 1975. New spectrophotometric equations for determining chlorophylls a, b, c₁ and c₂ in higher plants, algae and natural phytoplankton. *Biochem. Physiol. Pflanz*. 167: 191-194.
- Mouriño, C. y Fraga, F. 1985. Determinación de nitratos en agua de mar. *Investigación Pesquera*, 49, 81-96.
- Pérez, F. F. 1985. *Fisicoquímica de los equilibrios iónicos en agua de mar y su aplicación en oceanología*. Tesis Doctoral. Univ. de Santiago de Compostela. ISBN 84-398-3524-8.
- Ríos, A. F., Nombela, M. A., Pérez, F. F., Rpsón, G. y Fraga, F. 1992. Calculation of runoff to an estuary. Ría de Vigo. *Scientia Marina*, 56, 29-33.
- Rosón, G. 1992. *Flujos y ciclo del carbonato cálcico en la Ría de Arousa*. Tesis Doctoral. Universidad de Santiago. 485pp.
- Strickland, J. D. y Parsons, T. R. 1968. A manual of seawater analysis. *Fishery Research Board Canada*. 167: 310pp.
- UNESCO, 1981. Tenth report of the joint panel on oceanographic tables and standard. *Unesco Technical Papers in Marine Science* nº 36.



PROCEDENCIA DE LAS FIGURAS

Carátula. Mapa de la Ría de Vigo en la que se muestra la posición de la estación de muestreo hidrográfico E3.

Fig 1. (figura superior) Alvarez-Salgado, X. A. 1993. Mecanismos de transporte e balance bioquímico do nitróxeno na Ría de Arousa. Tese Doutoral. Universidade de Santiago de Compostela. pp. 196. (figura inferior) Rosón, G. 1992. Flujos y ciclo del carbonato cálcico en la Ría de Arosa. Tesis Doctoral. Universidad de Santiago de Compostela. pp. 485.

Fig 2 y 7. Prego, R., Pérez, Fiz F., Ríos, Aida F., Fraga, F. y Figueiras, F. G. 1988. Datos hidrográficos de la Ría de Vigo: 1986. Datos Informativos. Instituto de Investigaciones Marinas. C. S. I. C. pp. 105.

Fig 3. Fraga, F. Las Rías. (en preparación).

Fig 4. Pérez, Fiz F. y Vila, L. 1995. Morfoloxía e dinámica das Rías Galegas. A Ecoloxía do Meio Mariño. ed. ADEGA. pp. 5-10.

Fig 5. Alvarez-Salgado, X. A. 1993. Mecanismos de transporte e balance bioquímico do nitróxeno na Ría de Arousa. Tese Doutoral. Universidade de Santiago de Compostela. pp. 196.

Fig. 6. Bakun, A. 1973. Coastal upwelling indices, west coast of North America, 1946-71. NOAA Technical Reports NMFS-671, 103 pp.

Figs. 8 a 17. Nogueira, E., Pérez, Fiz F. y Ríos, Aida F. Seasonal patterns and long-term trends in an estuarine upwelling ecosystem (Ría de Vigo, NW Spain). Estuarine, Coastal and Shelf Science (en prensa).



III

BASE DE DATOS HIDROGRÁFICOS DE LA ESTACIÓN FIJA DE LA RÍA DE VIGO

PROYECTOS Y ORGANISMOS COLABORADORES CON LA ESTACION FIJA

Diversos proyectos de investigación han colaborado directa o indirectamente al mantenimiento del muestreo, y a la realización de los análisis químicos y biológicos, incorporando parcialmente nuevo equipamiento. Básicamente, la estación fija de muestreo hidrográfico de la Ría de Vigo (est. E3), se ha mantenido parcialmente, durante los años 1988-90, con financiación del CSIC con cargo a los fondos de "Observatorios Permanentes". La parte más importante de la financiación se ha realizado con cargo a los fondos de dos proyectos CICYT, que han sido, por lo tanto, elementos claves. Un proyecto financiado por la CEE ha sido llevado a cabo en gran medida gracias a los datos obtenidos en esta estación hidrográfica. Concretamente, una investigadora del Reino Unido ha realizado durante casi un año la experimentación básica de su tesis doctoral. Abajo se expone la relación de todos los proyectos que en menor o mayor grado ha venido sosteniendo esta estación:

"Intercambio de nutrientes entre las rías y la plataforma costera en el NW de la Península Ibérica" dirigido por Fernando Fraga Rodríguez y Félix Fdez Pérez y financiado por CAICYT (1985-1988)

"Proceso de la formación de la nutriclina en relación con las comunidades del fitoplancton en las Rías Bajas Gallegas" dirigido por Francisco Gómez Figueiras y financiado Xunta de Galicia (1988-1990).

"Variabilidad espacio-temporal de los episodios de fertilización de las costas gallegas y sus consecuencias biológicas" dirigido por Fiz Fernández Pérez (CICYT. MAR88-245,1989-1991) y Francisco Gómez Figueiras (Xunta de Galicia, 1989-1991)

"Control Dominance Phytoplankton" dirigido por Francisco Gómez Figueiras y financiado por MAST I (CEE. MAST - 0017 - C (EDB), 1990-1992).

"Estudio y seguimiento químico y biológico del medio marino en la Ría de Vigo" dirigido por Fiz Fernández Pérez y financiado por CICYT (AMB92-0165, 1992-1995).

"Estudio y seguimiento de las condiciones de producción en la Ría de Vigo" dirigido por Francisco Gómez Figueiras y financiado por la Xunta de Galicia (XUGA 40205B92, 1993-1994).

"Multidisciplinary Oceanographic Research in the Eastern Boundary of the North Atlantic (MORENA)" dirigido Fiz Fernández Pérez y financiado por la CEE-MAST II (MAS2-CT93-0065, 1993-1996).

"Construcción y validación de un modelo de circulación en la ría de Vigo y su aplicación a la descripción de los mecanismos forzadores y a los ciclos biogeoquímicos" dirigido por Fiz Fernández Pérez financiado por CICYT (AMB 95 1084-CO3-O3, 1995-98).



PERSONAL CIENTÍFICO Y TÉCNICO PARTICIPANTE

A continuación se expone, en orden alfabético, la relación de todas aquellas personas que han participado a cualquier nivel de organización o proceso en la planificación y mantenimiento de la estación fija.

Álvarez Salgado, Xosé Antón

Arbones, Belén

Casal, Ricardo

Doval, M^a Dolores

Fernández Pérez, Fiz

Fernández Ríos, Aida

Fraga Rodríguez, Fernando

Gomez Figueiras, Francisco

González Castro, Carmen

González, M^a Victoria

Toja Lema, Diana

Mosquera, Ana

Nogueira García, Enrique

Pazó Fernández, M^a José

Pazos, Yolanda

Penín, Ramón

Prego Reboredo, Ricardo

Rellán, Trinidad

Rosón Porto, Gabriel

Villarino, M^a Luisa

Moncoiffe, Wendoline



TABLA DE UNIDADES

Variables meteorológicas.

Componentes de transporte de Ekman (**qx**, componente transversal a la costa; **qy**, componente longitudinal a la costa).- $m^3/s/Km$.

Escorrentía (**Qr**). m^3/s .

Radiación incidente (**Qs**). $cal/cm^2/día$

Temperatura del aire.- $^{\circ}C$

Variables hidrográficas.

Transparencia del agua (**Secchi**).- Visibilidad del disco de Secchi, en m.

Salinidad (**S**).- Escala de salinidad práctica, ‰.

Temperatura (**t**).- Temperatura *in situ* en $^{\circ}C$.

pH (**pH₁₅**).- pH de la muestra calculado a $15^{\circ}C$.

Concentración de oxígeno (**[O₂]**).-
Concentración de oxígeno disuelto en $\mu mol/Kg$.

Nutrientes (**NO₂⁻, NO₃⁻, NH₄⁺, HPO₄²⁻, Si(OH)₄**).-
Concentración en $\mu mol/Kg$.

Clorofila-a (**Cl-a**).- Concentración en $\mu g/l$.

RÍA DE VIGO

Estación Fija (E3)

| FECHA | | METEOROLOGÍA | | | | HIDROGRAFÍA | | | | FONDO (40 m.) | | | | | | | | | | | | | | | | |
|-------|----|--------------|-------|-------|-------|-------------|----------------|--------|--------|---------------|----------------|-----------------|-------------------|-----------------|-----------------|------------------------------|--------------------------------|------------------|-----------------|------------------|--------------------------------|------------------|-----------------|------|-------|-----|
| A | M | D | -1x | gy | Or | Ca | temp. del aire | Secchi | S | t | σ _t | pH _a | [O ₂] | NO ₂ | NO ₃ | NH ₄ ⁺ | HPO ₄ ²⁻ | SiO ₄ | Cl _a | SiO ₃ | HPO ₄ ³⁻ | SiO ₃ | Cl _a | | | |
| | | | | | | | seco | húmedo | | | | | | | | | | | | | | | | | | |
| 87 | 8 | 3 | 610 | 1013 | 4.1 | 720 | | 5.0 | 35.578 | 15.92 | 28.21 | 0.07 | 0.00 | 0.04 | 0.23 | 3.34 | 7.4 | 35.708 | 12.88 | 27.01 | 0.58 | 9.40 | 0.43 | 0.72 | 6.88 | 0.4 |
| 87 | 8 | 6 | 278 | 430 | 4.1 | 480 | | 3.5 | 35.608 | 16.71 | 28.05 | 0.08 | 0.00 | 0.13 | 0.44 | 0.55 | 18.2 | 35.721 | 12.82 | 26.89 | 0.65 | 5.33 | 0.50 | 0.56 | 6.86 | 1.3 |
| 87 | 8 | 10 | 245 | 164 | 4.7 | 631 | | 6.0 | 35.338 | 17.98 | 25.54 | 0.10 | 0.15 | 0.40 | 0.39 | 1.42 | 3.3 | 35.678 | 13.35 | 26.85 | 0.88 | 4.54 | 2.49 | 0.72 | 8.48 | 3.4 |
| 87 | 8 | 13 | 256 | -24 | 4.1 | 657 | | 5.0 | 35.373 | 18.29 | 25.49 | 0.08 | 0.19 | 0.23 | 0.41 | 1.87 | 4.5 | 35.672 | 13.08 | 26.80 | 0.60 | 7.59 | 2.48 | 0.80 | 6.13 | 1.8 |
| 87 | 8 | 17 | -49 | -120 | 4.8 | 495 | | 12.0 | 35.184 | 17.48 | 25.54 | 0.03 | 0.00 | 0.38 | 0.54 | 0.40 | 3.0 | 35.650 | 13.18 | 26.88 | 0.43 | 5.18 | 2.51 | 0.82 | 7.85 | 0.7 |
| 87 | 8 | 20 | -497 | -408 | 6.1 | 557 | | 7.0 | 35.215 | 19.43 | 25.08 | 0.08 | 0.17 | 1.16 | 0.83 | 0.82 | 2.4 | 35.687 | 13.24 | 26.88 | 0.43 | 4.63 | 5.20 | 1.10 | 12.13 | 0.4 |
| 87 | 8 | 24 | 427 | -260 | 7.5 | 483 | | 5.5 | 35.270 | 19.62 | 25.07 | 0.00 | 0.00 | 0.04 | 0.41 | 0.27 | 4.3 | 35.689 | 13.28 | 26.85 | 0.48 | 7.17 | 5.11 | 1.01 | 10.81 | 0.3 |
| 87 | 8 | 27 | 723 | 451 | 5.8 | 605 | | 4.5 | 35.461 | 19.54 | 25.98 | 0.04 | 0.33 | 0.53 | 0.58 | 4.55 | 8.8 | 35.689 | 13.19 | 26.90 | 0.88 | 8.59 | 4.30 | 1.00 | 10.14 | 0.4 |
| 87 | 8 | 31 | 96 | 278 | 5.8 | 452 | | 4.0 | 35.450 | 19.98 | 26.10 | 0.31 | 2.53 | 0.32 | 0.85 | 6.39 | 14.2 | 35.681 | 12.80 | 26.88 | 0.68 | 11.01 | 1.16 | 0.88 | 9.02 | 0.4 |
| 87 | 8 | 3 | 318 | -750 | 23.6 | 448 | | 7.5 | 34.873 | 18.49 | 25.54 | 0.01 | 0.12 | 0.48 | 0.18 | 1.05 | 5.0 | 35.681 | 13.13 | 26.89 | 1.01 | 9.15 | 3.74 | 1.03 | 12.88 | 2.7 |
| 87 | 8 | 7 | -27 | -147 | 10.8 | 538 | | 4.0 | 35.021 | 17.20 | 25.48 | 0.07 | 0.07 | 0.64 | 0.31 | 0.68 | 9.5 | 35.639 | 13.30 | 26.83 | 0.74 | 8.38 | 3.35 | 0.91 | 11.29 | 1.8 |
| 87 | 8 | 10 | 58 | -5 | 6.8 | 527 | | 3.5 | 35.301 | 18.61 | 26.84 | 0.03 | 0.05 | 0.70 | 0.18 | 0.41 | 8.7 | 35.652 | 13.13 | 26.87 | 0.73 | 9.25 | 2.84 | 0.90 | 10.23 | 0.8 |
| 87 | 8 | 14 | -558 | -349 | 4.8 | 543 | | 3.0 | 35.283 | 17.87 | 25.52 | 0.05 | 0.00 | | | | 10.5 | 35.648 | 12.93 | 26.81 | 0.88 | 10.30 | 1.84 | 0.98 | 11.88 | 0.8 |
| 87 | 8 | 16 | -158 | 78 | 4.2 | 527 | | 3.0 | 35.273 | 17.82 | 25.53 | 0.08 | 0.00 | 0.45 | 0.25 | 0.80 | 9.8 | 35.686 | 12.80 | 26.84 | 0.01 | 8.75 | 4.98 | 1.18 | 15.38 | 0.7 |
| 87 | 8 | 21 | -272 | -484 | 3.8 | 411 | | 3.0 | 35.488 | 17.92 | 25.84 | 0.08 | 0.00 | 0.45 | 0.25 | 0.80 | 9.8 | 35.628 | 12.91 | 26.78 | 0.03 | 3.75 | 5.05 | 1.04 | 10.97 | 2.3 |
| 87 | 8 | 24 | -250 | -44 | 14.4 | 342 | | 4.5 | 34.957 | 18.65 | 25.58 | 0.06 | 0.01 | 13.48 | 2.58 | 1.87 | 7.1 | 35.531 | 14.83 | 28.42 | 0.05 | 3.48 | 2.64 | 0.80 | 7.90 | 0.8 |
| 87 | 8 | 28 | 1415 | 1215 | 64.5 | 364 | | 11.5 | 34.907 | 17.34 | 25.38 | 0.15 | 0.83 | 4.94 | 0.85 | 3.38 | 1.1 | 35.302 | 16.41 | 25.89 | 0.05 | 3.48 | 2.64 | 0.80 | 7.90 | 0.8 |
| 87 | 10 | 1 | 10 | -22 | 40.3 | 371 | | 3.5 | 34.901 | 18.84 | 25.04 | 0.09 | 0.11 | 1.14 | 0.87 | 3.09 | 16.6 | 35.204 | 16.55 | 25.78 | 0.13 | 1.24 | 8.92 | 0.82 | 8.54 | 0.8 |
| 87 | 10 | 5 | 55 | -872 | 73.9 | 317 | | 2.5 | 33.553 | 17.77 | 24.42 | 0.20 | 2.42 | 2.08 | 0.89 | 3.88 | 20.3 | 34.949 | 17.64 | 25.32 | 0.13 | 1.35 | 9.69 | 1.40 | 10.89 | 0.8 |
| 87 | 10 | 8 | 139 | -2015 | 63.8 | 299 | | 4.5 | 32.662 | 17.93 | 23.65 | 0.44 | 3.48 | 6.97 | 1.25 | 10.37 | 11.8 | 34.832 | 18.04 | 25.21 | 0.12 | 1.13 | 7.08 | 0.89 | 8.71 | 0.6 |
| 87 | 10 | 13 | 24 | -1633 | 44.5 | 289 | | 7.0 | 33.928 | 17.66 | 24.53 | 0.35 | 3.14 | 4.88 | 0.78 | 7.51 | 5.8 | 35.741 | 14.21 | 26.72 | 0.56 | 10.89 | 1.02 | 0.94 | 8.92 | 0.4 |
| 87 | 10 | 16 | -880 | 5123 | 98.7 | 282 | | 4.5 | 33.872 | 17.85 | 24.48 | 0.43 | 4.04 | 8.45 | 0.87 | 8.55 | 2.4 | 34.675 | 17.39 | 25.17 | 0.36 | 3.37 | 2.61 | 0.46 | 5.74 | 1.5 |
| 87 | 10 | 19 | -1255 | -889 | 115.2 | 288 | | 3.5 | 28.921 | 16.63 | 19.41 | 0.47 | 8.88 | 5.33 | 0.65 | 13.44 | 5.2 | 35.173 | 17.90 | 25.45 | 0.44 | 1.85 | 2.38 | 0.53 | 6.14 | 0.9 |
| 87 | 10 | 22 | -371 | -371 | 91.5 | 288 | | 7.5 | 31.240 | 16.81 | 22.68 | 0.56 | 3.77 | 8.47 | 0.87 | 10.83 | 0.9 | 35.200 | 17.77 | 25.48 | 0.50 | 1.85 | 2.25 | 0.43 | 5.71 | 0.5 |
| 87 | 10 | 23 | 420 | 223 | 50.3 | 301 | | 7.0 | 32.428 | 16.93 | 23.58 | 0.72 | 6.52 | 8.00 | 0.72 | 10.88 | 0.8 | 35.439 | 17.43 | 25.75 | 0.78 | 2.41 | 1.73 | 0.38 | 5.54 | 0.5 |
| 87 | 10 | 28 | -1402 | -1187 | 58.2 | 293 | | 7.5 | 33.720 | 18.88 | 24.54 | 1.08 | 5.39 | 4.81 | 0.67 | 9.35 | 1.1 | 35.688 | 15.88 | 26.32 | 0.39 | 5.71 | 0.69 | 0.57 | 6.33 | 0.5 |
| 87 | 11 | 2 | -743 | 591 | 50.4 | 288 | | 8.5 | 32.887 | 18.14 | 24.09 | 1.00 | 5.31 | 3.28 | 0.52 | 8.28 | 1.8 | 35.413 | 18.30 | 26.00 | 1.03 | 5.18 | 2.16 | 0.59 | 8.38 | 0.8 |
| 87 | 11 | 5 | 159 | 702 | 25.5 | 288 | | 7.0 | 33.008 | 18.70 | 24.06 | 1.59 | 6.17 | 3.58 | 0.59 | 9.78 | 4.4 | 35.401 | 18.58 | 25.83 | 1.05 | 3.57 | 1.13 | 0.37 | 6.08 | 0.5 |
| 87 | 11 | 9 | 488 | -243 | 10.7 | 259 | | 4.0 | 33.234 | 18.32 | 24.32 | 0.87 | 3.32 | 0.88 | 0.68 | 2.11 | 25.2 | 35.472 | 18.54 | 25.89 | 1.08 | 4.35 | 1.09 | 0.46 | 7.58 | 1.0 |
| 87 | 11 | 12 | -521 | -1824 | 14.2 | 245 | | 5.5 | 34.561 | 18.22 | 25.36 | 0.28 | 1.20 | 0.78 | 0.23 | 0.88 | 10.2 | 35.478 | 18.57 | 25.98 | 0.87 | 4.52 | 1.28 | 0.55 | 7.83 | 0.7 |
| 87 | 11 | 16 | -235 | -1208 | 32.0 | 243 | | 10.0 | 33.372 | 15.63 | 24.58 | 0.78 | 4.89 | 2.75 | 0.50 | 3.17 | 1.8 | 35.690 | 15.98 | 26.25 | 0.48 | 5.41 | 1.82 | 0.84 | 7.34 | 1.5 |
| 87 | 11 | 18 | -285 | -21 | 29.1 | 257 | | 10.0 | 33.880 | 15.72 | 24.65 | 0.88 | 3.72 | 3.28 | 0.88 | 3.39 | 1.0 | 35.437 | 15.89 | 26.09 | 0.72 | 4.80 | 1.66 | 0.73 | 8.45 | 0.9 |
| 87 | 11 | 23 | 2149 | 443 | 12.2 | 245 | | 9.5 | 34.547 | 15.50 | 25.51 | 0.77 | 4.29 | 2.87 | 0.52 | | 1.5 | 35.770 | 15.48 | 26.46 | 0.23 | 5.80 | 1.23 | 0.47 | 5.59 | 0.4 |
| 87 | 11 | 26 | 1618 | 143 | 17.0 | 238 | | 7.0 | 34.885 | 14.43 | 25.98 | 0.89 | 5.82 | 2.00 | 0.65 | 6.52 | 1.2 | 35.793 | 14.92 | 26.80 | 0.20 | 7.04 | 1.12 | 0.65 | 6.25 | 0.3 |
| 87 | 11 | 30 | -570 | -179 | 9.9 | 241 | | 7.5 | 35.428 | 14.19 | 26.48 | 0.33 | 5.38 | 1.31 | 0.57 | 5.28 | 2.4 | 35.775 | 13.50 | 26.69 | 0.13 | 9.03 | 1.25 | 0.64 | 6.07 | 0.2 |
| 87 | 12 | 3 | -401 | 1928 | 7.0 | 232 | | 8.5 | 35.328 | 13.27 | 26.68 | 0.48 | 8.63 | 0.35 | 0.80 | 5.18 | 2.2 | 35.747 | 13.83 | 26.84 | 0.15 | 8.68 | 0.51 | 0.68 | 6.88 | 0.7 |
| 87 | 12 | 7 | -438 | -1538 | 86.9 | 228 | | 8.0 | 33.808 | 13.08 | 25.30 | 0.23 | 4.07 | 0.22 | 0.41 | 4.71 | 0.9 | 34.738 | 13.38 | 26.11 | 0.17 | 6.21 | 2.07 | 0.65 | 6.38 | 0.9 |
| 87 | 12 | 10 | -688 | 14 | 54.4 | 228 | | 6.0 | 34.158 | 13.40 | 25.86 | 0.37 | 6.04 | 2.33 | 0.72 | 5.64 | 0.7 | 35.309 | 14.08 | 26.41 | 0.20 | 4.04 | 1.04 | 0.39 | 4.43 | 0.4 |
| 87 | 12 | 14 | -2022 | 74 | 57.6 | 223 | | 12.0 | 32.149 | 13.47 | 24.89 | 0.22 | 5.70 | 1.23 | 0.36 | 5.55 | 1.0 | 35.704 | 14.03 | 26.24 | 0.14 | 3.43 | 1.45 | 0.51 | 4.65 | 0.8 |
| 87 | 12 | 17 | -2234 | -2078 | 58.8 | 222 | | 8.5 | 30.894 | 14.14 | 22.89 | 0.31 | 8.94 | 2.48 | 0.68 | 7.19 | 0.7 | 34.830 | 13.94 | 26.07 | 0.38 | 5.44 | 3.84 | 0.78 | 11.62 | 0.8 |
| 87 | 12 | 22 | -94 | 8 | 23.1 | 222 | | 8.0 | 30.765 | 13.33 | 23.05 | 0.32 | 8.28 | 2.60 | 0.48 | 10.75 | 1.8 | 35.474 | 15.12 | 26.31 | 0.20 | 1.29 | 1.52 | 0.26 | 2.75 | 0.4 |
| 87 | 12 | 28 | -2228 | -1042 | 7.7 | 223 | | 6.0 | 32.045 | 13.68 | 23.97 | 0.27 | 7.80 | 1.08 | 0.34 | 10.47 | 1.2 | 35.484 | 15.10 | 26.33 | 0.68 | 2.31 | 2.18 | 0.55 | 7.53 | 0.8 |
| 88 | 1 | 4 | -1851 | -4525 | 50.0 | 223 | | 10.0 | 32.339 | 13.87 | 24.20 | 0.58 | 8.17 | 3.32 | 0.55 | 11.87 | 0.5 | 35.323 | 15.03 | 26.22 | 1.20 | 3.39 | 1.80 | 0.80 | 7.88 | 0.8 |
| 88 | 1 | 7 | -1357 | -2873 | 74.1 | 224 | | 6.0 | 28.369 | 12.87 | 21.29 | 0.58 | 9.11 | 4.35 | 0.58 | 17.33 | 0.5 | 33.982 | 14.38 | 25.33 | 0.72 | 4.79 | 0.39 | 0.37 | 6.24 | 0.6 |
| 88 | 1 | 11 | -888 | -905 | 42.9 | 228 | | 5.0 | 28.005 | 12.76 | 21.03 | 0.66 | 11.84 | 4.81 | 0.78 | 17.97 | 2.1 | 35.274 | 14.81 | 26.29 | 0.83 | 3.35 | 0.88 | 0.39 | 4.85 | 0.5 |
| 88 | 1 | 14 | 381 | -1588 | 39.3 | 228 | | 8.0 | 31.334 | 12.89 | 23.68 | 0.85 | 10.34 | 2.37 | 0.55 | 12.78 | 0.8 | 35.380 | 14.81 | 26.29 | 0.95 | 3.35 | 0.88 | 0.48 | 6.32 | 0.5 |
| 88 | 1 | 19 | 128 | -141 | 32.1 | 239 | | 7.0 | 33.824 | 13.66 | 25.35 | 0.87 | 5.95 | 0.57 | 0.37 | 7.02 | 0.7 | 35.551 | 14.81 | 26.48 | 0.47 | 2.50 | 0.29 | 0.33 | 2.77 | 0.5 |
| 88 | 1 | 21 | -62 | -1730 | 25.5 | 233 | | 6.0 | 33.394 | 13.23 | 25.10 | 0.82 | 7.88 | 0.31 | 0.37 | 6.65 | 3.4 | 35.544 | 14.65 | 26.47 | 0.58 | 3.68 | 0.28 | 0.39 | 7.41 | 0.5 |
| 88 | 1 | 25 | -1735 | -3780 | 42.6 | 238 | | 4.0 | 13.50 | | | 0.16 | 7.19 | 1.58 | 0.42 | 9.64 | 1.2 | 13.78 | | | 0.78 | 6.62 | 0.63 | 0.47 | 5.20 | 2.3 |
| 88 | 1 | 28 | -2272 | -1983 | 67.8 | 239 | | 5.5 | 28.917 | 12.93 | 21.62 | 0.59 | 12.84 | 2.53 | 0.58 | 15.22 | 0.8 | 34.885 | 14.27 | 26.05 | 0.88 | 5.72 | 1.18 | 0.58 | 8.38 | 1.3 |

RÍA DE VIGO

Estación Fija (E3)

| FECHA | | METEOROLOGÍA | | | | | HIDROGRAFÍA | | | | | FONDO (40 m.) | | | | | | | | | | | | | | | | | | | | |
|-------|----|--------------|-------|-------|------|-----|-------------|----------------|--------|-------------------|-------|---------------|----------------|-----------------|-------------------|-----------------|-----------------|------------------------------|--------------------------------|---------------------|-----------------|-----------------|-----------------|-----------------|------------------------------|--------------------------------|---------------------|-----------------|------|------|------|------|
| A. | M. | D. | TX | SY | CR | OR | Ca | Temp. del aire | Secchi | SUPERFICIE (1 m.) | S | t | σ _t | pH _s | [O ₂] | NO ₂ | NO ₃ | NH ₄ ⁺ | HPO ₄ ²⁻ | Si(OH) ₄ | Cl _a | Cl _a | NO ₂ | NO ₃ | NH ₄ ⁺ | HPO ₄ ²⁻ | Si(OH) ₄ | Cl _a | | | | |
| 88 | 2 | 4 | -1214 | -3549 | 74.9 | 244 | | | | 17.072 | 11.50 | 12.78 | | | | 0.34 | 30.40 | 4.07 | 0.83 | 42.76 | 2.8 | 34.547 | 14.01 | 25.84 | | | 0.24 | 3.46 | 0.31 | 0.51 | 5.88 | 1.1 |
| 88 | 2 | 8 | 284 | -1742 | 90.1 | 255 | | | 5.0 | 24.340 | 12.42 | 18.25 | | | | 0.28 | 24.75 | 3.63 | 0.88 | 26.82 | 0.5 | 35.472 | 14.21 | 26.51 | | | 0.01 | 3.56 | 0.83 | 0.37 | 3.26 | 0.5 |
| 88 | 2 | 11 | -170 | -1804 | 74.8 | 261 | | | 6.0 | 25.791 | 12.35 | 19.39 | | | | | | | | | 0.9 | 35.547 | 14.19 | 26.57 | | | | | | | | 0.4 |
| 88 | 2 | 12 | -170 | -1202 | 64.9 | 268 | | | | 21.381 | 11.57 | 18.11 | | | | 0.50 | 19.18 | 3.88 | 0.52 | 31.53 | 2.2 | 35.604 | 14.24 | 26.80 | | | 0.35 | 4.78 | 0.48 | 0.49 | 6.47 | 0.6 |
| 88 | 2 | 15 | -2052 | 73 | 35.0 | 291 | | | 4.5 | 26.605 | 12.38 | 20.01 | | | | 0.09 | 12.29 | 3.98 | 0.42 | 16.72 | | 35.384 | 14.16 | 26.45 | | | 0.50 | 4.53 | 0.87 | 0.81 | 8.82 | |
| 88 | 2 | 18 | 330 | 530 | 18.9 | 331 | | | 7.0 | 30.824 | 12.77 | 23.28 | | | | 0.08 | 6.87 | 0.21 | 0.38 | 7.35 | | 35.161 | 13.64 | 26.34 | | | 0.64 | 5.40 | 0.91 | 0.52 | 7.34 | |
| 88 | 2 | 22 | 64 | 846 | 7.8 | 307 | | | 10.0 | 32.741 | 13.39 | 24.57 | | | | 0.21 | 5.91 | 2.21 | 0.78 | 2.73 | | 35.431 | 13.65 | 26.55 | | | 0.48 | 5.31 | 0.87 | 0.48 | 3.29 | 0.8 |
| 88 | 2 | 25 | 681 | 563 | 12.8 | 324 | | | 9.0 | 33.339 | 13.07 | 25.09 | | | | 0.56 | 5.72 | 1.41 | 0.32 | 4.10 | 0.4 | 35.280 | 13.77 | 26.45 | | | 0.28 | 5.20 | 0.03 | 0.34 | 3.09 | 0.8 |
| 88 | 3 | 3 | 818 | 1109 | 4.8 | 381 | | | 8.0 | 35.214 | 12.75 | 28.81 | | | | 0.07 | 6.47 | 0.82 | 0.44 | 6.47 | | 35.689 | 13.52 | 26.82 | | | 0.19 | 5.08 | 0.46 | 0.54 | 4.12 | |
| 88 | 3 | 7 | 492 | 56 | 4.1 | 361 | | | 6.0 | 35.214 | 12.75 | 28.81 | | | | 0.36 | 5.42 | 1.14 | 0.56 | 4.72 | | 35.563 | 12.45 | 26.96 | | | 0.28 | 6.48 | 0.74 | 0.80 | 5.08 | |
| 88 | 3 | 10 | 737 | 870 | 3.9 | 389 | | | 6.0 | 34.628 | 12.30 | 28.24 | | | | 0.28 | 6.73 | 0.40 | 0.48 | 4.25 | | 34.860 | 12.15 | 26.53 | | | 0.27 | 6.61 | 0.65 | 0.82 | 4.78 | |
| 88 | 3 | 11 | 465 | 644 | 3.8 | 413 | | | 6.0 | 34.718 | 12.43 | 26.29 | | | | 0.31 | 6.84 | 0.32 | 0.53 | 4.72 | 1.9 | 34.832 | 12.26 | 26.48 | | | 0.32 | 6.23 | 1.05 | 0.58 | 5.77 | 0.2 |
| 88 | 3 | 14 | -170 | -50 | 3.7 | 423 | | | 4.0 | 34.559 | 12.56 | 28.14 | | | | 0.30 | 5.90 | 0.77 | 0.41 | 5.42 | 0.9 | 35.527 | 12.24 | 26.95 | | | 0.27 | 6.63 | 1.23 | 0.61 | 5.49 | 0.1 |
| 88 | 3 | 18 | -308 | -2025 | 3.7 | 342 | | | 4.0 | 34.559 | 12.56 | 28.14 | | | | 0.09 | 0.11 | 0.12 | 0.23 | 0.27 | 7.5 | 34.964 | 12.26 | 26.52 | | | 0.34 | 6.52 | 1.26 | 0.85 | 4.54 | 0.3 |
| 88 | 3 | 21 | -582 | -734 | 7.2 | 371 | | | 6.0 | 33.305 | 13.54 | 24.97 | | | | 0.11 | 0.16 | 0.51 | 0.15 | 3.37 | | 34.763 | 12.77 | 26.28 | | | 0.14 | 2.11 | 0.87 | 0.38 | 1.98 | |
| 88 | 3 | 25 | -241 | -1082 | 1.71 | 346 | | | 6.0 | 33.852 | 14.08 | 25.28 | | | | 0.02 | 0.03 | 0.88 | 0.15 | 2.58 | 1.8 | 35.835 | 12.68 | 26.95 | | | 0.30 | 4.30 | 1.65 | 0.64 | 4.04 | |
| 88 | 3 | 30 | 358 | -1033 | 9.4 | 389 | | | 7.0 | 33.618 | 13.48 | 25.23 | | | | 0.12 | 0.30 | 0.80 | 0.24 | 1.38 | | 34.877 | 12.78 | 26.42 | | | 0.26 | 4.19 | 3.81 | 0.63 | 5.43 | 5.2 |
| 88 | 4 | 5 | 2340 | 717 | 16.8 | 370 | | | 5.0 | 34.487 | 12.78 | 26.04 | | | | 0.24 | 2.91 | 0.40 | 0.39 | 1.41 | 4.8 | 34.871 | 12.37 | 26.50 | | | 0.22 | 3.63 | 1.11 | 0.50 | 2.49 | 0.2 |
| 88 | 4 | 7 | 1103 | 173 | 11.1 | 355 | | | 4.0 | 34.308 | 12.78 | 25.90 | | | | 0.18 | 1.46 | 1.27 | 0.49 | 1.31 | 5.8 | 34.825 | 12.45 | 26.44 | | | 0.46 | 7.45 | 0.86 | 0.71 | 5.37 | 0.3 |
| 88 | 4 | 11 | -52 | 228 | 12.8 | 457 | | | 6.0 | 35.023 | 13.38 | 26.34 | | | | 0.04 | 0.06 | 0.66 | 0.21 | 0.89 | 8.9 | 35.638 | 12.22 | 27.04 | | | 0.34 | 9.43 | 2.11 | 0.72 | 7.75 | 1.2 |
| 88 | 4 | 14 | -383 | -339 | 4.4 | 329 | | | 6.0 | 33.259 | 13.18 | 26.01 | | | | 0.05 | 0.49 | 0.43 | 0.13 | 1.41 | 3.7 | 35.461 | 12.53 | 26.88 | | | 0.68 | 6.91 | 1.80 | 0.73 | 5.02 | 2.3 |
| 88 | 4 | 18 | -1186 | -643 | 4.16 | 365 | | | 5.0 | 32.487 | 14.01 | 24.24 | | | | 0.08 | 0.83 | 0.65 | 0.20 | 0.87 | 6.7 | 35.284 | 12.69 | 26.66 | | | 0.51 | 3.51 | 2.54 | 0.47 | 3.15 | 2.2 |
| 88 | 4 | 21 | -523 | -180 | 45.8 | 497 | | | 6.5 | 31.955 | 14.89 | 23.85 | | | | 0.03 | 0.00 | 0.43 | 0.21 | 0.21 | 2.2 | 35.258 | 12.88 | 26.82 | | | 0.18 | 3.89 | 2.38 | 0.34 | 4.14 | 1.9 |
| 88 | 4 | 25 | 588 | -366 | 28.3 | 427 | | | 6.0 | 28.780 | 15.08 | 21.16 | | | | 0.02 | 0.03 | 0.82 | 0.05 | 1.08 | 5.5 | 35.161 | 13.10 | 26.50 | | | 0.20 | 3.22 | 4.73 | 0.58 | 5.78 | 1.3 |
| 88 | 4 | 28 | 104 | -260 | 25.1 | 571 | | | 5.0 | 33.617 | 13.58 | 25.77 | | | | 0.13 | 1.05 | 1.35 | 0.68 | 0.89 | 8.2 | 35.580 | 12.72 | 26.80 | | | 0.33 | 6.33 | 2.02 | 0.49 | 4.28 | 0.0 |
| 88 | 5 | 6 | -1121 | -2761 | 33.7 | 428 | | | 6.0 | 34.199 | 13.88 | 25.59 | | | | 0.22 | 2.92 | 1.01 | 0.47 | 2.62 | 2.9 | 34.830 | 13.68 | 26.12 | | | 0.24 | 1.72 | 3.07 | 0.52 | 3.12 | 2.8 |
| 88 | 5 | 9 | -137 | 674 | 36.0 | 440 | | | 8.0 | 32.718 | 14.17 | 24.39 | | | | 0.36 | 6.83 | 0.88 | 0.57 | 4.70 | 5.4 | 35.077 | 13.36 | 26.98 | | | 0.38 | 4.50 | 1.82 | 0.52 | 4.65 | 2.2 |
| 88 | 5 | 9 | 350 | 19 | 26.5 | 383 | | | 6.0 | 30.914 | 14.81 | 22.87 | | | | 0.15 | 0.66 | 0.20 | 0.05 | 0.18 | 7.6 | 35.319 | 13.48 | 26.55 | | | 0.34 | 4.78 | 1.73 | 0.44 | 4.38 | 0.7 |
| 88 | 5 | 12 | 681 | 109 | 13.9 | 570 | | | 6.0 | 34.510 | 14.20 | 25.77 | | | | 0.32 | 1.66 | 0.33 | 0.22 | 1.15 | 23.5 | 35.500 | 13.11 | 26.78 | | | 0.60 | 6.88 | 1.80 | 0.56 | 5.40 | 2.6 |
| 88 | 5 | 16 | -452 | 126 | 9.8 | 526 | | | 8.0 | 34.133 | 15.32 | 25.23 | | | | 0.19 | 0.51 | 1.41 | 0.49 | 0.65 | 21.5 | 35.517 | 13.09 | 26.78 | | | 0.72 | 7.78 | 1.39 | 0.63 | 5.48 | 7.4 |
| 88 | 5 | 19 | 147 | -144 | 34.1 | 481 | | | 5.5 | 33.457 | 15.48 | 24.68 | | | | 0.14 | 0.04 | 0.48 | 0.08 | 2.80 | 16.5 | 35.430 | 13.23 | 26.88 | | | 0.80 | 5.68 | 1.52 | 0.62 | 2.81 | 17.0 |
| 88 | 5 | 23 | -438 | -242 | 16.9 | 521 | | | 6.0 | 33.195 | 17.29 | 24.08 | | | | 0.08 | 0.56 | 0.92 | 0.10 | 1.84 | 5.5 | 35.557 | 12.83 | 26.88 | | | 0.53 | 6.92 | 2.87 | 0.89 | 6.04 | 10.4 |
| 88 | 5 | 26 | -80 | -418 | 18.6 | 554 | | | 5.0 | 32.655 | 17.80 | 23.50 | | | | 0.12 | 0.12 | 0.32 | 0.19 | 0.22 | 26.5 | 35.525 | 12.81 | 26.82 | | | 0.63 | 7.71 | 3.32 | 0.81 | 8.18 | 18.0 |
| 88 | 5 | 30 | -531 | -1841 | 25.6 | 487 | | | 7.0 | 33.018 | 17.04 | 23.99 | | | | 0.12 | 0.27 | 0.18 | 0.28 | 0.28 | 15.5 | 35.455 | 13.13 | 26.72 | | | 0.57 | 6.23 | 4.50 | 0.86 | 8.99 | 10.5 |
| 88 | 6 | 3 | 234 | 89 | 18.7 | 687 | | | 4.5 | 32.637 | 17.40 | 23.76 | | | | 0.08 | 0.13 | 0.21 | 0.30 | 2.86 | 16.7 | 35.501 | 12.81 | 26.80 | | | 0.42 | 7.37 | 3.55 | 0.81 | 9.38 | 1.8 |
| 88 | 6 | 7 | 715 | 258 | 8.7 | 703 | | | 6.0 | 35.048 | 14.59 | 26.10 | | | | 0.08 | 0.00 | 0.02 | 0.07 | 1.53 | 21.6 | 35.532 | 12.40 | 26.83 | | | 0.57 | 6.55 | 0.50 | 0.68 | 6.53 | 1.2 |
| 88 | 6 | 8 | 1467 | 522 | 7.6 | 483 | | | 4.5 | 34.975 | 15.24 | 25.90 | | | | 0.07 | 0.08 | 0.09 | 0.31 | 1.69 | 18.7 | 35.548 | 11.88 | 27.04 | | | 0.33 | 10.22 | 0.49 | 0.70 | 7.38 | 0.6 |
| 88 | 6 | 13 | 38 | 317 | 9.7 | 510 | | | 7.5 | 34.555 | 14.39 | 25.76 | | | | 0.08 | 0.28 | 0.28 | 0.16 | 1.87 | 6.1 | 35.285 | 13.08 | 26.60 | | | 0.44 | 3.45 | 2.67 | 0.73 | 8.17 | 14.6 |
| 88 | 6 | 16 | 505 | 112 | 16.3 | 439 | | | 7.5 | 34.333 | 13.39 | 25.15 | | | | 0.12 | 0.56 | 0.63 | 0.37 | 1.78 | 8.2 | 35.295 | 13.17 | 26.59 | | | 0.30 | 4.22 | 2.29 | 0.55 | 6.08 | 5.9 |
| 88 | 6 | 20 | 651 | 431 | 13.9 | 670 | | | 6.5 | 34.055 | 17.72 | 24.62 | | | | 0.03 | 0.09 | 0.09 | 0.37 | 1.58 | 10.8 | 35.516 | 13.37 | 26.72 | | | 0.21 | 3.18 | 2.32 | 0.37 | 4.21 | 2.8 |
| 88 | 6 | 22 | 783 | 695 | 9.4 | 643 | | | 6.0 | 34.323 | 16.58 | 24.61 | | | | 0.09 | 0.18 | 0.10 | 0.29 | 0.34 | 3.0 | 35.568 | 13.14 | 26.80 | | | 0.40 | 5.15 | 2.79 | 0.68 | 4.15 | 2.6 |
| 88 | 6 | 28 | 584 | 238 | 7.5 | 670 | | | 8.0 | 34.827 | 16.80 | 25.51 | | | | 0.01 | 0.02 | 0.18 | 0.12 | 1.47 | 3.8 | 35.443 | 13.53 | 26.63 | | | 0.27 | 2.20 | 4.99 | 0.09 | 7.57 | 11.9 |
| 88 | 6 | 30 | 85 | -67 | 27.3 | 442 | | | 6.0 | 34.814 | 17.81 | 25.23 | | | | 0.07 | 0.12 | 0.22 | 0.38 | 1.72 | 8.5 | 35.447 | 13.62 | 26.61 | | | 0.23 | 1.87 | 4.39 | 0.68 | 6.75 | 6.8 |
| 88 | 7 | 4 | 624 | -1681 | 39.7 | 403 | | | 7.5 | 32.723 | 16.90 | 23.31 | | | | 0.05 | 0.38 | 0.46 | 0.13 | 2.11 | 2.9 | 35.468 | 13.95 | 26.57 | | | 0.21 | 2.39 | 2.99 | 0.46 | 5.72 | 1.2 |
| 88 | 7 | 7 | -78 | -585 | 54.9 | 448 | | | 6.0 | 32.357 | 11.74 | 22.60 | | | | 0.23 | 3.57 | 1.11 | 0.49 | 3.79 | 1.0 | 35.453 | 14.15 | 26.51 | | | 0.25 | 2.10 | 3.31 | 0.80 | 6.72 | 2.2 |
| 88 | 7 | 11 | 603 | -63 | 33.5 | 733 | | | 4.5 | 31.318 | 20.56 | 21.81 | | | | 0.02 | 0.27 | 0.18 | 0.17 | 1.43 | 10.2 | 35.608 | 13.43 | 26.78 | | | | | | | | |

RÍA DE VIGO

Estación Fija (E3)

| FECHA | | METEOROLOGÍA | | | | | | | | | | HIDROGRAFÍA | | | | | | | | | | | | | | | | | | | | | | | | | |
|-------|----|--------------|-------|-------|------|--------|----|----------------|--|----------------|--------|-------------|--------|-------|----------------|------------------|-------------------|-----------------|-----------------|------------------------------|--------------------------------|---------------------|-----------------|--------|-------|----------------|------------------|-------------------|-----------------|-----------------|------------------------------|--------------------------------|---------------------|-----------------|--|--|--|
| A | M | D | -qk | qy | Qr | Cr | Ch | temp. del aire | | temp. del agua | | Secch | S | t | σ _t | pH ₁₀ | [O ₂] | NO ₃ | NO ₂ | NH ₄ ⁺ | HPO ₄ ²⁻ | SiO(H) ₄ | Cl ₂ | S | t | σ _t | pH ₁₀ | [O ₂] | NO ₃ | NO ₂ | NH ₄ ⁺ | HPO ₄ ²⁻ | SiO(H) ₄ | Cl ₂ | | | |
| | | | | seco | | húmedo | | | | | | | | | | | | | | | | | | | | | | | | | | | | | | | |
| | | | | seco | | húmedo | | | | | | | | | | | | | | | | | | | | | | | | | | | | | | | |
| 88 | 7 | 28 | 111 | -82 | 11.1 | 637 | | | | | | 8.5 | 33.058 | 19.78 | 23.80 | | | 0.04 | 0.00 | 0.28 | 0.42 | 1.50 | 1.9 | 35.812 | 12.80 | 28.88 | 1.40 | 10.87 | 1.82 | 0.85 | 11.20 | 0.4 | | | | | |
| 88 | 8 | 1 | 205 | 54 | 8.2 | 671 | | | | | 4.5 | 35.175 | 18.80 | 25.70 | | | 0.08 | 0.13 | 7.06 | 0.40 | 1.88 | 12.1 | 35.813 | 12.80 | 28.81 | 0.89 | 11.03 | 1.42 | 0.88 | 8.58 | 1.6 | | | | | | |
| 88 | 8 | 5 | 1215 | 787 | 4.9 | 677 | | | | | | 35.298 | 15.58 | 26.95 | | | 0.78 | 5.75 | 0.63 | 0.82 | 7.36 | 2.7 | 35.818 | 12.40 | 28.98 | 0.48 | 11.44 | 0.39 | 0.85 | 8.41 | 0.6 | | | | | | |
| 88 | 8 | 8 | -44 | -215 | 4.1 | 590 | | | | | 4.5 | 35.225 | 17.02 | 25.88 | | | 0.10 | 0.04 | 2.53 | 0.68 | 1.86 | 11.2 | 35.519 | 12.56 | 28.88 | 0.88 | 10.50 | 1.80 | 0.88 | 8.55 | 0.5 | | | | | | |
| 88 | 8 | 11 | 88 | -84 | 3.8 | 580 | | | | | 4.5 | 35.172 | 18.62 | 25.25 | | | 0.08 | 0.00 | 0.84 | 0.87 | 0.82 | 11.2 | 35.637 | 12.87 | 26.95 | 0.91 | 10.14 | 2.12 | 0.88 | 8.81 | 1.0 | | | | | | |
| 88 | 8 | 17 | 45 | 7 | 4.1 | 572 | | | | | 4.5 | 35.058 | 18.43 | 24.88 | | | 0.05 | 0.00 | 0.87 | 0.48 | 0.53 | 9.4 | 35.828 | 12.75 | 26.95 | 0.76 | 9.51 | 2.83 | 0.88 | 8.38 | 0.7 | | | | | | |
| 88 | 8 | 22 | 405 | 168 | 7.3 | 587 | | | | | 35.138 | 18.51 | 25.74 | | | 0.08 | 0.12 | 0.54 | 0.28 | 1.48 | 13.6 | 35.812 | 12.84 | 26.84 | 1.21 | 8.81 | 2.47 | 1.03 | 15.41 | 0.4 | | | | | | | |
| 88 | 8 | 25 | 488 | 0 | 5.2 | 575 | | | | | 4.5 | 35.280 | 17.88 | 25.55 | | | 0.08 | 0.00 | 0.70 | 0.08 | 0.80 | 15.0 | 35.827 | 12.71 | 28.84 | 0.98 | 8.33 | 14.74 | 0.09 | 8.74 | 0.5 | | | | | | |
| 88 | 8 | 29 | 210 | -444 | 5.5 | 482 | | | | | 3.5 | 35.441 | 15.74 | 28.15 | | | 0.08 | 0.00 | 2.95 | 0.41 | 0.50 | 27.1 | 35.588 | 13.20 | 28.81 | 0.34 | 3.84 | 1.88 | 0.87 | 8.82 | 4.4 | | | | | | |
| 88 | 8 | 1 | -224 | -830 | 8.2 | 428 | | | | | 3.5 | 35.444 | 15.74 | 28.15 | | | 0.08 | 0.22 | 0.41 | 0.21 | 0.86 | 18.9 | 35.807 | 12.79 | 28.81 | 0.90 | 10.15 | 0.74 | 0.87 | 9.17 | 1.9 | | | | | | |
| 88 | 8 | 5 | -441 | -288 | 14.5 | 490 | | | | | 34.828 | 16.07 | 25.44 | | | 0.02 | 0.00 | 0.64 | 0.04 | 0.75 | 5.3 | 35.588 | 13.37 | 28.78 | 0.98 | 8.28 | 5.10 | 1.01 | 14.78 | 1.4 | | | | | | | |
| 88 | 8 | 8 | -7 | 148 | 8.2 | 553 | | | | | 6.0 | 34.881 | 18.57 | 25.12 | | | 0.08 | 0.00 | 0.38 | 0.33 | 0.21 | 5.4 | 35.577 | 12.83 | 28.87 | 0.78 | 8.18 | 1.34 | 0.80 | 7.84 | 0.8 | | | | | | |
| 88 | 8 | 12 | 1168 | 830 | 5.1 | 548 | | | | | 6.5 | 35.432 | 14.43 | 26.43 | | | 0.49 | 5.19 | 1.38 | 0.81 | 3.83 | 7.7 | 35.584 | 12.83 | 28.83 | 0.87 | 9.77 | 1.04 | 0.75 | 6.01 | 0.4 | | | | | | |
| 88 | 8 | 15 | 1111 | 1077 | 4.3 | 514 | | | | | 6.5 | 35.531 | 13.25 | 28.75 | | | 0.52 | 5.59 | 0.39 | 0.82 | 3.84 | 7.5 | 35.833 | 12.50 | 28.88 | 0.48 | 8.78 | 0.84 | 0.73 | 5.87 | 0.4 | | | | | | |
| 88 | 8 | 19 | 722 | 1187 | 3.8 | 511 | | | | | 3.5 | 35.517 | 15.07 | 28.38 | | | 0.08 | 0.08 | 0.37 | 0.27 | 0.81 | 31.8 | 35.828 | 12.51 | 26.88 | 0.51 | 8.98 | 0.80 | 0.80 | 8.92 | 0.8 | | | | | | |
| 88 | 8 | 20 | 800 | 757 | 3.8 | 508 | | | | | 3.5 | 35.517 | 15.07 | 28.38 | | | 0.05 | 0.18 | 0.24 | 0.12 | 1.28 | 11.9 | 35.838 | 12.48 | 26.98 | 0.49 | 11.85 | 0.48 | 0.80 | 7.87 | 1.0 | | | | | | |
| 88 | 8 | 22 | 211 | 14 | 3.7 | 453 | | | | | 5.0 | 35.475 | 14.84 | 28.37 | | | 0.08 | 0.00 | 0.47 | 0.32 | 0.47 | 11.2 | 35.589 | 12.58 | 28.82 | 0.78 | 8.88 | 1.58 | 0.88 | 7.78 | 1.8 | | | | | | |
| 88 | 8 | 26 | -2 | 5 | 3.9 | 481 | | | | | 8.5 | 35.542 | 14.95 | 28.40 | | | 0.13 | 0.42 | 1.34 | 0.82 | 1.15 | 4.3 | 35.433 | 12.84 | 28.74 | 0.82 | 7.26 | 2.28 | 0.88 | 5.38 | 7.8 | | | | | | |
| 88 | 8 | 29 | 189 | 88 | 3.8 | 433 | | | | | 9.0 | 35.560 | 14.88 | 28.44 | | | 0.24 | 1.71 | 3.03 | 0.84 | 2.14 | 3.6 | 35.677 | 12.85 | 28.85 | 0.83 | 8.22 | 2.25 | 0.86 | 4.75 | 8.9 | | | | | | |
| 88 | 10 | 3 | 589 | 609 | 3.7 | 427 | | | | | 9.0 | 35.537 | 13.75 | 28.88 | | | 0.80 | 8.08 | 2.57 | 0.87 | 4.83 | 4.3 | 35.640 | 12.71 | 28.95 | 0.45 | 14.09 | 1.81 | 0.81 | 7.04 | 1.0 | | | | | | |
| 88 | 10 | 6 | 89 | -872 | 4.4 | 390 | | | | | 3.0 | 35.475 | 14.71 | 28.40 | | | 0.04 | 0.08 | 0.24 | 0.88 | 1.23 | 34.2 | 35.888 | 12.63 | 27.00 | 0.43 | 10.55 | 1.28 | 0.88 | 8.81 | 1.4 | | | | | | |
| 88 | 10 | 10 | 588 | -1011 | 8.8 | 357 | | | | | 4.5 | 35.452 | 14.44 | 28.44 | | | 0.08 | 0.25 | 1.15 | 0.73 | 1.15 | 28.0 | 35.875 | 12.78 | 28.88 | 0.58 | 10.04 | 1.89 | 0.84 | 8.58 | 2.8 | | | | | | |
| 88 | 10 | 14 | 109 | -1474 | 25.4 | 283 | | | | | 6.0 | 33.677 | 14.88 | 25.03 | | | 0.14 | 1.38 | 2.35 | 0.80 | 1.84 | 6.3 | 35.544 | 13.72 | 28.87 | 0.38 | 3.58 | 3.84 | 0.87 | 5.38 | 4.8 | | | | | | |
| 88 | 10 | 17 | 851 | 724 | 40.7 | 340 | | | | | 8.0 | 34.714 | 14.41 | 25.88 | | | 0.30 | 2.79 | 2.38 | 0.55 | 2.84 | 4.4 | 35.471 | 13.98 | 28.58 | 0.28 | 1.75 | 5.77 | 0.88 | 7.18 | 5.4 | | | | | | |
| 88 | 10 | 19 | -143 | 1144 | 32.0 | 288 | | | | | 7.0 | 34.585 | 14.08 | 25.85 | | | 0.28 | 1.87 | 2.05 | 0.30 | 2.27 | 1.7 | 35.188 | 14.10 | 26.30 | 0.23 | 2.09 | 5.23 | 0.82 | 6.29 | 1.2 | | | | | | |
| 88 | 10 | 24 | -1016 | -585 | 31.5 | 278 | | | | | 7.0 | 34.465 | 14.44 | 25.88 | | | 0.30 | 1.59 | 4.35 | 0.81 | 5.28 | 1.5 | 34.859 | 14.08 | 26.14 | 0.34 | 2.08 | 6.88 | 0.78 | 8.75 | 0.5 | | | | | | |
| 88 | 10 | 28 | -1023 | -570 | 23.8 | 267 | | | | | 6.0 | 33.677 | 14.88 | 25.03 | | | 0.35 | 2.34 | 7.01 | 0.78 | 7.38 | 0.8 | 34.654 | 15.43 | 25.62 | 0.34 | 2.10 | 5.73 | 0.84 | 7.87 | 0.7 | | | | | | |
| 88 | 10 | 31 | -488 | 213 | 44.4 | 269 | | | | | 8.0 | 33.748 | 15.74 | 24.84 | | | 0.25 | 3.03 | 2.34 | 0.51 | 5.90 | 7.0 | 35.258 | 14.85 | 26.20 | 0.28 | 2.14 | 6.21 | 0.63 | 9.14 | 0.8 | | | | | | |
| 88 | 11 | 2 | -523 | 353 | 48.7 | 275 | | | | | 33.805 | 15.81 | 25.02 | | | 0.38 | 4.34 | 4.78 | 0.88 | 7.34 | 4.4 | 35.253 | 14.89 | 26.17 | 0.28 | 3.58 | 3.94 | 0.57 | 7.25 | 0.5 | | | | | | | |
| 88 | 11 | 7 | 3228 | 1519 | 17.3 | 268 | | | | | 34.259 | 15.48 | 25.30 | | | 0.38 | 3.15 | 7.58 | 0.80 | 8.18 | 3.5 | 35.387 | 15.35 | 26.18 | 0.39 | 1.60 | 4.48 | 0.52 | 8.83 | 0.8 | | | | | | | |
| 88 | 11 | 10 | -840 | -153 | 60.7 | 255 | | | | | 7.0 | 34.117 | 15.82 | 25.11 | | | 0.39 | 3.13 | 6.21 | 0.75 | 8.89 | 4.8 | 34.851 | 15.43 | 25.84 | 0.48 | 2.42 | 7.28 | 0.83 | 12.17 | 0.8 | | | | | | |
| 88 | 11 | 14 | 382 | 548 | 27.8 | 275 | | | | | 8.0 | 34.708 | 16.04 | 25.51 | | | 0.29 | 2.28 | 4.40 | 0.53 | 8.68 | 3.1 | 35.565 | 14.78 | 26.00 | 0.12 | 0.54 | 1.83 | 0.17 | 5.19 | 0.8 | | | | | | |
| 88 | 11 | 17 | 1001 | -185 | 13.7 | 264 | | | | | 34.800 | 16.19 | 25.83 | | | 0.34 | 2.04 | 2.21 | 0.45 | 5.38 | 9.7 | 35.582 | 16.85 | 25.98 | 0.28 | 0.71 | 2.14 | 0.32 | 4.57 | 0.7 | | | | | | | |
| 88 | 11 | 21 | -150 | 1648 | 7.0 | 254 | | | | | 6.0 | 35.302 | 16.25 | 25.82 | | | 0.28 | 1.10 | 2.35 | 0.32 | 7.23 | 12.3 | 35.832 | 18.52 | 26.27 | 0.74 | 1.37 | 0.78 | 0.28 | 5.84 | 0.5 | | | | | | |
| 88 | 11 | 24 | 2107 | 2584 | 5.8 | 251 | | | | | 6.0 | 35.384 | 15.80 | 26.20 | | | 0.64 | 1.27 | 1.01 | 0.28 | 4.88 | 8.5 | 35.554 | 15.80 | 26.20 | 0.84 | 1.28 | 1.43 | 0.30 | 4.88 | 8.1 | | | | | | |
| 88 | 11 | 28 | -137 | -50 | 8.1 | 241 | | | | | 10.0 | 35.314 | 15.70 | 26.08 | | | 0.22 | 0.53 | 1.09 | 0.12 | 4.17 | 2.7 | 35.512 | 15.54 | 26.25 | 0.74 | 1.43 | 3.19 | 0.48 | 7.35 | 1.3 | | | | | | |
| 88 | 12 | 1 | -481 | -1553 | 17.2 | 228 | | | | | 35.272 | 15.24 | 26.13 | | | 0.41 | 1.38 | 2.12 | 0.38 | 3.84 | 1.3 | 35.330 | 15.23 | 28.18 | 0.44 | 1.44 | 2.27 | 0.40 | 4.50 | 1.4 | | | | | | | |
| 88 | 12 | 7 | 334 | 218 | 26.3 | 227 | | | | | 6.0 | 34.489 | 14.37 | 25.71 | | | 0.28 | 1.19 | 4.00 | 0.47 | 4.30 | 1.4 | 35.515 | 15.85 | 26.22 | 0.19 | 0.47 | 1.00 | 0.23 | 1.78 | 1.0 | | | | | | |
| 88 | 12 | 12 | 827 | 1155 | 8.1 | 225 | | | | | 6.0 | 35.334 | 14.59 | 26.32 | | | 0.83 | 1.82 | 2.38 | 0.35 | 6.73 | 2.4 | 35.728 | 15.26 | 26.48 | 0.64 | 3.35 | 1.14 | 0.34 | 6.83 | 0.9 | | | | | | |
| 88 | 12 | 15 | 103 | 978 | 6.0 | 223 | | | | | 7.0 | 35.414 | 14.35 | 26.43 | | | 0.25 | 0.81 | 0.88 | 0.26 | 1.84 | 2.8 | 35.728 | 15.21 | 26.48 | 0.23 | 1.08 | 0.52 | 0.23 | 2.18 | 1.3 | | | | | | |
| 88 | 12 | 18 | -108 | 454 | 5.4 | 223 | | | | | 35.374 | 14.04 | 26.47 | | | 1.13 | 3.87 | 1.88 | 0.57 | 7.08 | 2.2 | 35.892 | 14.84 | 28.52 | 0.68 | 3.85 | 1.11 | 0.39 | 4.81 | 1.3 | | | | | | | |
| 88 | 12 | 19 | 141 | 550 | 4.4 | 222 | | | | | 8.0 | 35.438 | 13.83 | 26.56 | | | 0.81 | 2.78 | 2.80 | 0.50 | 8.24 | 1.8 | 35.465 | 14.00 | 28.56 | 1.00 | 2.84 | 2.43 | 0.47 | 8.55 | 1.7 | | | | | | |
| 88 | 12 | 22 | 181 | 195 | 4.0 | 222 | | | | | 8.0 | 35.488 | 13.59 | 28.85 | | | 1.03 | 3.28 | 2.82 | 0.60 | 7.34 | 1.7 | 35.565 | 14.01 | 26.82 | 0.97 | 2.99 | 2.08 | 0.50 | 7.33 | 1.1 | | | | | | |
| 88 | 12 | 28 | -537 | 35 | 3.7 | 224 | | | | | 35.428 | 13.57 | 28.81 | | | 0.84 | 5.21 | 1.83 | 0.63 | 6.37 | 1.0 | 35.515 | 13.84 | 28.80 | 0.71 | 4.52 | 1.62 | 0.63 | 5.08 | 1.0 | | | | | | | |
| 89 | 1 | 9 | 318 | 484 | 40.6 | 228 | | | | | 35.338 | 12.85 | 28.88 | | | 0.89 | 3.81 | 4.12 | 0.67 | 7.37 | 1.3 | 35.832 | 13.58 | 28.78 | 0.68 | 3.29 | 2 | | | | | | | | | | |

RÍA DE VIGO

Estación Fija (E3)

| FECHA | | METEOROLOGÍA | | | | | HIDROGRAFÍA | | | | | | | | | | | | | | | | | | | | | | | | | | |
|-------|---|--------------|-------|-------|-----|-----|---------------------|-----------------------|--------|--------|----------------|-----------------|-------------------|-----------------|-----------------|------------------------------|--------------------------------|---------------------|-----------------|--------|-------|--------|----------------|-----------------|-------------------|-----------------|-----------------|------------------------------|--------------------------------|---------------------|-----------------|------|-----|
| A | M | D | vx | vy | Or | Os | Temp. del aire seco | Temp. del aire húmedo | S | t | σ _t | pH _s | [O ₂] | NO ₂ | NO ₃ | NH ₄ ⁺ | HPO ₄ ²⁻ | Si(OH) ₄ | Cl ⁻ | Secchi | S | t | σ _t | pH _s | [O ₂] | NO ₂ | NO ₃ | NH ₄ ⁺ | HPO ₄ ²⁻ | Si(OH) ₄ | Cl ⁻ | | |
| 89 | 2 | 2 | -248 | 86 | 4 | 7 | 261 | | 9.0 | 35.518 | 12.90 | 26.92 | | 0.42 | 3.09 | 2.21 | 0.58 | 4.54 | 6.4 | 35.434 | 12.72 | 26.79 | 3.1 | 36.710 | 13.54 | 26.93 | 0.74 | 3.54 | 2.91 | 0.63 | 5.04 | 6.8 | 1.4 |
| 89 | 2 | 7 | -94 | 15 | 4 | 293 | | 9.0 | 35.473 | 13.00 | 26.78 | | 0.42 | 3.55 | 1.80 | 0.95 | 2.85 | 1.8 | 35.501 | 12.89 | 26.76 | 1.8 | 35.501 | 12.89 | 26.76 | 0.45 | 3.05 | 1.80 | 0.58 | 3.08 | 3.0 | 3.0 | |
| 89 | 2 | 13 | 131 | 201 | 8 | 308 | | 9.0 | 35.440 | 12.83 | 26.77 | | 0.42 | 2.80 | 2.89 | 0.54 | 4.60 | 4.7 | 35.751 | 13.66 | 26.84 | 4.7 | 35.751 | 13.66 | 26.84 | 0.43 | 2.03 | 1.72 | 0.29 | 4.40 | 1.2 | 1.2 | |
| 89 | 2 | 17 | -362 | -465 | 5 | 322 | | 9.0 | 35.381 | 12.75 | 26.74 | | 0.38 | 2.75 | 3.00 | 0.63 | 4.09 | 4.5 | 35.878 | 13.55 | 26.98 | 4.5 | 35.878 | 13.55 | 26.98 | 0.33 | 1.86 | 2.10 | 0.39 | 4.74 | 2.8 | 2.8 | |
| 89 | 2 | 20 | -1199 | -1145 | 4 | 285 | | 9.0 | 35.359 | 12.97 | 26.68 | | 0.38 | 2.54 | 3.00 | 0.52 | 4.05 | 6.0 | 35.846 | 13.55 | 26.76 | 6.0 | 35.846 | 13.55 | 26.76 | 0.37 | 1.87 | 3.00 | 0.48 | 4.57 | 3.1 | 3.1 | |
| 89 | 2 | 23 | -151 | -739 | 10 | 284 | | 8.0 | 35.194 | 12.82 | 26.58 | | 0.14 | 0.00 | 0.70 | 0.17 | 1.03 | 2.0 | 35.859 | 13.52 | 26.60 | 2.0 | 35.859 | 13.52 | 26.60 | 0.44 | 6.73 | 2.93 | 0.64 | 5.99 | 1.0 | 1.0 | |
| 89 | 3 | 8 | -771 | -426 | 40 | 325 | | 7.0 | 31.987 | 13.55 | 23.87 | | 0.12 | 0.09 | 0.30 | 0.17 | 0.58 | 1.8 | 35.808 | 13.85 | 26.89 | 1.8 | 35.808 | 13.85 | 26.89 | 0.32 | 5.73 | 1.01 | 0.44 | 2.08 | 1.1 | 1.1 | |
| 89 | 3 | 9 | -521 | -378 | 39 | 384 | | 7.0 | 33.113 | 13.26 | 24.68 | | 0.84 | 3.64 | 2.89 | 0.52 | 6.95 | 2.4 | 35.822 | 13.80 | 26.84 | 2.4 | 35.822 | 13.80 | 26.84 | 0.48 | 3.40 | 0.99 | 0.33 | 5.44 | 0.8 | 0.8 | |
| 89 | 3 | 14 | 208 | -28 | 125 | 420 | | 7.0 | 35.013 | 13.56 | 26.29 | | 0.15 | 0.10 | 0.30 | 0.41 | 0.28 | 15.2 | 35.838 | 13.91 | 26.85 | 15.2 | 35.838 | 13.91 | 26.85 | 0.68 | 3.48 | 0.74 | 0.35 | 3.93 | 1.8 | 1.8 | |
| 89 | 3 | 21 | 289 | -82 | 152 | 378 | | 4.0 | 34.828 | 13.94 | 26.07 | | 0.84 | 5.53 | 3.61 | 0.58 | 8.05 | 7.8 | 35.858 | 13.84 | 26.94 | 7.8 | 35.858 | 13.84 | 26.94 | 0.68 | 3.17 | 0.84 | 0.33 | 3.37 | 8.0 | 8.0 | |
| 89 | 3 | 28 | 485 | -120 | 210 | 394 | | 9.0 | 35.250 | 13.98 | 26.39 | | 7.3 | 35.841 | 12.61 | 26.97 | | 7.3 | 35.841 | 12.61 | 26.97 | 7.3 | 35.841 | 12.61 | 26.97 | 0.73 | 35.841 | 12.61 | 26.97 | 13.5 | 13.5 | 13.5 | |
| 89 | 4 | 3 | 654 | -638 | 17 | 348 | | 10.0 | 34.161 | 13.78 | 25.58 | | 6.9 | 35.810 | 12.55 | 26.98 | | 6.9 | 35.810 | 12.55 | 26.98 | 6.9 | 35.810 | 12.55 | 26.98 | 0.25 | 3.05 | 2.06 | 0.35 | 4.31 | 3.4 | 3.4 | |
| 89 | 4 | 14 | -178 | -2257 | 53 | 392 | | 5.0 | 34.132 | 13.10 | 25.70 | | 0.26 | 2.00 | 2.03 | 0.63 | 4.63 | 6.1 | 35.470 | 12.80 | 26.60 | 6.1 | 35.470 | 12.80 | 26.60 | 0.32 | 3.98 | 2.83 | 0.49 | 6.14 | 4.8 | 4.8 | |
| 89 | 4 | 17 | 788 | -2120 | 48 | 427 | | 7.0 | 28.388 | 13.17 | 22.02 | | 0.11 | 0.85 | 1.18 | 0.27 | 6.28 | 8.3 | 35.560 | 12.85 | 26.66 | 8.3 | 35.560 | 12.85 | 26.66 | 0.40 | 4.88 | 2.70 | 0.51 | 5.34 | 1.8 | 1.8 | |
| 89 | 4 | 20 | -337 | -248 | 20 | 548 | | 7.0 | 32.729 | 13.54 | 24.53 | | 0.11 | 0.46 | 1.08 | 0.23 | 5.34 | 9.3 | 35.828 | 12.78 | 26.92 | 9.3 | 35.828 | 12.78 | 26.92 | 0.38 | 5.83 | 2.45 | 0.57 | 5.18 | 0.8 | 0.8 | |
| 89 | 4 | 26 | 1027 | 574 | 15 | 470 | | 6.0 | 33.340 | 13.41 | 25.03 | | 0.21 | 2.33 | 4.81 | 0.73 | 5.41 | 5.4 | 35.720 | 12.64 | 27.02 | 5.4 | 35.720 | 12.64 | 27.02 | 0.85 | 6.21 | 2.51 | 0.59 | 7.45 | 0.8 | 0.8 | |
| 89 | 5 | 2 | -19 | -214 | 19 | 644 | | 5.5 | 33.855 | 15.80 | 24.98 | | 0.03 | 0.00 | 0.58 | 0.22 | 1.58 | 17.5 | 35.681 | 12.70 | 26.97 | 17.5 | 35.681 | 12.70 | 26.97 | 0.48 | 2.23 | 3.79 | 0.61 | 3.83 | 6.8 | 6.8 | |
| 89 | 5 | 11 | -97 | -210 | 7 | 401 | | 8.0 | 34.407 | 15.51 | 25.40 | | 0.05 | 0.05 | 1.07 | 0.06 | 1.48 | 4.1 | 35.334 | 13.51 | 26.55 | 4.1 | 35.334 | 13.51 | 26.55 | 0.25 | 1.82 | 2.51 | 0.39 | 2.25 | 17.0 | 17.0 | |
| 89 | 5 | 19 | 278 | 115 | 6 | 650 | | 34.485 | 18.08 | 24.84 | | 0.12 | 4.32 | 1.32 | 0.51 | 1.97 | 21.1 | 35.859 | 13.01 | 26.90 | 21.1 | 35.859 | 13.01 | 26.90 | 0.29 | 6.72 | 4.92 | 0.69 | 6.44 | 2.1 | 2.1 | | |
| 89 | 5 | 22 | -7 | -33 | 4 | 545 | | 34.498 | 18.84 | 24.68 | | 0.08 | 3.44 | 1.28 | 0.38 | 1.88 | 20.8 | 35.848 | 13.00 | 26.90 | 20.8 | 35.848 | 13.00 | 26.90 | 0.25 | 3.17 | 3.83 | 0.49 | 4.12 | 9.8 | 9.8 | | |
| 89 | 5 | 31 | 478 | 148 | 45 | 616 | | 7.0 | 34.218 | 16.07 | 24.68 | | 0.11 | 5.25 | 0.88 | 0.42 | 2.82 | 18.7 | 35.863 | 13.30 | 26.87 | 18.7 | 35.863 | 13.30 | 26.87 | 0.27 | 5.53 | 2.95 | 0.46 | 5.25 | 1.1 | 1.1 | |
| 89 | 6 | 5 | 827 | 68 | 20 | 548 | 21.3 | 15.9 | 5.0 | 35.189 | 15.43 | 26.03 | | 0.13 | 1.84 | 1.72 | 0.40 | 5.81 | 7.8 | 35.848 | 13.19 | 26.88 | 7.8 | 35.848 | 13.19 | 26.88 | 0.37 | 7.39 | 3.54 | 0.65 | 6.75 | 1.8 | 1.8 |
| 89 | 6 | 6 | 222 | -8 | 10 | 822 | 17.4 | 13.3 | 4.5 | 35.185 | 16.03 | 25.42 | | 0.18 | 3.31 | 1.08 | 0.30 | 2.08 | 6.0 | 35.689 | 13.81 | 26.77 | 6.0 | 35.689 | 13.81 | 26.77 | 0.42 | 4.87 | 2.44 | 0.65 | 7.44 | 2.4 | 2.4 |
| 89 | 6 | 12 | -476 | -489 | 18 | 544 | | 10.6 | 34.759 | 16.25 | 25.03 | | 0.00 | 0.00 | 0.64 | 0.21 | 1.53 | 1.5 | 35.705 | 13.19 | 26.90 | 1.5 | 35.705 | 13.19 | 26.90 | 0.58 | 2.89 | 1.65 | 0.47 | 4.87 | 3.5 | 3.5 | |
| 89 | 6 | 15 | 1137 | 868 | 12 | 580 | | 9.0 | 35.345 | 16.82 | 25.38 | | 0.48 | 4.68 | 2.48 | 0.41 | 6.38 | 2.2 | 35.709 | 13.14 | 26.81 | 2.2 | 35.709 | 13.14 | 26.81 | 0.37 | 4.40 | 3.71 | 0.64 | 6.95 | 0.4 | 0.4 | |
| 89 | 6 | 19 | 765 | 355 | 19 | 805 | | 7.5 | 35.106 | 16.59 | 24.95 | | 0.01 | 0.02 | 0.95 | 0.37 | 1.93 | 3.5 | 35.741 | 13.36 | 26.89 | 3.5 | 35.741 | 13.36 | 26.89 | 0.58 | 6.78 | 13.08 | 0.67 | 7.93 | 0.8 | 0.8 | |
| 89 | 6 | 22 | 543 | 374 | 14 | 732 | | 6.0 | 35.087 | 16.92 | 24.64 | | 0.07 | 0.00 | 0.00 | 0.00 | 1.32 | 4.0 | 35.724 | 13.08 | 26.84 | 4.0 | 35.724 | 13.08 | 26.84 | 0.59 | 7.56 | 2.16 | 0.71 | 8.47 | 0.5 | 0.5 | |
| 89 | 6 | 28 | 335 | 11 | 7 | 523 | | 6.0 | 35.957 | 16.32 | 25.21 | | 0.00 | 0.25 | 0.58 | 0.15 | 1.91 | 3.5 | 35.754 | 13.08 | 26.88 | 3.5 | 35.754 | 13.08 | 26.88 | 0.71 | 7.39 | 3.54 | 0.65 | 8.47 | 0.5 | 0.5 | |
| 89 | 7 | 3 | 434 | 14 | 4 | 595 | | 5.5 | 33.895 | 16.56 | 24.29 | | 0.00 | 1.09 | 0.00 | 0.00 | 1.09 | 4.3 | 35.738 | 13.15 | 26.83 | 4.3 | 35.738 | 13.15 | 26.83 | 0.84 | 7.99 | 2.08 | 0.61 | 6.61 | 1.0 | 1.0 | |
| 89 | 7 | 6 | 1340 | 32 | 3 | 532 | 21.8 | 18.1 | 7.0 | 35.331 | 16.55 | 25.39 | | 0.08 | 0.35 | 0.43 | 4.82 | 5.8 | 35.724 | 13.23 | 26.91 | 5.8 | 35.724 | 13.23 | 26.91 | 0.53 | 7.88 | 2.08 | 0.67 | 7.29 | 0.3 | 0.3 | |
| 89 | 7 | 10 | 647 | 552 | 8 | 723 | | 5.0 | 35.544 | 16.05 | 25.69 | | 0.08 | 0.37 | 0.92 | 0.48 | 5.08 | 3.8 | 35.728 | 12.90 | 26.89 | 3.8 | 35.728 | 12.90 | 26.89 | 0.88 | 6.20 | 3.16 | 0.80 | 9.81 | 1.5 | 1.5 | |
| 89 | 7 | 13 | 869 | 1098 | 5 | 768 | 21.8 | 17.9 | 4.5 | 35.114 | 17.49 | 25.49 | | 0.05 | 0.00 | 1.49 | 0.41 | 1.98 | 3.9 | 35.772 | 13.18 | 26.98 | 3.9 | 35.772 | 13.18 | 26.98 | 0.59 | 4.13 | 2.45 | 0.68 | 7.52 | 0.8 | 0.8 |
| 89 | 7 | 17 | 345 | 215 | 4 | 698 | | 5.0 | 35.392 | | | | 0.04 | 0.01 | 1.45 | 0.58 | 1.91 | 3.3 | 35.747 | | | 3.3 | 35.747 | | | 0.89 | 3.88 | 4.07 | 0.79 | 0.91 | 0.8 | 0.8 | |
| 89 | 7 | 20 | 87 | -38 | 3 | 638 | | 5.5 | 35.208 | 20.21 | 24.88 | | 0.03 | 0.04 | 1.41 | 0.48 | 8.47 | 3.4 | 35.721 | 13.59 | 26.83 | 3.4 | 35.721 | 13.59 | 26.83 | 0.55 | 4.21 | 3.31 | 0.81 | 5.98 | 0.2 | 0.2 | |
| 89 | 7 | 24 | 113 | -42 | 3 | 590 | 28.0 | 20.5 | 5.0 | 35.527 | 19.25 | 25.38 | | 0.07 | 0.00 | 1.02 | 0.59 | 2.77 | 3.8 | 35.757 | 13.45 | 26.99 | 3.8 | 35.757 | 13.45 | 26.99 | 0.38 | 4.74 | 2.30 | 0.63 | 5.58 | 0.5 | 0.5 |
| 89 | 7 | 27 | 1164 | 1414 | 3 | 739 | | 3.0 | 35.560 | 18.20 | 25.67 | | 0.07 | 0.00 | 2.45 | 0.56 | 2.89 | 7.4 | 35.765 | 13.34 | 26.92 | 7.4 | 35.765 | 13.34 | 26.92 | 0.52 | 4.70 | 2.18 | 0.93 | 6.30 | 1.1 | 1.1 | |
| 89 | 7 | 31 | 547 | 75 | 3 | 721 | | 4.0 | 35.719 | 17.32 | 25.69 | | 0.07 | 0.05 | 1.59 | 0.92 | 1.15 | 6.0 | 35.772 | 13.63 | 26.88 | 6.0 | 35.772 | 13.63 | 26.88 | 0.45 | 3.40 | 3.65 | 0.81 | 8.33 | 0.8 | 0.8 | |
| 89 | 8 | 3 | 1357 | 1577 | 3 | 655 | 19.0 | 17.5 | 5.5 | 34.924 | 18.17 | 25.17 | | 0.08 | 0.07 | 3.27 | 0.50 | 1.37 | 2.2 | 35.768 | 14.02 | 26.78 | 2.2 | 35.768 | 14.02 | 26.78 | 0.14 | 1.15 | 3.28 | 0.82 | 2.01 | 0.4 | 0.4 |
| 89 | 8 | 7 | 191 | -3 | 4 | 522 | 21.0 | 18.7 | 7.0 | 35.085 | 19.55 | 24.95 | | 0.03 | 0.00 | 1.25 | 0.51 | 1.03 | 6.7 | 35.754 | 14.13 | 28.74 | 6.7 | 35.754 | 14.13 | 28.74 | 0.00 | 0.02 | 0.78 | 0.17 | 0.14 | 0.1 | 0.1 |
| 89 | 8 | 10 | 292 | -23 | 3 | 618 | 21.4 | 18.2 | 7.0 | 35.326 | 20.08 | 24.99 | | 0.10 | 1.29 | 2.06 | 0.60 | 2.00 | 2.6 | 35.760 | 13.77 | 26.84 | 2.6 | 35.760 | 13.77 | 26.84 | 0.13 | 1.45 | 2.82 | 0.84 | 2.24 | 0.1 | 0.1 |
| 89 | 8 | 14 | -128 | -615 | 3 | 544 | 20.7 | 18.5 | 3.3 | 35.523 | 19.84 | 25.20 | | 0.04 | 0.00 | 2.03 | 0.59 | 1.02 | 8.5 | 35.779 | 13.81 | 26.83 | 8.5 | 35.779 | 13.81 | 26.83 | 0.30 | 4.09 | 1.98 | 0.81 | 4.09 | 0.4 | 0.4 |
| 89 | 8 | 17 | -74 | 158 | 12 | 524 | | | | | | | | | | | | | | | | | | | | | | | | | | | |

RÍA DE VIGO

Estación Fija (E3)

| FECHA | | METEOROLOGÍA | | | | temp. del aire | | | | HIDROGRAFÍA | | | | | | | | | | | | | | | | | | | |
|-------|----|--------------|-------|-------|------|----------------|------|--------|------|-------------|----------------|-----------------|-------------------|-----------------|------------------------------|--------------------------------|---------------------|------|--------|-------|----------------|-----------------|-------------------|-----------------|-----------------|------------------------------|--------------------------------|---------------------|------|
| A | M | D | -qx | qv | Qr | Qs | seco | húmedo | S | t | σ _t | pH _s | [O ₂] | NO ₂ | NH ₄ ⁺ | HPO ₄ ²⁻ | Si(OH) ₄ | Cl-a | S | l | σ _t | pH _s | [O ₂] | NO ₂ | NO ₃ | NH ₄ ⁺ | HPO ₄ ²⁻ | Si(OH) ₄ | Cl-a |
| 89 | 9 | 14 | 32 | 0 | 3.7 | 523 | 18.1 | 16.1 | 8.0 | 35.722 | 16.81 | 26.16 | 0.12 | 0.41 | 1.17 | 0.81 | 1.63 | 4.6 | 35.920 | 13.63 | 26.90 | 0.77 | 11.22 | 2.16 | 0.87 | 9.45 | 0.9 | | |
| 89 | 9 | 18 | -599 | -858 | 3.7 | 385 | 16.2 | 15.1 | 8.5 | 35.255 | 14.73 | 26.23 | 0.13 | 0.00 | 1.29 | 0.58 | 3.85 | 6.1 | 35.764 | 14.24 | 26.75 | 0.56 | 6.74 | 4.00 | 0.98 | 7.70 | 3.4 | | |
| 89 | 9 | 21 | -191 | -243 | 5.2 | 454 | 16.2 | 15.1 | 8.5 | 35.492 | 16.02 | 26.12 | 0.20 | 0.86 | 1.71 | 0.87 | 3.98 | 3.9 | 35.770 | 14.02 | 26.78 | 0.80 | 7.96 | 3.55 | 0.98 | 9.10 | 1.1 | | |
| 89 | 9 | 25 | -252 | 72 | 5.8 | 473 | 16.8 | 15.4 | 10.0 | 35.608 | 16.76 | 26.04 | 0.23 | 1.16 | 1.39 | 0.81 | 5.81 | 4.2 | 35.753 | 13.79 | 26.81 | 0.56 | 7.56 | 4.27 | 0.87 | 10.49 | 0.5 | | |
| 89 | 9 | 28 | 648 | 848 | 4.8 | 473 | 17.6 | 16.1 | 10.0 | 35.631 | 17.04 | 25.99 | 0.26 | 2.61 | 1.39 | 0.83 | 7.00 | 3.4 | 35.764 | 13.58 | 26.89 | 0.48 | 9.45 | 0.89 | 0.64 | 8.72 | 0.4 | | |
| 89 | 10 | 2 | 287 | 1164 | 3.8 | 455 | 17.6 | 16.1 | 8.0 | 35.714 | 15.11 | 26.50 | 0.38 | 4.32 | 0.72 | 0.76 | 5.04 | 5.2 | 35.779 | 13.69 | 26.97 | 0.53 | 7.48 | 1.08 | 0.84 | 6.02 | 0.5 | | |
| 89 | 10 | 5 | 375 | 929 | 3.8 | 415 | 20.5 | 17.8 | 8.0 | 35.707 | 15.87 | 26.32 | 0.09 | 0.09 | 0.97 | 0.27 | 3.85 | 9.8 | 35.757 | 13.86 | 26.78 | 0.38 | 8.97 | 0.88 | 0.24 | 7.70 | 1.7 | | |
| 89 | 10 | 8 | 898 | 1019 | 3.7 | 415 | 19.0 | 14.5 | 8.0 | 35.702 | 15.44 | 26.42 | 0.19 | 2.08 | 1.84 | 0.48 | 2.88 | 2.0 | 35.767 | 13.87 | 26.81 | 0.71 | 9.20 | 4.51 | 0.98 | 10.08 | 1.8 | | |
| 89 | 10 | 13 | 877 | 759 | 3.7 | 374 | 19.4 | 15.8 | 6.0 | 35.742 | 15.10 | 26.52 | 0.13 | 1.69 | 1.21 | 0.57 | 2.21 | 2.1 | 35.900 | 13.87 | 26.84 | 0.26 | 6.95 | 0.38 | 0.45 | 5.39 | 2.3 | | |
| 89 | 10 | 16 | 451 | 905 | 3.7 | 380 | 17.8 | 14.0 | 8.0 | 35.784 | 15.10 | 26.56 | 0.14 | 1.25 | 0.64 | 0.28 | 2.51 | 1.8 | 35.767 | 14.12 | 26.78 | 0.25 | 3.65 | 1.42 | 0.83 | 3.55 | 6.9 | | |
| 89 | 10 | 19 | -489 | -1228 | 8.9 | 303 | 17.5 | 14.8 | 8.0 | 35.678 | 15.46 | 26.39 | 0.10 | 0.72 | 1.58 | 0.28 | 1.82 | 1.7 | 35.760 | 14.90 | 26.68 | 0.27 | 1.22 | 2.81 | 0.57 | 2.72 | 2.6 | | |
| 89 | 10 | 24 | -208 | 229 | 60.4 | 304 | 18.2 | 16.9 | 8.0 | 35.280 | 16.47 | 25.88 | 0.12 | 0.75 | 1.88 | 0.38 | 1.73 | 0.7 | 35.513 | 15.37 | 26.29 | 0.27 | 1.30 | 6.95 | 1.05 | 5.41 | 0.6 | | |
| 89 | 10 | 27 | -115 | -588 | 45.8 | 287 | 18.0 | 14.7 | 6.0 | 35.180 | 16.59 | 25.75 | 0.12 | 0.76 | 1.80 | 0.37 | 6.78 | 3.5 | 35.394 | 15.79 | 26.09 | 0.28 | 1.22 | 6.10 | 0.77 | 7.81 | 0.9 | | |
| 89 | 10 | 30 | -605 | -1014 | 47.8 | 290 | 18.0 | 14.7 | 6.0 | 35.130 | 17.12 | 25.59 | 0.24 | 1.63 | 3.13 | 0.39 | 2.81 | 3.2 | 35.122 | 16.21 | 25.79 | 0.74 | 1.50 | 4.40 | 0.84 | 1.66 | 0.7 | | |
| 89 | 11 | 3 | 243 | -1455 | 27.4 | 288 | 18.0 | 14.7 | 4.5 | 34.918 | 16.46 | 25.57 | 0.25 | 1.23 | 1.52 | 0.62 | 6.88 | 3.3 | 35.008 | 16.43 | 25.66 | 0.31 | 1.48 | 5.28 | 0.87 | 7.58 | 0.8 | | |
| 89 | 11 | 7 | 194 | -1485 | 33.1 | 249 | 18.0 | 14.7 | 8.0 | 34.585 | 15.75 | 25.49 | 0.46 | 2.76 | 6.00 | 1.28 | 8.31 | 1.7 | 35.748 | 16.01 | 26.32 | 0.54 | 2.38 | 1.71 | 0.52 | 5.78 | 0.2 | | |
| 89 | 11 | 9 | -301 | -1018 | 40.2 | 285 | 18.0 | 14.7 | 10.0 | 34.395 | 15.42 | 25.39 | 0.47 | 2.75 | 4.13 | 1.40 | 8.11 | 1.1 | 35.762 | 15.17 | 26.55 | 0.42 | 4.25 | 1.33 | 0.65 | 6.57 | 0.1 | | |
| 89 | 11 | 13 | -262 | 638 | 37.8 | 254 | 18.0 | 14.7 | 11.0 | 34.681 | 15.80 | 25.58 | 0.75 | 3.04 | 6.88 | 1.08 | 9.70 | 1.1 | 35.090 | 15.34 | 26.43 | 0.78 | 4.10 | 2.02 | 0.71 | 7.73 | 0.3 | | |
| 89 | 11 | 16 | 78 | 707 | 31.5 | 250 | 18.0 | 14.7 | 8.0 | 34.778 | 15.31 | 25.73 | 0.78 | 3.22 | 4.88 | 0.98 | 7.85 | 0.9 | 35.532 | 15.31 | 26.31 | 0.62 | 3.24 | 1.19 | 0.49 | 6.03 | 0.3 | | |
| 89 | 11 | 22 | 3378 | -1728 | 86.8 | 237 | 18.0 | 14.7 | 4.5 | 34.718 | 15.02 | 25.75 | 0.78 | 4.10 | 2.11 | 0.54 | 5.52 | 0.4 | 35.127 | 15.32 | 26.00 | 0.88 | 3.15 | 4.81 | 0.78 | 8.04 | 0.2 | | |
| 89 | 11 | 27 | -715 | 1374 | 72.4 | 235 | 18.0 | 14.7 | 10.0 | 31.497 | 14.56 | 25.37 | 0.85 | 7.18 | 6.81 | 0.78 | 12.12 | 0.5 | 34.842 | 15.22 | 25.88 | 1.18 | 3.99 | 3.57 | 0.72 | 8.07 | 0.0 | | |
| 89 | 11 | 30 | 1708 | -982 | 42.8 | 233 | 18.0 | 14.7 | 11.0 | 32.203 | 15.82 | 23.64 | 0.99 | 7.32 | 6.73 | 0.98 | 10.67 | 0.5 | 35.287 | 15.82 | 26.02 | 1.68 | 2.78 | 1.51 | 0.58 | 7.27 | 0.0 | | |
| 89 | 12 | 5 | -568 | 1322 | 13.5 | 228 | 18.0 | 14.7 | 8.0 | 35.213 | 15.82 | 25.95 | 1.12 | 2.08 | 1.46 | 0.44 | 4.42 | 0.4 | 35.922 | 16.43 | 26.38 | 0.50 | 0.65 | 1.12 | 0.20 | 2.00 | 0.0 | | |
| 89 | 12 | 11 | -702 | -174 | 7.2 | 224 | 18.0 | 14.7 | 12.0 | 34.135 | 15.07 | 25.29 | 0.67 | 4.12 | 2.49 | 0.54 | 7.08 | 0.6 | 35.675 | 16.38 | 26.19 | 1.45 | 1.71 | 1.81 | 0.55 | 6.64 | 0.3 | | |
| 90 | 1 | 8 | -1877 | 113 | 46.4 | 227 | 18.0 | 14.7 | 7.0 | 33.377 | 14.24 | 24.11 | 1.19 | 10.84 | 2.39 | 0.75 | 14.38 | 0.3 | 35.320 | 15.89 | 26.00 | 0.70 | 5.15 | 0.86 | 0.48 | 7.86 | 0.0 | | |
| 90 | 1 | 11 | -160 | -45 | 29.8 | 231 | 18.0 | 14.7 | 8.0 | 33.658 | 14.56 | 25.03 | 0.97 | 7.77 | 1.14 | 0.50 | 11.87 | 0.3 | 35.992 | 15.79 | 26.68 | 0.27 | 1.95 | 1.12 | 0.50 | 4.37 | 0.1 | | |
| 90 | 1 | 15 | -108 | -272 | 11.7 | 234 | 18.0 | 14.7 | 7.0 | 34.052 | 14.04 | 25.45 | 0.74 | 7.47 | 1.12 | 0.34 | 10.24 | 1.5 | 35.865 | 15.91 | 26.44 | 0.56 | 3.18 | 1.10 | 0.26 | 8.36 | 0.0 | | |
| 90 | 1 | 18 | -32 | 1 | 7.2 | 237 | 18.0 | 14.7 | 8.0 | 34.255 | 14.29 | 25.55 | 0.78 | 6.07 | 2.10 | 0.75 | 8.54 | 1.6 | 38.034 | 15.91 | 26.56 | 0.21 | 2.07 | 0.71 | 0.38 | 3.35 | 0.0 | | |
| 90 | 1 | 22 | -831 | -806 | 4.8 | 239 | 18.0 | 14.7 | 5.0 | 32.827 | 12.63 | 24.78 | 0.10 | 0.32 | 0.63 | 0.04 | 1.18 | 11.3 | 35.864 | 15.62 | 26.50 | 0.82 | 3.68 | 2.15 | 0.41 | 8.73 | 0.9 | | |
| 90 | 2 | 5 | -2877 | -1428 | 59.7 | 272 | 18.0 | 14.7 | 4.0 | 29.322 | 12.66 | 22.06 | 0.39 | 8.85 | 4.08 | 0.77 | 12.70 | 0.2 | 35.445 | 14.68 | 26.38 | 0.31 | 1.54 | 1.94 | 0.37 | 4.74 | 0.2 | | |
| 90 | 2 | 8 | -2856 | -2712 | 41.2 | 249 | 18.0 | 14.7 | 7.0 | 28.860 | 13.26 | 22.47 | 0.39 | 8.87 | 3.86 | 0.88 | 12.95 | 0.6 | 34.554 | 14.37 | 25.76 | 0.46 | 2.92 | 2.80 | 0.54 | 8.83 | 0.2 | | |
| 90 | 2 | 14 | 135 | -3669 | 30.7 | 251 | 18.0 | 14.7 | 7.0 | 28.015 | 13.27 | 21.71 | 0.54 | 11.38 | 3.85 | 0.65 | 15.47 | 1.4 | 33.836 | 14.68 | 25.14 | 0.89 | 1.57 | 1.03 | 0.40 | 4.80 | 0.1 | | |
| 90 | 2 | 19 | -1488 | -1018 | 15.2 | 272 | 18.0 | 14.7 | 5.0 | 28.882 | 13.27 | 22.38 | 0.29 | 6.08 | 0.50 | 0.25 | 5.88 | 12.9 | 35.734 | 14.89 | 26.56 | 1.50 | 2.22 | 1.87 | 0.58 | 8.31 | 0.4 | | |
| 90 | 2 | 23 | -642 | -108 | 18.4 | 338 | 18.0 | 14.7 | 7.0 | 29.708 | 14.82 | 21.97 | 0.72 | 7.47 | 3.38 | 0.70 | 6.82 | 2.5 | 35.781 | 14.78 | 26.64 | 0.28 | 2.84 | 1.48 | 0.61 | 4.86 | 0.9 | | |
| 90 | 2 | 26 | -1774 | 1711 | 10.2 | 282 | 18.0 | 14.7 | 4.0 | 31.518 | 14.37 | 23.42 | 0.48 | 2.24 | 1.87 | 1.09 | 1.87 | 17.2 | 35.448 | 14.72 | 26.58 | 1.07 | 2.84 | 1.29 | 0.55 | 6.51 | 1.3 | | |
| 90 | 3 | 5 | 623 | 2547 | 6.8 | 370 | 18.0 | 14.7 | 6.0 | 35.525 | 13.73 | 26.85 | 0.34 | 2.57 | 0.83 | 0.34 | 3.80 | 3.8 | 35.847 | 13.82 | 26.82 | 0.28 | 4.51 | 0.89 | 0.39 | 4.33 | 0.1 | | |
| 90 | 3 | 8 | -127 | 72 | 5.8 | 347 | 18.0 | 14.7 | 7.0 | 34.890 | 13.77 | 26.14 | 0.18 | 1.50 | 1.03 | 0.23 | 3.41 | 5.4 | 35.787 | 13.47 | 26.81 | 0.28 | 4.31 | 0.85 | 0.48 | 4.33 | 1.7 | | |
| 90 | 3 | 12 | -305 | -170 | 15.3 | 395 | 18.0 | 14.7 | 4.0 | 34.800 | 14.25 | 26.83 | 0.08 | 0.00 | 0.36 | 0.36 | 1.73 | 14.4 | 35.728 | 13.70 | 26.81 | 0.43 | 3.40 | 1.45 | 0.41 | 4.08 | 2.4 | | |
| 90 | 3 | 19 | -819 | -144 | 6.2 | 443 | 18.0 | 14.7 | 9.0 | 34.971 | 14.44 | 26.07 | 0.05 | 0.00 | 0.44 | 0.11 | 1.84 | 2.9 | 35.719 | 12.63 | 26.86 | 0.90 | 3.89 | 2.49 | 0.82 | 6.73 | 0.8 | | |
| 90 | 3 | 22 | 386 | 8 | 4.7 | 434 | 18.0 | 14.7 | 8.0 | 33.917 | 15.92 | 24.86 | 0.11 | 0.01 | 1.98 | 0.60 | 1.52 | 5.8 | 35.905 | 13.84 | 26.84 | 0.26 | 2.24 | 1.23 | 0.33 | 2.36 | 0.2 | | |
| 90 | 3 | 28 | 1890 | 1183 | 4.0 | 490 | 18.0 | 14.7 | 7.0 | 35.749 | 14.01 | 26.76 | 0.21 | 1.38 | 0.88 | 0.33 | 1.98 | 1.0 | 35.804 | 14.14 | 26.88 | 0.28 | 2.24 | 1.23 | 0.33 | 2.36 | 0.2 | | |
| 90 | 3 | 29 | 662 | 1321 | 3.8 | 491 | 18.0 | 14.7 | 7.0 | 35.672 | 14.03 | 26.70 | 0.21 | 1.43 | 0.91 | 0.34 | 2.57 | 2.8 | 35.881 | 14.08 | 26.85 | 0.27 | 2.93 | 1.12 | 0.37 | 3.67 | 0.4 | | |
| 90 | 4 | 4 | 386 | -128 | 48.7 | 345 | 18.0 | 14.7 | 6.0 | 35.184 | 13.73 | 26.39 | 0.28 | 2.87 | 2.17 | 0.55 | 4.15 | 1.5 | 35.691 | 13.88 | 26.75 | 0.28 | 2.33 | 1.90 | 0.43 | 4.06 | 0.6 | | |
| 90 | 4 | 11 | 1310 | 483 | 23.9 | 432 | 18.0 | 14.7 | 5.0 | 35.471 | 13.68 | 26.82 | 0.43 | 1.87 | 0.85 | 0.34 | 3.20 | 4.7 | 35.745 | 13.63 | 26.78 | 0.88 | 2.54 | 1.55 | 0.33 | 4.80 | 0.5 | | |
| 90 | 4 | 16 | 308 | -565 | 22.5 | 418 | 18.0 | 14.7 | 6.0 | 35.089 | 13.86 | 26.29 | 0.09 | 0.00 | 0.53 | 0.24 | 1.55 | 8.5 | 35.908 | 13.81 | 26.83 | 0.55 | 2.38 | 1.51 | 0.38 | 4.40 | 0.3 | | |
| 90 | 4 | 19 | 538 | -69 | 17.1 | 404 | 18.0 | 14.7 | 6.0 | 35.029 | 13.86 | 26.21 | 0.08 | 0.00 | 0.33 | 0.12 | 1.44 | 5.9 | 35.713 | 12.81 | 27.02 | 0.30 | 8.11 | 0.97 | 0.58 | 3.28 | 2.2 | | |
| 90 | 4 | 23 | 1139 | -102 | 9.5 | 442 | 18.0 | 14.7 | 7.0 | 35.076 | 13.63 | 26.32 | 0.19 | 0.38 | 0.48 | 0.18 | 1.86 | 5.9 | 35.709 | 13.67 | 26.93 | 0.44 | 5.64 | 1.99 | 0.58 | 4.55 | 1.0 | | |
| 90 | 4 | | | | | | | | | | | | | | | | | | | | | | | | | | | | |

RÍA DE VIGO

Estación Fija (E3)

| FECHA | | METEOROLOGÍA | | | | | HIDROGRAFÍA | | | | | | | | | | | | | | | | | | | | | | | | |
|-------|----|--------------|-------|-------|-------|-----|----------------|--------|---------------|--------|-------|----------------|-----------------|-------------------|-----------------|-----------------|------------------------------|--------------------------------|---------------------------------|-----------------|--------|-------|-------|-------|-------|-------|------|------|------|------|-----|
| A | M | D | dir | sv | Or | Da | temp. del aire | | FONDO (40 m.) | | | | | | | | | | | | | | | | | | | | | | |
| | | | | | | | seco | húmedo | Secchi | S | t | c _t | pH _s | [O ₂] | NO ₂ | NO ₃ | NH ₄ ⁺ | HPO ₄ ²⁻ | SiO ₂ H ₄ | Cl _a | | | | | | | | | | | |
| 90 | 5 | 21 | 69 | -113 | 10.4 | 479 | | | 7.0 | 34.348 | 16.04 | 24.78 | 0.10 | 0.00 | 0.70 | 0.08 | 4.00 | 2.0 | 35.927 | 13.71 | 28.73 | 0.31 | 2.39 | 5.41 | 0.63 | 0.02 | 0.7 | | | | |
| 90 | 5 | 24 | 390 | -3 | 9.8 | 502 | | | 6.0 | 34.503 | 17.78 | 24.95 | 0.09 | 0.00 | 0.47 | 0.23 | 1.78 | 5.4 | 35.948 | 13.71 | 28.75 | 0.19 | 1.22 | 2.13 | 0.30 | 3.98 | 0.6 | | | | |
| 90 | 5 | 28 | 88 | 107 | 7.6 | 595 | | | 4.0 | 34.748 | 17.45 | 25.21 | 0.08 | 0.00 | 0.33 | 0.29 | 1.72 | 10.7 | 35.732 | 13.41 | 28.88 | 0.39 | 2.82 | 2.44 | 0.41 | 3.77 | 1.4 | | | | |
| 90 | 5 | 31 | 178 | 98 | 5.9 | 704 | | | 7.0 | 35.043 | 17.51 | 25.43 | 0.04 | 0.05 | 0.51 | 0.28 | 1.64 | 1.7 | 35.714 | 13.14 | 28.82 | 0.71 | 4.84 | 2.47 | 0.60 | 6.18 | 0.9 | | | | |
| 90 | 6 | 4 | 771 | 248 | 4.3 | 625 | | | 8.0 | 35.376 | 17.83 | 25.95 | 0.07 | 0.09 | 0.67 | 0.33 | 2.81 | 1.5 | 35.742 | 13.08 | 28.98 | 1.30 | 6.87 | 1.68 | 0.68 | 7.52 | 0.7 | | | | |
| 90 | 6 | 7 | 94 | -417 | 4.5 | 570 | | | 7.0 | 35.355 | 17.63 | 25.58 | 0.05 | 0.03 | 0.24 | 0.25 | 1.11 | 2.7 | 35.971 | 12.88 | 28.82 | 1.11 | 6.08 | 1.95 | 0.57 | 6.20 | 0.9 | | | | |
| 90 | 6 | 21 | -178 | -1042 | 9.1 | 527 | | | 9.0 | 35.288 | 17.84 | 25.51 | 0.04 | 0.00 | 0.37 | 0.42 | 1.08 | 3.8 | 35.748 | 13.48 | 28.88 | 0.48 | 3.44 | 3.45 | 0.75 | 6.81 | 0.5 | | | | |
| 90 | 6 | 25 | 478 | 43 | 12.9 | 585 | | | 5.0 | 35.338 | 17.71 | 25.80 | 0.02 | 0.07 | 1.25 | 0.87 | 1.32 | 4.9 | 35.728 | 13.50 | 28.88 | 0.26 | 2.98 | 2.70 | 0.71 | 5.89 | 0.5 | | | | |
| 90 | 7 | 2 | -78 | -763 | 6.9 | 602 | | | 7.0 | 35.329 | 16.08 | 25.25 | 0.02 | 0.01 | 0.64 | 0.58 | 1.03 | 3.9 | 35.763 | 13.29 | 28.94 | 0.45 | 6.31 | 4.79 | 0.88 | 6.60 | 0.5 | | | | |
| 90 | 7 | 5 | 208 | -312 | 8.7 | 593 | | | 7.0 | 35.259 | 19.70 | 25.04 | 0.01 | 0.08 | 0.78 | 0.53 | 1.59 | 2.3 | 35.732 | 13.40 | 28.88 | 0.36 | 5.78 | 3.91 | 0.89 | 6.03 | 0.6 | | | | |
| 90 | 7 | 8 | 1283 | 901 | 8.6 | 774 | | | 7.0 | 35.590 | 16.88 | 26.04 | 0.08 | 0.18 | 0.49 | 0.53 | 4.82 | 7.8 | 35.758 | 13.18 | 28.95 | 0.64 | 8.03 | 1.43 | 0.77 | 6.14 | 1.1 | | | | |
| 90 | 7 | 18 | 569 | 577 | 4.0 | 790 | | | 7.0 | 35.328 | 19.05 | 25.28 | 0.08 | 0.08 | 0.91 | 0.46 | 5.28 | 3.5 | 35.728 | 12.78 | 27.01 | 0.40 | 1.17 | 1.17 | 0.37 | 8.28 | 1.4 | | | | |
| 90 | 7 | 23 | -10 | 17 | 4.3 | 848 | | | 6.0 | 35.383 | 20.28 | 24.96 | 0.04 | 0.12 | 0.73 | 0.58 | 1.28 | 8.0 | 35.728 | 12.99 | 28.88 | 0.38 | 2.87 | 2.06 | 0.47 | 8.27 | 0.8 | | | | |
| 90 | 7 | 28 | 184 | -139 | 9.0 | 548 | | | 6.0 | 35.518 | 18.32 | 25.59 | 0.03 | 0.04 | 0.58 | 0.29 | 0.67 | 6.5 | 35.607 | 13.78 | 28.88 | 0.16 | 0.52 | 2.12 | 0.78 | 5.09 | 1.2 | | | | |
| 90 | 7 | 30 | -316 | -141 | 8.0 | 680 | | | 7.0 | 35.472 | 18.61 | 25.23 | 0.07 | 0.08 | 0.27 | 0.28 | 0.34 | 3.4 | 35.773 | 13.84 | 28.80 | 0.15 | 1.21 | 1.94 | 0.35 | 3.53 | 0.2 | | | | |
| 90 | 8 | 2 | 181 | -39 | 5.9 | 643 | | | 8.0 | 35.477 | 20.44 | 25.01 | 0.05 | 0.00 | 1.03 | 0.38 | 0.78 | 1.8 | 35.830 | 13.72 | 28.89 | 0.41 | 3.39 | 3.38 | 0.81 | 6.44 | 0.2 | | | | |
| 90 | 8 | 5 | 838 | 309 | 4.8 | 701 | | | 7.0 | 35.522 | 21.78 | 24.88 | 0.08 | 0.07 | 0.68 | 0.49 | 1.50 | 2.5 | 35.888 | 13.53 | 28.87 | 0.74 | 6.18 | 3.17 | 0.71 | 6.09 | 0.1 | | | | |
| 90 | 8 | 9 | 852 | 888 | 4.0 | 887 | | | 4.5 | 35.705 | 18.28 | 26.23 | 0.12 | 0.09 | 0.98 | 0.51 | 1.43 | 1.7 | 35.843 | 13.51 | 28.84 | 0.85 | 8.87 | 2.82 | 0.78 | 7.85 | 0.5 | | | | |
| 90 | 8 | 14 | 122 | -28 | 3.7 | 581 | | | 6.5 | 35.371 | 18.08 | 25.64 | 0.05 | 0.01 | 0.70 | 0.28 | 1.17 | 4.2 | 35.848 | 13.78 | 28.88 | 0.92 | 5.64 | 3.59 | 0.88 | 7.98 | 0.8 | | | | |
| 90 | 8 | 20 | 1080 | 654 | 3.7 | 570 | | | 5.0 | 35.744 | 17.88 | 25.87 | 0.04 | 0.00 | 0.48 | 0.29 | 1.36 | 7.2 | 35.854 | 13.68 | 28.84 | 0.73 | 5.15 | 1.95 | 0.86 | 5.40 | 0.4 | | | | |
| 90 | 8 | 23 | 757 | 889 | 8.5 | 618 | | | 3.5 | 35.592 | 17.84 | 25.77 | 0.07 | 0.00 | 0.78 | 0.28 | 1.49 | 10.0 | 35.845 | 13.83 | 28.82 | 1.11 | 6.90 | 1.74 | 0.87 | 7.90 | 0.7 | | | | |
| 90 | 8 | 27 | -70 | -133 | 5.3 | 596 | | | 8.0 | 35.693 | 17.75 | 25.87 | 0.07 | 0.09 | 0.66 | 0.34 | 1.58 | 3.4 | 35.843 | 13.95 | 28.85 | 0.99 | 6.07 | 2.48 | 0.78 | 8.17 | 1.5 | | | | |
| 90 | 8 | 30 | 416 | 171 | 6.2 | 488 | | | 7.0 | 35.578 | 18.33 | 25.63 | 0.14 | 0.22 | 2.11 | 0.58 | 3.32 | 3.2 | 35.904 | 13.70 | 28.87 | 0.99 | 7.04 | 2.31 | 0.79 | 8.31 | 1.0 | | | | |
| 90 | 9 | 3 | 613 | 90 | 6.3 | 498 | | | 8.0 | 35.677 | 17.15 | 26.00 | 0.05 | 0.02 | 0.73 | 0.40 | 2.03 | 7.2 | 35.951 | 13.84 | 28.88 | 0.70 | 6.08 | 2.65 | 0.77 | 8.80 | 1.8 | | | | |
| 90 | 9 | 6 | 858 | 317 | 4.8 | 573 | | | 5.5 | 35.740 | 18.92 | 26.10 | 0.04 | 0.15 | 0.43 | 0.34 | 2.34 | 8.6 | 35.845 | 13.17 | 27.01 | 0.59 | 8.75 | 3.11 | 0.75 | 7.80 | 0.8 | | | | |
| 90 | 9 | 10 | 682 | 738 | 4.0 | 502 | | | 5.0 | 35.754 | 15.62 | 26.42 | 0.07 | 0.39 | 0.64 | 0.45 | 2.28 | 9.8 | 35.820 | 12.89 | 27.03 | 0.40 | 8.55 | 0.95 | 0.73 | 6.54 | 1.5 | | | | |
| 90 | 9 | 14 | -88 | 289 | 3.9 | 458 | | | 12.0 | 35.128 | 17.61 | 25.47 | 0.10 | 0.70 | 1.45 | 0.23 | 2.17 | 2.8 | 35.772 | 13.53 | 28.88 | 0.73 | 7.24 | 2.89 | 0.89 | 8.44 | 1.0 | | | | |
| 90 | 9 | 18 | 1330 | 892 | 3.8 | 475 | | | 9.5 | 35.360 | 18.15 | 25.51 | 0.16 | 0.22 | 2.11 | 0.58 | 3.32 | 3.2 | 35.759 | 13.90 | 28.82 | 0.59 | 5.82 | 3.45 | 0.72 | 7.95 | 1.2 | | | | |
| 90 | 9 | 20 | 581 | 435 | 3.7 | 482 | | | 8.0 | 35.458 | 17.89 | 25.65 | 0.138 | 0.25 | 1.71 | 2.18 | 0.55 | 5.40 | 4.1 | 35.773 | 13.80 | 28.83 | 0.59 | 6.38 | 3.77 | 0.77 | 8.11 | 0.7 | | | |
| 90 | 9 | 24 | 68 | -265 | 8.4 | 357 | | | 7.5 | 35.504 | 17.24 | 25.84 | 0.03 | 0.02 | 0.64 | 0.04 | 0.55 | 4.1 | 35.662 | 15.41 | 28.39 | 0.53 | 3.80 | 5.69 | 0.92 | 10.50 | 2.1 | | | | |
| 90 | 9 | 27 | -1357 | 413 | 9.5 | 385 | | | 7.0 | 35.418 | 18.15 | 25.58 | 0.255 | 0.23 | 0.03 | 0.00 | 0.45 | 0.12 | 1.69 | 2.1 | | | | | | | | | | | |
| 90 | 10 | 2 | -9 | -459 | 31.6 | 362 | | | 6.5 | 35.216 | 18.50 | 25.31 | 0.225 | 0.249 | 1.15 | 0.12 | 1.31 | 0.39 | 3.78 | 5.1 | 35.537 | 18.68 | 26.01 | 0.897 | 195.8 | 0.32 | 1.74 | 4.54 | 0.62 | 8.18 | 0.6 |
| 90 | 10 | 4 | 152 | -74 | 23.7 | 368 | | | 6.5 | 35.288 | 18.30 | 25.42 | 0.179 | 0.225 | 0.13 | 0.30 | 2.02 | 0.64 | 3.21 | 7.4 | 35.428 | 16.87 | 25.65 | 8.148 | 195.8 | 0.26 | 1.39 | 3.69 | 0.53 | 7.89 | 0.5 |
| 90 | 10 | 8 | 1430 | 395 | 12.3 | 400 | | | 8.0 | 35.487 | 17.09 | 25.85 | 0.053 | 0.208 | 0.28 | 1.33 | 3.48 | 0.50 | 5.80 | 3.7 | 35.842 | 13.83 | 28.85 | 7.994 | 170.1 | 0.42 | 7.93 | 0.93 | 0.61 | 6.69 | 0.2 |
| 90 | 10 | 11 | 407 | 595 | 7.3 | 415 | | | 4.0 | 35.841 | 18.31 | 26.17 | 0.115 | 0.281 | 0.07 | 0.12 | 0.45 | 0.29 | 2.82 | 16.9 | 35.656 | 13.70 | 28.91 | 8.022 | 174.1 | 0.38 | 8.50 | 0.83 | 0.88 | 7.25 | 0.3 |
| 90 | 10 | 18 | -989 | -2474 | 76.9 | 289 | | | 8.0 | 34.923 | 15.25 | 25.86 | 227.2 | 0.21 | 1.21 | 1.51 | 0.30 | 1.81 | 3.1 | 35.498 | 15.61 | 26.22 | 235.5 | 0.27 | 1.79 | 4.41 | 0.80 | 4.23 | 2.8 | | |
| 90 | 10 | 22 | -271 | 303 | 57.8 | 284 | | | 8.0 | 35.043 | 15.24 | 25.95 | 234.3 | 0.23 | 1.78 | 2.68 | 0.50 | 2.57 | 2.8 | 35.293 | 15.49 | 26.09 | 193.2 | 0.17 | 0.81 | 2.80 | 0.45 | 2.82 | 0.7 | | |
| 90 | 10 | 25 | -1124 | -2808 | 67.1 | 270 | | | 6.0 | 34.928 | 15.24 | 25.79 | 6.093 | 0.33 | 2.17 | 3.00 | 0.38 | 2.82 | 1.9 | 34.842 | 15.71 | 25.77 | 0.686 | 208.9 | 0.31 | 1.78 | 4.25 | 0.47 | 3.04 | 1.3 | |
| 90 | 10 | 31 | -70 | -1563 | 113.3 | 260 | | | 6.0 | 20.886 | 15.48 | 15.04 | 7.822 | 0.32 | 4.57 | 5.31 | 0.70 | 21.41 | 1.9 | 35.667 | 16.50 | 26.15 | 8.114 | 234.1 | 0.38 | 0.44 | 4.98 | 0.35 | 4.55 | 0.7 | |
| 90 | 11 | 5 | 80 | 203 | 48.5 | 289 | | | 8.0 | 34.205 | 15.16 | 25.20 | 6.043 | 0.18 | 3.07 | 5.81 | 0.68 | 7.31 | 0.7 | 35.787 | 16.24 | 28.30 | 8.088 | 208.8 | 0.75 | 2.87 | 1.79 | 0.39 | 5.08 | 0.4 | |
| 90 | 11 | 8 | -753 | 318 | 24.4 | 258 | | | 8.0 | 34.515 | 18.72 | 25.34 | 6.064 | 0.10 | 3.08 | 3.93 | 0.57 | 7.78 | 1.1 | 35.817 | 15.22 | 26.55 | 8.017 | 171.1 | 0.44 | 6.05 | 1.96 | 0.73 | 6.00 | 0.3 | |
| 90 | 11 | 12 | -235 | -803 | 22.4 | 276 | | | 11.0 | 34.418 | 15.81 | 25.39 | 8.068 | 0.64 | 2.88 | 3.10 | 0.47 | 5.28 | 1.2 | 35.398 | 16.05 | 26.04 | 8.053 | 231.4 | 0.82 | 3.14 | 1.16 | 0.38 | 5.02 | 0.5 | |
| 90 | 11 | 15 | 58 | -237 | 12.1 | 288 | | | 10.0 | 33.889 | 16.28 | 25.04 | 8.040 | 0.229 | 0.71 | 3.83 | 3.43 | 0.57 | 6.88 | 1.5 | 35.509 | 15.81 | 26.18 | 8.005 | 190.8 | 1.30 | 3.69 | 1.78 | 0.64 | 8.44 | 0.7 |
| 90 | 11 | 19 | 69 | -129 | 6.3 | 257 | | | 7.0 | 34.737 | 15.53 | 25.85 | 8.024 | 0.210 | 1.30 | 4.25 | 4.23 | 0.78 | 7.61 | 3.5 | 35.805 | 14.92 | 26.81 | 8.011 | 184.4 | 0.28 | 6.73 | 0.67 | 0.56 | 6.73 | 0.8 |
| 90 | 11 | 22 | 555 | -532 | 29.5 | 243 | | | 12.0 | 34.716 | 15.28 | 25.68 | 8.019 | 0.212 | 1.20 | 4.02 | 2.37 | 0.66 | 6.01 | 2.3 | 35.830 | 14.44 | 26.74 | 7.994 | 201.5 | 0.23 | 7.84 | 0.89 | 0.64 | 7.25 | 0.4 |
| 90 | 11 | 26 | 1240 | -1436 | 50.3 | 234 | | | 15.0 | 34.230 | 14.04 | 25.58 | 7.979 | 0.225 | 1.07 | 5.27 | 3.89 | 0.85 | 6.45 | 1.2 | 35.665 | 14.88 | 26.49 | 8.012 | 189.5 | 0.72 | 5.88 | 3.28 | 0.75 | 7.73 | 1.5 |
| 90 | 11 | 28 | 846 | -188 | 45.9 | 238 | | | 34.421 | | | | 205.7 | 1.09 | 6.22 | 2.48 | 0.72 | 8.38 | 2.0 | 35.765 | | | 182.6 | 0.48 | 6.18 | 0.66 | 0.83 | 6.54 | 0.4 | | |
| 90 | 11 | 29 | -280 | 217 | 37.9 | 240 | | 10.4 | 9.7 | 35.951 | 14.53 | 26.95 | 8.019 | 0.167 | 0.64 | 5.0 | | | | | | | | | | | | | | | |

RÍA DE VIGO

Estación Fija (E3)

| FECHA | | METEOROLOGÍA | | | | | | | | | | HIDROGRAFÍA | | | | | | | | | | [FONDO (40 m)] | | | | | | | | | | |
|-------|----|--------------|-------|-------|------|-----|----------------|----------------|-------|--------|-------|----------------|-----------------|-------------------|-----------------|-----------------|------------------------------|--------------------------------|---------------------|-----------------|--------|----------------|----------------|-----------------|-------------------|-----------------|-----------------|------------------------------|--------------------------------|---------------------|-----------------|-----|
| A | M | D | -R | QV | Qr | Qa | temp. del aire | temp. del agua | Secch | S | t | σ _t | pH _s | [O ₂] | NO ₂ | NO ₃ | NH ₄ ⁺ | HPO ₄ ³⁻ | Si(OH) ₄ | Cl ⁻ | S | t | σ _t | pH _s | [O ₂] | NO ₂ | NO ₃ | NH ₄ ⁺ | HPO ₄ ³⁻ | Si(OH) ₄ | Cl ⁻ | |
| 90 | 12 | 13 | 1006 | -33 | 11.4 | 223 | 15.0 | 15.0 | 150 | 34.645 | 12.85 | 26.19 | 8.059 | 244.5 | 0.69 | 6.99 | 3.52 | 0.79 | 6.54 | 0.6 | 35.571 | 13.75 | 26.68 | 8.110 | 217.5 | 0.48 | 3.89 | 0.68 | 0.98 | 0.38 | 4.40 | 0.4 |
| 90 | 12 | 17 | -244 | 1419 | 8.2 | 223 | 8.5 | 8.5 | 105 | 35.592 | 12.89 | 26.83 | 8.033 | 226.9 | 0.42 | 5.08 | 1.99 | 0.58 | 4.73 | 0.5 | 35.751 | 12.89 | 27.00 | 8.019 | 227.0 | 0.17 | 7.27 | 0.72 | 0.72 | 0.48 | 4.12 | 0.2 |
| 90 | 12 | 20 | 495 | 1189 | 4.7 | 222 | 10.2 | 10.0 | 115 | 35.481 | 10.88 | 27.21 | 8.013 | 231.9 | 0.45 | 7.04 | 2.28 | 0.98 | 6.08 | 0.7 | 35.568 | 12.61 | 26.81 | 8.013 | 230.9 | 0.39 | 6.20 | 1.88 | 0.53 | 5.40 | 0.5 | |
| 90 | 12 | 26 | -426 | 2281 | 17.6 | 222 | 13.8 | 13.0 | 55 | 34.585 | 12.51 | 26.17 | | 0.56 | 8.39 | 6.08 | 0.81 | 6.92 | | 0.45 | 35.451 | 11.95 | 26.95 | | 0.45 | 6.34 | 3.73 | 0.74 | 7.06 | 0.4 | | |
| 91 | 1 | 2 | -1198 | -1942 | 95.7 | 223 | 10.6 | 10.2 | 12.0 | 30.905 | 12.08 | 23.40 | 26.11 | 0.40 | 8.81 | 3.63 | 0.84 | 9.26 | | 244.8 | 0.46 | 35.088 | 12.85 | 26.46 | | 0.46 | 8.87 | 2.55 | 0.66 | 5.78 | 0.4 | |
| 91 | 1 | 7 | -1330 | -2639 | 72.8 | 224 | 10.4 | 10.4 | 6.0 | 29.045 | 11.82 | 22.04 | 7.930 | 256.6 | 0.58 | 13.58 | 6.64 | 0.86 | 15.74 | 0.6 | 34.884 | 13.03 | 26.28 | | 0.61 | 8.95 | 1.80 | 0.65 | 6.57 | 0.4 | | |
| 91 | 1 | 11 | -1650 | -2405 | 86.4 | 226 | 12.0 | 11.0 | 2.0 | 12.891 | 12.35 | 9.43 | 7.808 | 290.5 | 0.40 | 16.78 | 4.92 | 0.43 | 17.98 | 1.6 | 34.603 | 13.23 | 26.04 | | 0.63 | 8.69 | 1.18 | 0.53 | 5.28 | 0.8 | | |
| 91 | 1 | 15 | -1483 | 415 | 81.7 | 233 | 7.5 | 6.0 | 5.5 | 33.978 | 12.29 | 25.74 | 8.019 | 267.0 | 0.59 | 8.08 | 2.05 | 0.80 | 7.36 | 0.3 | 35.488 | 13.30 | 26.71 | | 0.61 | 8.95 | 1.80 | 0.65 | 6.57 | 0.4 | | |
| 91 | 1 | 21 | 125 | 808 | 38.0 | 245 | 11.5 | 10.5 | 6.0 | 32.882 | 11.88 | 24.89 | 8.014 | 218.7 | 0.87 | 8.93 | 7.12 | 0.72 | 9.48 | 0.5 | 35.807 | 13.60 | 26.85 | | 0.63 | 8.69 | 1.18 | 0.53 | 5.28 | 0.8 | | |
| 91 | 1 | 24 | 781 | 1188 | 18.8 | 251 | 12.0 | 12.5 | 8.0 | 35.272 | 12.90 | 26.82 | 8.110 | 245.9 | 0.38 | 6.48 | 1.07 | 0.56 | 3.78 | 0.5 | 35.839 | 13.15 | 26.70 | | 0.63 | 8.69 | 1.18 | 0.53 | 5.28 | 0.8 | | |
| 91 | 1 | 28 | -404 | 289 | 8.4 | 280 | 11.5 | 11.5 | 8.5 | 35.186 | 12.80 | 26.86 | 8.074 | 248.4 | 0.41 | 6.41 | 1.67 | 0.52 | 4.31 | 0.6 | 35.807 | 13.15 | 26.70 | | 0.63 | 8.69 | 1.18 | 0.53 | 5.28 | 0.8 | | |
| 91 | 1 | 31 | -358 | -80 | 13.2 | 248 | 14.0 | 13.0 | 7.0 | 34.188 | 12.67 | 25.81 | 8.042 | 258.5 | 0.39 | 6.77 | 1.47 | 0.51 | 6.72 | 1.2 | 35.570 | 13.46 | 26.74 | | 0.63 | 8.69 | 1.18 | 0.53 | 5.28 | 0.8 | | |
| 91 | 2 | 4 | 447 | -44 | 28.7 | 264 | 11.0 | 10.0 | 7.0 | 34.678 | 12.64 | 26.22 | 8.088 | 242.6 | 0.28 | 6.38 | 2.00 | 0.71 | 5.28 | 1.8 | 35.288 | 12.95 | 26.63 | | 0.63 | 8.69 | 1.18 | 0.53 | 5.28 | 0.8 | | |
| 91 | 2 | 12 | -114 | 1455 | 48.3 | 280 | 10.5 | 8.5 | 8.0 | 34.421 | 12.37 | 26.07 | 8.037 | 252.0 | 0.27 | 6.27 | 1.38 | 0.50 | 4.45 | 0.6 | 35.439 | 13.15 | 26.70 | | 0.63 | 8.69 | 1.18 | 0.53 | 5.28 | 0.8 | | |
| 91 | 2 | 14 | 853 | 1597 | 28.9 | 283 | 11.0 | 9.0 | 6.5 | 33.910 | 12.02 | 25.86 | 8.154 | 257.1 | 0.31 | 5.07 | 1.56 | 0.37 | 4.05 | 1.5 | 35.756 | 13.28 | 26.82 | | 0.63 | 8.69 | 1.18 | 0.53 | 5.28 | 0.8 | | |
| 91 | 2 | 18 | 1298 | 18 | 27.1 | 279 | 10.5 | 10.0 | 7.0 | 33.784 | 11.87 | 25.84 | 8.105 | 251.2 | 0.61 | 5.65 | 2.34 | 0.45 | 5.19 | 1.0 | 35.478 | 13.15 | 26.73 | | 0.63 | 8.69 | 1.18 | 0.53 | 5.28 | 0.8 | | |
| 91 | 2 | 21 | 195 | -19 | 26.9 | 287 | 11.5 | 10.5 | 6.0 | 34.652 | 12.52 | 26.22 | 8.083 | 281.9 | 0.50 | 5.78 | 1.78 | 0.53 | 3.77 | 1.7 | 35.456 | 12.95 | 26.78 | | 0.63 | 8.69 | 1.18 | 0.53 | 5.28 | 0.8 | | |
| 91 | 2 | 25 | -1971 | -642 | 16.3 | 318 | 10.5 | 10.5 | 7.5 | 33.608 | 12.41 | 25.86 | 8.083 | 288.7 | 0.30 | 5.64 | 1.04 | 0.34 | 5.16 | 3.3 | 35.350 | 12.95 | 26.87 | | 0.63 | 8.69 | 1.18 | 0.53 | 5.28 | 0.8 | | |
| 91 | 3 | 1 | 221 | 1024 | 30.7 | 284 | 12.5 | 11.5 | 5.0 | 32.071 | 12.22 | 24.27 | 8.088 | 267.0 | 0.40 | 5.19 | 2.55 | 0.42 | 4.44 | 4.0 | 35.034 | 12.81 | 26.68 | | 0.63 | 8.69 | 1.18 | 0.53 | 5.28 | 0.8 | | |
| 91 | 3 | 4 | 1283 | -256 | 38.5 | 283 | 11.0 | 10.0 | 6.0 | 33.288 | 12.23 | 25.22 | 8.057 | 232.9 | 0.42 | 5.92 | 2.86 | 0.52 | 4.61 | 1.3 | 35.200 | 13.02 | 26.78 | | 0.63 | 8.69 | 1.18 | 0.53 | 5.28 | 0.8 | | |
| 91 | 3 | 7 | 3555 | -328 | 55.4 | 314 | 10.0 | 9.0 | 8.0 | 32.722 | 12.01 | 24.92 | 8.032 | 257.5 | 0.40 | 5.71 | 2.18 | 0.47 | 4.49 | 3.2 | 34.821 | 12.73 | 26.31 | | 0.63 | 8.69 | 1.18 | 0.53 | 5.28 | 0.8 | | |
| 91 | 3 | 11 | 1484 | -1313 | 53.6 | 295 | 15.5 | 14.5 | 8.0 | 30.458 | 12.44 | 22.88 | 8.085 | 274.0 | 0.27 | 6.91 | 1.18 | 0.18 | 11.83 | 1.5 | 35.210 | 12.77 | 26.80 | | 0.63 | 8.69 | 1.18 | 0.53 | 5.28 | 0.8 | | |
| 91 | 3 | 14 | -182 | -539 | 47.8 | 381 | 13.5 | 14.5 | 8.0 | 28.302 | 12.25 | 21.35 | 8.092 | 275.1 | 0.29 | 8.48 | 2.87 | 0.42 | 13.29 | 0.8 | 35.208 | 12.76 | 26.80 | | 0.63 | 8.69 | 1.18 | 0.53 | 5.28 | 0.8 | | |
| 91 | 3 | 21 | 620 | -1577 | 29.2 | 343 | 10.3 | 10.2 | 5.0 | 28.498 | 13.57 | 21.25 | 8.182 | 283.3 | 0.27 | 5.55 | 0.58 | 0.23 | 8.28 | 8.0 | 35.520 | 13.02 | 26.78 | | 0.63 | 8.69 | 1.18 | 0.53 | 5.28 | 0.8 | | |
| 91 | 3 | 27 | 671 | 551 | 15.8 | 381 | 14.5 | 13.5 | 7.5 | 34.638 | 12.67 | 26.12 | 8.058 | 250.1 | 0.50 | 3.16 | 1.58 | 0.33 | 4.41 | 2.9 | 35.811 | 12.87 | 27.05 | | 0.63 | 8.69 | 1.18 | 0.53 | 5.28 | 0.8 | | |
| 91 | 4 | 1 | -140 | -108 | 21.9 | 423 | 10.0 | 18.0 | 7.0 | 33.853 | 14.21 | 25.26 | 8.083 | 288.1 | 0.52 | 1.55 | 2.00 | 0.27 | 2.53 | 7.4 | 35.754 | 12.85 | 27.01 | | 0.63 | 8.69 | 1.18 | 0.53 | 5.28 | 0.8 | | |
| 91 | 4 | 8 | -171 | -140 | 11.7 | 504 | 16.0 | 18.0 | 7.0 | 34.401 | 13.30 | 25.87 | 8.087 | 280.8 | 0.17 | 0.61 | 1.28 | 0.49 | 1.31 | 7.2 | 35.731 | 12.71 | 27.02 | | 0.63 | 8.69 | 1.18 | 0.53 | 5.28 | 0.8 | | |
| 91 | 4 | 15 | 2070 | 1390 | 11.8 | 486 | 16.5 | 14.5 | 7.0 | 35.318 | 13.34 | 26.57 | 8.133 | 257.9 | 0.22 | 1.16 | 1.26 | 0.28 | 1.33 | 2.4 | 35.715 | 12.54 | 27.12 | | 0.63 | 8.69 | 1.18 | 0.53 | 5.28 | 0.8 | | |
| 91 | 4 | 18 | 387 | 997 | 9.8 | 518 | 13.5 | 12.0 | 7.0 | 35.468 | 12.64 | 26.84 | 8.088 | 251.9 | 0.31 | 3.63 | 1.34 | 0.42 | 1.78 | 5.4 | 35.714 | 12.32 | 27.08 | | 0.63 | 8.69 | 1.18 | 0.53 | 5.28 | 0.8 | | |
| 91 | 4 | 22 | 830 | 1170 | 5.6 | 585 | 12.5 | 10.5 | 8.0 | 35.468 | 12.64 | 26.84 | 8.088 | 251.9 | 0.31 | 3.63 | 1.34 | 0.42 | 1.78 | 5.4 | 35.714 | 12.32 | 27.08 | | 0.63 | 8.69 | 1.18 | 0.53 | 5.28 | 0.8 | | |
| 91 | 4 | 26 | 432 | -878 | 7.1 | 383 | 16.5 | 16.0 | 4.0 | 35.881 | 13.44 | 26.89 | 8.228 | 323.7 | 0.08 | 0.02 | 0.84 | 0.23 | 0.88 | 16.7 | 35.708 | 12.45 | 27.05 | | 0.63 | 8.69 | 1.18 | 0.53 | 5.28 | 0.8 | | |
| 91 | 4 | 29 | 95 | -328 | 12.5 | 399 | 22.5 | 26.5 | 7.0 | 34.895 | 13.68 | 26.17 | 8.181 | 295.8 | 0.13 | 0.08 | 1.46 | 0.34 | 1.77 | 6.3 | 35.698 | 12.53 | 27.03 | | 0.63 | 8.69 | 1.18 | 0.53 | 5.28 | 0.8 | | |
| 91 | 5 | 2 | 1178 | 287 | 9.2 | 417 | 12.3 | 10.5 | 6.0 | 35.147 | 13.16 | 26.48 | 8.126 | 281.9 | 0.09 | 0.14 | 0.88 | 0.26 | 1.32 | 4.5 | 35.708 | 12.56 | 27.03 | | 0.63 | 8.69 | 1.18 | 0.53 | 5.28 | 0.8 | | |
| 91 | 5 | 6 | 1048 | 168 | 5.8 | 483 | 15.5 | 16.5 | 4.5 | 35.430 | 12.68 | 26.78 | 8.068 | 258.5 | 0.20 | 1.14 | 1.37 | 0.29 | 1.65 | 8.6 | 35.677 | 12.26 | 27.08 | | 0.63 | 8.69 | 1.18 | 0.53 | 5.28 | 0.8 | | |
| 91 | 5 | 9 | 595 | -4 | 4.5 | 522 | | | 4.5 | 35.379 | 12.67 | 26.69 | | | 0.36 | 0.00 | 0.78 | 0.10 | 1.49 | 15.2 | 35.657 | 11.94 | 27.11 | | 0.63 | 8.69 | 1.18 | 0.53 | 5.28 | 0.8 | | |
| 91 | 5 | 13 | 1180 | 828 | 3.9 | 678 | | | 3.5 | 35.479 | 13.78 | 26.80 | | | 0.11 | 0.01 | 0.58 | 0.17 | 1.44 | 15.7 | 35.648 | 11.98 | 27.10 | | 0.63 | 8.69 | 1.18 | 0.53 | 5.28 | 0.8 | | |
| 91 | 5 | 16 | 1107 | 1098 | 3.8 | 698 | | | 5.0 | 35.509 | 13.53 | 26.68 | | | 0.07 | 0.03 | 0.53 | 0.15 | 1.18 | 10.8 | 35.638 | 11.88 | 27.15 | | 0.63 | 8.69 | 1.18 | 0.53 | 5.28 | 0.8 | | |
| 91 | 5 | 23 | 212 | 901 | 3.7 | 718 | 19.5 | 18.0 | 5.0 | 35.464 | 15.38 | 26.25 | 8.305 | 380.3 | 0.11 | 0.94 | 2.41 | 0.15 | 1.58 | 6.1 | 35.625 | 11.78 | 27.12 | | 0.63 | 8.69 | 1.18 | 0.53 | 5.28 | 0.8 | | |
| 91 | 5 | 27 | 585 | 1468 | 3.7 | 723 | 20.0 | 18.5 | 6.0 | 35.427 | 15.27 | 26.24 | 8.279 | 340.2 | 0.17 | 0.30 | 0.58 | 0.12 | 1.05 | 5.8 | 35.628 | 11.70 | 27.09 | | 0.63 | 8.69 | 1.18 | 0.53 | 5.28 | 0.8 | | |
| 91 | 5 | 30 | 87 | 271 | 4.8 | 484 | 18.5 | 18.0 | 7.5 | 35.095 | 18.89 | 25.68 | 8.214 | 288.7 | 0.11 | 0.19 | 1.17 | 0.18 | 2.13 | 1.6 | 35.625 | 12.54 | 26.97 | | 0.63 | 8.69 | 1.18 | 0.53 | 5.28 | 0.8 | | |
| 91 | 6 | 3 | 721 | 284 | 18.3 | 658 | 20.5 | 21.5 | 8.0 | 35.245 | 16.35 | 25.99 | 8.165 | 312.6 | 0.05 | 0.00 | 0.19 | 0.15 | 1.03 | 3.4 | 35.644 | 12.38 | 27.02 | | 0.63 | 8.69 | 1.18 | 0.53 | 5.28 | 0.8 | | |
| 91 | 6 | 6 | -132 | -818 | 14.3 | 472 | 18.0 | 18.5 | 6.0 | 35.388 | 15.13 | 26.23 | 8.151 | 282.3 | 0.14 | 0.01 | 0.29 | 0.17 | 1.99 | 5.0 | 35.658 | 12.41 | 27.02 | | 0.63 | 8.69 | 1.18 | 0.53 | 5.28 | 0.8 | | |
| 91 | 6 | 10 | 47 | -488 | 32.8 | 540 | 16.0 | 15.5 | 6.0 | 34.851 | 15.63 | 25.72 | 8.191 | 284.0 | 0.13 | 0.12 | 0.71 | 0.10 | 3.29 | 2.6 | 35.543 | 13.11 | 26.79 | | 0.63 | 8.69 | 1.18 | 0.53 | 5. | | | |

RÍA DE VIGO

Estación Fija (E3)

| FECHA | | METEOROLOGÍA | | | | | | | | | | SUPERFICIE (1 m.) | | | | | | | | | | FONDO (40 m.) | | | | | | | | | | |
|-------|----|--------------|-------|-------|-----|-----|----------------|-------|------|--------|----------------|-------------------|-------------------|-----------------|-----------------|------------------------------|--------------------------------|---------------------|-----------------|-------|--------|----------------|-----------------|-------------------|-----------------|-----------------|------------------------------|--------------------------------|---------------------|-----------------|-------|-----|
| A | M | D | qk | qy | Qr | Ca | Temp. del aire | Secch | S | t | σ _t | pH _N | [O ₂] | NO ₂ | NO ₃ | NH ₄ ⁺ | HPO ₄ ²⁻ | Si(OH) ₄ | Cl _a | S | t | σ _t | pH _N | [O ₂] | NO ₂ | NO ₃ | NH ₄ ⁺ | HPO ₄ ²⁻ | Si(OH) ₄ | Cl _a | | |
| 91 | 7 | 4 | 902 | -180 | 4 | 2 | 604 | 18.5 | 20.0 | 6.0 | 35.470 | 14.25 | 26.50 | 8.101 | 275.0 | 0.28 | 1.85 | 1.00 | 0.19 | 1.53 | 5.0 | 35.902 | 11.93 | 27.07 | 8.005 | 230.4 | 0.28 | 9.85 | 1.21 | 0.70 | 5.65 | 2.3 |
| 91 | 7 | 8 | -878 | -1384 | 36 | 2 | 421 | 18.5 | 18.0 | 6.5 | 34.656 | 14.88 | 25.89 | 8.189 | 300.3 | 0.13 | 0.31 | 1.17 | 0.28 | 1.25 | 8 | 35.437 | 13.89 | 28.55 | 8.001 | 220.0 | 0.26 | 7.00 | 4.01 | 0.78 | 4.41 | 6.2 |
| 91 | 7 | 11 | 233 | 65 | 44 | 607 | 20.0 | 19.5 | 6.0 | 34.661 | 17.18 | 25.37 | 8.244 | 302.9 | 0.27 | 0.22 | 1.08 | 0.19 | 3.61 | 4.7 | 35.570 | 12.82 | 28.81 | 8.001 | 189.6 | 0.34 | 7.00 | 3.93 | 0.92 | 4.77 | 8.2 | |
| 91 | 7 | 15 | 512 | 285 | 16 | 8 | 737 | 24.0 | 24.0 | 5.5 | 34.668 | 17.15 | 25.47 | 8.184 | 285.3 | 0.21 | 0.12 | 1.30 | 0.37 | 1.41 | 5.5 | 35.589 | 12.02 | 27.03 | 8.053 | 214.8 | 0.50 | 8.30 | 2.88 | 0.88 | 4.41 | 5.8 |
| 91 | 7 | 18 | 387 | 175 | 9 | 1 | 748 | 23.5 | 25.0 | 6.0 | 35.122 | 17.27 | 25.54 | 8.189 | 298.1 | 0.13 | 0.09 | 0.07 | 0.27 | 1.35 | 4.8 | 35.595 | 12.13 | 27.03 | 8.037 | 225.1 | 0.50 | 8.63 | 1.75 | 0.65 | 8.53 | 2.5 |
| 91 | 7 | 22 | 864 | 401 | 5 | 4 | 840 | 19.5 | 15.5 | 6.0 | 35.368 | 17.77 | 25.61 | 8.205 | 284.7 | 0.12 | 0.17 | 0.10 | 0.18 | 2.15 | 1.8 | 35.610 | 12.35 | 27.00 | 8.050 | 182.5 | 0.47 | 8.27 | 3.78 | 1.02 | 6.89 | 2.9 |
| 91 | 7 | 28 | 751 | 390 | 4 | 2 | 892 | 23.2 | 23.4 | 6.5 | 35.345 | 16.49 | 25.90 | 8.129 | 257.7 | 0.14 | 0.53 | 0.00 | 0.28 | 3.43 | 2.2 | 35.599 | 12.63 | 28.93 | 8.019 | 186.1 | 0.51 | 8.13 | 3.00 | 0.84 | 6.01 | 0.8 |
| 91 | 8 | 1 | -123 | -639 | 19 | 5 | 401 | 18.0 | 17.5 | 6.5 | 35.489 | 16.71 | 25.66 | 8.195 | 275.7 | 0.16 | 0.46 | 0.22 | 0.32 | 2.12 | 4.2 | 35.593 | 13.17 | 28.81 | 8.088 | 231.6 | 0.41 | 3.78 | 3.37 | 0.42 | 4.34 | 3.7 |
| 91 | 8 | 8 | 208 | 152 | 16 | 7 | 660 | 21.0 | 21.0 | 4.5 | 34.984 | 19.54 | 24.88 | 8.203 | 297.8 | 0.07 | 0.00 | 0.11 | 0.22 | 2.24 | 4.8 | 35.674 | 12.80 | 28.88 | 8.017 | 190.9 | 0.87 | 8.43 | 2.71 | 0.90 | 5.97 | 1.2 |
| 91 | 8 | 8 | 349 | 224 | 11 | 1 | 588 | 20.5 | 19.5 | 6.5 | 34.856 | 18.38 | 24.97 | 8.102 | 236.2 | 0.18 | 0.09 | 0.50 | 0.46 | 4.62 | 5.3 | 35.614 | 12.83 | 28.88 | 8.004 | 190.3 | 1.18 | 9.18 | 2.87 | 0.81 | 6.54 | 1.0 |
| 91 | 8 | 12 | 659 | 886 | 6 | 1 | 669 | 20.0 | 20.0 | 4.0 | 35.589 | 15.85 | 28.27 | 8.148 | 284.5 | 0.05 | 0.00 | 0.04 | 0.11 | 1.43 | 17.0 | 35.781 | 12.82 | 27.08 | 7.997 | 179.2 | 1.39 | 8.71 | 1.17 | 0.90 | 7.16 | 2.2 |
| 91 | 8 | 19 | 1120 | 1356 | 4 | 0 | 624 | 21.0 | 20.5 | 6.5 | 35.692 | 16.62 | 28.08 | 8.157 | 280.3 | 0.08 | 0.00 | 0.10 | 0.16 | 1.28 | 4.8 | 35.789 | 12.81 | 27.08 | 7.993 | 144.2 | 1.59 | 10.17 | 2.15 | 1.12 | 6.81 | 3.5 |
| 91 | 8 | 22 | 147 | -857 | 4 | 0 | 487 | 18.0 | 17.5 | 6.5 | 35.645 | 16.28 | 28.10 | 8.203 | 282.1 | 0.04 | 0.02 | 0.04 | 0.12 | 1.08 | 2.5 | 35.740 | 13.49 | 28.87 | 7.982 | 173.1 | 1.08 | 5.23 | 3.23 | 0.89 | 8.73 | 4.2 |
| 91 | 8 | 27 | 8 | 488 | 14 | 3 | 510 | 21.5 | 22.0 | 7.5 | 35.460 | 18.12 | 25.61 | 8.162 | 276.3 | 0.08 | 0.13 | 0.08 | 0.14 | 1.58 | 2.2 | 35.738 | 14.18 | 28.72 | 8.012 | 182.4 | 0.58 | 2.95 | 5.21 | 0.88 | 7.54 | 1.3 |
| 91 | 8 | 29 | 221 | 189 | 20 | 5 | 458 | 23.0 | 22.5 | 7.5 | 35.109 | 18.64 | 25.12 | 8.211 | 277.3 | 0.15 | 0.38 | 0.01 | 0.14 | 2.55 | 3.4 | 35.742 | 14.11 | 28.74 | 7.989 | 168.9 | 0.55 | 3.30 | 5.60 | 0.84 | 8.44 | 0.8 |
| 91 | 9 | 3 | 220 | -38 | 18 | 1 | 409 | 19.5 | 19.0 | 5.5 | 34.950 | 18.97 | 24.89 | 8.220 | 287.5 | 0.13 | 0.11 | 0.33 | 0.20 | 2.65 | 5.7 | 35.693 | 14.43 | 28.83 | 8.005 | 158.8 | 0.45 | 3.01 | 6.71 | 1.05 | 11.90 | 0.4 |
| 91 | 9 | 5 | 87 | 41 | 14 | 0 | 483 | 18.5 | 18.5 | 5.5 | 35.125 | 20.13 | 24.82 | 8.200 | 289.0 | 0.11 | 0.27 | 2.83 | 0.54 | 2.80 | 5.5 | 35.758 | 14.14 | 28.74 | 7.993 | 144.3 | 0.49 | 5.40 | 7.88 | 1.18 | 9.84 | 0.3 |
| 91 | 9 | 9 | -236 | 10 | 7 | 2 | 441 | 18.0 | 15.0 | 35.104 | 21.03 | 24.57 | 8.324 | 320.7 | 0.10 | 0.00 | 0.13 | 0.17 | 1.20 | 12.0 | 35.748 | 14.05 | 28.75 | 7.999 | 106.8 | 0.54 | 6.47 | 8.40 | 1.21 | 10.87 | 0.3 | |
| 91 | 9 | 13 | -248 | -281 | 29 | 2 | 428 | 17.8 | 18.5 | 34.783 | 20.39 | 24.50 | 8.243 | 241.0 | 0.17 | 0.71 | 1.08 | 0.47 | 4.84 | 5.7 | 35.569 | 16.29 | 28.12 | 8.030 | 147.8 | 0.39 | 3.67 | 6.13 | 0.94 | 9.59 | 0.3 | |
| 91 | 9 | 16 | 48 | 35 | 24 | 8 | 528 | 18.5 | 18.0 | 34.765 | 20.73 | 24.38 | 8.303 | 308.0 | 0.07 | 0.20 | 0.29 | 0.22 | 1.22 | 13.7 | 35.736 | 14.85 | 28.67 | 7.993 | 109.0 | 0.58 | 7.43 | 1.44 | 0.40 | 12.33 | 0.3 | |
| 91 | 9 | 19 | 382 | 256 | 12 | 5 | 484 | 18.0 | 18.0 | 34.888 | 20.40 | 24.57 | 8.285 | 340.5 | 0.31 | 1.04 | 0.13 | 0.18 | 4.19 | 11.7 | 35.778 | 14.35 | 28.71 | 7.917 | 110.2 | 1.13 | 11.75 | 2.80 | 1.23 | 13.89 | 7.817 | |
| 91 | 9 | 24 | 167 | -93 | 5 | 9 | 439 | 18.0 | 15.0 | 35.061 | 18.22 | 25.01 | 8.114 | 240.4 | 0.18 | 0.01 | 0.21 | 0.22 | 7.12 | 9.4 | 35.771 | 14.71 | 28.63 | 7.856 | 80.5 | 0.42 | 9.67 | 0.18 | 0.38 | 15.95 | 7.858 | |
| 91 | 9 | 28 | 589 | -906 | 67 | 3 | 385 | 17.8 | 18.5 | 35.170 | 18.44 | 25.28 | 8.214 | 291.3 | 0.08 | 0.01 | 0.06 | 0.24 | 1.67 | 17.5 | 35.779 | 14.74 | 28.63 | 7.851 | 82.1 | 0.37 | 14.41 | 1.13 | 1.22 | 18.44 | 0.1 | |
| 91 | 10 | 3 | 315 | 238 | 36 | 8 | 427 | 19.8 | 20.2 | 5.5 | 34.448 | 18.57 | 25.18 | 7.983 | 204.0 | 0.78 | 3.68 | 4.38 | 1.13 | 8.60 | 4.8 | 35.803 | 15.03 | 28.58 | 7.971 | 92.2 | 0.78 | 15.33 | 8.28 | 1.28 | 13.83 | 0.9 |
| 91 | 10 | 7 | 343 | 728 | 14 | 2 | 399 | 17.8 | 18.5 | 5.5 | 35.520 | 14.67 | 28.45 | 7.952 | 184.7 | 0.82 | 11.88 | 4.87 | 1.38 | 10.39 | 5.7 | 35.887 | 14.28 | 28.83 | 8.002 | 117.7 | 2.14 | 13.18 | 0.62 | 1.06 | 10.57 | 0.3 |
| 91 | 10 | 10 | 319 | 453 | 24 | 0 | 313 | 16.4 | 15.3 | 6.0 | 35.574 | 14.47 | 28.53 | 8.081 | 217.5 | 0.44 | 7.80 | 1.75 | 1.31 | 7.11 | 18.7 | 35.848 | 13.97 | 28.87 | 7.939 | 148.7 | 0.45 | 14.26 | 1.68 | 1.16 | 11.39 | 1.3 |
| 91 | 10 | 14 | 1384 | -391 | 467 | 280 | 14.1 | 13.4 | 3.5 | 34.824 | 14.04 | 26.04 | 8.088 | 236.8 | 0.47 | 9.35 | 3.43 | 1.03 | 6.49 | 1.5 | 35.663 | 14.48 | 28.80 | 7.939 | 145.6 | 0.48 | 9.20 | 5.52 | 1.23 | 11.11 | 1.1 | |
| 91 | 10 | 17 | 587 | 945 | 45 | 5 | 283 | 16.2 | 15.8 | 6.0 | 33.812 | 14.75 | 24.98 | 8.030 | 149.1 | 0.51 | 5.78 | 4.47 | 1.25 | 6.40 | 10.8 | 35.714 | 14.07 | 28.72 | 7.970 | 148.6 | 0.53 | 10.11 | 4.41 | 1.23 | 11.11 | 1.1 |
| 91 | 10 | 21 | 315 | 758 | 18 | 0 | 358 | 14.5 | 13.4 | 9.0 | 35.264 | 13.65 | 26.47 | 8.004 | 189.2 | 0.60 | 8.32 | 8.88 | 1.49 | 8.30 | 2.7 | 35.839 | 13.70 | 28.90 | 8.042 | 185.5 | 0.38 | 10.77 | 1.68 | 0.80 | 8.05 | 0.3 |
| 91 | 10 | 24 | 309 | 1227 | 9 | 351 | 13.4 | 13.5 | 6.5 | 35.622 | 13.48 | 26.78 | 8.029 | 185.9 | 0.52 | 10.39 | 2.57 | 1.08 | 8.30 | 2.6 | 35.846 | 13.13 | 27.02 | 8.038 | 202.1 | 0.35 | 12.19 | 1.12 | 1.04 | 8.56 | 0.4 | |
| 91 | 10 | 28 | -229 | -465 | 12 | 8 | 275 | 13.3 | 14.4 | 7.0 | 35.558 | 13.87 | 26.88 | 8.028 | 193.3 | 0.51 | 8.88 | 3.39 | 1.11 | 7.43 | 3.5 | 35.822 | 13.21 | 28.89 | 8.032 | 189.0 | 0.55 | 12.38 | 3.11 | 1.08 | 9.04 | 1.6 |
| 91 | 10 | 31 | -1600 | -1601 | 19 | 1 | 263 | 16.4 | 15.3 | 9.0 | 35.101 | 14.43 | 26.17 | 8.166 | 282.7 | 0.32 | 4.44 | 2.27 | 0.71 | 4.01 | 5.0 | 35.533 | 13.50 | 28.70 | 8.008 | 171.4 | 0.80 | 10.24 | 5.10 | 1.32 | 10.28 | 2.8 |
| 91 | 11 | 4 | -15 | -908 | 57 | 3 | 255 | 13.5 | 12.5 | 13.0 | 34.295 | 14.28 | 25.58 | 8.079 | 243.7 | 0.48 | 6.53 | 7.17 | 1.04 | 7.04 | 0.8 | 35.217 | 14.37 | 28.28 | 8.108 | 228.1 | 0.38 | 5.39 | 5.34 | 0.92 | 6.77 | 0.9 |
| 91 | 11 | 7 | 302 | -2 | 48 | 7 | 285 | 14.3 | 12.5 | 9.5 | 35.549 | 10.19 | 27.95 | 8.088 | 229.2 | 0.42 | 5.38 | 7.28 | 0.82 | 7.08 | 0.2 | 35.708 | 14.38 | 28.85 | 8.141 | 232.2 | 0.50 | 4.68 | 2.69 | 0.53 | 4.41 | 0.3 |
| 91 | 11 | 14 | -338 | -2288 | 36 | 2 | 242 | 14.5 | 13.5 | 8.0 | 35.054 | 13.88 | 26.29 | 8.094 | 242.8 | 0.62 | 5.84 | 6.81 | 1.38 | 7.20 | 3.8 | 35.618 | 13.82 | 28.84 | 8.089 | 195.1 | 0.55 | 8.40 | 1.80 | 0.55 | 6.40 | 0.3 |
| 91 | 11 | 18 | 95 | -1044 | 70 | 0 | 241 | 15.5 | 15.0 | 4.5 | 34.928 | 13.91 | 26.15 | 8.116 | 237.5 | 0.60 | 8.90 | 4.58 | 0.95 | 7.84 | 1.1 | 35.525 | 14.20 | 28.55 | 8.078 | 227.8 | 0.87 | 6.28 | 4.88 | 0.88 | 9.13 | 0.8 |
| 91 | 11 | 21 | 1262 | -163 | 58 | 3 | 243 | 12.0 | 11.0 | 8.0 | 32.428 | 12.71 | 24.48 | 8.085 | 250.0 | 0.80 | 11.24 | 2.85 | 0.83 | 11.57 | 0.1 | 35.455 | 13.38 | 28.87 | 8.085 | 189.0 | 0.31 | 8.11 | 0.60 | 0.65 | 5.90 | 0.2 |
| 91 | 11 | 25 | -1824 | -989 | 25 | 1 | 239 | 13.0 | 12.0 | 7.0 | 34.721 | 11.82 | 29.39 | 8.038 | 234.1 | 0.81 | 7.92 | 7.27 | 1.04 | 12.24 | 0.1 | 35.624 | 13.87 | 28.85 | 8.088 | 221.6 | 0.37 | 9.80 | 0.32 | 0.80 | 6.81 | 0.2 |
| 91 | 11 | 28 | -281 | 10 | 52 | 5 | 242 | 12.2 | 10.3 | 8.0 | 34.209 | 13.14 | 25.75 | 8.081 | 245.2 | 0.54 | 8.87 | 2.35 | 0.87 | 8.21 | 0.1 | 35.448 | 13.81 | 28.87 | 8.085 | 189.0 | 0.31 | 8.11 | 0.60 | 0.65 | 5.90 | 0.2 |
| 91 | 12 | 2 | 653 | 252 | 29 | 6 | 234 | 12.0 | 11.0 | 8.0 | 32.428 | 12.71 | 24.48 | 8.085 | 250.0 | 0.80 | 11.24 | 2.85 | 0.83 | 11.57 | 0.1 | 35.455 | 13.38 | 28.87 | 8.085 | 189.0 | 0.31 | 8.11 | 0.60 | 0.65 | 5.90 | 0.2 |
| 91 | 12 | 5 | -614 | 1199 | 18 | 6 | | | | | | | | | | | | | | | | | | | | | | | | | | |

RÍA DE VIGO

Estación Fija (E3)

| FECHA | | METEOROLOGÍA | | | | | | | | | | HIDROGRAFÍA | | | | | | | | | | FONDO (40 m) | | | | | | | | | |
|-------|---|--------------|-------|--------|------|-----|----------------|------|-----|--------|----------------|-----------------|-------------------|-----------------|-----------------|------------------------------|--------------------------------|---------------------|-----------------|--------|--------|----------------|-----------------|-------------------|-----------------|-----------------|------------------------------|--------------------------------|---------------------|-----------------|-----|
| A | M | D | dx | dy | Dz | Os | temp. del aire | | S | t | σ _t | pH _s | [O ₂] | NO ₃ | NO ₂ | NH ₄ ⁺ | HPO ₄ ³⁻ | Si(OH) ₄ | Cl _a | S | t | σ _t | pH _s | [O ₂] | NO ₃ | NO ₂ | NH ₄ ⁺ | HPO ₄ ³⁻ | Si(OH) ₄ | Cl _a | |
| | | seco | | húmedo | | | | | | | | | | | | | | | | | | | | | | | | | | | |
| 92 | 1 | 9 | -681 | -1065 | 22.4 | 224 | 11.2 | 9.7 | 80 | 35.281 | 11.19 | 28.66 | 8.177 | 271.0 | 0.30 | 2.90 | 3.05 | 0.68 | 2.63 | 0.4 | 35.354 | 12.49 | 28.77 | 8.128 | 248.6 | 0.48 | 5.72 | 4.13 | 1.05 | 5.34 | 0.8 |
| 92 | 1 | 13 | -33 | 433 | 33.6 | 232 | 10.5 | 9.6 | 170 | 36.154 | | 8.146 | 280.4 | 0.22 | 3.16 | 3.14 | 0.62 | 3.30 | 0.1 | 35.448 | 12.92 | 28.78 | 8.166 | 270.5 | 0.36 | 3.04 | 3.93 | 0.55 | 3.77 | 0.2 | |
| 92 | 1 | 16 | -252 | 761 | 16.8 | 237 | 10.6 | 8.8 | 140 | 35.252 | | 8.161 | 251.4 | 0.28 | 3.44 | 4.35 | 0.80 | 3.79 | 0.1 | 35.602 | 13.28 | 28.81 | 8.174 | 233.9 | 0.36 | 2.85 | 2.82 | 0.49 | 4.08 | 0.2 | |
| 92 | 1 | 20 | 79 | 329 | 7.6 | 244 | 8.1 | 7.8 | 90 | 35.070 | | 8.159 | 248.4 | 0.32 | 3.59 | 4.19 | 0.78 | 4.82 | 0.1 | 35.516 | 13.01 | 28.79 | 8.164 | 239.0 | 0.30 | 2.87 | 2.53 | 0.58 | 4.13 | 0.2 | |
| 92 | 1 | 23 | 137 | 433 | 5.4 | 251 | 6.8 | 5.9 | 85 | 35.284 | | 8.154 | 255.6 | 0.33 | 3.49 | 3.60 | 0.68 | 4.52 | 0.1 | 35.291 | 12.10 | 28.80 | 8.154 | 262.8 | 0.52 | 3.38 | 4.89 | 0.73 | 4.17 | 0.1 | |
| 92 | 1 | 28 | 475 | 1123 | 4.1 | 260 | 8.1 | 6.8 | 105 | 34.805 | 11.24 | 28.66 | 8.135 | 280.6 | 0.48 | 3.93 | 4.75 | 0.79 | 5.81 | 0.1 | 35.508 | 12.45 | 28.80 | 8.172 | 258.8 | 0.40 | 3.28 | 1.47 | 0.40 | 3.98 | 0.2 |
| 92 | 1 | 30 | -401 | 808 | 3.9 | 268 | 14.6 | 10.4 | 110 | 35.407 | 12.13 | 28.66 | 8.153 | 270.7 | 0.44 | 3.45 | 2.40 | 0.57 | 4.05 | 0.1 | 35.578 | 12.51 | 28.84 | 8.185 | 253.3 | 0.42 | 3.27 | 1.81 | 0.50 | 3.97 | 0.1 |
| 92 | 2 | 3 | 27 | 515 | 3.7 | 261 | 11.7 | 9.6 | 120 | 35.481 | 12.23 | 28.80 | 8.149 | 248.9 | 0.81 | 3.58 | 2.82 | 0.76 | 4.29 | 0.1 | 35.659 | 12.74 | 28.86 | 8.147 | 254.0 | 0.59 | 3.60 | 0.78 | 0.41 | 3.89 | 0.2 |
| 92 | 2 | 6 | 232 | 830 | 3.7 | 260 | 11.8 | 10.5 | 115 | 35.422 | 12.23 | 28.80 | 8.129 | 234.1 | 0.85 | 3.82 | 2.82 | 0.68 | 4.50 | 0.1 | 35.651 | 12.58 | 28.89 | 8.157 | 272.1 | 0.83 | 3.24 | 1.38 | 0.42 | 3.57 | 0.2 |
| 92 | 2 | 10 | -900 | -991 | 5.5 | 272 | 13.0 | 11.5 | 120 | 35.240 | 12.42 | 28.70 | 8.147 | 282.3 | 0.44 | 3.85 | 3.81 | 0.84 | 4.35 | 0.2 | 35.382 | 12.64 | 28.78 | 8.161 | 260.7 | 0.43 | 3.66 | 2.08 | 0.05 | 3.84 | 0.2 |
| 92 | 2 | 13 | -514 | -1197 | 22.3 | 258 | 12.0 | 11.2 | 140 | 34.743 | 12.38 | 28.32 | 8.142 | 256.1 | 0.48 | 4.39 | 4.47 | 0.68 | 5.13 | 0.1 | 35.294 | 12.84 | 28.85 | 8.163 | 258.8 | 0.42 | 4.35 | 2.14 | 0.85 | 4.80 | 0.2 |
| 92 | 2 | 17 | 353 | 1211 | 27.0 | 304 | 11.2 | 9.8 | 100 | 35.235 | 12.43 | 28.69 | 8.154 | 280.2 | 0.48 | 4.28 | 2.17 | 0.68 | 5.13 | 0.1 | 35.588 | 13.48 | 28.75 | 8.201 | 248.8 | 0.50 | 3.51 | 1.39 | 0.88 | 3.85 | 0.2 |
| 92 | 2 | 20 | 1207 | 1438 | 13.5 | 328 | 11.4 | 9.8 | 115 | 35.320 | 12.48 | 28.75 | 8.180 | 238.8 | 0.46 | 3.88 | 1.82 | 0.64 | 3.30 | 0.4 | 35.848 | 13.38 | 28.88 | 8.197 | 254.8 | 0.50 | 3.89 | 0.92 | 0.50 | 3.87 | 0.3 |
| 92 | 2 | 24 | -121 | 340 | 6.8 | 338 | 10.2 | 9.5 | 125 | 35.359 | 12.71 | 28.73 | 8.215 | 304.2 | 0.58 | 3.00 | 1.26 | 0.64 | 2.98 | 0.4 | 35.820 | 13.48 | 28.83 | 8.203 | 278.9 | 0.50 | 3.60 | 1.58 | 0.47 | 4.09 | 0.5 |
| 92 | 2 | 27 | -1127 | -985 | 5.0 | 310 | 14.7 | 14.2 | 125 | 35.209 | 12.70 | 28.61 | 8.237 | 306.1 | 0.23 | 1.48 | 0.79 | 0.59 | 1.74 | 1.2 | 35.705 | 13.18 | 28.95 | 8.184 | 239.3 | 0.49 | 3.60 | 1.58 | 0.47 | 4.09 | 0.5 |
| 92 | 3 | 2 | -182 | -980 | 4.6 | 353 | 12.8 | 12.0 | 110 | 35.272 | 13.21 | 28.58 | 8.214 | 293.2 | 0.35 | 0.71 | 0.64 | 0.90 | 1.19 | 1.1 | 35.602 | 13.22 | 28.87 | 8.148 | 268.2 | 0.50 | 3.28 | 1.95 | 0.59 | 4.47 | 0.8 |
| 92 | 3 | 5 | -18 | -20 | 4.8 | 358 | 13.1 | 12.5 | 125 | 35.272 | 13.21 | 28.58 | 8.214 | 293.2 | 0.35 | 0.71 | 0.64 | 0.90 | 1.19 | 1.1 | 35.790 | 13.26 | 28.95 | 8.145 | 247.5 | 0.35 | 3.07 | 1.22 | 0.42 | 2.90 | 0.5 |
| 92 | 3 | 9 | 128 | 100 | 5.0 | 370 | 12.9 | 11.8 | 65 | 35.453 | 13.39 | 28.67 | 8.198 | 278.8 | 0.15 | 0.88 | 0.51 | 0.65 | 1.9 | 1.9 | 35.693 | 13.51 | 27.92 | 8.141 | 255.3 | 0.38 | 4.43 | 0.47 | 0.53 | 3.88 | 1.0 |
| 92 | 3 | 12 | 394 | 292 | 4.5 | 425 | 11.5 | 10.6 | 65 | 35.453 | 13.39 | 28.67 | 8.198 | 278.8 | 0.15 | 0.88 | 0.51 | 0.65 | 1.9 | 1.9 | 35.922 | 13.30 | 27.95 | 8.121 | 258.3 | 0.57 | 4.98 | 0.85 | 0.35 | 4.45 | 1.8 |
| 92 | 3 | 16 | 1138 | 443 | 3.9 | 444 | 13.0 | 11.5 | 70 | 35.731 | 13.52 | 28.85 | 8.172 | 316.5 | 0.28 | 1.08 | 0.82 | 0.58 | 1.33 | 1.8 | 35.641 | 12.86 | 27.95 | 8.142 | 233.4 | 0.32 | 5.41 | 0.88 | 0.74 | 2.82 | 3.0 |
| 92 | 3 | 20 | -16 | -5 | 3.8 | 438 | 15.7 | 15.4 | 80 | 35.753 | 13.86 | 28.80 | 8.230 | 291.1 | 0.18 | 0.53 | 0.69 | 0.58 | 0.88 | 1.8 | 35.891 | 12.81 | 27.08 | 8.121 | 235.4 | 0.27 | 6.78 | 1.71 | 0.75 | 2.89 | 0.8 |
| 92 | 3 | 23 | 886 | 325 | 3.7 | 413 | 14.9 | 13.8 | 80 | 35.750 | 13.86 | 28.80 | 8.178 | 283.8 | 0.08 | 1.03 | 0.71 | 0.52 | 0.84 | 1.2 | 35.880 | 12.76 | 27.10 | 8.115 | 220.8 | 0.24 | 6.75 | 2.01 | 1.08 | 3.18 | 1.0 |
| 92 | 3 | 26 | 2157 | -205 | 8.3 | 348 | 13.5 | 12.0 | 75 | 35.728 | 13.13 | 28.83 | 8.182 | 255.6 | 0.18 | 2.08 | 1.05 | 0.72 | 1.01 | 1.7 | 35.880 | 12.52 | 27.02 | 8.161 | 271.4 | 0.13 | 2.59 | 2.68 | 0.71 | 1.48 | 1.8 |
| 92 | 4 | 6 | 501 | -368 | 53.8 | 400 | 10.0 | 9.5 | 105 | 34.570 | 12.20 | 28.22 | 8.140 | 288.6 | 0.01 | 0.31 | 0.18 | 0.37 | 0.28 | 0.6 | 35.880 | 12.52 | 27.02 | 8.161 | 271.4 | 0.13 | 2.59 | 2.68 | 0.71 | 1.48 | 1.8 |
| 92 | 4 | 9 | 407 | -519 | 36.7 | 412 | 11.6 | 11.0 | 110 | 34.674 | 12.44 | 28.25 | 8.197 | 308.5 | 0.29 | 3.90 | 2.80 | 0.89 | 2.82 | 0.5 | 35.748 | 12.28 | 27.12 | 8.137 | 225.9 | 0.37 | 6.04 | 1.60 | 0.78 | 1.71 | 2.4 |
| 92 | 4 | 21 | 38 | 68 | 7.7 | 625 | 14.8 | 13.2 | 70 | 35.352 | 13.98 | 28.47 | 8.303 | 322.7 | 0.00 | 0.31 | 0.18 | 0.37 | 0.28 | 0.2 | 35.756 | 12.17 | 27.14 | 8.121 | 213.9 | 0.32 | 6.54 | 1.11 | 0.88 | 0.97 | 3.3 |
| 92 | 4 | 23 | -245 | -548 | 5.9 | 485 | 15.5 | 14.2 | 50 | 35.353 | 14.39 | 28.38 | 8.342 | 333.9 | 0.07 | 0.26 | 0.81 | 0.73 | 0.28 | 2.2 | 35.710 | 12.58 | 27.03 | 8.106 | 212.7 | 0.27 | 4.50 | 3.40 | 0.95 | 1.43 | 2.8 |
| 92 | 4 | 27 | -306 | -682 | 4.4 | 433 | 18.7 | 15.6 | 100 | 35.045 | 14.67 | 28.08 | 8.282 | 315.9 | 0.08 | 0.56 | 2.41 | 0.53 | 1.75 | 0.6 | 35.740 | 12.52 | 27.06 | 8.150 | 282.9 | 0.31 | 4.97 | 2.15 | 0.83 | 2.87 | 1.1 |
| 92 | 4 | 30 | 482 | 77 | 4.9 | 565 | 15.6 | 14.6 | 115 | 35.103 | 14.31 | 28.20 | 8.255 | 326.2 | 0.01 | 0.44 | 0.88 | 0.37 | 1.25 | 0.3 | 35.758 | 12.30 | 27.12 | 8.121 | 225.2 | 0.31 | 6.85 | 2.02 | 0.83 | 3.91 | 0.4 |
| 92 | 5 | 4 | 1356 | 895 | 4.4 | 578 | 12.6 | 11.3 | 115 | 35.689 | 12.79 | 28.95 | 8.139 | 280.8 | 0.21 | 4.28 | 1.93 | 0.58 | 2.65 | 0.5 | 35.747 | 12.24 | 27.12 | 8.139 | 240.9 | 0.23 | 7.38 | 0.77 | 0.70 | 3.74 | 0.7 |
| 92 | 5 | 7 | 1162 | 1484 | 4.0 | 882 | 15.9 | 15.0 | 70 | 35.673 | 13.16 | 28.88 | 8.149 | 251.8 | 0.33 | 4.81 | 2.08 | 0.79 | 2.88 | 1.0 | 35.723 | 12.08 | 27.13 | 8.131 | 232.0 | 0.24 | 8.71 | 1.01 | 0.86 | 3.03 | 2.2 |
| 92 | 5 | 11 | 84 | -292 | 3.8 | 562 | 18.4 | 16.5 | 45 | 35.516 | 14.68 | 28.38 | 8.287 | 331.4 | 0.02 | 0.38 | 0.44 | 0.77 | 0.74 | 2.1 | 35.714 | 12.18 | 27.11 | 8.131 | 232.4 | 0.27 | 7.53 | 1.59 | 0.83 | 1.88 | 1.9 |
| 92 | 5 | 14 | -319 | -197 | 4.2 | 580 | 13.4 | 12.6 | 50 | 35.382 | 16.67 | 25.69 | 8.251 | 348.0 | 0.01 | 0.38 | 0.28 | 0.48 | 0.42 | 0.2 | 35.724 | 12.40 | 27.07 | 8.151 | 302.2 | 0.29 | 5.64 | 2.43 | 0.83 | 1.81 | 2.7 |
| 92 | 5 | 21 | 11 | 308 | 5.8 | 589 | 21.0 | 21.0 | 75 | 35.395 | 16.61 | 25.61 | 8.251 | 328.5 | 0.04 | 0.33 | 0.24 | 0.84 | 0.32 | 1.8 | 35.702 | 12.29 | 27.08 | 8.114 | 219.4 | 0.18 | 6.27 | 2.11 | 0.89 | 1.18 | 1.0 |
| 92 | 5 | 25 | -1160 | -1081 | 18.2 | 457 | 17.0 | 15.5 | 115 | 35.485 | 15.89 | 28.18 | 8.253 | 285.1 | 0.01 | 0.37 | 1.13 | 0.43 | 1.03 | 0.3 | 36.638 | 13.71 | 27.52 | 8.120 | 188.8 | 0.24 | 2.35 | 9.24 | 1.38 | 6.70 | 1.0 |
| 92 | 5 | 29 | -533 | -908 | 28.4 | 423 | 16.5 | 14.9 | 70 | 34.862 | 16.88 | 25.48 | 8.244 | 258.6 | 0.15 | 1.25 | 0.58 | 0.45 | 1.37 | 1.1 | 35.320 | 15.72 | 28.06 | 8.200 | 208.2 | 0.17 | 0.88 | 7.25 | 0.87 | 5.08 | 0.6 |
| 92 | 6 | 4 | -48 | -357 | 30.5 | 443 | 18.6 | 16.5 | 50 | 34.523 | 17.52 | 25.03 | 8.237 | 275.6 | 0.09 | 0.29 | 0.29 | 0.29 | 0.27 | 0.2 | 35.616 | 15.47 | 28.34 | 8.189 | 231.3 | 0.18 | 1.63 | 4.05 | 0.58 | 4.45 | 0.3 |
| 92 | 6 | 8 | 283 | -287 | 42.0 | 452 | 18.5 | 16.7 | 35 | 34.728 | 16.82 | 25.35 | 8.242 | 287.3 | 0.07 | 0.28 | 0.47 | 1.02 | 2.06 | 1.3 | 35.727 | 13.44 | 28.87 | 8.148 | 261.8 | 0.27 | 3.59 | 4.87 | 0.88 | 3.98 | 0.6 |
| 92 | 6 | 11 | -81 | -468 | 33.2 | 478 | 14.8 | 14.4 | 40 | 34.388 | 17.37 | 24.88 | 8.283 | 321.0 | 0.01 | 0.38 | 0.17 | 0.70 | 0.43 | 6.4 | 35.709 | 13.32 | 28.88 | 8.104 | 205.4 | 0.37 | 3.62 | 5.80 | 0.92 | 6.04 | 0.7 |
| 92 | 6 | 15 | 1560 | 1403 | 25.4 | 618 | 20.5 | 21.0 | 75 | 36.871 | 16.77 | 25.47 | 8.172 | 245.3 | 0.32 | 0.71 | 0.44 | 0.55 | 3.74 | 5.8 | 35.485 | 13.05 | 28.81 | 8.084 | 210.5 | 0.84 | 8.04 | 1.04 | 0.88 | 6.25 | 0.8 |
| 92 | 6 | 22 | 1657 | 1072 | 6.5 | 637 | 17.2 | 16.4 | 50 | 35.638 | 14.02 | 28.68 | 8.138 | 237.1 | 1.13 | 4.23 | 0.10 | 0.85 | 3.18 | 6.8 | 35.740 | 12.81 | 27.01 | 8.087 | 184.7 | 1.07 | 10. | | | | |

RÍA DE VIGO

Estación Fija (E3)

| FECHA | | METEOROLOGÍA | | | | HIDROGRAFÍA | | | | FONDO (40 m.) | | | | | | | | | | | | | | | | | | | | | |
|-------|----|--------------|----------|-------|------|----------------|--------|------|------|----------------|-----------------|-------------------|-----------------|-----------------|------------------------------|--------------------------------|------------------|------|-------|------|----------------|-----------------|-------------------|-----------------|-----------------|------------------------------|--------------------------------|------------------|------|-------|-----|
| A | M | D | Tem. aq. | Or | Qa | Temp. del aire | Secchi | S | t | σ _t | pH _s | [O ₂] | NO ₂ | NO ₃ | NH ₄ ⁺ | HPO ₄ ²⁻ | SiO ₄ | Cl-a | S | t | σ _t | pH _s | [O ₂] | NO ₂ | NO ₃ | NH ₄ ⁺ | HPO ₄ ²⁻ | SiO ₄ | Cl-a | | |
| 92 | 7 | 20 | 263 | -128 | 3.7 | 475 | 16.0 | 18.6 | 5.0 | 35.511 | 19.33 | 25.33 | 0.298 | 287.0 | 0.19 | 0.00 | 0.20 | 0.39 | 0.81 | 3.3 | 35.762 | 12.67 | 27.08 | 8.030 | 212.3 | 0.77 | 9.64 | 1.62 | 1.01 | 7.60 | 1.1 |
| 92 | 7 | 23 | 382 | 104 | 5.7 | 652 | 18.4 | 18.2 | 3.5 | 35.532 | 19.08 | 25.41 | 0.281 | 310.5 | 0.28 | 0.00 | 0.30 | 0.89 | 1.03 | 7.8 | 35.747 | 12.67 | 27.08 | 7.957 | 141.6 | 1.11 | 9.47 | 3.78 | 1.17 | 11.03 | 0.7 |
| 92 | 7 | 27 | 526 | 333 | 4.3 | 688 | 21.5 | 21.0 | 5.0 | 35.512 | 19.13 | 25.38 | 0.284 | 310.0 | 0.11 | 0.00 | 0.20 | 0.42 | 0.44 | 4.8 | 35.728 | 12.55 | 27.05 | 7.989 | 140.0 | 0.80 | 9.74 | 5.05 | 1.28 | 11.52 | 0.8 |
| 92 | 7 | 30 | 319 | 161 | 3.9 | 678 | 23.0 | 22.8 | 6.5 | 35.587 | 19.77 | 25.28 | 0.312 | 311.6 | 0.10 | 0.00 | 0.28 | 0.43 | 0.54 | 2.9 | 35.724 | 12.53 | 27.05 | 8.013 | 163.5 | 0.71 | 8.68 | 3.54 | 1.05 | 9.53 | 1.2 |
| 92 | 8 | 3 | 433 | 221 | 4.0 | 645 | 20.6 | 21.5 | 3.5 | 35.551 | 19.75 | 25.25 | 0.278 | 314.3 | 0.09 | 0.00 | 0.26 | 0.48 | 0.42 | 8.7 | 35.711 | 13.09 | 26.83 | 8.038 | 164.8 | 0.64 | 8.50 | 3.39 | 0.94 | 8.44 | 0.8 |
| 92 | 8 | 10 | 1249 | 815 | 3.8 | 694 | 22.5 | 20.4 | 3.5 | 35.489 | 18.39 | 25.56 | 0.252 | 309.4 | 0.14 | 0.00 | 0.60 | 0.46 | 0.84 | 9.3 | 35.707 | 12.58 | 27.02 | 8.027 | 182.8 | 0.87 | 8.34 | 3.25 | 0.98 | 8.68 | 0.6 |
| 92 | 8 | 16 | 541 | -875 | 8.5 | 433 | 22.0 | 21.4 | 7.0 | 35.639 | 17.49 | 25.99 | 0.275 | 296.2 | 0.12 | 0.00 | 0.34 | 0.31 | 1.89 | 2.1 | 35.717 | 12.67 | 27.02 | 8.053 | 177.1 | 1.07 | 9.29 | 3.34 | 1.01 | 8.83 | 0.5 |
| 92 | 8 | 20 | 66 | -74 | 4.8 | 450 | 20.6 | 18.8 | 5.5 | 35.587 | 19.48 | 25.80 | 0.218 | 305.2 | 0.08 | 0.04 | 0.92 | 0.40 | 0.54 | 4.1 | 35.785 | 12.91 | 27.00 | 8.059 | 198.9 | 0.98 | 9.75 | 2.52 | 0.64 | 8.14 | 0.9 |
| 92 | 8 | 24 | -381 | -459 | 10.3 | 531 | 20.0 | 27.0 | 7.5 | 35.444 | 18.75 | 25.43 | 0.183 | 286.4 | 0.23 | 0.00 | 0.80 | 0.85 | 1.08 | 1.7 | 35.743 | 13.38 | 26.89 | 8.017 | 172.9 | 1.25 | 9.66 | 3.88 | 1.03 | 10.31 | 1.1 |
| 92 | 8 | 27 | -787 | -1480 | 8.8 | 444 | 21.5 | 21.0 | 7.5 | 35.515 | 18.30 | 25.59 | 0.153 | 264.1 | 0.22 | 0.25 | 2.69 | 0.88 | 1.53 | 2.8 | 35.753 | 13.90 | 26.81 | 8.045 | 184.1 | 0.84 | 8.16 | 5.16 | 0.98 | 8.74 | 0.8 |
| 92 | 8 | 31 | -342 | -1882 | 48.4 | 387 | 18.0 | 16.5 | 4.5 | 34.854 | 17.14 | 25.37 | 0.112 | 229.3 | 0.38 | 2.40 | 5.97 | 0.78 | 4.34 | 2.2 | 35.644 | 14.31 | 26.21 | 8.159 | 227.6 | 0.48 | 1.78 | 4.05 | 0.81 | 5.41 | 0.8 |
| 92 | 9 | 3 | -593 | -1052 | 58.9 | 488 | 21.3 | 19.8 | 7.0 | 34.951 | 18.10 | 25.21 | 0.082 | 219.5 | 0.45 | 1.85 | 5.25 | 0.91 | 8.12 | 2.2 | 35.745 | 14.31 | 26.70 | 8.087 | 192.1 | 0.75 | 8.30 | 5.99 | 0.98 | 8.10 | 0.2 |
| 92 | 9 | 7 | 140 | -66 | 23.3 | 552 | 22.3 | 20.1 | 3.0 | 34.882 | 19.73 | 24.74 | 0.292 | 342.9 | 0.28 | 0.00 | 0.60 | 0.48 | 0.78 | 12.8 | 35.812 | 13.53 | 26.91 | 8.107 | 191.9 | 1.17 | 7.85 | 2.84 | 0.87 | 8.78 | 0.5 |
| 92 | 9 | 10 | -480 | -829 | 13.7 | 468 | 17.2 | 18.5 | 4.0 | 35.295 | 17.18 | 25.70 | 0.148 | 249.3 | 0.31 | 0.36 | 0.98 | 0.51 | 3.28 | 20.8 | 35.825 | 13.14 | 27.00 | 8.073 | 182.5 | 0.82 | 9.87 | 1.19 | 0.83 | 7.70 | 0.5 |
| 92 | 9 | 14 | 107 | 66 | 7.6 | 517 | 18.5 | 18.5 | 4.5 | 35.437 | 17.23 | 25.80 | 0.248 | 303.5 | 0.25 | 0.00 | 0.41 | 0.44 | 0.82 | 7.8 | 35.804 | 13.20 | 26.98 | 8.019 | 168.8 | 0.99 | 10.03 | 1.40 | 0.98 | 9.31 | 1.5 |
| 92 | 9 | 17 | -31 | -381 | 5.3 | 447 | 19.5 | 19.5 | 11.5 | 35.595 | 16.77 | 26.00 | 0.137 | 253.4 | 0.35 | 0.35 | 0.58 | 0.52 | 1.82 | 2.7 | 35.805 | 13.34 | 26.95 | 8.008 | 187.8 | 0.85 | 9.81 | 3.04 | 1.02 | 9.74 | 1.1 |
| 92 | 9 | 21 | 81 | -883 | 5.7 | 443 | 18.0 | 15.0 | 9.5 | 35.536 | 16.61 | 26.02 | 0.174 | 245.2 | 0.54 | 4.08 | 5.61 | 1.03 | 8.86 | 1.2 | 35.927 | 14.28 | 26.81 | 8.065 | 190.0 | 0.49 | 4.84 | 5.14 | 0.66 | 7.19 | 1.0 |
| 92 | 9 | 25 | 263 | -330 | 13.8 | 394 | 17.5 | 15.8 | 8.0 | 34.604 | 16.27 | 25.38 | 0.088 | 245.9 | 0.50 | 1.86 | 2.59 | 0.85 | 4.28 | 3.1 | 35.801 | 13.42 | 26.83 | 7.981 | 163.8 | 0.65 | 8.99 | 4.09 | 1.12 | 9.48 | 0.8 |
| 92 | 9 | 28 | 98 | 146 | 8.2 | 347 | 19.5 | 19.3 | 9.5 | 34.684 | 15.58 | 25.78 | 0.057 | 223.1 | 0.87 | 3.48 | 3.66 | 1.12 | 4.78 | 4.1 | 35.753 | 14.08 | 26.75 | 8.055 | 190.1 | 0.63 | 5.85 | 4.51 | 1.12 | 6.74 | 1.2 |
| 92 | 10 | 2 | 70 | 10 | 41.0 | 375 | 19.2 | 17.8 | 9.0 | 33.950 | 16.09 | 24.82 | 0.092 | 214.2 | 0.54 | 4.08 | 5.61 | 1.03 | 8.86 | 1.2 | 35.927 | 14.28 | 26.81 | 8.065 | 190.0 | 0.49 | 4.84 | 5.14 | 0.66 | 7.19 | 1.0 |
| 92 | 10 | 5 | 981 | 74 | 20.9 | 354 | 17.5 | 17.5 | 9.5 | 34.439 | 15.32 | 25.47 | 0.095 | 220.0 | 0.45 | 3.20 | 4.62 | 1.02 | 7.21 | 2.1 | 35.777 | 13.51 | 26.88 | 8.072 | 152.9 | 0.41 | 9.75 | 3.97 | 1.00 | 7.19 | 0.8 |
| 92 | 10 | 8 | 1388 | 763 | 11.0 | 387 | 16.8 | 18.0 | 8.5 | 35.383 | 14.23 | 26.43 | 0.039 | 206.8 | 0.86 | 6.12 | 4.80 | 1.02 | 7.21 | 2.1 | 35.981 | 13.23 | 27.03 | 7.959 | 150.8 | 0.49 | 11.39 | 3.98 | 1.13 | 9.27 | 0.3 |
| 92 | 10 | 13 | 239 | 154 | 5.4 | 388 | 15.4 | 14.0 | 7.0 | 35.829 | 13.78 | 26.73 | 0.025 | 223.5 | 0.82 | 8.67 | 2.47 | 0.95 | 7.68 | 4.7 | 35.786 | 12.84 | 27.08 | 8.058 | 255.9 | 0.45 | 10.27 | 0.98 | 0.78 | 6.33 | 0.9 |
| 92 | 10 | 19 | 169 | 17 | 5.4 | 338 | 18.0 | 15.5 | 6.0 | 35.438 | 13.13 | 26.71 | 0.078 | 257.5 | 0.55 | 5.61 | 0.53 | 0.88 | 3.97 | 15.1 | 35.953 | 12.77 | 26.95 | 8.030 | 188.0 | 0.64 | 10.87 | 1.19 | 0.86 | 7.47 | 2.0 |
| 92 | 10 | 22 | 718 | -392 | 6.5 | 297 | 13.5 | 12.5 | 4.5 | 35.401 | 13.19 | 26.67 | 0.188 | 308.2 | 0.20 | 0.70 | 1.02 | 0.35 | 0.83 | 20.0 | 35.785 | 12.79 | 27.05 | 8.042 | 178.2 | 0.79 | 10.27 | 2.37 | 1.10 | 9.01 | 1.9 |
| 92 | 10 | 26 | -354 | -1658 | 38.4 | 260 | 16.0 | 15.0 | 7.0 | 35.243 | 13.74 | 26.43 | 0.163 | 273.0 | 0.40 | 2.11 | 1.85 | 0.68 | 1.23 | 9.2 | 35.751 | 13.14 | 26.85 | 8.076 | 187.0 | 0.58 | 7.90 | 3.49 | 0.85 | 6.68 | 1.7 |
| 92 | 10 | 29 | -100 | -1419 | 58.5 | 257 | 16.8 | 15.5 | 7.0 | 35.167 | 14.15 | 26.28 | 0.178 | 262.5 | 0.41 | 1.98 | 2.38 | 0.50 | 1.09 | 5.7 | 35.420 | 13.68 | 26.56 | 8.130 | 218.5 | 0.53 | 4.14 | 5.10 | 0.88 | 4.64 | 3.9 |
| 92 | 11 | 2 | -82 | -583 | 45.2 | 279 | 14.5 | 12.5 | 8.0 | 34.678 | 14.08 | 25.62 | 0.159 | 261.0 | 0.22 | 2.28 | 4.30 | 0.77 | 1.79 | 4.7 | 35.806 | 13.18 | 26.88 | 8.068 | 196.4 | 0.43 | 8.11 | 2.01 | 0.78 | 5.94 | 0.4 |
| 92 | 11 | 5 | -238 | -34 | 34.7 | 275 | 17.0 | 15.5 | 7.0 | 33.714 | 14.48 | 25.09 | 0.229 | 285.1 | 0.25 | 1.53 | 1.88 | 0.43 | 0.88 | 8.2 | 35.775 | 13.26 | 26.84 | 8.138 | 180.2 | 0.59 | 7.26 | 3.87 | 0.88 | 6.28 | 0.8 |
| 92 | 11 | 9 | 56 | -284 | 16.9 | 275 | 14.0 | 13.2 | 16.0 | 33.499 | 14.12 | 25.00 | 0.103 | 228.7 | 0.41 | 3.39 | 7.84 | 1.03 | 5.92 | 0.5 | 35.839 | 13.16 | 27.01 | 8.064 | 190.1 | 0.59 | 8.87 | 2.84 | 0.95 | 10.11 | 0.3 |
| 92 | 11 | 12 | -206 | -788 | 15.4 | 252 | 13.8 | 11.7 | 12.0 | 34.256 | 14.17 | 25.58 | 0.093 | 263.4 | 0.29 | 3.27 | 4.89 | 0.84 | 4.82 | 1.4 | 35.688 | 13.74 | 26.67 | 8.058 | 240.0 | 0.37 | 3.71 | 4.87 | 0.87 | 7.69 | 0.8 |
| 92 | 11 | 16 | -56 | -1681 | 33.0 | 239 | 12.5 | 11.1 | 14.0 | 34.018 | 13.88 | 25.50 | 0.142 | 260.5 | 0.49 | 3.40 | 6.29 | 1.30 | 3.93 | 1.1 | 35.315 | 13.75 | 26.48 | 8.135 | 211.4 | 0.37 | 4.20 | 2.22 | 0.68 | 5.62 | 0.5 |
| 92 | 11 | 19 | 86 | -668 | 38.0 | 235 | 15.6 | 14.3 | 15.0 | 31.660 | 14.35 | 23.54 | 0.084 | 338.3 | 0.55 | 5.43 | 7.54 | 1.07 | 11.52 | 0.7 | 35.758 | 13.68 | 26.89 | 8.075 | 188.7 | 0.44 | 4.26 | 1.36 | 0.58 | 3.46 | 0.2 |
| 92 | 11 | 23 | -2064 | -1232 | 17.8 | 243 | 15.0 | 12.5 | 15.0 | 33.762 | 13.84 | 25.29 | 0.068 | 221.4 | 0.58 | 4.78 | 5.77 | 0.84 | 6.33 | 0.3 | 35.683 | 13.64 | 26.79 | 8.072 | 184.4 | 0.69 | 7.53 | 2.22 | 0.72 | 7.87 | 0.2 |
| 92 | 11 | 27 | -1441 | -1904 | 23.3 | 230 | 16.7 | 14.5 | 7.0 | 31.892 | 14.34 | 23.72 | 0.051 | 233.2 | 0.68 | 7.16 | 7.20 | 0.61 | 14.80 | 0.8 | 34.753 | 14.18 | 25.89 | 8.189 | 251.8 | 0.45 | 4.52 | 2.88 | 0.88 | 4.68 | 0.8 |
| 92 | 11 | 30 | -1112 | -1191 | 15.4 | 233 | 18.6 | 14.3 | 6.0 | 34.439 | 14.38 | 25.67 | 0.098 | 192.7 | 0.40 | 4.70 | 2.53 | 0.63 | 5.57 | 0.9 | 35.082 | 14.20 | 26.19 | 8.108 | 225.8 | 0.67 | 4.48 | 2.77 | 0.81 | 6.34 | 0.4 |
| 92 | 12 | 9 | 467 | -608 | 97.4 | 225 | 12.0 | 11.0 | 7.0 | 28.788 | 13.80 | 21.42 | 0.036 | 232.5 | 0.58 | 10.23 | 8.89 | 1.03 | 10.70 | 0.2 | 35.643 | 15.07 | 26.45 | 8.137 | 241.5 | 0.53 | 2.18 | 1.14 | 0.45 | 5.13 | 0.4 |
| 92 | 12 | 14 | -136 | 384 | 28.1 | 224 | 11.6 | 10.0 | 5.5 | 35.200 | 14.51 | 25.24 | 0.108 | 274.5 | 0.78 | 4.03 | 2.02 | 0.64 | 5.95 | 0.3 | 35.878 | 13.63 | 26.84 | 8.067 | 227.1 | 0.47 | 9.28 | 0.33 | 0.70 | 6.94 | 0.2 |
| 92 | 12 | 21 | 653 | 182 | 22.2 | 222 | 13.6 | 11.3 | 8.0 | 34.571 | 12.82 | 26.08 | 0.127 | 242.1 | 0.89 | 6.87 | 0.74 | 0.58 | 7.33 | 0.6 | 34.959 | 13.79 | 26.20 | 8.088 | 207.9 | 0.69 | 6.74 | 8.71 | 0.80 | 10.42 | 0.5 |
| 92 | 12 | 28 | 158 | 606 | 9.3 | 224 | 8.6 | 8.7 | 8.0 | 35.351 | 13.78 | 26.51 | 0.113 | 253.6 | 0.70 | 5.60 | 4.72 | 0.65 | 18.41 | 0.2 | 35.145 | 13.81 | 26.38 | 8.128 | 240.9 | 0.44 | 5.18 | 0.68 | 0.80 | 5.14 | 0.3 |
| 93 | 1 | 4 | -595 | -382 | 4.0 | 223 | 10.7 | 8.9 | 8.0 | 35.430 | 13.35 | 26.06 | 0.069 | 273.3 | 0.42 | 6.32 | 1.55 | 0.65 | 8.71 | 0.4 | | | | | | | | | | | |

RÍA DE VIGO

Estación Fija (E3)

| FECHA | | METEOROLOGÍA | | | | | SUPERFICIE (11 m.) | | | | | FONDO (40 m.) | | | | | | | | | | | | | | | | | | | |
|-------|---|--------------|-------|-------|------|-----|--------------------|--------|--------|--------|----------------|------------------|----------------------------|-----------------|------------------------------|--------------------------------|---------------------|-----------------|-----------------|------------------------------|--------------------------------|---------------------|-----------------|-------|-------|------|------|------|------|-------|-----|
| A | M | D | gk | gy | Or | Os | temp. del aire | Secchi | S | t | σ _t | pH ₁₈ | I _{O₂} | NO ₂ | NH ₄ ⁺ | HPO ₄ ³⁻ | Si(OH) ₄ | Cl ⁻ | NO ₂ | NH ₄ ⁺ | HPO ₄ ³⁻ | Si(OH) ₄ | Cl ⁻ | | | | | | | | |
| 83 | 2 | 11 | -878 | 1692 | 5,6 | 278 | 13,5 | 11,4 | 5,0 | 35,588 | 13,36 | 28,78 | 8,167 | 266,3 | 0,03 | 0,28 | 0,38 | 0,21 | 0,34 | 4,4 | 35,788 | 13,62 | 28,68 | 8,191 | 253,8 | 0,01 | 3,72 | 1,85 | 0,74 | 3,91 | 3,6 |
| 83 | 2 | 15 | -507 | -7 | 5,1 | 289 | 12,3 | 10,8 | 10,0 | 35,132 | 13,28 | 28,44 | 8,289 | 398,2 | 0,03 | 0,28 | 0,38 | 0,21 | 0,34 | 4,4 | 35,785 | 14,00 | 28,78 | 8,173 | 292,7 | 0,01 | 3,72 | 1,85 | 0,74 | 3,91 | 3,6 |
| 83 | 2 | 18 | 555 | 888 | 4,8 | 332 | 12,4 | 10,8 | 7,0 | 35,237 | 13,40 | 28,50 | 8,289 | 307,2 | 0,35 | 0,82 | 0,81 | 0,57 | 0,54 | 5,8 | 35,744 | 13,87 | 28,78 | 8,174 | 224,0 | 0,45 | 2,49 | 2,81 | 0,71 | 3,14 | 2,3 |
| 83 | 2 | 22 | 791 | 1473 | 3,8 | 347 | 18,1 | 11,4 | 6,0 | 35,657 | 13,69 | 28,78 | 8,225 | 242,1 | 0,81 | 2,51 | 0,95 | 0,61 | 2,24 | 3,0 | 35,961 | 14,27 | 28,87 | 8,167 | 210,4 | 0,88 | 5,38 | 0,44 | 0,81 | 4,70 | 0,8 |
| 83 | 2 | 25 | 382 | 1115 | 3,8 | 348 | 10,4 | 7,5 | 6,0 | 35,758 | 13,60 | 28,88 | 8,214 | 245,1 | 0,50 | 2,52 | 1,27 | 0,53 | 2,00 | 3,8 | 35,758 | 13,59 | 28,88 | 8,164 | 242,0 | 0,39 | 2,56 | 0,87 | 0,52 | 1,87 | 4,2 |
| 83 | 3 | 1 | 2330 | 316 | 6,8 | 321 | 6,4 | 4,5 | 8,0 | 35,788 | 13,21 | 28,98 | 8,227 | 258,3 | 0,55 | 1,22 | 0,70 | 0,51 | 1,27 | 4,4 | 35,814 | 13,23 | 28,98 | 8,212 | 259,0 | 0,50 | 1,14 | 1,00 | 0,62 | 1,27 | 3,9 |
| 83 | 3 | 4 | 1078 | 723 | 6,8 | 381 | 10,0 | 7,5 | 8,0 | 35,733 | 12,90 | 28,98 | 8,220 | 287,5 | 0,13 | 0,31 | 0,70 | 0,42 | 0,50 | 12,5 | 35,847 | 13,01 | 27,05 | 8,185 | 275,3 | 0,10 | 0,41 | 0,72 | 0,38 | 0,73 | 6,5 |
| 83 | 3 | 8 | 90 | -138 | 4,7 | 381 | 15,0 | 12,8 | 11,0 | 35,630 | 12,81 | 28,82 | 8,228 | 288,8 | 0,20 | 0,06 | 0,45 | 0,44 | 0,40 | 4,2 | 35,815 | 12,72 | 27,08 | 8,164 | 281,5 | 0,18 | 0,81 | 1,12 | 0,81 | 1,68 | 5,2 |
| 83 | 3 | 11 | -1455 | -135 | 4,2 | 347 | 14,0 | 10,5 | 10,0 | 35,681 | 12,90 | 28,83 | 8,213 | 281,3 | 0,08 | 0,55 | 1,53 | 0,68 | 0,70 | 4,2 | 35,763 | 12,78 | 27,05 | 8,229 | 287,3 | 0,14 | 1,31 | 1,08 | 0,51 | 1,08 | 6,4 |
| 83 | 3 | 15 | -330 | 96 | 15,0 | 392 | 13,5 | 11,8 | 12,0 | 35,231 | 13,28 | 28,52 | 8,222 | 283,3 | 0,08 | 0,23 | 0,78 | 0,38 | 0,43 | 1,3 | 35,584 | 12,90 | 28,67 | 8,155 | 281,6 | 0,08 | 0,38 | 1,18 | 0,53 | 1,49 | 4,0 |
| 83 | 3 | 18 | -87 | 240 | 9,9 | 424 | 16,0 | 12,8 | 10,0 | 35,257 | 13,78 | 28,43 | 8,218 | 285,9 | 0,08 | 0,28 | 0,65 | 0,47 | 0,37 | 2,4 | 35,655 | 13,30 | 28,89 | 8,117 | 241,8 | 0,21 | 0,82 | 1,87 | 0,53 | 3,28 | 2,8 |
| 83 | 3 | 22 | -103 | -242 | 14,4 | 317 | 16,0 | 15,1 | 12,0 | 35,254 | 14,14 | 28,35 | 8,216 | 277,8 | 0,04 | 1,04 | 0,23 | 0,27 | 1,0 | 35,388 | 13,32 | 28,83 | 8,183 | 240,8 | 0,08 | 0,54 | 0,58 | 2,35 | 2,1 | | |
| 83 | 3 | 25 | 583 | 1230 | 21,8 | 422 | 12,5 | 8,0 | 13,0 | 34,892 | 13,85 | 28,14 | 8,157 | 288,1 | 0,40 | 0,38 | 0,51 | 1,72 | 0,8 | 35,802 | 13,44 | 28,92 | 8,102 | 232,8 | 0,38 | 0,78 | 0,52 | 4,03 | 0,7 | | |
| 83 | 3 | 29 | -326 | -522 | 10,1 | 441 | 11,5 | 8,6 | 8,0 | 35,451 | 13,82 | 28,58 | 8,139 | 281,6 | 0,13 | 0,89 | 0,45 | 1,55 | 2,7 | 36,082 | 13,60 | 27,09 | 8,086 | 234,5 | 0,52 | 1,67 | 0,43 | 2,84 | 1,1 | | |
| 83 | 4 | 1 | -29 | -768 | 9,7 | 395 | 11,0 | 8,6 | 8,0 | 35,582 | 14,10 | 28,60 | 8,188 | 279,4 | 0,08 | 1,17 | 0,33 | 0,60 | 1,4 | 35,943 | 13,71 | 28,90 | 8,122 | 235,3 | 0,31 | 1,00 | 0,84 | 4,41 | 4,5 | | |
| 83 | 4 | 7 | -244 | -657 | 21,0 | 429 | 13,8 | 12,5 | 7,0 | 35,338 | 14,40 | 28,38 | 8,161 | 271,7 | 0,11 | 0,75 | 0,38 | 0,63 | 0,8 | 4,4 | 35,709 | 13,88 | 28,77 | 8,117 | 245,7 | 0,14 | 0,37 | 0,40 | 2,47 | 2,8 | |
| 83 | 4 | 14 | 410 | -811 | 43,8 | 374 | 16,3 | 12,4 | 9,0 | 34,494 | 14,42 | 25,71 | 8,214 | 255,6 | 0,04 | 0,15 | 0,23 | 0,17 | 1,07 | 3,2 | 35,602 | 14,03 | 28,85 | 8,201 | 204,5 | 0,16 | 0,71 | 1,57 | 0,29 | 3,54 | 0,8 |
| 83 | 4 | 18 | 545 | 128 | 40,0 | 483 | 17,1 | 12,4 | 11,0 | 34,231 | 14,22 | 25,55 | 8,183 | 255,6 | 0,08 | 0,04 | 0,22 | 0,12 | 2,85 | 2,7 | 35,646 | 13,39 | 28,87 | 8,095 | 204,5 | 0,17 | 4,72 | 0,87 | 0,48 | 13,30 | 0,8 |
| 83 | 4 | 19 | -467 | -145 | 19,7 | 581 | 20,0 | 16,3 | 8,0 | 35,018 | 15,01 | 25,89 | 8,197 | 255,6 | 0,04 | 0,00 | 0,11 | 0,19 | 0,60 | 4,4 | | | | | | | | | | | |
| 83 | 4 | 27 | 1670 | 374 | 54,1 | 390 | 15,9 | 13,5 | 5,0 | 34,088 | 14,74 | 25,33 | 8,188 | 248,4 | 0,60 | 0,78 | 0,25 | 0,31 | 2,08 | 5,7 | 35,798 | 13,41 | 28,93 | 8,137 | 216,2 | 0,43 | 6,28 | 0,70 | 0,83 | 5,48 | 0,8 |
| 83 | 4 | 30 | 850 | 192 | 35,0 | 458 | 16,8 | 13,5 | 4,5 | 34,599 | 15,19 | 25,82 | 8,201 | 297,3 | 0,04 | 0,18 | 0,39 | 0,44 | 0,51 | 6,5 | 35,950 | 13,07 | 27,04 | 8,048 | 212,6 | 0,42 | 7,74 | 0,89 | 0,87 | 5,81 | 0,5 |
| 83 | 5 | 4 | 874 | 1333 | 16,8 | 482 | 20,0 | 16,7 | 6,0 | 34,973 | 14,71 | 26,02 | 8,102 | 238,9 | 0,35 | 1,52 | 0,37 | 0,38 | 3,57 | 3,8 | 35,843 | 12,96 | 27,08 | 8,026 | 203,3 | 0,42 | 8,36 | 0,79 | 0,89 | 6,10 | 0,5 |
| 83 | 5 | 6 | 1048 | 1328 | 19,7 | 505 | 17,5 | 16,5 | 5,0 | 34,970 | 14,83 | 25,87 | 8,012 | 282,8 | 0,22 | 0,47 | 0,51 | 0,29 | 1,61 | 5,7 | 35,958 | 13,05 | 27,05 | 8,008 | 205,4 | 0,46 | 7,23 | 0,87 | 0,41 | 5,80 | 1,8 |
| 83 | 5 | 10 | 828 | 419 | 20,5 | 470 | 18,1 | 14,3 | 5,0 | 34,823 | 16,01 | 25,61 | 8,186 | 311,5 | 0,21 | 0,02 | 0,30 | 0,25 | 0,38 | 1,7 | 35,830 | 13,07 | 27,00 | 7,991 | 207,1 | 0,68 | 7,48 | 0,80 | 0,70 | 5,21 | 4,4 |
| 83 | 5 | 13 | 164 | -215 | 15,8 | 445 | 18,1 | 15,0 | 7,0 | 34,199 | 15,87 | 25,42 | 8,175 | 258,0 | 0,10 | 0,02 | 0,30 | 0,20 | 0,38 | 1,7 | 35,824 | 14,17 | 28,92 | 8,008 | 177,4 | 0,64 | 6,72 | 1,98 | 0,82 | 6,07 | |
| 83 | 5 | 18 | -1863 | -1342 | 32,7 | 404 | 14,5 | 14,5 | 8,0 | 34,199 | 15,87 | 25,42 | 8,175 | 258,0 | 0,10 | 0,02 | 0,30 | 0,20 | 0,38 | 1,7 | 35,824 | 14,17 | 28,92 | 8,008 | 177,4 | 0,64 | 6,72 | 1,98 | 0,82 | 6,07 | |
| 83 | 5 | 20 | 19 | -467 | 49,8 | 510 | 13,2 | 11,0 | 8,0 | 32,485 | 18,11 | 23,78 | 8,183 | 263,8 | 0,07 | 0,25 | 0,51 | 0,22 | 1,80 | 3,0 | 35,465 | 15,03 | 28,32 | 8,081 | 214,9 | 0,22 | 1,49 | 3,13 | 0,54 | 4,89 | 0,8 |
| 83 | 5 | 24 | -2419 | -413 | 49,8 | 418 | 16,5 | 13,6 | 7,0 | 32,193 | 16,39 | 23,50 | 8,172 | 278,9 | 0,04 | 0,12 | 0,24 | 0,22 | 0,39 | 4,9 | 35,162 | 15,70 | 25,84 | 8,001 | 201,8 | 0,29 | 0,47 | 3,44 | 0,58 | 5,09 | 1,9 |
| 83 | 5 | 27 | -1158 | 15 | 52,0 | 459 | 13,5 | 13,6 | 9,0 | 32,575 | 17,83 | 23,43 | 8,213 | 265,5 | 0,08 | 0,08 | 0,26 | 0,14 | 0,56 | 2,9 | 35,162 | 15,49 | 25,98 | 8,090 | 216,0 | 0,20 | 0,75 | 4,00 | 0,59 | 8,87 | 1,4 |
| 83 | 5 | 31 | -1123 | -1158 | 54,5 | 527 | 17,5 | 15,5 | 9,0 | 31,514 | 17,21 | 22,78 | 8,143 | 251,9 | 0,10 | 0,18 | 0,48 | 0,27 | 0,90 | 1,5 | 35,370 | 18,00 | 26,03 | 8,048 | 210,8 | 0,25 | 1,03 | 3,73 | 0,54 | 8,88 | 1,1 |
| 83 | 6 | 7 | -816 | -197 | 37,9 | 568 | 17,5 | 15,0 | 6,5 | 29,526 | 17,80 | 21,13 | 8,231 | 270,4 | 0,07 | 0,03 | 0,18 | 0,16 | 1,30 | 5,0 | 35,510 | 15,93 | 28,18 | 8,120 | 228,8 | 0,13 | 0,53 | 2,05 | 0,38 | 4,44 | 1,1 |
| 83 | 6 | 7 | 1189 | 531 | 15,5 | 681 | 25,0 | 20,0 | 6,5 | 31,985 | 19,06 | 22,70 | 8,228 | 284,8 | 0,04 | 0,06 | 0,24 | 0,18 | 0,60 | 3,7 | 35,779 | 15,04 | 28,57 | 8,127 | 207,7 | 0,55 | 2,18 | 2,85 | 0,55 | 5,98 | 1,8 |
| 83 | 6 | 10 | 191 | -415 | 12,4 | 458 | 16,5 | 16,5 | 7,5 | 33,751 | 18,21 | 24,28 | 8,265 | 288,9 | 0,02 | 0,14 | 0,24 | 0,18 | 0,57 | 2,9 | 35,779 | 15,04 | 28,57 | 8,127 | 207,7 | 0,55 | 2,18 | 2,85 | 0,55 | 5,98 | 1,8 |
| 83 | 6 | 14 | 288 | 287 | 24,5 | 740 | 19,0 | 18,5 | 9,5 | 34,480 | 17,51 | 25,00 | 8,169 | 247,8 | 0,08 | 0,31 | 0,69 | 0,39 | 1,82 | 2,0 | 35,851 | 14,34 | 28,77 | 8,054 | 185,0 | 0,60 | 3,77 | 1,72 | 0,84 | 7,03 | 1,3 |
| 83 | 6 | 17 | 872 | 1054 | 12,5 | 775 | 20,8 | 17,5 | 6,5 | 35,100 | 18,03 | 25,34 | 8,171 | 288,8 | 0,03 | 0,15 | 0,18 | 0,29 | 1,92 | 1,7 | 35,897 | 13,51 | 28,89 | 8,025 | 183,6 | 0,40 | 8,00 | 0,87 | 0,78 | 7,78 | 1,0 |
| 83 | 6 | 21 | 270 | 302 | 6,4 | 558 | 22,5 | 19,1 | 5,0 | 35,107 | 18,51 | 24,97 | 8,381 | 344,3 | 0,09 | 0,24 | 0,48 | 0,48 | 1,13 | 18,9 | 35,955 | 13,41 | 28,87 | 8,085 | 183,8 | 0,53 | 8,35 | 0,95 | 0,80 | 7,38 | 0,7 |
| 83 | 6 | 24 | 312 | 294 | 4,8 | 548 | 18,6 | 17,4 | 4,0 | 34,898 | 18,89 | 24,87 | 8,444 | 316,3 | 0,07 | 0,24 | 0,44 | 0,44 | 1,53 | 18,9 | 35,951 | 13,67 | 28,81 | 8,098 | 203,4 | 0,81 | 8,71 | 1,15 | 0,77 | 8,04 | 1,0 |
| 83 | 6 | 28 | -53 | 290 | 20,6 | 530 | 18,4 | 17,5 | 6,0 | 34,752 | 19,58 | 24,68 | 8,315 | 280,9 | 0,11 | 0,48 | 1,07 | 0,35 | 1,97 | 2,1 | 35,768 | 14,14 | 28,77 | 8,135 | 174,8 | 0,88 | 4,88 | 2,28 | 0,89 | 9,79 | 1,3 |
| 83 | 7 | 2 | 1075 | 179 | 24,8 | 540 | 22,5 | 17,8 | 7,0 | 34,812 | 18,78 | 25,42 | 8,138 | 227,4 | 0,21 | 1,02 | 1,20 | 0,49 | 5,03 | 2,5 | 35,900 | 13,99 | 28,85 | 8,050 | 178,6 | 0,64 | 5,89 | 3,64 | 1,03 | 10,89 | 0,8 |
| 83 | 7 | 5 | 1222 | 1157 | 12,7 | 735 | | | 35,383 | 16,88 | 25,84 | 8,119 | 237,3 | 0,31 | 3,12 | 0,77 | 0,50 | 3,80 | 9,9 | 35,867 | 13,73 | 28,81 | 8,050 | 181,0 | 0,49 | 3,83 | 1,28 | 0,78 | 8,45 | 0,5 | |
| 83 | 7 | 9 | 708 | 897 | 6,5 | 759 | | | 35,753 | 17,00 | 28,09 | 8,255 | 303,0 | 0,07 | 2,12 | 0,16 | 0,34 | 1,17 | 8,2 | 12,5 | 35,810 | 12,87 | 27,05 | 8,088 | 200,5 | 0,32 | 3,14 | 0,47 | 0,73 | 5,83 | 0,4 |
| 83 | 7 | 12 | 263 | -158 | 5,0 | 848 | | | 35,572 | 16,84 | 26,04 | 8,264 | 291,2 | 0,08 | 0,08 | 0,28 | | | | | | | | | | | | | | | |

RÍA DE VIGO

Estación Fija (E3)

| FECHA | | METEOROLOGÍA | | | | | | | | | | HIDROGRAFÍA | | | | | | | | | | | | | | | | | | | | |
|-------|----|--------------|------|-------|-------|------|----------------|--------|--------|-------------------|----------------|-----------------|-------------------|------------------------------|------------------------------|--------------------------------|---------------------|-----------------|-------|---------------|----------------|-----------------|-------------------|------------------------------|------------------------------|--------------------------------|---------------------|-----------------|------|-------|-------|-----|
| A | M | D | tx | ty | Or | Os | temp. del aire | | S | t | σ _t | pH _a | [O ₂] | NO ₃ ⁻ | NH ₄ ⁺ | HPO ₄ ²⁻ | Si(OH) ₄ | Cl _a | S | t | σ _t | pH _a | [O ₂] | NO ₃ ⁻ | NH ₄ ⁺ | HPO ₄ ²⁻ | Si(OH) ₄ | Cl _a | | | | |
| | | | | | | seco | | húmedo | | SUPERFICIE (1 m.) | | | | | | | | | | FONDO (40 m.) | | | | | | | | | | | | |
| 93 | 6 | 9 | 353 | 261 | 3.7 | 843 | 19.5 | 15.5 | 0.5 | 35.923 | 15.17 | 26.57 | 8.213 | 285.6 | 0.35 | 1.95 | 1.80 | 0.61 | 1.20 | 6.7 | 35.821 | 12.58 | 27.12 | 8.070 | 220.8 | 0.91 | 9.91 | 2.26 | 1.05 | 8.90 | 1.7 | |
| 93 | 6 | 12 | 879 | 176 | 3.7 | 865 | 16.2 | 16.5 | 6.0 | 35.809 | 10.46 | 26.28 | 8.233 | 309.6 | 0.12 | 0.28 | 1.27 | 0.42 | 0.66 | 8.2 | 35.778 | 12.44 | 27.11 | 8.050 | 185.0 | 0.82 | 10.91 | 1.21 | 0.97 | 6.76 | 2.3 | |
| 93 | 6 | 17 | -911 | 518 | 4.2 | 829 | 18.5 | 16.8 | 5.5 | 35.809 | 17.27 | 26.07 | 8.035 | 308.6 | 0.04 | 0.16 | 0.14 | 0.30 | 0.66 | 8.2 | 35.772 | 12.50 | 27.09 | 8.028 | 167.0 | 0.77 | 10.59 | 1.78 | 1.01 | 6.71 | 2.1 | |
| 93 | 6 | 19 | 885 | 732 | 3.9 | 812 | 22.5 | 24.5 | 4.0 | 35.737 | 17.63 | 25.88 | 8.381 | 329.8 | 0.16 | 0.12 | 0.14 | 0.31 | 0.80 | 7.4 | 35.743 | 13.02 | 26.87 | 8.080 | 188.0 | 0.88 | 7.20 | 2.86 | 1.00 | 5.28 | 6.8 | |
| 93 | 6 | 23 | 309 | 399 | 7.6 | 427 | 20.5 | 16.4 | 6.0 | 35.745 | 18.73 | 26.15 | 8.181 | 281.5 | 0.18 | 0.60 | 1.47 | 0.23 | 1.66 | 1.7 | 35.741 | 13.55 | 26.89 | 7.888 | 205.9 | 0.48 | 4.85 | 3.78 | 0.84 | 6.32 | 1.5 | |
| 93 | 6 | 26 | 1475 | 316 | 7.4 | 454 | 18.0 | 21.5 | 14.5 | 35.504 | 15.93 | 26.15 | 8.064 | 233.4 | 0.21 | 1.73 | 2.72 | 0.81 | 4.38 | 0.6 | 35.801 | 13.24 | 26.88 | 8.001 | 192.0 | 0.71 | 7.49 | 2.38 | 0.77 | 5.34 | 0.2 | |
| 93 | 6 | 30 | 370 | 725 | 5.2 | 814 | 18.0 | 15.5 | 8.5 | 35.681 | 15.11 | 26.47 | 8.125 | 233.2 | 0.53 | 4.80 | 3.00 | 0.79 | 4.94 | 3.1 | 35.809 | 13.04 | 27.01 | 8.065 | 180.0 | 0.78 | 9.04 | 2.40 | 0.90 | 7.45 | 0.3 | |
| 93 | 6 | 2 | 515 | 915 | 4.3 | 583 | 19.0 | 17.0 | 3.0 | 35.677 | 15.88 | 26.30 | 8.215 | 306.8 | 0.09 | 0.32 | 0.18 | 0.33 | 1.13 | 29.7 | 35.785 | 13.03 | 27.00 | 8.015 | 177.2 | 0.65 | 10.59 | 1.29 | 1.02 | 6.23 | 0.7 | |
| 93 | 6 | 6 | -874 | -917 | 3.9 | 378 | 18.0 | 17.0 | 5.5 | 35.688 | 17.39 | 25.85 | 8.213 | 340.0 | 0.03 | 0.28 | 0.18 | 0.18 | 0.40 | 3.8 | 35.808 | 13.15 | 26.99 | 7.883 | 161.6 | 0.87 | 10.59 | 1.83 | 1.07 | 8.45 | 3.8 | |
| 93 | 6 | 9 | -828 | -185 | 5.2 | 355 | 18.0 | 16.8 | 7.0 | 35.190 | 16.04 | 25.88 | 8.170 | 253.7 | 0.33 | 2.13 | 1.47 | 0.37 | 3.76 | 1.9 | 35.518 | 16.08 | 26.12 | 8.145 | 200.0 | 0.30 | 1.51 | 3.69 | 0.75 | 6.13 | 2.8 | |
| 93 | 6 | 14 | 533 | -284 | 5.0 | 335 | 16.5 | 14.5 | 8.0 | 35.000 | 16.95 | 25.53 | 8.149 | 236.4 | 0.14 | 0.89 | 2.44 | 0.56 | 2.93 | 7.7 | 35.458 | 15.58 | 26.20 | 8.088 | 192.2 | 0.44 | 3.05 | 5.74 | 1.03 | 10.54 | 1.0 | |
| 93 | 6 | 17 | 14 | -453 | 38.3 | 370 | 17.0 | 15.6 | 6.0 | 33.788 | 17.30 | 24.52 | 8.038 | 208.7 | 0.30 | 1.25 | 5.87 | 0.88 | 5.88 | 3.6 | 35.422 | 16.31 | 26.00 | 8.104 | 210.8 | 0.17 | 1.31 | 3.34 | 0.49 | 6.07 | 0.7 | |
| 93 | 6 | 18 | -262 | -242 | 26.3 | 395 | 16.9 | 15.7 | 7.0 | 34.561 | 17.70 | 25.01 | 229.2 | 0.27 | 1.44 | 4.28 | 0.88 | 5.95 | 3.1 | 35.563 | 15.77 | 26.25 | 8.107 | 0.37 | 2.85 | 4.33 | 0.72 | 7.50 | 0.5 | | | |
| 93 | 6 | 23 | 303 | -278 | 18.4 | 378 | 15.0 | 13.8 | 5.0 | 34.325 | 17.42 | 24.80 | 229.6 | 0.47 | 1.83 | 2.71 | 0.71 | 4.21 | 8.7 | 35.640 | 15.97 | 26.34 | 173.2 | 0.77 | 4.13 | 5.23 | 0.82 | 10.71 | 0.8 | | | |
| 93 | 6 | 27 | 260 | 0 | 12.7 | 408 | 13.2 | 26.6 | 8.8 | 34.895 | 16.90 | 25.55 | 6.264 | 270.3 | 0.12 | 0.05 | 0.16 | 0.34 | 0.81 | 19.4 | | | | | | | | | | | | |
| 93 | 6 | 29 | 132 | -266 | 8.8 | 405 | 15.0 | 17.5 | 4.5 | 35.120 | 15.53 | 25.95 | 6.358 | 304.9 | 0.11 | 0.00 | 0.00 | 0.14 | 0.51 | 12.7 | | | | | | | | | | | | |
| 93 | 10 | 6 | 95 | -2921 | 66.6 | 287 | 16.0 | 17.5 | 4.5 | 34.716 | 15.88 | 25.65 | 8.102 | 209.3 | 0.50 | 2.09 | 1.99 | 0.39 | 3.99 | 1.9 | | | | | | | | | | | | |
| 93 | 10 | 11 | 1704 | -1123 | 68.7 | 324 | 12.8 | 11.1 | 9.0 | 22.845 | 14.31 | 16.76 | 9.016 | 237.2 | 0.69 | 12.11 | 5.77 | 0.85 | 28.73 | 2.7 | 34.924 | 15.48 | 25.73 | 8.128 | 179.6 | 0.68 | 4.17 | 7.27 | 1.17 | 12.02 | 0.6 | |
| 93 | 10 | 16 | 1484 | 1110 | 74.1 | 300 | 15.0 | 12.5 | 12.0 | 29.168 | 14.32 | 21.62 | 8.072 | 230.2 | 0.54 | 10.09 | 6.77 | 0.81 | 9.97 | 0.4 | 35.288 | 15.14 | 26.17 | 8.120 | 219.1 | 0.24 | 2.82 | 3.44 | 0.57 | 6.20 | 0.3 | |
| 93 | 10 | 21 | 170 | 417 | 37.2 | 355 | 17.5 | 13.0 | 8.0 | 34.807 | 16.07 | 25.82 | 8.137 | 209.0 | 0.35 | 2.97 | 6.47 | 0.78 | 5.89 | 0.5 | 35.816 | 15.35 | 26.37 | 8.171 | 214.8 | 0.28 | 2.42 | 1.81 | 0.42 | 4.30 | 0.4 | |
| 93 | 10 | 25 | 828 | 1097 | 14.3 | 333 | 13.4 | 10.5 | 9.5 | 35.123 | 14.80 | 26.11 | 6.147 | 227.2 | 0.38 | 2.80 | 2.26 | 0.44 | 5.78 | 0.9 | 35.787 | 14.39 | 26.71 | 8.092 | 161.3 | 0.47 | 9.72 | 0.32 | 0.80 | 6.15 | 0.3 | |
| 93 | 10 | 28 | 347 | 785 | 8.1 | 310 | 15.4 | 14.5 | 8.0 | 35.328 | 14.86 | 26.25 | 206.4 | 0.68 | 4.58 | 1.63 | 0.54 | 7.00 | 2.0 | 35.814 | 14.34 | 26.74 | 155.3 | 0.58 | 10.54 | 0.40 | 0.69 | 9.67 | 0.6 | | | |
| 93 | 11 | 2 | 355 | -116 | 6.9 | 270 | 16.2 | 14.0 | 11.6 | 34.153 | 15.33 | 25.81 | 8.312 | 256.8 | 0.12 | 0.57 | 0.89 | 0.13 | 3.29 | 2.2 | 35.385 | 15.12 | 26.24 | 8.231 | 204.7 | 0.70 | 3.57 | 2.64 | 0.62 | 7.21 | 1.8 | |
| 93 | 11 | 5 | -338 | -684 | 6.7 | 266 | 12.4 | 11.5 | 7.5 | 34.441 | 15.32 | 25.47 | 8.305 | 243.3 | 0.35 | 1.44 | 1.17 | 0.22 | 4.44 | 2.1 | 34.823 | 15.20 | 25.87 | 8.181 | 197.6 | 0.63 | 3.30 | 4.31 | 0.72 | 8.78 | 0.4 | |
| 93 | 11 | 8 | 1086 | 30 | 51.0 | 271 | 10.0 | 13.0 | 34.025 | 14.74 | 25.28 | 8.242 | 230.0 | 0.48 | 3.48 | 3.80 | 0.56 | 6.91 | 0.4 | 35.868 | 14.81 | 26.88 | 8.188 | 190.5 | 0.25 | 7.95 | 0.69 | 0.69 | 6.70 | 0.3 | | |
| 93 | 11 | 12 | 75 | -97 | 26.8 | 266 | 12.5 | 9.5 | 10.0 | 33.925 | 14.60 | 25.15 | 8.201 | 238.1 | 0.63 | 4.25 | 2.64 | 0.50 | 8.48 | 0.9 | 35.862 | 14.51 | 26.76 | 8.109 | 168.8 | 0.38 | 9.38 | 1.13 | 0.82 | 6.14 | 0.3 | |
| 93 | 11 | 15 | -116 | -231 | 16.2 | 254 | 14.0 | 12.0 | 10.0 | 34.778 | 14.74 | 25.88 | 8.128 | 213.1 | 0.90 | 5.50 | 0.71 | 0.33 | 8.31 | 0.8 | 35.820 | 14.57 | 26.70 | 8.088 | 176.8 | 0.81 | 9.08 | 0.68 | 0.80 | 9.58 | 0.3 | |
| 93 | 11 | 18 | -256 | -74 | 9.6 | 268 | 15.0 | 12.3 | 7.5 | 34.677 | 14.41 | 26.08 | 8.083 | 208.8 | 0.89 | 6.88 | 0.70 | 0.49 | 6.02 | 1.8 | 35.790 | 14.57 | 26.65 | 8.038 | 175.5 | 0.78 | 9.58 | 0.64 | 0.88 | 10.43 | 0.5 | |
| 93 | 11 | 22 | -387 | 0 | 11.8 | 246 | 11.5 | 9.5 | 11.0 | 34.656 | 14.09 | 26.14 | 8.144 | 234.8 | 0.78 | 3.10 | 0.15 | 0.18 | 8.84 | 1.2 | 35.770 | 14.50 | 26.68 | 8.031 | 151.1 | 0.63 | 10.22 | 0.35 | 0.80 | 13.83 | 0.5 | |
| 93 | 11 | 25 | 193 | 154 | 7.3 | 250 | 11.5 | 11.3 | 11.0 | 34.684 | 13.76 | 25.89 | 8.196 | 242.4 | 0.47 | 3.47 | 0.23 | 0.21 | 8.97 | 1.4 | 35.645 | 14.55 | 26.57 | 8.047 | 149.9 | 0.84 | 10.01 | 1.23 | 1.02 | 15.01 | 0.8 | |
| 93 | 11 | 29 | 1730 | -1100 | 8.4 | 231 | 16.2 | 14.7 | 8.0 | 34.890 | 13.92 | 25.88 | 8.176 | 248.1 | 0.46 | 3.81 | 0.40 | 0.22 | 5.89 | 1.0 | 35.182 | 14.27 | 26.26 | 8.077 | 163.0 | 0.85 | 7.12 | 0.93 | 0.75 | 11.73 | 0.8 | |
| 93 | 12 | 2 | 63 | -810 | 57.3 | 229 | 17.0 | 16.5 | 8.0 | 32.212 | 13.58 | 24.12 | 8.152 | 223.2 | 0.80 | 4.89 | 0.86 | 0.14 | 10.31 | 1.3 | 35.534 | 14.59 | 26.47 | 8.098 | 184.2 | 0.23 | 5.81 | 1.74 | 0.47 | 6.86 | 0.3 | |
| 93 | 12 | 7 | 218 | -580 | 23.1 | 226 | 9.7 | 8.6 | 12.0 | 33.257 | 13.08 | 25.03 | 8.091 | 0.77 | 8.37 | 2.33 | 0.45 | 10.01 | 0.3 | 35.547 | 14.83 | 26.43 | 8.108 | 0.53 | 4.30 | 0.69 | 0.47 | 7.61 | 0.3 | | | |
| 93 | 12 | 10 | -477 | -484 | 33.2 | 223 | 14.5 | 14.0 | 11.5 | 32.544 | 13.33 | 24.43 | 8.091 | 0.73 | 8.11 | 0.54 | 0.28 | 11.06 | 0.9 | 35.722 | 14.82 | 26.55 | 8.135 | 0.85 | 5.28 | 1.42 | 0.68 | 8.48 | 0.4 | | | |
| 93 | 12 | 13 | 295 | -480 | 31.8 | 224 | 11.5 | 11.0 | 12.0 | 33.474 | 13.60 | 25.09 | 8.080 | 228.9 | 0.78 | 6.25 | 0.82 | 0.35 | 11.15 | 0.5 | 35.667 | 14.80 | 26.53 | 8.122 | 198.6 | 0.78 | 6.12 | 0.66 | 0.89 | 10.09 | 0.3 | |
| 93 | 12 | 16 | 253 | -1480 | 25.6 | 222 | 15.3 | 14.5 | 7.5 | 33.785 | 13.80 | 25.33 | 8.122 | 235.1 | 1.02 | 6.25 | 0.85 | 0.44 | 10.55 | 0.5 | 35.729 | 14.80 | 26.58 | 8.137 | 188.3 | 0.58 | 4.79 | 1.21 | 0.63 | 7.02 | 0.3 | |
| 93 | 12 | 20 | 262 | -682 | 31.0 | 222 | 10.5 | 9.4 | 10.5 | 35.421 | 13.55 | 25.06 | 8.095 | 222.8 | 0.74 | 6.78 | 0.51 | 0.33 | 11.7 | 9.58 | 1.2 | 35.287 | 14.50 | 26.30 | 8.088 | 185.7 | 0.74 | 3.09 | 0.35 | 0.28 | 11.40 | 0.3 |
| 93 | 12 | 27 | 645 | -980 | 30.6 | 222 | 13.2 | 12.0 | 13.5 | 29.439 | 12.72 | 22.14 | 8.127 | 248.8 | 0.89 | 12.57 | 7.78 | 1.18 | 11.72 | 0.3 | 35.881 | 14.59 | 26.74 | 8.107 | 184.7 | 0.19 | 6.38 | 0.63 | 0.82 | 5.67 | 0.2 | |
| 93 | 12 | 30 | -849 | -1695 | 46.8 | 222 | 14.0 | 13.5 | 11.5 | 30.585 | 13.39 | 22.84 | 8.097 | 237.5 | 0.93 | 13.38 | 6.64 | 1.06 | 20.20 | 0.6 | 35.925 | 14.50 | 26.79 | 8.098 | 178.4 | 0.88 | 8.21 | 1.19 | 0.88 | 10.70 | 0.4 | |
| 94 | 1 | 7 | -148 | -3017 | 86.4 | 224 | 9.5 | 8.7 | 3.5 | 22.004 | 11.42 | 16.67 | 8.081 | 268.1 | 0.78 | 16.78 | 4.87 | 0.78 | 27.43 | 0.8 | 34.854 | 13.85 | 26.18 | 8.107 | 254.4 | 0.57 | 7.17 | 0.73 | 0.67 | 8.93 | 0.9 | |
| 94 | 1 | 11 | -635 | -2594 | 125.8 | 225 | 10.8 | 10.4 | 2.5 | 11.214 | 11.16 | 6.50 | 7.858 | 322.4 | 0.44 | 22.48 | 3.11 | 0.48 | 31.45 | 0.5 | 35.245 | 13.87 | 26.40 | 8.135 | 226.8 | 0.62 | 7.64 | 0.63 | 0.87 | 8.78 | 0.3 | |
| 94 | 1 | 14 | -754 | -1114 | 96.8 | 226 | 10.2 | 11.0 | 5 | | | | | | | | | | | | | | | | | | | | | | | |

RÍA DE VIGO

Estación Fija (E3)

| FECHA | | METEOROLOGÍA | | | | | | | | | | HIDROGRAFÍA | | | | | | | | | | | | | | | | |
|-------|---|-------------------|-------|-------|------|-----|---------------------|-----------------------|--------|--------|----------------|------------------|-------------------|-----------------|-----------------|------------------------------|--------------------------------|------------------------------------|-----------------|-----------------|-----------------|------------------------------|--------------------------------|------------------------------------|-----------------|-------|-------|-----|
| A | M | D | -sx | qv | Qr | Qs | temp. del aire seco | temp. del aire húmedo | S | t | σ _t | pH _{1h} | [O ₂] | NO ₂ | NO ₃ | NH ₄ ⁺ | HPO ₄ ²⁻ | SiO ₂ (H ₄) | Cl ⁻ | NO ₂ | NO ₃ | NH ₄ ⁺ | HPO ₄ ²⁻ | SiO ₂ (H ₄) | Cl ⁻ | | | |
| | | SUPERFICIE (1 m.) | | | | | | | | | | FONDO (40 m.) | | | | | | | | | | | | | | | | |
| 94 | 2 | 10 | -614 | -572 | 42.4 | 273 | | | 32.663 | 8.122 | 248.3 | 0.38 | 9.19 | 2.88 | 0.86 | 8.54 | 0.5 | 36.183 | 8.128 | 228.5 | 0.31 | 8.09 | 1.09 | 0.86 | 6.11 | 0.8 | | |
| 94 | 2 | 13 | -786 | 509 | 20.0 | 301 | | | 33.425 | | | | | | | | | 35.378 | | | | | | | | | | |
| 94 | 2 | 17 | -1094 | -443 | 28.6 | 281 | | | 32.254 | | | | | | | | | 35.295 | | | | | | | | | | |
| 94 | 2 | 22 | -2108 | -1441 | 33.3 | 282 | | | 32.670 | 12.11 | 24.81 | 0.18 | 5.08 | 0.69 | 0.18 | 10.98 | 0.8 | 36.029 | 12.44 | 26.53 | 0.28 | 4.22 | 1.60 | 0.69 | 5.53 | 1.0 | | |
| 94 | 2 | 25 | -2424 | -2163 | 46.9 | 278 | 15.5 | 13.5 | 30.630 | 11.75 | 23.17 | 0.28 | 8.81 | 2.76 | 0.52 | 11.28 | 0.8 | 34.953 | 12.39 | 28.25 | 0.43 | 6.47 | 3.08 | 0.75 | 10.20 | 1.0 | | |
| 94 | 2 | 28 | -618 | -548 | 38.2 | 279 | 12.5 | 10.5 | 6.0 | 27.518 | 11.74 | 20.83 | 8.142 | 26.9.5 | 0.38 | 11.04 | 3.84 | 34.345 | 12.45 | 25.99 | 0.43 | 7.12 | 2.24 | 0.95 | 9.97 | 0.9 | | |
| 94 | 3 | 3 | -32 | -330 | 26.6 | 298 | 14.0 | 13.1 | 6.0 | 31.308 | 13.36 | 23.47 | 8.164 | 28.6.1 | 0.44 | 10.19 | 2.86 | 35.405 | 12.80 | 28.76 | 0.45 | 4.88 | 1.26 | 0.48 | 5.28 | 0.8 | | |
| 94 | 3 | 7 | 840 | 988 | 18.5 | 357 | 12.0 | 11.0 | 6.0 | 33.978 | 11.69 | 25.86 | 8.160 | 28.6.5 | 0.88 | 8.11 | 2.95 | 35.632 | 12.83 | 28.92 | 0.85 | 4.25 | 1.15 | 0.44 | 4.99 | 0.7 | | |
| 94 | 3 | 9 | 88 | 249 | 12.0 | 402 | | | 34.113 | 13.17 | 25.87 | 8.235 | 27.1.2 | 0.50 | 4.89 | 0.22 | 35.601 | 12.81 | 26.94 | 0.84 | 5.78 | 0.85 | 0.80 | 5.28 | 0.1 | | | |
| 94 | 3 | 11 | 691 | 827 | 8.4 | 367 | | | 35.251 | 12.80 | 26.81 | 8.254 | 280.8 | 0.43 | 2.84 | 0.52 | 35.891 | 12.58 | 27.01 | 0.42 | 11.27 | 0.23 | 0.81 | 4.92 | 4.5 | | | |
| 94 | 3 | 14 | 458 | 340 | 5.6 | 383 | | | 34.776 | 14.11 | 25.99 | 8.327 | 321.4 | 0.03 | 0.25 | 0.05 | 35.646 | 12.68 | 28.96 | 0.48 | 8.01 | 0.53 | 0.81 | 4.22 | 2.5 | | | |
| 94 | 3 | 18 | 635 | 987 | 4.8 | 444 | | | 35.460 | 12.72 | 26.81 | 8.179 | 281.0 | 0.15 | 2.73 | 0.22 | 35.723 | 12.37 | 27.08 | 0.43 | 9.80 | 0.78 | 0.75 | 5.37 | 1.5 | | | |
| 94 | 3 | 22 | 383 | 112 | 4.3 | 394 | | | 35.922 | 12.13 | 27.05 | 8.244 | 283.0 | 0.12 | 1.19 | 0.00 | 35.728 | 12.38 | 27.08 | 0.49 | 10.03 | 0.37 | 0.74 | 3.90 | 4.5 | | | |
| 94 | 3 | 24 | 208 | 170 | 4.6 | 479 | | | 35.408 | 13.66 | 28.25 | 8.227 | 272.8 | 0.25 | 2.78 | 1.12 | 35.714 | 12.51 | 27.05 | 0.40 | 7.09 | 1.90 | 0.73 | 1.23 | 7.2 | | | |
| 94 | 3 | 30 | -745 | -1246 | 4.3 | 407 | 14.0 | 12.8 | 9.5 | 34.998 | 13.66 | 28.25 | 8.227 | 272.8 | 0.25 | 2.78 | 1.12 | 35.898 | 12.60 | 26.99 | 0.37 | 8.92 | 1.85 | 0.71 | 5.87 | 3.2 | | |
| 94 | 4 | 7 | 223 | -1098 | 25.8 | 372 | 14.0 | 13.3 | | | | | | | | | | | | | | | | | | | | |
| 94 | 4 | 11 | 574 | -32 | 22.0 | 441 | 11.7 | 9.7 | 7.5 | 34.478 | 13.60 | 25.83 | 8.251 | 278.0 | 0.13 | 0.06 | 0.04 | 36.705 | 12.50 | 27.04 | 0.44 | 7.30 | 2.12 | 0.81 | 6.34 | 3.4 | | |
| 94 | 4 | 14 | 1071 | 1021 | 18.5 | 567 | 11.5 | 7.8 | 6.5 | 35.460 | 12.72 | 26.81 | 8.179 | 281.0 | 0.15 | 2.73 | 0.22 | 35.997 | 12.09 | 27.11 | 0.11 | 5.26 | 0.58 | 0.50 | 3.83 | 2.3 | | |
| 94 | 4 | 18 | 1653 | 915 | 6.7 | 487 | 13.0 | 8.8 | 6.0 | 35.922 | 12.13 | 27.05 | 8.244 | 283.0 | 0.12 | 1.19 | 0.00 | 8.118 | 12.09 | | 0.22 | 8.57 | 1.00 | 0.86 | 5.54 | 2.5 | | |
| 94 | 4 | 21 | -140 | -39 | 5.4 | 455 | | | 35.408 | 13.66 | 28.25 | 8.227 | 272.8 | 0.25 | 2.78 | 1.12 | 35.649 | | | 0.24 | 9.65 | 1.08 | 0.88 | 5.57 | | | | |
| 94 | 4 | 25 | -803 | -1025 | 41.2 | 421 | 15.4 | 12.8 | 8.0 | 35.081 | 12.87 | 26.52 | 8.261 | 292.5 | 0.16 | 1.81 | 0.48 | 36.363 | 12.60 | 28.78 | 0.07 | 0.22 | 1.00 | 0.30 | 1.09 | 12.4 | | |
| 94 | 4 | 28 | -98 | 86 | 28.5 | 562 | 17.2 | 14.8 | 8.5 | 34.245 | 14.00 | 25.81 | 8.221 | 300.8 | 0.25 | 2.99 | 2.05 | 35.328 | 12.79 | 28.69 | 0.18 | 1.02 | 3.41 | 0.37 | 3.28 | 3.7 | | |
| 94 | 5 | 2 | -8 | 104 | 11.5 | 817 | 15.5 | 14.0 | 5.5 | 34.150 | 15.42 | 25.00 | 8.391 | 348.1 | 0.04 | 0.02 | 0.14 | 35.587 | 12.54 | 28.94 | 0.32 | 4.54 | 3.37 | 0.54 | 5.23 | 0.7 | | |
| 94 | 5 | 5 | 231 | -58 | 7.0 | 572 | | | 34.238 | 15.70 | 25.23 | 8.300 | 333.2 | 0.04 | 0.02 | 0.04 | 35.653 | 12.49 | 28.97 | 0.17 | 0.20 | 0.46 | 0.62 | 0.63 | 1.84 | 0.1 | | |
| 94 | 5 | 9 | -2 | -671 | 9.2 | 424 | 14.1 | 12.8 | 10.0 | 34.911 | 14.80 | 26.89 | 8.286 | 284.2 | 0.08 | 0.21 | 2.05 | 35.531 | 12.69 | 28.87 | 0.35 | 11.76 | 4.31 | 0.62 | 5.71 | 0.7 | | |
| 94 | 5 | 13 | -634 | -871 | 40.4 | 408 | 12.5 | 11.0 | 12.0 | 34.584 | 14.35 | 25.79 | 8.343 | 251.4 | 0.15 | 1.17 | 5.04 | 35.404 | 13.12 | 26.86 | 0.22 | 2.44 | 4.75 | 0.63 | 1.84 | 0.1 | | |
| 94 | 5 | 16 | -691 | -431 | 67.3 | 394 | 13.5 | 11.5 | 9.0 | 34.965 | 14.87 | 25.79 | 8.195 | 248.8 | 0.18 | 2.25 | 4.32 | 35.208 | 13.72 | 28.41 | 0.18 | 1.46 | 4.85 | 0.59 | 7.24 | 2.4 | | |
| 94 | 5 | 20 | -817 | -874 | 89.5 | 380 | 14.5 | 13.8 | 9.0 | 34.008 | 14.32 | 25.35 | 8.203 | 228.0 | 0.38 | 7.53 | 3.35 | 35.109 | 13.96 | 28.27 | 0.23 | 3.68 | 3.67 | 0.43 | 8.89 | 0.8 | | |
| 94 | 5 | 23 | -828 | -234 | 83.4 | 432 | 17.8 | 15.8 | 4.0 | 28.123 | 18.28 | 18.88 | 8.407 | 299.1 | 0.12 | 0.48 | 1.78 | 35.141 | 13.96 | 28.30 | 0.28 | 3.75 | 5.42 | 0.38 | 8.05 | 1.5 | | |
| 94 | 5 | 26 | -254 | -790 | 48.3 | 491 | | | 27.737 | 18.24 | 20.12 | 8.508 | 338.4 | 0.12 | 0.11 | 3.00 | 35.426 | 14.03 | 28.51 | 0.28 | 1.98 | 4.34 | 0.32 | 8.12 | 1.1 | | | |
| 94 | 5 | 30 | 170 | 135 | 21.1 | 557 | 17.6 | 15.8 | 9.0 | 29.788 | 17.20 | 21.48 | 8.394 | 311.1 | 0.10 | 0.10 | 2.43 | 35.396 | 14.07 | 28.48 | 0.28 | 2.38 | 5.77 | 0.43 | 8.20 | 1.9 | | |
| 94 | 6 | 2 | -141 | -335 | 11.2 | 343 | 18.6 | 16.1 | 6.5 | 31.353 | 17.88 | 22.51 | 8.390 | 278.0 | 0.12 | 0.76 | 2.87 | 35.859 | 12.75 | 28.98 | 0.18 | 1.62 | 2.10 | 0.70 | 8.78 | 0.8 | | |
| 94 | 6 | 6 | 844 | 342 | 14.3 | 670 | 21.0 | 18.5 | 8.0 | 32.697 | 16.88 | 23.75 | 8.358 | 283.7 | 0.08 | 0.08 | 1.71 | 35.473 | 14.04 | 28.55 | 0.39 | 3.08 | 6.49 | 0.89 | 11.78 | 1.9 | | |
| 94 | 6 | 9 | 1349 | 1407 | 8.1 | 704 | | | 33.521 | 17.98 | 24.15 | 8.348 | 271.7 | 0.05 | 0.01 | 2.03 | 35.868 | 12.78 | 28.96 | 0.38 | 10.12 | 2.10 | 0.70 | 8.78 | 0.8 | | | |
| 94 | 6 | 13 | 553 | 1221 | 5.1 | 710 | 23.5 | 18.0 | 4.5 | 35.558 | 14.04 | 26.81 | 8.243 | 283.3 | 0.28 | 3.47 | 2.30 | 35.670 | 12.75 | 28.98 | 0.25 | 9.48 | 1.57 | 0.68 | 8.23 | 2.0 | | |
| 94 | 6 | 18 | 458 | 643 | 4.2 | 721 | 19.3 | 17.4 | 6.0 | 35.485 | 14.88 | 25.82 | 8.355 | 304.5 | 0.05 | 0.01 | 1.66 | 35.858 | 12.98 | 28.90 | 0.52 | 8.08 | 2.84 | 0.91 | 5.13 | 12.8 | | |
| 94 | 6 | 20 | 133 | -82 | 7.2 | 545 | 18.0 | 15.5 | 7.0 | 34.433 | 18.31 | 24.78 | 8.368 | 278.1 | 0.18 | 0.85 | 2.55 | 35.809 | 13.48 | 28.77 | 0.39 | 4.81 | 5.57 | 0.63 | 6.50 | 7.3 | | |
| 94 | 6 | 23 | 480 | 302 | 5.9 | 753 | | | 34.898 | 18.36 | 24.70 | 8.356 | 312.8 | 0.08 | 0.04 | 1.82 | 35.599 | 13.42 | 28.77 | 0.43 | 5.23 | 7.56 | 0.91 | 8.52 | 1.7 | | | |
| 94 | 6 | 27 | 173 | -118 | 7.8 | 690 | 18.0 | 17.5 | 6.5 | 34.983 | 18.36 | 24.97 | 8.383 | 297.5 | 0.08 | 0.15 | 1.79 | 35.863 | 12.98 | 28.83 | 0.62 | 10.34 | 2.21 | 0.78 | 12.13 | 0.9 | | |
| 94 | 7 | 4 | -31 | -230 | 4.5 | 553 | 19.0 | 18.0 | 10.5 | 35.033 | 18.48 | 25.18 | 8.355 | 288.9 | 0.05 | 0.23 | 0.17 | 35.883 | 12.86 | 28.83 | 0.74 | 11.04 | 1.51 | 1.03 | 13.28 | 1.5 | | |
| 94 | 7 | 11 | 65 | 48 | 5.0 | 731 | 19.0 | 17.5 | 35.280 | 18.90 | 24.99 | 8.228 | 275.8 | 0.03 | 0.40 | 0.53 | 35.714 | 12.84 | 28.98 | 0.76 | 10.50 | 1.95 | 1.06 | 13.38 | 3.0 | | | |
| 94 | 7 | 14 | 703 | 413 | 4.2 | 658 | 20.0 | 18.0 | 7.5 | 35.204 | 18.18 | 25.13 | 8.402 | 300.7 | 0.05 | 0.07 | 0.20 | 35.705 | 12.82 | 28.96 | 0.14 | 18.78 | 0.70 | 10.73 | 1.70 | 0.87 | 10.58 | 2.8 |
| 94 | 7 | 18 | 618 | 304 | 4.6 | 616 | 18.1 | 16.7 | 6.5 | 35.214 | 18.06 | 25.42 | 8.347 | 278.4 | 0.04 | 0.13 | 0.15 | 35.732 | 12.79 | 27.00 | 0.60 | 17.11 | 0.53 | 9.20 | 2.30 | 13.38 | 3.9 | |
| 94 | 7 | 21 | 1216 | 904 | 4.2 | 699 | 18.5 | 16.5 | 6.0 | 35.357 | 18.05 | 25.38 | 8.223 | 311.1 | 0.04 | 0.12 | 1.06 | 35.405 | 13.48 | 28.77 | 0.39 | 4.81 | 5.57 | 0.63 | 6.50 | 7.3 | | |
| 94 | 7 | 28 | -208 | -178 | 3.9 | 591 | 18.5 | 16.5 | 4.5 | 35.416 | 18.23 | 25.53 | 8.372 | 285.6 | 0.02 | 0.14 | 0.82 | 35.416 | 18.23 | 25.53 | 0.02 | 0.64 | 0.42 | 1.43 | 1.82 | 1.8 | | |
| 94 | 7 | 28 | 483 | 78 | 3.8 | 698 | 18.0 | 17.0 | 8.0 | 35.420 | 18.18 | 25.56 | 8.370 | 286.0 | 0.00 | 0.78 | 0.64 | 35.753 | 12.95 | 28.96 | 0.60 | 14.72 | 0.36 | 7.81 | 3.45 | 1.02 | 11.42 | 1.6 |
| 94 | 8 | 1 | -251 | -650 | 5.4 | 414 | 20.3 | 17.1 | 5.5 | 35.428 | 17.80 | 25.70 | 8.335 | 261.5 | 0.00 | 0.28 | 0.44 | 35.754 | 13.10 | 28.90 | 0.40 | 13.78 | 0.38 | 7.64 | 5.18 | 1.02 | 11.42 | 1.6 |
| 94 | 8 | 4 | -541 | -188 | 6.7 | 548 | | | 35.174 | 18.81 | 26.18 | 8.284 | 278.2 | 0.02 | 0.00 | 0.29 | 35.723 | 13.52 | 28.95 | 0.740 | 13.64 | 0.37 | 8.00 | 8.23 | 1.23 | 11.9 | | |



RÍA DE VIGO

Estación Fija (E3)

| FECHA | | METEOROLOGÍA | | | | | HIDROGRAFÍA | | | | | | | | | | FONDOS (40 m.) | | | | | | | | | | | | | | | |
|-------|----|----------------|-------|-------|------|--------|----------------|------|------|----------------|-----------------|-------------------|------------------------------|------------------------------|--------------------------------|------------------------------------|-----------------|-------|-------|----------------|-----------------|-------------------|------------------------------|------------------------------|--------------------------------|------------------------------------|-----------------|------|-------|-------|-------|-----|
| A | M | D | qx | qy | Qr | Qs | temp. del aire | W | t | σ _t | pH _n | [O ₂] | NO ₃ ⁻ | NH ₄ ⁺ | HPO ₄ ²⁻ | SiO ₃ (H ₄) | Cl ⁻ | S | t | σ _t | pH _n | [O ₂] | NO ₃ ⁻ | NH ₄ ⁺ | HPO ₄ ²⁻ | SiO ₃ (H ₄) | Cl ⁻ | | | | | |
| | | temp. del agua | | | | humedo | | | | | | | | | | | | | | | | | | | | | | | | | | |
| 94 | 8 | 6 | -119 | -52 | 4.6 | 438 | 20.3 | 18.1 | 6.5 | 35.285 | 19.54 | 25.09 | 8.350 | 248.7 | 0.00 | 1.26 | 0.80 | 0.88 | 2.20 | 4.5 | 35.747 | 13.20 | 28.93 | 8.077 | 145.8 | 0.50 | 8.76 | 4.43 | 0.83 | 8.96 | 0.6 | |
| 94 | 8 | 11 | 45 | -977 | 33.8 | 407 | 18.6 | 17.3 | 7.0 | 35.166 | 18.11 | 25.37 | 8.256 | 219.0 | 0.14 | 2.23 | 0.49 | 0.70 | 1.54 | 7.1 | 36.812 | 14.46 | 26.58 | 8.059 | 142.5 | 0.42 | 5.83 | 7.03 | 1.04 | 12.38 | 1.8 | |
| 94 | 8 | 17 | 668 | 183 | 12.6 | 864 | 17.8 | 15.5 | 4.5 | 35.000 | 18.32 | 25.19 | 8.281 | 238.4 | 0.04 | 0.67 | 0.56 | 1.27 | 0.4 | 35.728 | 12.89 | 26.96 | 8.062 | 153.1 | 0.76 | 11.33 | 1.63 | 0.78 | 9.44 | 0.1 | | |
| 94 | 8 | 19 | 459 | 152 | 8.7 | 858 | 18.0 | 17.8 | 4.5 | 35.140 | 17.61 | 25.48 | 8.371 | 280.5 | 0.15 | 0.02 | 0.78 | 0.45 | 1.29 | 7.4 | 35.728 | 12.79 | 27.00 | 8.078 | 156.0 | 0.56 | 11.83 | 2.16 | 0.74 | 10.23 | 0.4 | |
| 94 | 8 | 22 | -108 | -150 | 5.8 | 489 | 18.4 | 16.8 | 6.0 | 35.947 | 18.34 | 25.45 | 8.383 | 277.8 | 0.18 | 0.12 | 1.03 | 0.27 | 0.80 | 3.1 | 35.714 | 12.80 | 26.99 | 8.053 | 143.1 | 0.88 | 11.06 | 3.20 | 0.80 | 11.12 | 6.2 | |
| 94 | 8 | 25 | 55 | -521 | 8.5 | 458 | 18.5 | 17.2 | 7.5 | 35.305 | 18.57 | 25.38 | 8.364 | 272.3 | 0.20 | 0.99 | 1.23 | 0.41 | 1.51 | 3.3 | 35.749 | 13.15 | 28.84 | 8.040 | 148.5 | 0.84 | 11.75 | 3.15 | 1.12 | 9.03 | 3.7 | |
| 94 | 8 | 28 | 832 | 110 | 7.8 | 558 | 19.7 | 18.1 | 6.5 | 35.287 | 18.47 | 25.12 | 8.383 | 290.9 | 0.11 | 1.23 | 1.13 | 0.72 | 1.20 | 4.1 | 35.756 | 13.04 | 28.87 | 8.053 | 130.1 | 0.81 | 11.14 | 3.47 | 1.32 | 8.20 | 3.9 | |
| 94 | 9 | 1 | 183 | -50 | 7.3 | 497 | 18.0 | 15.5 | 6.5 | 35.395 | 17.92 | 25.59 | 8.229 | 276.9 | 0.08 | 0.06 | 0.57 | REFI | 1.00 | 2.0 | 35.755 | 12.78 | 27.02 | 7.953 | 147.1 | 0.88 | 12.19 | 3.47 | REFI | 1.13 | 1.2 | |
| 94 | 9 | 5 | 54 | -818 | 11.1 | 432 | 18.0 | 15.5 | 6.5 | 35.442 | 17.68 | 25.69 | 8.230 | 228.7 | 0.04 | 0.00 | 0.85 | REFI | 0.59 | 6.7 | 35.780 | 12.80 | 27.02 | 8.002 | 127.2 | 0.81 | 11.11 | 4.18 | REFI | 1.34 | 1.1 | |
| 94 | 9 | 12 | -544 | -1012 | 31.8 | 390 | 18.0 | 15.5 | 5.0 | 35.085 | 15.69 | 25.68 | 8.202 | 205.8 | 0.22 | 2.19 | 3.04 | 0.67 | 2.83 | 1.9 | 35.848 | 14.64 | 28.55 | 8.077 | 138.8 | 0.33 | 1.73 | 4.39 | 1.24 | 5.29 | 1.3 | |
| 94 | 9 | 15 | -67 | -1563 | 41.8 | 390 | 18.0 | 16.0 | 8.0 | 35.259 | 16.48 | 25.64 | 8.149 | 218.4 | 0.23 | 1.55 | 3.04 | 0.84 | 2.82 | 2.2 | 35.881 | 14.08 | 28.68 | 8.019 | 129.8 | 0.50 | 3.43 | 5.51 | 0.88 | 3.56 | 0.7 | |
| 94 | 9 | 18 | 239 | 97 | 29.6 | 512 | 15.0 | 13.5 | 4.0 | 34.885 | 15.83 | 25.66 | 8.092 | 196.9 | 0.31 | 2.25 | 5.20 | 1.03 | 0.85 | 1.1 | 35.727 | 13.04 | 28.95 | 8.117 | 176.5 | 0.78 | 11.68 | 0.57 | 0.70 | 5.28 | 0.4 | |
| 94 | 9 | 28 | 894 | -822 | 24.5 | 328 | 18.0 | 15.5 | 8.0 | 35.118 | 14.79 | 26.11 | 8.254 | 233.9 | 0.37 | 3.04 | 2.13 | 0.95 | 2.83 | 0.1 | 35.890 | 13.20 | 28.86 | 8.141 | 151.3 | 0.84 | 8.61 | 2.19 | 0.83 | 4.88 | 1.8 | |
| 94 | 10 | 3 | 1317 | 1087 | 27.4 | 441 | 17.5 | 16.0 | 7.0 | 35.232 | 15.30 | 26.22 | 8.185 | 213.3 | 0.83 | 7.00 | 1.09 | 0.08 | 0.82 | 2.8 | 35.705 | 12.48 | 27.04 | 8.119 | 178.1 | 0.45 | 11.83 | 0.38 | 12.49 | 8.88 | 1.4 | |
| 94 | 10 | 6 | 1088 | 1400 | 18.1 | 377 | 15.8 | 16.2 | 5.0 | 35.210 | 14.11 | 26.33 | 8.229 | 220.9 | 0.68 | 4.72 | 1.12 | 5.84 | 0.89 | 6.8 | 35.719 | 12.44 | 27.06 | 8.051 | 188.2 | 0.45 | 8.97 | 1.59 | 0.99 | 8.38 | 2.4 | |
| 94 | 10 | 10 | -181 | 218 | 11.2 | 391 | 15.8 | 16.2 | 11.0 | 35.188 | 14.98 | 26.13 | 8.187 | 242.6 | 0.18 | 0.83 | 1.38 | 0.47 | 1.27 | 11.5 | 35.877 | 13.00 | 28.82 | 8.075 | 172.4 | 0.48 | 8.98 | 2.09 | 12.07 | 0.87 | 2.9 | |
| 94 | 10 | 13 | -377 | 250 | 13.2 | 341 | 16.6 | 15.5 | 19.0 | 34.968 | 15.88 | 25.55 | 8.214 | 230.9 | 0.12 | 1.87 | 1.46 | 0.28 | 2.31 | 2.1 | 35.839 | 13.39 | 28.81 | 8.052 | 154.2 | 0.49 | 6.17 | 4.98 | 1.02 | 9.35 | 2.7 | |
| 94 | 10 | 17 | -94 | -132 | 34.7 | 306 | 15.6 | 14.8 | 18.0 | 34.960 | 16.07 | 25.23 | 8.204 | 238.2 | 0.25 | 1.99 | 2.98 | 4.29 | 0.37 | 2.35 | 1.9 | 35.593 | 13.48 | 28.75 | 8.052 | 154.2 | 0.57 | 8.90 | 5.86 | 1.25 | 12.78 | 1.1 |
| 94 | 10 | 20 | -188 | -1408 | 33.0 | 285 | 15.5 | 13.5 | 6.0 | 31.770 | 16.25 | 23.21 | 8.056 | 198.6 | 0.88 | 5.13 | 8.64 | 1.28 | 11.41 | 8.9 | 35.302 | 14.44 | 28.33 | 8.052 | 189.1 | 0.89 | 5.56 | 6.02 | 1.19 | 12.89 | 1.0 | |
| 94 | 10 | 27 | 85 | -1728 | 70.4 | 278 | 12.0 | 10.0 | 10.0 | 34.001 | 15.52 | 25.82 | 8.154 | 209.4 | 0.80 | 4.44 | 5.38 | 0.82 | 7.59 | 1.2 | 35.896 | 14.07 | 28.71 | 8.019 | 140.4 | 0.74 | 8.83 | 5.38 | 1.30 | 11.04 | 0.8 | |
| 94 | 11 | 4 | -829 | -801 | 49.5 | 258 | 15.1 | 14.1 | 9.0 | 33.954 | 15.37 | 24.82 | 8.081 | 199.3 | 0.53 | 5.51 | 7.44 | 12.45 | 0.97 | 1.3 | 34.998 | 15.51 | 25.85 | 8.112 | 181.7 | 0.58 | 4.01 | 6.09 | 8.53 | 0.84 | 1.3 | |
| 94 | 11 | 7 | -1118 | -1285 | 57.5 | 257 | 16.4 | 15.5 | 9.0 | 33.981 | 15.22 | 25.07 | 8.107 | 202.7 | 0.80 | 5.89 | 5.83 | 0.83 | 8.39 | 0.8 | 34.855 | 15.49 | 25.76 | 8.123 | 182.8 | 0.55 | 4.32 | 4.15 | 0.82 | 8.45 | 0.7 | |
| 94 | 11 | 10 | -1505 | -2328 | 94.7 | 247 | 14.4 | 15.5 | 8.0 | 33.980 | 15.30 | 24.88 | 8.051 | 204.5 | 0.68 | 8.47 | 6.39 | 1.11 | 9.82 | 0.8 | 34.803 | 15.48 | 25.68 | 8.085 | 180.2 | 0.83 | 4.70 | 6.54 | 1.22 | 12.38 | 1.0 | |
| 94 | 11 | 14 | -124 | -700 | 88.7 | 287 | 12.1 | 11.1 | 9.0 | 32.344 | 15.45 | 23.83 | 8.068 | 206.8 | 0.44 | 6.71 | 5.17 | 0.93 | 10.11 | 0.8 | 35.481 | 15.82 | 28.16 | 8.178 | 195.2 | 0.38 | 2.83 | 2.80 | 0.79 | 8.80 | 0.5 | |
| 94 | 11 | 16 | -272 | -489 | 39.4 | 283 | 12.0 | 10.9 | 8.0 | 30.884 | 15.08 | 22.85 | 8.073 | 212.1 | 0.88 | 8.75 | 6.24 | 15.41 | 0.85 | 1.3 | 35.823 | 15.86 | 28.19 | 8.150 | 199.4 | 0.43 | 2.54 | 2.59 | 5.31 | 6.88 | 0.7 | |
| 94 | 11 | 21 | -1814 | -520 | 12.1 | 285 | 13.8 | 12.2 | 8.0 | 33.984 | 15.24 | 25.07 | 8.105 | 209.4 | 0.35 | 3.10 | 3.39 | 0.82 | 5.88 | 2.3 | 35.573 | 15.76 | 28.25 | 8.113 | 176.9 | 0.83 | 4.25 | 2.70 | 0.82 | 10.88 | 0.4 | |
| 94 | 11 | 25 | -210 | 278 | 6.3 | 262 | 12.8 | 12.2 | 8.0 | 34.088 | 15.31 | 25.21 | 8.116 | 208.5 | 0.78 | 5.68 | 2.42 | 0.81 | 8.25 | 3.8 | 35.548 | 15.85 | 28.25 | 8.109 | 189.2 | 1.37 | 5.85 | 2.25 | 1.07 | 12.71 | 0.5 | |
| 94 | 11 | 28 | 228 | 402 | 4.9 | 245 | 12.8 | 10.2 | 8.0 | 34.483 | 15.31 | 25.49 | 8.166 | 227.9 | 0.32 | 1.79 | 1.21 | 0.61 | 2.98 | 5.3 | 35.587 | 15.81 | 28.29 | 8.081 | 153.8 | 1.44 | 6.30 | 1.75 | 1.20 | 13.01 | 0.8 | |
| 94 | 12 | 1 | -2289 | 146 | 5.2 | 234 | 14.5 | 13.5 | 8.0 | 34.644 | 15.33 | 25.83 | 8.165 | 214.9 | 0.74 | 3.88 | 1.75 | 5.87 | 0.57 | 2.6 | 35.558 | 15.98 | 28.27 | 8.104 | 181.5 | 1.21 | 8.38 | 0.83 | 7.36 | 0.70 | 1.3 | |
| 94 | 12 | 5 | -883 | -1329 | 13.4 | 228 | 11.5 | 10.5 | 13.0 | 34.019 | 15.27 | 25.16 | 8.144 | 208.0 | 0.45 | 2.78 | 3.11 | 0.78 | 4.83 | 2.5 | 34.700 | 15.50 | 25.83 | 8.125 | 188.4 | 0.82 | 2.31 | 2.29 | 0.88 | 4.86 | 2.5 | |
| 94 | 12 | 13 | -124 | 88 | 28.8 | 225 | 11.5 | 10.5 | 7.5 | 34.488 | 15.38 | 25.50 | 8.174 | 208.6 | 0.88 | 4.23 | 3.20 | 0.83 | 7.80 | 0.8 | 35.690 | 18.31 | 28.18 | 8.212 | 203.9 | 0.38 | 1.11 | 0.98 | 0.60 | 3.21 | 0.5 | |
| 94 | 12 | 18 | 14 | 124 | 14.2 | 223 | 10.8 | 9.0 | 9.0 | 34.472 | 14.84 | 25.80 | 8.180 | 210.6 | 0.48 | 2.86 | 2.03 | 0.81 | 4.06 | 2.0 | 35.778 | 16.34 | 28.27 | 8.220 | 202.4 | 0.75 | 2.00 | 1.58 | 0.65 | 4.74 | 0.4 | |
| 94 | 12 | 19 | 135 | -584 | 14.8 | 222 | 11.0 | 11.0 | 10.0 | 35.588 | 15.00 | 24.87 | 8.152 | 182.4 | 0.87 | 4.14 | 2.87 | 7.33 | 0.85 | 1.3 | 35.687 | 16.20 | 28.22 | 8.208 | 187.0 | 1.10 | 2.85 | 0.78 | 0.77 | 6.32 | 0.4 | |
| 94 | 12 | 22 | 150 | -30 | 20.8 | 222 | 15.0 | 14.0 | 12.0 | 35.282 | 14.85 | 26.27 | 8.148 | 200.8 | 1.15 | 4.81 | 2.52 | 0.57 | 6.07 | 0.7 | 35.831 | 15.40 | 28.37 | 8.271 | 217.1 | 0.53 | 3.19 | 2.21 | 0.52 | 3.98 | 0.5 | |
| 95 | 1 | 2 | 189 | -170 | 76.9 | 223 | 7.5 | 6.5 | 5.0 | 33.887 | 14.39 | 25.23 | 8.163 | 201.3 | 0.58 | 4.04 | 3.97 | 0.57 | 5.44 | 0.5 | 35.501 | 15.20 | 28.31 | 8.053 | 242.8 | 0.30 | 1.52 | 2.44 | 0.32 | 2.86 | 0.5 | |
| 95 | 1 | 5 | -47 | -588 | 44.2 | 223 | 13.0 | 11.5 | 7.0 | 33.745 | 14.18 | 25.16 | 8.174 | 225.3 | 0.37 | 2.47 | 3.18 | 0.48 | 6.28 | 0.3 | 35.580 | 15.22 | 28.38 | 8.228 | 235.5 | 0.30 | 1.11 | 2.38 | 0.27 | 2.82 | 0.4 | |
| 95 | 1 | 9 | 835 | 85 | 28.5 | 227 | 11.5 | 10.5 | 10.0 | 34.121 | 14.18 | 25.47 | 8.185 | 228.0 | 0.58 | 3.92 | 3.68 | 0.48 | 6.28 | 0.4 | 35.712 | 15.41 | 28.43 | 8.227 | 218.2 | 0.45 | 3.03 | 1.52 | 0.39 | 5.00 | 0.4 | |
| 95 | 1 | 12 | 722 | 150 | 13.3 | 228 | 8.5 | 7.0 | 7.0 | 34.480 | 14.39 | 25.70 | 8.205 | 202.6 | 0.83 | 3.52 | 1.04 | 4.81 | 0.45 | 0.8 | 35.900 | 13.80 | 28.85 | 8.192 | 204.4 | 0.19 | 0.85 | 0.87 | 7.78 | 0.82 | 0.3 | |
| 95 | 1 | 18 | -1703 | -1890 | 6.7 | 235 | 6.5 | 7.0 | 3.0 | 35.389 | 12.89 | 21.29 | 8.084 | 253.3 | 0.71 | 10.88 | 9.02 | 0.82 | 15.57 | 1.5 | 35.610 | 12.84 | 28.84 | 8.138 | 205.0 | 0.17 | 9.59 | 1.92 | 0.78 | 8.48 | 0.2 | |
| 95 | 1 | 24 | -1741 | -3189 | 61.0 | 231 | 14.5 | 13.5 | 7.0 | 32.005 | 13.88 | 23.84 | 8.181 | 264.0 | 0.50 | 10.95 | 8.99 | 12.22 | 0.60 | 1.3 | 34.942 | 13.50 | 28.25 | 8.159 | 211.8 | 0.51 | 7.49 | 2.88 | 0.76 | 8.33 | 1.5 | |
| 95 | 1 | 28 | -1718 | -2404 | 62.9 | 234 | 14.0 | 13.0 | 7.0 | 25.323 | | | | | | | | | | | | | | | | | | | | | | |

RÍA DE VIGO

Estación Fija (E3)

| FECHA | | METEOROLOGÍA | | | | | | | | | | HIDROGRAFÍA | | | | | | | | | | FONDO (40 m.) | | | | | | | | | | | |
|-------|---|--------------|-------|-------|------|------|----------------|------|---------|--------|-------|-------------|----------------|-----------------|-------------------|-----------------|------------------------------|--------------------------------|------------------------------------|-----------------|--------|---------------|----------------|-----------------|-------------------|-----------------|------------------------------|--------------------------------|------------------------------------|-----------------|------|--|--|
| A | M | D | -tq | gy | Or | Qa | temp. del aire | | humedad | | S | t | σ _t | pH _N | [O ₂] | NO ₂ | NH ₄ ⁺ | HPO ₄ ²⁻ | SiO ₄ (H ₄) | Cl ⁻ | S | t | σ _t | pH _N | [O ₂] | NO ₂ | NH ₄ ⁺ | HPO ₄ ²⁻ | SiO ₄ (H ₄) | Cl ⁻ | | | |
| | | | | | | | | | | | | | | | | | | | | | | | | | | | | | | | | | |
| 95 | 2 | 20 | -1252 | -1330 | 88.2 | 297 | 8.8 | 8.0 | 7.0 | 28.424 | 13.01 | 21.30 | 8.122 | 262.3 | 0.58 | 13.28 | 3.85 | 0.58 | 14.84 | 2.4 | 35.832 | 14.38 | 26.90 | 8.158 | 243.8 | 0.49 | 3.87 | 1.44 | 3.07 | 4.24 | 0.4 | | |
| 95 | 2 | 23 | -208 | -716 | 35.0 | 287 | 9.0 | 7.5 | 10.0 | 32.255 | 14.01 | 24.07 | 8.115 | 257.3 | 0.81 | 9.85 | 4.15 | 14.12 | 0.90 | 2.8 | 35.070 | 14.31 | 26.84 | 8.124 | 228.3 | 0.88 | 3.04 | 3.02 | 7.76 | 0.87 | 2.2 | | |
| 95 | 2 | 27 | 1218 | -1374 | 39.8 | 288 | 9.0 | 7.5 | 10.0 | 30.120 | 12.10 | 22.78 | 8.208 | 319.2 | 0.43 | 8.47 | 3.89 | 0.65 | 6.41 | 2.2 | 35.752 | 14.31 | 26.70 | 8.191 | 281.8 | 0.90 | 3.68 | 2.15 | 0.76 | 0.96 | 1.5 | | |
| 95 | 3 | 1 | 310 | -5 | 33.2 | 328 | 12.5 | 9.5 | 7.0 | 32.625 | 13.80 | 24.43 | 8.186 | 247.4 | 0.58 | 6.44 | 1.08 | 7.78 | 0.41 | 0.7 | 35.294 | 13.58 | 28.51 | 8.191 | 215.0 | 0.31 | 8.61 | 0.52 | 7.43 | 0.89 | 1.2 | | |
| 95 | 3 | 6 | 320 | -1190 | 86.3 | 295 | 14.5 | 10.5 | 7.0 | 30.745 | 13.20 | 23.08 | 8.195 | 304.5 | 0.85 | 8.93 | 2.83 | 0.59 | 9.14 | 2.8 | 35.847 | 12.88 | 28.82 | 8.158 | 250.4 | 0.36 | 8.04 | 2.02 | 0.80 | 0.28 | 3.2 | | |
| 95 | 3 | 8 | -2057 | -2397 | 75.9 | 339 | 14.5 | 10.5 | 6.0 | 33.482 | 12.98 | 25.22 | 8.221 | 337.7 | 0.37 | 4.84 | 1.85 | 0.37 | 2.07 | 6.8 | 35.640 | 12.34 | 27.02 | 8.107 | 245.7 | 0.35 | 10.30 | 2.26 | 0.88 | 5.47 | 2.3 | | |
| 95 | 3 | 13 | 1859 | 1364 | 35.9 | 390 | 14.0 | 12.0 | 6.0 | 33.640 | 13.10 | 25.32 | 8.121 | 286.9 | 0.42 | 6.63 | 2.48 | 0.51 | 4.70 | 4.4 | 35.521 | 12.70 | 26.86 | 8.113 | 287.9 | 0.28 | 5.80 | 2.23 | 0.49 | 2.82 | 1.8 | | |
| 95 | 3 | 17 | 89 | -708 | 16.4 | 325 | 14.0 | 12.5 | 5.0 | 34.781 | 12.90 | 26.24 | 8.233 | 340.5 | 0.07 | 1.11 | 0.11 | | | 18.9 | 35.800 | 12.90 | 26.84 | 8.121 | 272.3 | 0.29 | 7.53 | 0.45 | | 1.8 | | | |
| 95 | 3 | 23 | -117 | 262 | 8.4 | 488 | 18.0 | 11.0 | 6.0 | 33.312 | 14.27 | 24.83 | 8.228 | 338.7 | 0.10 | 0.01 | 0.19 | 0.52 | 0.16 | 1.5 | 35.588 | 12.54 | 26.85 | 8.032 | 230.6 | 0.29 | 5.08 | 1.09 | 6.45 | 0.53 | 1.8 | | |
| 95 | 3 | 28 | 723 | 301 | 5.0 | 474 | 18.0 | 11.0 | 6.0 | 34.823 | 13.48 | 28.00 | 8.274 | 377.7 | 0.07 | 0.08 | 1.59 | 0.31 | 0.88 | 10.2 | 35.801 | 12.49 | 26.96 | 8.051 | 235.4 | 0.53 | 6.40 | 2.84 | 0.85 | 4.81 | 2.2 | | |
| 95 | 3 | 31 | 603 | 1224 | 4.2 | 510 | 15.0 | 9.0 | 6.0 | 35.228 | 13.11 | 26.55 | 8.185 | 317.0 | 0.10 | 0.98 | 1.48 | 0.27 | 0.86 | 8.0 | 35.818 | 12.90 | 26.95 | 8.067 | 238.8 | 0.40 | 7.88 | 2.82 | 0.89 | 2.89 | 3.3 | | |
| 95 | 4 | 3 | 128 | 591 | 3.9 | 524 | 14.5 | 12.0 | 9.0 | 35.210 | 13.71 | 28.41 | 8.220 | 326.8 | 0.18 | 1.15 | 1.52 | 0.38 | 1.00 | 4.2 | 35.819 | 12.70 | 26.93 | 8.094 | 234.3 | 0.39 | 7.84 | 2.85 | 0.74 | 3.47 | 3.3 | | |
| 95 | 4 | 8 | 170 | 149 | 3.7 | 502 | 17.0 | 15.5 | 10.0 | 34.747 | 14.73 | 26.84 | 8.190 | 325.5 | 0.06 | 0.84 | 0.08 | 0.12 | 1.4 | 35.571 | 12.68 | 26.90 | 7.875 | 207.0 | 0.32 | 5.88 | 2.11 | 8.44 | 0.82 | 8.5 | | | |
| 95 | 4 | 10 | 898 | 758 | 3.7 | 561 | 17.0 | 15.5 | 10.0 | 34.793 | 15.57 | 25.89 | 8.243 | 346.8 | 0.06 | 0.14 | 1.22 | 0.28 | 0.77 | 4.8 | 35.634 | 12.89 | 26.95 | 7.999 | 192.5 | 0.48 | 7.87 | 4.78 | 1.07 | 8.01 | 5.7 | | |
| 95 | 4 | 12 | 561 | 878 | 3.7 | 554 | 18.0 | 15.0 | 9.0 | 34.777 | 16.02 | 25.67 | 8.241 | 358.4 | 0.08 | 0.28 | 1.81 | 0.40 | 1.05 | 8.4 | 35.619 | 12.77 | 26.92 | 7.981 | 190.3 | 0.38 | 5.52 | 4.97 | 1.02 | 4.58 | 10.5 | | |
| 95 | 4 | 17 | 1283 | 1370 | 3.7 | 571 | 14.5 | 11.0 | 9.0 | 35.510 | 13.31 | 28.73 | 8.121 | 289.2 | 0.30 | 3.80 | 2.38 | 0.52 | 3.27 | 3.9 | 35.635 | 12.90 | 26.93 | 8.085 | 240.8 | 0.59 | 7.35 | 2.54 | 0.69 | 4.49 | 1.8 | | |
| 95 | 4 | 20 | 731 | -178 | 5.3 | 475 | 14.5 | 11.0 | 9.0 | 35.400 | 13.72 | 28.58 | 8.110 | 289.9 | 0.24 | 2.04 | 0.68 | 2.80 | 0.46 | 2.5 | 35.654 | 12.72 | 26.86 | 8.034 | 193.0 | 0.42 | 4.14 | 0.58 | 4.81 | 0.65 | 0.8 | | |
| 95 | 4 | 24 | 473 | -183 | 21.0 | 434 | 10.0 | 8.0 | 6.0 | 35.263 | 13.20 | 28.68 | 8.208 | 380.9 | 0.10 | 0.36 | 1.25 | 0.38 | 1.00 | 1.2 | 35.685 | 12.80 | 26.97 | 8.028 | 224.7 | 0.87 | 9.13 | 2.61 | 0.77 | 6.10 | 1.1 | | |
| 95 | 4 | 27 | -1282 | 482 | 17.4 | 454 | 14.5 | 13.5 | 7.0 | 35.283 | 13.26 | 28.68 | 8.208 | 380.9 | 0.10 | 0.36 | 1.25 | 0.38 | 1.00 | 1.2 | 35.685 | 12.80 | 26.97 | 8.028 | 224.7 | 0.87 | 9.13 | 2.61 | 0.77 | 6.10 | 1.1 | | |
| 95 | 5 | 2 | -148 | 22 | 15.1 | 555 | 18.0 | 15.0 | 10.0 | 34.885 | 15.49 | 25.82 | 8.311 | 371.5 | 0.10 | 1.24 | 2.14 | 0.34 | 1.12 | 3.2 | 35.523 | 13.15 | 26.77 | 8.073 | 238.2 | 0.43 | 4.47 | 3.49 | 0.71 | 4.44 | 3.1 | | |
| 95 | 5 | 5 | -113 | 408 | 8.6 | 551 | 20.5 | 17.5 | 9.0 | 34.854 | 16.58 | 25.51 | 8.263 | 352.3 | 0.04 | 0.01 | 0.88 | 0.31 | 0.89 | 29.3 | 35.547 | 13.18 | 26.78 | 8.081 | 245.1 | 0.25 | 3.09 | 4.07 | 0.63 | 4.31 | 1.9 | | |
| 95 | 5 | 8 | 425 | 244 | 10.2 | 534 | 18.0 | 16.5 | 12.0 | 34.787 | 17.53 | 25.21 | 8.263 | 352.3 | 0.12 | 0.92 | 1.87 | 0.42 | 1.42 | 1.9 | 35.649 | 12.80 | 26.92 | 8.010 | 187.0 | 0.22 | 7.49 | 4.19 | 0.89 | 6.80 | 1.8 | | |
| 95 | 5 | 11 | 759 | -715 | 8.1 | 484 | 17.5 | 15.0 | 6.0 | 34.885 | 17.48 | 25.18 | 8.247 | 282.8 | 0.03 | 0.01 | 0.00 | 0.19 | 0.42 | 3.7 | 35.572 | 13.05 | 26.83 | 8.010 | 187.0 | 0.19 | 4.38 | 4.45 | 8.15 | 0.85 | 1.2 | | |
| 95 | 5 | 15 | -749 | -345 | 34.2 | 429 | 17.0 | 17.0 | 6.0 | 34.719 | 15.42 | 25.86 | 8.209 | 312.5 | 0.04 | 0.68 | 0.95 | 0.37 | 0.83 | 6.7 | 35.554 | 13.34 | 26.75 | 8.081 | 244.2 | 0.21 | 2.86 | 3.44 | 4.70 | 4.54 | 2.0 | | |
| 95 | 5 | 18 | -648 | 82.4 | 413 | 17.0 | 17.0 | 17.0 | 6.0 | 34.855 | 15.26 | 25.85 | 8.173 | 301.0 | 0.13 | 1.23 | 2.02 | 0.48 | 1.30 | 12.3 | 35.240 | 14.24 | 26.32 | 8.111 | 267.5 | 0.18 | 1.80 | 4.04 | 0.62 | 4.52 | 1.8 | | |
| 95 | 5 | 22 | 803 | 115 | 54.4 | 801 | 17.5 | 18.0 | 5.0 | 32.780 | 17.61 | 23.87 | 8.331 | 384.5 | 0.05 | 0.00 | 0.13 | 0.28 | 1.35 | 9.5 | 35.505 | 13.81 | 26.88 | 8.093 | 246.5 | 0.42 | 5.47 | 2.32 | 0.68 | 5.62 | 0.7 | | |
| 95 | 5 | 25 | -95 | -827 | 28.2 | 488 | 23.5 | 19.0 | 8.0 | 33.835 | 18.51 | 24.10 | 8.331 | 338.0 | 0.05 | 0.00 | 0.07 | 0.12 | 0.48 | 2.1 | 35.648 | 13.15 | 26.87 | 7.981 | 182.4 | 0.88 | 6.65 | 1.90 | 0.24 | 0.78 | 0.8 | | |
| 95 | 5 | 29 | -489 | -874 | 18.8 | 587 | 23.5 | 19.0 | 8.0 | 32.232 | 18.67 | 22.99 | 8.310 | 334.3 | 0.05 | 0.02 | 1.04 | 0.38 | 0.91 | 3.0 | 35.481 | 13.78 | 26.82 | 8.010 | 188.7 | 0.79 | 8.82 | 5.72 | 1.18 | 8.85 | 3.3 | | |
| 95 | 6 | 1 | 819 | 381 | 10.8 | 718 | 18.5 | 14.5 | 7.0 | 34.745 | 15.66 | 25.83 | 8.185 | 286.4 | 0.28 | 0.88 | 1.42 | | | 6.0 | 35.701 | 13.15 | 26.91 | 8.047 | 226.7 | 0.59 | 9.44 | 0.65 | 0.48 | 5.03 | 0.8 | | |
| 95 | 6 | 5 | 1281 | 1384 | 5.9 | 735 | 18.5 | 15.0 | 6.0 | 35.519 | 14.88 | 29.40 | 8.160 | 313.3 | 0.23 | 1.18 | 0.10 | 0.84 | 6.40 | 14.8 | 35.884 | 12.84 | 27.00 | 8.035 | 229.1 | 0.35 | 10.81 | 0.88 | 0.90 | 8.91 | 1.5 | | |
| 95 | 6 | 8 | 1219 | 1373 | 4.8 | 741 | 17.5 | 15.0 | 6.0 | 35.548 | 13.78 | 28.88 | 8.137 | 313.1 | 0.84 | 2.88 | 0.84 | 0.61 | 0.73 | 11.8 | 35.858 | 12.80 | 27.00 | 8.048 | 251.9 | 0.48 | 8.82 | 1.18 | 0.81 | 4.83 | 3.7 | | |
| 95 | 6 | 12 | 1241 | 1584 | 4.0 | 711 | 17.5 | 15.0 | 6.0 | 34.855 | 15.26 | 25.85 | 8.173 | 301.0 | 0.13 | 1.23 | 2.02 | 0.48 | 1.30 | 12.3 | 35.240 | 14.24 | 26.32 | 8.111 | 267.5 | 0.18 | 1.80 | 4.04 | 0.62 | 4.52 | 1.8 | | |
| 95 | 6 | 15 | 1138 | 981 | 3.8 | 820 | 30.0 | 22.5 | 6.0 | 35.502 | 16.18 | 26.08 | 8.308 | 387.3 | 0.06 | 0.00 | 1.88 | 0.38 | 0.04 | 0.4 | 35.703 | 12.88 | 27.14 | 8.100 | 247.8 | 0.39 | 7.81 | 1.17 | 0.82 | 2.88 | 7.4 | | |
| 95 | 6 | 18 | 84 | -2 | 3.7 | 854 | 17.5 | 17.5 | 14.0 | 35.447 | 16.84 | 25.84 | 8.269 | 353.5 | 0.18 | 0.80 | 2.43 | 0.25 | 0.82 | 1.2 | 35.709 | 13.08 | 26.83 | 8.063 | 184.5 | 0.35 | 7.20 | 2.84 | 7.09 | 1.54 | 4.0 | | |
| 95 | 6 | 22 | 585 | 428 | 3.7 | 857 | 20.5 | 19.0 | 9.0 | 35.383 | 18.12 | 25.54 | 8.210 | 303.4 | 0.08 | 0.00 | 0.77 | 0.68 | 0.00 | 1.3 | 35.720 | 13.24 | 26.80 | 8.027 | 220.0 | 0.29 | 4.47 | 5.78 | 0.97 | 2.40 | 2.5 | | |
| 95 | 6 | 26 | 970 | 1044 | 8.4 | 867 | 18.5 | 17.0 | 12.0 | 35.389 | 18.51 | 25.43 | 8.267 | 381.0 | 0.03 | 0.30 | 2.57 | -0.04 | 1.03 | 1.0 | 35.719 | 13.48 | 26.85 | 8.085 | 227.8 | 0.33 | 3.84 | 1.18 | 3.84 | 4.67 | 1.1 | | |
| 95 | 6 | 30 | 188 | -100 | 5.7 | 417 | 18.5 | 17.0 | 8.0 | 35.179 | 18.56 | 25.27 | 8.275 | 333.5 | 0.30 | 0.30 | 2.57 | -0.04 | 1.03 | 1.0 | 35.690 | 13.53 | 26.75 | 8.063 | 231.2 | 0.25 | 3.38 | 3.08 | 3.28 | 5.24 | 0.5 | | |
| 95 | 7 | 3 | 282 | -207 | 12.7 | 449 | 19.5 | 16.0 | 8.0 | 34.482 | 18.87 | 24.86 | 8.298 | 341.2 | 0.03 | 0.00 | 0.42 | 0.00 | 0.00 | 9.2 | 35.895 | 13.82 | 26.80 | 7.964 | 155.1 | 0.25 | 3.38 | 3.08 | 3.28 | 5.24 | 0.5 | | |
| 95 | 7 | 8 | 483 | 407 | 16.4 | 878 | 21.0 | 18.5 | 7.0 | 34.858 | 19.34 | 24.82 | 8.240 | 253.0 | 0.03 | 0.00 | 0.75 | 0.41 | 0.00 | 0.1 | 35.727 | 13.44 | 26.87 | 8.024 | 186.1 | 0.34 | 6.01 | 5.88 | 1.02 | 5.82 | 0.1 | | |
| 95 | 7 | 10 | -105 | -154 | 12.9 | 532 | 21.0 | 18.5 | 7.0 | 34.805 | 20.47 | 24.49 | 8.325 | 289.1 | 0.04 | 0.00 | 0.75 | 0.41 | 0.00 | 0.1 | 35.727 | 13.44 | 26.87 | 8.024 | 186.1 | 0.34 | 6.01 | 5.88 | 1.02 | 5.82 | 0.1 | | |
| 95 | 7 | 13 | -724 | -880 | 15.8 | 483 | 21.0 | 18.5 | 6.0 | 34.88 | | | | | | | | | | | | | | | | | | | | | | | |

RÍA DE VIGO

Estación Fija (E3)

| FECHA | | METEOROLOGÍA | | | | | | | | | | HIDROGRAFÍA | | | | | | | | | | | | | | | | | | | |
|-------|----|--------------|-------|-------|-------|-----|---------------------|--------|--------|--------|----------------|-----------------|-------------------|------------------------------|------------------------------|------------------------------|--------------------------------|---------------------------------|------------------------------|--------------------------------|---------------------------------|-----------------|-------|-------|-------|-------|-------|------|------|-------|------|
| A | M | D | 3x | 5V | Cr | Qa | temp. del aire seco | humedo | S | t | σ _t | pH _s | [O ₂] | NO ₃ ⁻ | NO ₂ ⁻ | NH ₄ ⁺ | HPO ₄ ²⁻ | SiO ₂ H ₄ | Cl _s | | | | | | | | | | | | |
| | | | | | | | | | | | | FONDO (40 m.) | | | | | | | | | | | | | | | | | | | |
| | | | | | | | | | | | | S | t | σ _t | pH _s | [O ₂] | NO ₃ ⁻ | NO ₂ ⁻ | NH ₄ ⁺ | HPO ₄ ²⁻ | SiO ₂ H ₄ | Cl _s | | | | | | | | | |
| 95 | 8 | 21 | 679 | 221 | 4.2 | 564 | 21.0 | 17.0 | 7.0 | 35.508 | 16.13 | 25.63 | 8.290 | 303.8 | 0.24 | 0.16 | 1.09 | 0.69 | 1.34 | 4.2 | 35.728 | 13.10 | 26.84 | 8.039 | 174.0 | 0.97 | 0.28 | 2.81 | 1.04 | 11.68 | 1.8 |
| 95 | 8 | 24 | 1019 | 785 | 3.9 | 611 | 20.3 | 17.0 | 7.0 | 35.793 | 16.70 | 26.15 | 7.984 | 155.0 | 0.78 | 0.08 | 1.04 | 0.86 | 4.29 | 5.6 | 35.721 | 12.99 | 26.97 | 7.974 | 154.1 | 0.81 | 10.05 | 1.86 | 0.81 | 5.78 | 0.6 |
| 95 | 8 | 31 | 263 | 1085 | 3.7 | 573 | 20.3 | 14.43 | 26.64 | 8.098 | 239.0 | 0.78 | 8.08 | 0.78 | 0.08 | 1.04 | 0.86 | 4.29 | 6.7 | 35.795 | 13.03 | 26.99 | 8.057 | 207.4 | 0.81 | 10.05 | 1.86 | 0.81 | 5.78 | 1.5 | |
| 95 | 9 | 4 | 335 | 70 | 3.7 | 477 | 15.5 | 16.5 | 13.0 | 35.635 | 17.59 | 25.99 | 8.226 | 285.7 | 0.21 | 0.02 | 0.82 | 0.21 | 1.33 | 14.8 | 35.755 | 13.43 | 26.89 | 8.024 | 169.8 | 1.00 | 8.62 | 3.98 | 1.25 | 11.17 | 7.5 |
| 95 | 9 | 8 | -897 | -3229 | 14.9 | 390 | 15.5 | 16.5 | 7.0 | 35.484 | 16.89 | 25.91 | 8.101 | 205.0 | 0.20 | 0.80 | 1.87 | 0.80 | 2.71 | 0.6 | 35.524 | 16.58 | 26.92 | 8.139 | 208.0 | 0.97 | 7.08 | 4.88 | 1.09 | 5.90 | 4.2 |
| 95 | 9 | 11 | -317 | -923 | 25.1 | 413 | 16.5 | 15.5 | 7.0 | 35.354 | 17.11 | 25.76 | 8.170 | 249.5 | 0.20 | 0.80 | 1.87 | 0.80 | 2.71 | 9.8 | 34.471 | 16.98 | 26.14 | 8.132 | 228.0 | 0.29 | 1.11 | 4.98 | 0.70 | 4.83 | 1.3 |
| 95 | 9 | 13 | 111 | -340 | 26.9 | 409 | 16.5 | 15.5 | 7.0 | 35.357 | 17.44 | 26.68 | 8.182 | 268.8 | 0.24 | 0.53 | 1.85 | 0.70 | 4.17 | 9.8 | 35.722 | 15.37 | 28.45 | 8.061 | 90.5 | 0.43 | 4.82 | 4.83 | 0.89 | 6.90 | 0.4 |
| 95 | 9 | 18 | 458 | -333 | 41.3 | 389 | 16.0 | 13.5 | 8.0 | 35.128 | 17.75 | 25.43 | 8.097 | 242.8 | 0.81 | 1.56 | 2.83 | 0.92 | 6.36 | 9.1 | 35.844 | 13.69 | 26.91 | 7.974 | 143.3 | 1.27 | 10.29 | 3.80 | 1.07 | 14.49 | 0.5 |
| 95 | 9 | 21 | 1523 | 41 | 33.4 | 392 | 16.0 | 13.5 | 8.0 | 34.838 | 17.75 | 25.21 | 8.092 | 212.8 | 0.81 | 1.56 | 2.83 | 0.92 | 6.36 | 5.4 | 35.808 | 13.64 | 26.91 | 7.961 | 118.1 | 0.49 | 11.81 | 0.25 | 0.95 | 7.67 | 2.0 |
| 95 | 9 | 25 | 714 | 355 | 14.7 | 444 | 27.5 | 18.0 | 8.0 | 35.620 | 15.31 | 26.38 | 8.077 | 219.8 | 0.93 | 5.30 | 0.30 | 0.80 | 4.49 | 4.7 | 35.728 | 12.80 | 27.04 | 8.037 | 196.8 | 0.73 | 11.59 | 0.78 | 0.97 | 6.87 | 8.0 |
| 95 | 9 | 28 | 181 | 143 | 8.3 | 459 | 29.5 | 21.5 | 5.0 | 35.640 | 15.43 | 26.37 | 8.114 | 253.3 | 0.66 | 3.15 | 0.39 | 0.61 | 2.71 | 10.5 | 35.739 | 12.78 | 27.01 | 8.028 | 182.8 | 0.62 | 11.39 | 2.29 | 1.16 | 2.21 | 10.5 |
| 95 | 10 | 3 | -342 | -832 | 4.8 | 357 | 17.5 | 17.5 | 8.0 | 35.591 | 15.93 | 26.22 | 8.228 | 289.9 | 0.05 | 0.00 | 0.13 | 0.23 | 1.34 | 4.8 | 35.733 | 12.86 | 27.03 | 7.999 | 159.9 | 0.97 | 7.08 | 4.88 | 1.09 | 5.90 | 4.2 |
| 95 | 10 | 7 | -1902 | -1214 | 27.1 | 393 | 23.0 | 23.0 | 13.0 | 35.441 | 15.99 | 26.09 | 8.074 | 206.7 | 0.57 | 3.17 | 6.73 | 0.97 | 9.32 | 1.1 | 35.688 | 13.59 | 26.81 | 8.083 | 217.7 | 0.40 | 3.87 | 4.82 | 0.72 | 5.79 | 0.8 |
| 95 | 10 | 10 | -199 | -28 | 13.8 | 351 | 26.5 | 26.5 | 14.0 | 35.285 | 16.21 | 25.92 | 8.100 | 230.6 | 0.38 | 2.45 | 7.11 | 0.83 | 4.78 | 0.7 | 35.619 | 13.97 | 26.77 | 8.043 | 187.5 | 0.33 | 3.45 | 4.81 | 0.66 | 5.35 | 0.9 |
| 95 | 10 | 13 | -492 | 33 | 6.5 | 363 | 18.5 | 18.5 | 12.0 | 35.256 | 15.90 | 25.97 | 8.090 | 225.5 | 0.43 | 2.50 | 6.99 | 1.00 | 4.99 | 1.8 | 35.690 | 13.70 | 26.78 | 8.043 | 187.5 | 0.51 | 3.59 | 8.52 | 1.24 | 13.83 | 0.7 |
| 95 | 10 | 16 | -1619 | -952 | 8.2 | 327 | 19.0 | 20.5 | 10.0 | 34.218 | 15.80 | 25.24 | 8.244 | 273.0 | 0.20 | 1.83 | 0.97 | 0.25 | 2.15 | 3.4 | 35.595 | 14.25 | 26.59 | 8.063 | 178.0 | 0.61 | 3.59 | 8.52 | 1.24 | 13.83 | 0.7 |
| 95 | 10 | 19 | 194 | 151 | 6.1 | 381 | 19.0 | 20.5 | 10.0 | 34.783 | 15.80 | 25.24 | 8.244 | 273.0 | 0.20 | 1.83 | 0.97 | 0.25 | 2.15 | 3.4 | 35.595 | 14.25 | 26.59 | 8.063 | 178.0 | 0.61 | 3.59 | 8.52 | 1.24 | 13.83 | 0.7 |
| 95 | 10 | 23 | -625 | -63 | 4.4 | 342 | 19.0 | 18.5 | 8.0 | 35.354 | 15.08 | 26.23 | 8.058 | 215.9 | 0.35 | 1.81 | 4.29 | 1.13 | 3.88 | 6.0 | 35.683 | 14.19 | 26.89 | 8.064 | 205.7 | 0.53 | 4.50 | 8.99 | 1.19 | 12.78 | 0.7 |
| 95 | 10 | 26 | -1528 | -1106 | 43.0 | 275 | 21.5 | 21.5 | 6.0 | 35.998 | 15.64 | 26.90 | 8.134 | 235.3 | 0.31 | 2.53 | 2.30 | 0.50 | 3.79 | 3.9 | 35.399 | 15.04 | 26.27 | 8.063 | 199.3 | 0.58 | 4.30 | 4.85 | 0.64 | 7.89 | 1.7 |
| 95 | 10 | 30 | -967 | -245 | 52.5 | 284 | 15.0 | 15.0 | 8.0 | 34.871 | 16.20 | 25.80 | 8.108 | 230.2 | 0.36 | 2.80 | 4.46 | 0.80 | 5.32 | 3.4 | 35.254 | 15.70 | 26.01 | 8.087 | 217.0 | 0.48 | 3.29 | 5.80 | 0.84 | 7.62 | 1.1 |
| 95 | 11 | 6 | -314 | 475 | 39.4 | 297 | 18.5 | 14.0 | 10.0 | 34.585 | 16.70 | 25.25 | 8.074 | 206.7 | 0.37 | 2.42 | 3.80 | 0.63 | 6.27 | 2.3 | 35.312 | 18.05 | 25.98 | 8.116 | 199.2 | 0.85 | 2.99 | 5.83 | 0.83 | 11.59 | 0.7 |
| 95 | 11 | 9 | 133 | 351 | 18.7 | 280 | 22.5 | 16.0 | 9.0 | 34.922 | 16.08 | 25.44 | 8.071 | 206.4 | 0.68 | 3.86 | 6.89 | 1.01 | 8.51 | 1.6 | 35.320 | 16.72 | 25.83 | 8.072 | 177.7 | 1.04 | 2.53 | 6.41 | 0.99 | 11.41 | 0.8 |
| 95 | 11 | 13 | -538 | -1508 | 56.1 | 265 | 16.5 | 15.5 | 2.0 | 34.125 | 16.41 | 24.96 | 8.131 | 226.0 | 0.78 | 6.38 | 4.05 | 0.81 | 6.66 | 1.3 | 35.028 | 15.55 | 25.84 | 8.038 | 168.0 | 0.97 | 3.01 | 8.97 | 1.15 | 14.23 | 1.1 |
| 95 | 11 | 16 | -687 | -803 | 100.8 | 242 | 23.5 | 16.5 | 8.0 | 32.537 | 16.70 | 23.70 | 8.088 | 227.4 | 0.71 | 5.90 | 5.17 | 0.89 | 10.18 | 2.5 | 35.499 | 18.90 | 25.91 | 8.129 | 199.7 | 0.85 | 1.48 | 3.94 | 0.57 | 7.25 | 0.7 |
| 95 | 11 | 27 | 326 | -874 | 86.1 | 233 | 12.0 | 11.5 | 6.0 | 31.749 | 14.86 | 23.50 | 8.037 | 219.2 | 1.21 | 5.98 | 7.11 | 0.77 | 12.85 | 1.3 | 35.699 | 17.09 | 26.03 | 8.183 | 210.0 | 1.24 | 1.19 | 2.41 | 0.53 | 8.28 | 0.8 |
| 95 | 11 | 30 | -463 | -437 | 74.7 | 231 | 14.5 | 14.0 | 6.0 | 30.172 | 15.50 | 22.15 | 8.033 | 234.4 | 1.52 | 9.77 | 7.11 | 0.90 | 18.07 | 2.1 | 35.641 | 17.09 | 25.99 | 8.183 | 210.0 | 1.24 | 1.19 | 2.41 | 0.53 | 8.28 | 0.8 |
| 95 | 12 | 4 | 385 | -321 | 49.1 | 228 | 11.0 | 11.2 | 7.0 | 28.821 | 13.50 | 21.52 | 8.071 | 231.4 | 1.61 | 11.56 | 6.71 | 0.80 | 21.12 | 1.7 | 35.732 | 14.53 | 26.84 | 8.127 | 192.0 | 3.02 | 2.72 | 0.39 | 0.65 | 10.38 | 0.5 |
| 95 | 12 | 7 | 482 | 86 | 25.0 | 228 | 9.0 | 7.5 | 8.5 | 33.269 | 14.90 | 24.86 | 8.084 | 198.5 | 3.75 | 6.00 | 4.02 | 0.90 | 16.85 | 0.6 | 35.857 | 16.90 | 26.27 | 8.175 | 218.5 | 0.62 | 1.90 | 0.52 | 0.39 | 4.01 | 0.4 |
| 95 | 12 | 11 | -21 | 1242 | 15.2 | 225 | 14.0 | 11.0 | 6.0 | 35.548 | 15.85 | 26.21 | 8.131 | 214.9 | 1.48 | 3.47 | 0.79 | 0.47 | 5.91 | 1.1 | 35.981 | 15.10 | 26.89 | 8.118 | 197.0 | 0.44 | 6.00 | 0.77 | 0.82 | 6.93 | 0.4 |
| 95 | 12 | 14 | 426 | 1927 | 8.5 | 224 | 8.2 | 7.5 | 6.0 | 35.484 | 10.10 | 27.31 | 8.151 | 234.9 | 1.10 | 4.41 | 0.82 | 0.48 | 6.13 | 1.4 | 35.898 | 15.32 | 26.59 | 8.136 | 205.0 | 0.73 | 5.69 | 0.83 | 0.73 | 8.00 | 0.4 |
| 95 | 12 | 18 | -2040 | -114 | 11.5 | 222 | 16.0 | 13.0 | 8.0 | 34.954 | 14.70 | 25.96 | 8.171 | 242.0 | 0.67 | 1.19 | 1.19 | 0.35 | 5.70 | 0.9 | 35.280 | 14.90 | 26.28 | 8.085 | 202.4 | 1.27 | 3.10 | 3.10 | 0.82 | 10.69 | 1.5 |
| 95 | 12 | 27 | -808 | -1209 | 132.0 | 222 | 15.0 | 13.0 | 28.868 | 14.50 | 21.35 | 8.122 | 252.4 | 1.03 | 10.82 | 4.71 | 0.78 | 17.44 | 1.4 | 35.528 | 15.15 | 26.35 | 8.173 | 235.5 | 0.83 | 3.15 | 0.80 | 0.44 | 5.42 | 1.0 | |
| 96 | 1 | 3 | -2286 | -1301 | 77.2 | 223 | 12.5 | 11.5 | 3.0 | 22.058 | 14.20 | 20.79 | 8.119 | 248.2 | 1.03 | 14.73 | 3.32 | 0.76 | 19.83 | 0.9 | 34.985 | 15.31 | 25.88 | 8.132 | 187.8 | 1.18 | 4.63 | 1.40 | 0.63 | 9.97 | 1.1 |
| 96 | 1 | 10 | -2000 | -1639 | 80.7 | 228 | 12.5 | 12.5 | 4.0 | 22.332 | 12.96 | 16.81 | 8.031 | 298.4 | 1.06 | 19.28 | 6.58 | 0.69 | 29.51 | 1.1 | 34.371 | 15.49 | 25.38 | 8.114 | 207.4 | 1.63 | 7.25 | 1.99 | 1.02 | 16.70 | 1.7 |
| 96 | 1 | 15 | -1968 | -445 | 71.7 | 229 | 11.5 | 11.2 | 3.0 | 22.515 | 13.00 | 16.74 | 8.085 | 282.0 | 1.20 | 20.11 | 5.12 | 0.75 | 30.76 | 0.9 | 35.117 | 15.68 | 26.94 | 8.168 | 223.0 | 1.15 | 5.44 | 1.75 | 1.00 | 13.07 | 1.1 |
| 96 | 1 | 19 | 208 | -317 | 35.1 | 237 | 8.9 | 8.4 | 3.0 | 30.902 | 13.93 | 22.09 | 8.158 | 282.4 | 1.09 | 14.78 | 1.51 | 0.81 | 18.53 | 1.4 | 35.367 | 15.53 | 26.14 | 8.135 | 217.0 | 0.79 | 5.19 | 1.51 | 0.71 | 6.53 | 1.3 |
| 96 | 1 | 23 | -658 | -38 | 54.9 | 236 | 8.9 | 8.4 | 6.0 | 29.782 | 12.71 | 22.41 | 8.100 | 251.5 | 1.29 | 15.09 | 3.22 | 0.72 | 20.25 | 0.8 | 34.714 | 15.34 | 25.68 | 8.116 | 227.3 | 1.05 | 6.84 | 1.91 | 0.71 | 11.67 | 0.8 |
| 96 | 1 | 28 | -1603 | 208 | 34.2 | 242 | 9.5 | 8.5 | 8.0 | 31.131 | 13.00 | 23.40 | 8.124 | 251.5 | 1.22 | 14.04 | 2.48 | 0.85 | 17.14 | 0.8 | 35.677 | 15.62 | 26.39 | 8.177 | 227.3 | 0.43 | 4.23 | 0.83 | 0.58 | 6.99 | 0.8 |
| 96 | 1 | 30 | -313 | 222 | 30.4 | 253 | 10.0 | 8.5 | 8.0 | 30.023 | 12.96 | 22.56 | 8.115 | 244.2 | 0.99 | 16.89 | 3.43 | 0.84 | 21.72 | 0.7 | 35.387 | 15.41 | 26.18 | 8.148 | 212.1 | 0.84 | 6.14 | 0.88 | 0.84 | 9.57 | 0.6 |

